

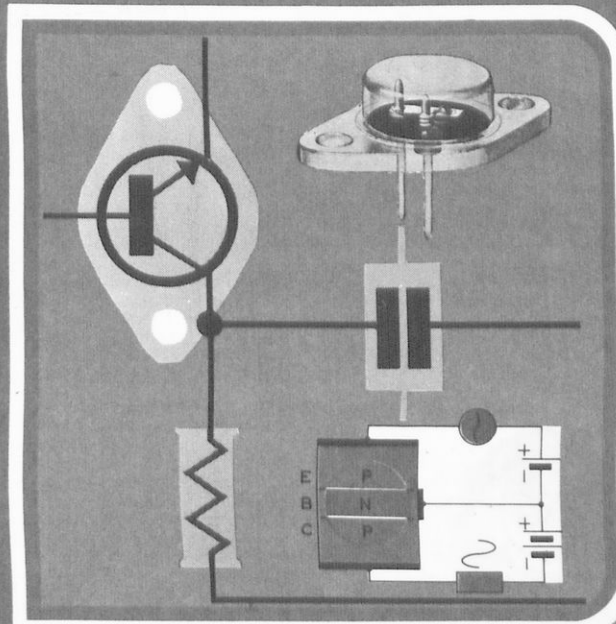


Γ' Τεχνικοῦ Λυκείου

ΗΛΕΚΤΡΟΝΙΚΟ ΕΡΓΑΣΤΗΡΙΟ

Σ. Κοντοράβδη

ΗΛΕΚΤΡΟΛΟΓΟΥ ΗΛΕΚΤΡΟΝΙΚΟΥ M.S.





1954

ΙΔΡΥΜΑ ΕΥΓΕΝΙΔΟΥ
ΧΡΥΣΟΥΝ ΜΕΤΑΛΛΙΟΝ ΑΚΑΔΗΜΙΑΣ ΑΘΗΝΩΝ

Ψηφιοποιήθηκε από το Ινστιτούτο Εκπαιδευτικής Πολιτικής



ΒΙΒΛΙΟΘΗΚΗ ΤΗΣ ΒΟΥΛΗΣ
ΕΔΩΡΗΣΑΤΟ

Ποντιακή Επαρχία
Α.Ε. Αριθ. Εισαγ. 1973 Έτος 1887



E 3⁹

ΦΣΣ

Κοντοράβδη, Σ.

Γ' ΤΑΞΗ ΤΕΧΝΙΚΟΥ ΛΥΚΕΙΟΥ

ΗΛΕΚΤΡΟΝΙΚΟ ΕΡΓΑΣΤΗΡΙΟ

Σ. ΚΟΝΤΟΡΑΒΔΗ

ΔΙΕΥΘΥΝΤΗ ΜΕΣΗΣ ΤΕΧΝΙΚΗΣ ΣΧΟΛΗΣ
ΗΛΕΚΤΡΟΛΟΓΟΥ-ΗΛΕΚΤΡΟΝΙΚΟΥ Μ.Σ.

ΑΘΗΝΑ
1979

002
ΛΑΣ
ΕΤ2Β
2159

ΠΡΟΛΟΓΟΣ ΙΔΡΥΜΑΤΟΣ ΕΥΓΕΝΙΔΟΥ

‘Ο Εύγενιος Εύγενίδης, διάδοχος και χορηγός του «Ιδρύματος Εύγενίδου», πολύ νωρίς πρόβλεψε και σχημάτισε τήν πεποίθηση ότι ή δρτια κατάρτιση τῶν τεχνικῶν μας, σέ συνδυασμό μέ τήν έθνική ἀγωγή, θά ἡταν ἀναγκαῖος και ἀποφασιστικός παράγοντας τῆς προόδου τοῦ Έθνους μας.

Τήν πεποίθησή του αὐτή διέθετε τήν γενναιόφρονα πράξη εὐεργεσίας, νά κληροδοτήσει σεβαστό ποσό γιά τή σύσταση Ιδρύματος πού θά εἶχε σκοπό νά συμβάλλει στήν τεχνική ἐκπαίδευση τῶν νέων τῆς Ελλάδας.

Ἐτσι τό Φεβρουάριο τοῦ 1956 συστήθηκε τό «Ιδρυμα Εύγενίδου», τοῦ ὅποιου τήν διοίκηση ἀνέλαβε ἡ ἀδελφή του κυρία Μαριάνθη Σίμου, σύμφωνα μέ τήν ἐπιθυμία τοῦ διαθέτη.

Ἀπό τό 1956 μέχρι σήμερα ἡ συμβολή τοῦ Ιδρύματος στήν τεχνική ἐκπαίδευση πραγματοποιεῖται μέ διάφορες δραστηριότητες. ‘Ομως ἀπ’ αὐτές ἡ σημαντικότερη, πού κριθηκε ἀπό τήν ἀρχή ὡς πρώτης ἀνάγκης, εἶναι ἡ ἔκδοση βιβλίων γιά τούς μαθητές τῶν τεχνικῶν σχολῶν.

Μέχρι σήμερα ἐκδόθηκαν 150 τόμοι βιβλίων, πού ἔχουν διατεθεῖ σέ πολλά ἐκατομμύρια τεύχη, καί καλύπτουν ἀνάγκες τῶν Κατώτερων καί Μέσων Τεχνικῶν Σχολῶν τοῦ ‘Υπ. Παιδείας, τῶν Σχολῶν τοῦ ‘Οργανισμοῦ Απασχολήσεως Ἐργατικοῦ Δυναμικοῦ (ΟΑΕΔ) καί τῶν Δημοσίων Σχολῶν ‘Εμπορικοῦ Ναυτικοῦ.

Μοναδική φροντίδα τοῦ ‘Ιδρυματος σ’ αὐτή τήν ἐκδοτική του προσπάθεια ἡταν καί εἶναι ἡ ποιότητα τῶν βιβλίων, ἀπό ἀποψη δχι μόνον ἐπιστημονική, παιδαγωγική καί γλωσσική, ἀλλά καί ἀπό ἀποψη ἐμφανίσεως, ὥστε τό βιβλίο νά ἀγαπηθεῖ ἀπό τούς νέους.

Γιά τήν ἐπιστημονική καί παιδαγωγική ποιότητα τῶν βιβλίων, τά κείμενα ὑποβάλλονται σέ πολλές ἐπεξεργασίες καί βελτιώνονται πρίν ἀπό κάθε νέα ἔκδοση.

Ίδιαίτερη σημασία ἀπέδωσε τό ‘Ιδρυμα ἀπό τήν ἀρχή στήν ποιότητα τῶν βιβλίων ἀπό γλωσσική ἀποψη, γιατί πιστεύει ότι καί τά τεχνικά βιβλία, δταν εἶναι γραμμένα σέ γλώσσα δρτια καί δομοδορφη ἀλλά καί κατάλληλη γιά τή στάθμη τῶν μαθητῶν, μποροῦν νά συμβάλλουν στήν γλωσσική διαπαιδαγώγηση τῶν μαθητῶν.

Ἐτσι μέ ἀπόφαση πού πάρθηκε ἡδη ἀπό τό 1956 δλα τά βιβλία τῆς Βιβλιοθήκης τοῦ Τεχνίτη, δηλαδή τά βιβλία γιά τίς Κατώτερες Τεχνικές Σχολές, δπως ἀργότερα καί γιά τίς Σχολές τοῦ ΟΑΕΔ, εἶναι γραμμένα σέ γλώσσα δημοτική μέ βάση τήν γραμματική τοῦ Τριανταφυλλίδη, ἐνω δλα τά ἄλλα βιβλία εἶναι γραμμένα στήν ἀπλή καθαρεύουσα. ‘Η γλωσσική ἐπεξεργασία τῶν βιβλίων γίνεται ἀπό φιλολόγους τοῦ ‘Ιδρύματος καί ἔτσι ἔξασφαλίζεται ἡ ἐνιαία σύνταξη καί ὁρολόγια κάθε κατηγορίας βιβλίων.

‘Η ποιότητα τοῦ χαρτιοῦ, τὸ εῖδος τῶν τυπογραφικῶν στοιχείων, τά σωστά σχήματα καὶ ἡ καλαίσθητη σελιδοποίηση, τό ἔξωφυλλο καὶ τό μέγεθος τοῦ βιβλίου περιλαμβάνονται καὶ αὐτά στὶς φροντίδες τοῦ Ἰδρύματος.

Τό Ἰδρυμα Θεώρησε δὴ εἶναι ὑποχρέωσή του, σύμφωνα μὲ τὸ πνεῦμα τοῦ ἴδρυτη του, νά θέσει στήν διάθεση τοῦ Κράτους ὅλη αὐτή τήν πείρα του τῶν 20 ἐτῶν, ἀναλαμβάνοντας τήν ἔκδοση τῶν βιβλίων καὶ γιά τίς νέες Τεχνικές καὶ Ἐπαγγελματικές Σχολές καὶ τά νέα Τεχνικά καὶ Ἐπαγγελματικά Λύκεια, σύμφωνα μὲ τά ‘Αναλυτικά Προγράμματα τοῦ Κ.Ε.Μ.Ε.

Τά χρονικά περιθώρια γι’ αὐτή τήν νέα ἔκδοτική προσπάθεια ἦταν πολύ περιορισμένα καὶ ίσως γι’ αὐτό, ίδιως τά πρώτα βιβλία αὐτῆς τῆς σειρᾶς, νά παρουσιάσουν ἀτέλειες στή συγγραφή ἢ στήν ἐκτύπωση, πού θά διορθωθοῦν στή νέα τους ἔκδοση. Γι’ αὐτό τό σκοπό ἐπικαλούμαστε τήν βοήθεια ὅλων δσων θά χρησιμοποιήσουν τά βιβλία, ώστε νά μᾶς γνωστοποιήσουν κάθε παρατήρησή τους γιά νά συμβάλλουν καὶ αὐτοί στή βελτίωση τῶν βιβλίων.

ΕΠΙΤΡΟΠΗ ΕΚΔΟΣΕΩΝ ΙΔΡΥΜΑΤΟΣ ΕΥΓΕΝΙΔΟΥ

Αλέξανδρος Ι. Παπαᾶς, Όμ. Καθηγητής ΕΜΠ, Πρόεδρος.

Χρυσόστομος Φ. Καβουνίδης, Διπλ. Μηχ.-Ήλ. ΕΜΠ, Άντιπροέδρος.

Μιχαήλ Γ. Αγγελόπουλος, Τακτικός Καθηγητής ΕΜΠ, Διοικητής ΔΕΗ.

Παναγιώτης Χατζηιωάννου, Μηχ.-Ήλ. ΕΜΠ, Γεν. Δ/ντης Ἐπαγκής Ἐκπ. Υπ. Παιδείας.

Ἐπιστημ. Σύμβουλος, Γ. Ρούνσος, Χημ.-Μηχ. ΕΜΠ.

Σύμβουλος ἐπί τῶν ἐκδόσεων τοῦ Ἰδρύματος Κ.Α. Μανάφης, Καθηγητής Φιλοσοφικῆς Σχολῆς Παν/μίου Αθηνῶν.

Γραμματεὺς, Δ.Π. Μεγαρίτης.

Διατελέσαντα μέλη ἢ σύμβουλοι τῆς Ἐπιτροπῆς

Γεώργιος Κακριδής † (1955 – 1959) Καθηγητής ΕΜΠ. Ἀγγελος Καλογερᾶς † (1957 – 1970) Καθηγητής ΕΜΠ, Δημήτριος Νιάνιας (1957 – 1965) Καθηγητής ΕΜΠ, Μιχαήλ Σπεταίέρης (1956 – 1959). Νικόλαος Βασιλίτης (1960 – 1967) Θεόδωρος Κουζέλης (1968 – 1976) Μηχ.-Ήλ. ΕΜΠ.

ΠΡΟΛΟΓΟΣ

Τό βιβλίο αύτό είναι έργαστηριακό βοήθημα. Ή χρήση του προϋποθέτει τήν ύπαρξη όργανων έργαστηριακού χώρου με τά άπαραίτητα μέσα, δηλαδή με τά άνάλογα δργανα και συσκευές (άσκήσεις).

Οι πενήντα (50) άσκήσεις, πού περιέχει, καλύπτουν μεγάλο μέρος τών Ήλεκτρονικών έφαρμογών και στηρίζονται στίς Θεωρητικές γνώσεις, πού θά έχουν οι μαθητές. Ο ακοπός της διεξαγωγής τους είναι κυρίως ή έμπεδωση τών Θεωρητικών αύτών γνώσεων πού παρέχει τό μάθημα τών Ηλεκτρονικών. Άκρα συντελεῖ στήν καλή γνωριμία με τά βασικά τουλάχιστον άπό τά τόσα πολλά σέ άριθμο και ποικιλία ήλεκτρονικά δργανα, πού ή σωστή τους χρήση αύξανει τήν τεχνική πείρα και τή δεξιοτεχνία τοῦ μαθητῆ.

Ή σειρά, μέ τήν όποιαν οι άσκήσεις θά πραγματοποιηθοῦν σέ κάθε Τεχνικό Λύκειο, θά ρυθμισθεῖ άπό τόν υπέυθυνο τοῦ Έργαστηρίου μέ δηγό τή διδασκαλία τοῦ Θεωρητικοῦ μέρους τοῦ μαθήματος τών Ηλεκτρονικών και σέ συνάρτηση μέ τόν έξοπλισμό και τήν δργάνωση τοῦ σχολικού Έργαστηρίου.

Πολλές άπό τίς άσκήσεις αύτές άπαιτονταν πλήρες δίωρο ή και τρίωρο γιά τή διεξαγωγή τους. Άλλες δημαρχείαν μικρές και θά μποροῦσαν νά γίνουν άνα δύο ή και άνα τρεῖς στήν ίδια έργαστηριακή περίοδο. Έκεΐνο πού πρέπει ιδιαίτερα νά προσέχθει είναι ή σωστή και όλοκληρωμένη συμμετοχή τών μαθητῶν στή διεξαγωγή τών άσκήσεων. Όλοι οι μαθητές (όπως θά είναι χωρισμένοι σέ όμάδες) θά πρέπει νά χρησιμοποιοῦν προσωπικά ή καθένας τά δργανα και νά προβαίνουν στίς δέουσες μετρήσεις. Στό τέλος δλοι θά πρέπει νά γράφουν μιά πλήρη έκθεση μέ τίς παρατηρήσεις και τά άποτελέσματα τών μετρήσεων στό ειδικό «Τετράδιο Έργαστηριακών Άσκήσεων», άπαραίτητο γιά κάθε μαθητή. Χωρίς αύτή τή διαδικασία ή έργαστηριακή άπασχόληση δέν θά άσφαλίσει τήν ούσιαστη κατοχύρωση τών γνώσεων. Αντίθετα, ή προγραμματισμένη και μέ μεθοδικό τρόπο διεξαγωγή τών μετρήσεων και παρατηρήσεων, πού ζητεῖται μέ κάθε άσκηση, θά θεμελειώσει τή γνώση, θά άναπτύξει τήν άγάπη τοῦ μαθητῆ γιά τό σύνολο τοῦ μαθήματος, θά κεντρίσει τό ένδιαφέρον γιά πειραματική πράξη, θά ένισχύσει τά ένδιαφέροντά του γιά κατασκευές και έρευνα και θά τοῦ δημιουργήσει άληθινή έφεση γιά μάθηση και πρόσodo.

ΑΣΚΗΣΗ 1

ΗΛΕΚΤΡΙΚΕΣ ΠΗΓΕΣ ΤΟΥ ΕΡΓΑΣΤΗΡΙΟΥ – ΜΕΤΡΑ ΑΣΦΑΛΕΙΑΣ

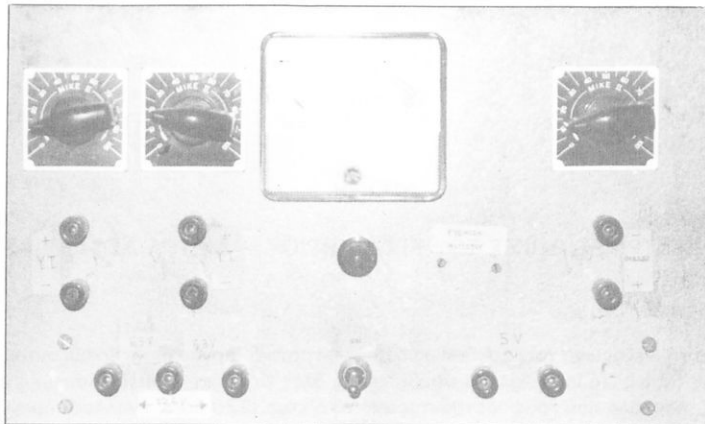
1.1 Γενικά.

Γιά τή διεξαγωγή τών άσκησεων στό ήλεκτρονικό 'Εργαστήριο χρειάζονται διάφορες τάσεις. Τό ίδιο έξαλλου συμβαίνει σέ δλες τίς ήλεκτρονικές συσκευές, οι ίδιοις, παρ' όλο πού τροφοδοτούνται από τό δίκτυο (220 βόλτ, έναλλασσόμενο) έσωτερικά, στά διάφορα σημεία τών κυκλωμάτων τους, χρειάζονται ποικίλες τάσεις συνεχούς μορφής ή καί, σέ σπανίες περιπτώσεις, έναλλασσόμενης. Έτσι προκύπτει ή άναγκη τών τροφοδοτικών συσκευών, οι ίδιοις από τά 220 βόλτ τού δικτύου τής ΔΕΗ έξασφαλίζουν μέ κατάλληλη μετατροπή τίς άπαιτούμενες κάθε φορά συνεχείς τάσεις.

Τά τροφοδοτικά πού χρησιμοποιούνται στά ήλεκτρονικά 'Εργαστήρια μπορούν νά διακριθοῦν σέ τροφοδοτικά ύψηλης συνεχούς τάσεως (π.χ. ώς 400 V) καί σέ τροφοδοτικά χαμηλής συνεχούς τάσεως (π.χ. ώς 15 ή 30 ή 50 V). Η μελέτη τών κυκλωμάτων τέτοιων τροφοδοτικών μπορεῖ νά γίνει άργότερα, άφού πραγματοποιηθοῦν οι άσκησεις 16, 17, 18 καί 21 γιά τήν άνόρθωση καί τή σταθεροποίηση τών τάσεων. Στήν άσκηση αύτή έχετάζεται ή χρήση τών τροφοδοτικών (άναγνώριση καί χειρισμός τών «κουμπιών») γιά τήν έξυπηρέτηση τών ήλεκτρονικών άσκησεων, πού δλες τους σχεδόν χρειάζονται διαφορετικές τάσεις από τά 220 βόλτ τού δικτύου.

Στά σχήματα 1.1α, 1.1β, 1.1γ, 1.1δ, 1.1ε καί 1.1στ φαίνονται οι προσόψεις άντιπροσωπευτικών τροφοδοτικών καί σημειώνονται τά χαρακτηριστικά τού καθενός. "Όλα είναι έλληνικής κατασκευής καί μάλιστα 'Εργαστηρίων Τεχνικών Σχολῶν, έκτος από τό σχήμα 1.1ε, πού είναι κατασκευή τών ήλεκτρονικών 'Εργαστηρίων τού κέντρου έρευνών ΔΗΜΟΚΡΙΤΟΣ.

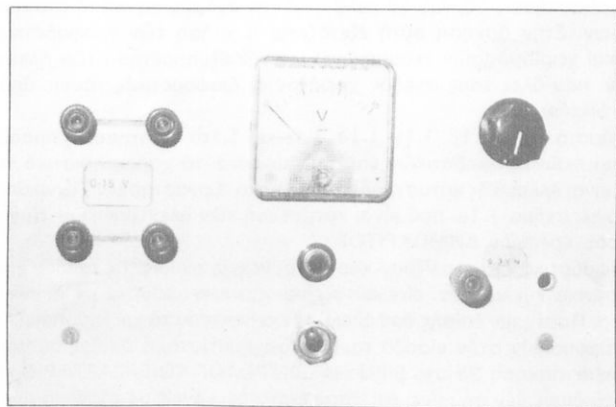
Τά τροφοδοτικά έξασφαλίζουν κυρίως συνεχείς τάσεις, τίς ίδιοις χρειάζονται τά ήλεκτρονικά κυκλώματα, είτε αύτά είναι κατασκευασμένα μέ λυχνίες είτε μέ τρανζίστορ. Παρέχουν έπισης άσφαλεια σέ έκείνον πού τά χρησιμοποιεί, γιατί πάντοτε χρησιμοποιούν στήν είσοδό τους μετασχηματισή, ο ίδιος άπομονώνει τό δίκτυο (βλέπε άσκηση 35 στό βιβλίο ΗΛΕΚΤΡΟΛΟΓΙΚΟ ΕΡΓΑΣΤΗΡΙΟ τής Α' Τάξεως). Αύτό ίδιος δέν σημαίνει ίτι, δταν δουλεύει κανείς μέ τάσεις πού πάρνει άπο κάποιο τροφοδοτικό, δέν διατρέχει κανένα κίνδυνο. 'Ο κίνδυνος ύπάρχει πάντοτε γιά ιδιοίον δέν προέχει, γιατί τό κύκλωμα τού τροφοδοτικού πού χρησιμοποιεί μπορεῖ νά μήν είναι μέ έπιμέλεια κατασκευασμένο ή μπορεῖ νά έχει κάποια βλάβη. 'Επισης, παρ' όλο πού τό τροφοδοτικό έχει μετασχηματισή στήν είσοδό του, πού τό άπομονώνει από τό δίκτυο, είναι πιθανό κατά τήν τροφοδότηση τού κυ-



Σχ. 1.1α.

Τροφοδοτικό μέ τίς άκολουθες παροχές:

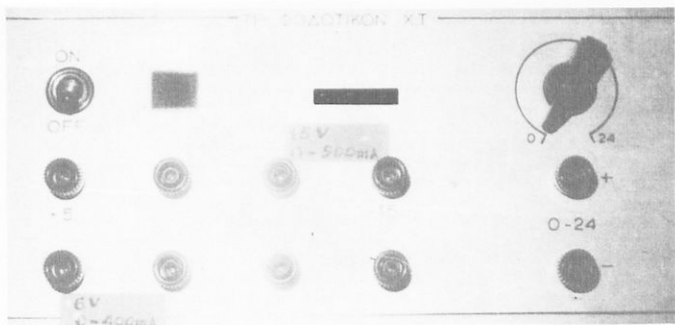
- α) 0 - 300 V/0,1 A. Συνεχής τάση πού μπορεῖ νά μεταβάλλεται από 0 ώς 300 V μέ ρεύμα ώς 0,1 A.
 Δύο παροχές. β) 0 - 100 V/10 mA. Συνεχής τάση ώς 100 V μέ ρεύμα ώς 10 mA. γ) 6,3 V/4 A. Έναλλασσόμενη σταθερή τάση 6,3 V μέ ρεύμα ώς 4 A. δ) 12,6 V/4 A. Έναλλασσόμενη σταθερή τάση 12,6 V. ε) 5 V/6 A. Έναλλασσόμενη σταθερή τάση 5 V.



Σχ. 1.1β.

Τροφοδοτικό χαμηλής τάσεως:

- α) 0 - 15 V/0,5 A. Συνεχής σταθεροποιημένη τάση γιά κυκλώματα τρανζίστορ. β) 6,3 V /4 V. Έναλλασσόμενη σταθερή τάση 6,3 V.



Σχ. 1.1γ.

Τροφοδοτικό συνεχών χαμηλών τάσεων μέ παροχές:

- α) 5 V/0,5 A. Συνεχής σταθερή τάση 5 V. β) 6 V/0,4 A. Συνεχής σταθερή τάση 6 V. γ) 15 V/0,5 A. Συνεχής σταθερή τάση 15 V. δ) 0 - 24 V/0,3 A. Συνεχής τάση που μπορεί νά μεταβάλλεται από 0 ώς 24 V μέ ρεύμα ώς 0,3 A.



Σχ. 1.1δ.

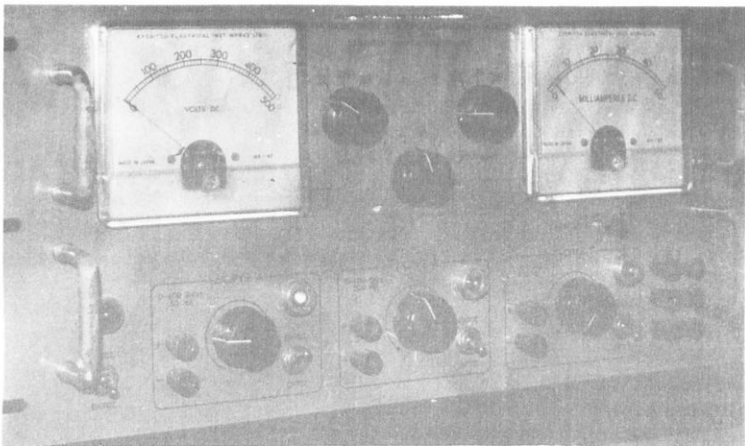
Τροφοδοτικό ποικίλων παροχών:

- α) 0 - 300 V, μέ μεταβολή άνά 1 V και μέ ρεύμα ώς 0,2 A. β) 0 - 80 V/30 mA. Συνεχής τάση μέχρι 80 V γιά πολώσεις. γ) 6,3 V/3 A. Έναλλασσόμενη σταθερή τάση 6,3 V.

κλώματος κάποιας άσκήσεως νά έπικρατεῖ σέ δύο σημεία του διαφορά δυναμικοῦ, έπικίνδυνη γιά τόν ανθρωπο. "Ας μήν ξεχνάμε ότι τάσεις πάνω άπό 50 περίπου βόλτ θεωροῦνται έπικίνδυνες. Γι' αύτό λοιπόν, τόσο έδω στό Έργαστήριο τοῦ σχολείου, όσο καί στή δουλειά του ό καθένας ξέω άπό αύτό, πρέπει πάντοτε νά προσέχει όταν δουλεύει μέ συσκευές ύπό τάση.

1.2 Έργασία.

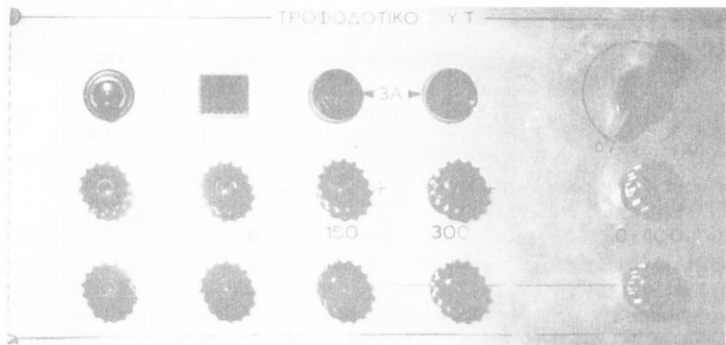
- 1) Νά σχεδιασθούν οι προσάψεις τῶν τροφοδοτικῶν πού δίνονται στήν άσκηση.



Σχ. 1.1ε.

Τροφοδοτικό πολλών παροχῶν:

- α) 0 - 400 V/50 mA. Συνεχής τάση που μπορεί νά μεταβάλλεται από 0 - 400 V. β) 0 - 400 V/200 mA. Συνεχής τάση που μπορεί νά μεταβάλλεται από 0 - 400 V. γ) 0 - 400 V/400 mA. Συνεχής τάση που μπορεί νά μεταβάλλεται από 0 - 400 V. δ) 6,3 V /5 A. Έναλλασσόμενη τάση. ε) 12,6 V/5 A. Έναλλασσόμενη τάση.



Σχ. 1.1στ.

Τροφοδοτικό ύψηλών τάσεων:

- α) 150 V/50 mA. Συνεχής σταθερή τάση. β) 300 V/50 mA. Συνεχής σταθερή τάση. γ) 0 - 400 V/300 mA. Συνεχής τάση που μπορεί νά μεταβάλλεται από 0 ώς 400 V μέ ρεύμα ώς 0,3 A. δ) 6,3 V/3 A. Έναλλασσόμενη τάση. ε) 12,6 V/3 A. Έναλλασσόμενη τάση.

2) Νά γραφοῦν τά χαρακτηριστικά κάθε τροφοδοτικοῦ (οἱ τάσεις πού δίνει τό καθένα). Ἐπάνω στίς προσόψεις νά σημειωθεῖ τί δουλειά κάνει τό κάθε κουμπί.

3) Μέ βάση τά κατασκευαστικά σχέδια τῶν τροφοδοτικῶν τῆς ἀσκήσεως, πού θά δοθοῦν ἀπό τὸν καθηγητὴ τοῦ Ἐργαστηρίου, νά συμπληρωθοῦν ὅλα τά χαρακτηριστικά (μορφή καὶ μέγεθος τάσεων καὶ ρευμάτων).

4) Νά ἐπαληθευθοῦν τά χαρακτηριστικά κάθε τροφοδοτικοῦ μέ μετρήσεις πού θά γίνουν μέ βολτόμετρο, ἀφοῦ τεθεῖ τό τροφοτικό ὑπό τάση (σύνδεση στό δίκτυο).

Προσοχή: Οἱ μετρήσεις θά γίνουν ἀφοῦ πρῶτα ὁ καθηγητῆς τῶν Ἐργαστηρίων ἔξετάσει τίς ἀπαντήσεις στίς προηγούμενες ἔρωτήσεις καὶ ἀφοῦ ἐγκρίνει τή σύνδεση τοῦ τροφοδοτικοῦ καὶ τῶν ἄλλων ὄργανων τῆς ἀσκήσεως.

ΑΣΚΗΣΗ 2

ΠΟΛΥΜΕΤΡΑ

2.1 Κύκλωμα βολτομέτρου γιά τή μέτρηση έναλλασσομένων τάσεων.

Τό πολύμετρο είναι ένα σύνθετο όργανο που χρησιμοποιείται γιά τή μέτρηση τάσεων, έντασεων, και **άντιστάσεων**, είναι δηλαδή συνδυασμός βολτομέτρου, άμπερομέτρου και ώμορμέτρου.

Στίς άσκήσεις 20, 21 και 22 τοῦ βιβλίου σας ΗΛΕΚΤΡΟΛΟΓΙΚΟ ΕΡΓΑΣΤΗΡΙΟ τῆς Α' Τάξεως έξετάσθηκε άναλυτικά ή λειτουργία τῶν όργάνων αὐτῶν καί στήν άσκηση 23 έξετάσθηκε καί τό πολύμετρο. Γι' αύτό μιά ἐπανάληψη τῶν τεσσάρων αὐτῶν άσκήσεων θά βοηθοῦσε ώστε νά ξαναθυμηθεῖ ὁ μαθητής τίς βασικές ἀρχές καί ἔτσι νά καταλάβει καλύτερα τή σημερινή ἀσκηση, πού όλοκληρώνει τή μελέτη τοῦ πολυμέτρου.

Τά πολύμετρα μετράνε συνεχή καί έναλλασσόμενα μεγέθη τάσεων καί έντάσεων καθώς καί άντιστάσεις. Στίς άσκήσεις πού άναφέρθηκαν προηγουμένων έξετάζονται δὲς αὐτές οι περιπτώσεις, ἐκτός ἀπό τή μέτρηση τῶν έναλλασσομένων μεγεθῶν. Σέ αὐτή τήν άσκηση θά έξετασθεῖ ἡ ἐπέκταση τοῦ πολυμέτρου γιά μετρήσεις έναλλασσομένων τάσεων.

"Ενα βασικό όργανο Δ' Arsonval (tétoia έχουν όλα τά πολύμετρα) μπορεῖ νά μετρήσει συνεχεῖς τάσεις, δέν μπορεῖ όμως νά μετρήσει τάσεις έναλλασσόμενες. Γιά νά γίνει μέτρηση έναλλασσόμενης τάσεως μέ τέτοιο όργανο, πρέπει πρώτα ή πρός μέτρηση έναλλασσόμενη τάση νά άνορθωθεῖ, δηλαδή νά μετατραπεῖ σέ τάση συνεχής.

Στά κυκλώματα τῶν πολυμέτρων ή μετατροπή τοῦ έναλλασσόμενου σέ συνεχές γίνεται μόνο κατά τή μέτρηση, χωρίς νά ἐπηρεάζεται ή μορφή τῆς μετρούμενης τάσεως στό κύκλωμα, ή δοπία παραμένει έναλλασσόμενη.

'Η διαδικασία τῆς άνορθωσεως έξετάζεται στίς άσκήσεις 16 καί 17 αύτοῦ τοῦ βιβλίου. Γιά νά όλοκληρωθεῖ όμως ή μελέτη τοῦ πολυμέτρου καί μέχρις στο γίνουν οἱ άσκήσεις αὐτές, δίνονται μερικές πληροφορίες γιά τά κυκλώματα άνορθώσεως στά πολύμετρα.

"Ενα ἀπλό κύκλωμα άνορθωσεως παριστάνεται στό σχῆμα 2.1a.

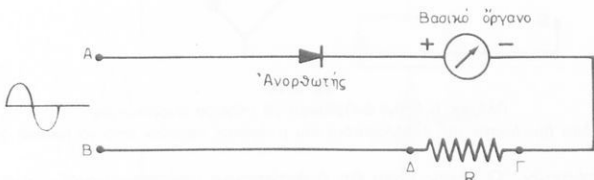
'Ο άνορθωτής, πού τά δύο του ἄκρα διακρίνονται σέ **ἄνοδο** καί **κάθοδο**, ἔχει τήν άκόλουθη ιδιότητα: "Όταν ἐφαρμόζεται έναλλασσόμενη τάση στά σημεία A - B, ἐπιτρέπει τή διέλευση ρεύματος κατά τή μία διεύθυνση, ἀπό τήν κάθοδο πρός τήν ἄνοδο, ἀλλά ὅχι καί ἀντίθετα, γιατί κατά τήν ἀντίθετη διεύθυνση παρουσιάζει πολύ μεγάλη ἀντίσταση. Τό ἀποτέλεσμα ἀπό τήν κυκλοφορία τοῦ ρεύματος αὐτοῦ τῆς

μιᾶς ήμιπεριόδου εἶναι ἡ ἐμφάνιση τάσεως (πτώση τάσεως στήν R) στά σημεῖα $\Gamma - \Delta$ μέ τή μορφή πού φαίνεται στό σχῆμα 2.1α· παραμένουν δηλαδή τά θετικά ή-μικύματα τῆς τάσεως πού ἐφαρμόζεται πρός άνόρθωση στά σημεῖα $A - B$.

Αὐτός ὁ τρόπος άνορθώσεως λέγεται ἀπλή άνόρθωση καί ἡ μέση τιμή τῆς τάσεως τῶν παλμῶν (τῶν θετικῶν ἡμικυμάτων), δηλαδή τῆς **ἀνορθωμένης** τάσεως, εἶναι ἀνάλογη πρός τὴν τάση πού ἐπικρατεῖ στά σημεῖα $A - B$. "Ἄν τώρα σέ όποιο-δήποτε σημεῖο τοῦ κυκλώματος (π.χ. στό σημεῖο X) παρεμβάλλομε ἔνα ὄργανο D' Arsonval, ἡ βελόνα του θά ἀποκλίνει ἀνάλογα μέ τή μέση τιμή τῆς ἀνορθωμέ-



Σχ. 2.1α.



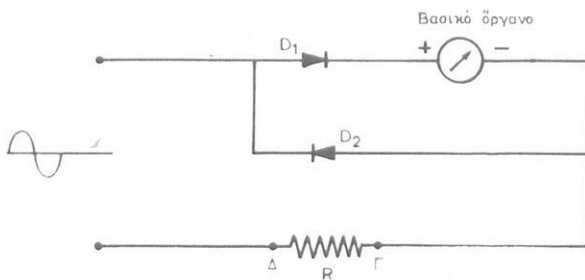
Σχ. 2.1β.

νης τάσεως. "Ἔτσι λοιπόν ἡ κλίμακα τοῦ βασικοῦ ὄργανου τοῦ πολυμέτρου μπορεῖ νά βαθμονομηθεῖ καί νά δείχνει ἑναλλασσόμενες τάσεις (καί μάλιστα τὴν ἐνέργο τους τιμῇ), ἐνῶ τὸ ὄργανο διεγείρεται μόνο ἀπό τοὺς θετικούς παλμούς τῆς μετρούμενης ἑναλλασσόμενης τάσεως. Τό ἀπλούστερο κύκλωμα βολτομέτρου πού μετρά ἑναλλασσόμενη τάση φαίνεται στό σχῆμα 2.1β.

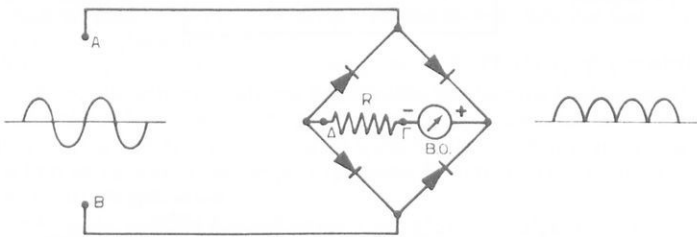
Στό κύκλωμα αὐτό μπορεῖ νά ύπαρχει καί δεύτερος ἀνορθωτής D_2 (σχ. 2.1γ). Τό ρεῦμα στό ὄργανο κυκλοφορεῖ πάλι μόνο κατά τή μία ἡμιπερίοδο, ὅπότε ἔχομε ἀπλή ἀνόρθωση. Ὁ δεύτερος ἀνορθωτής D_2 , ἐπιτρέπει τὴν ἐλεύθερη διέλευση τοῦ ρεύματος, ἐκτός ὄργανου, κατά τὴν ἀρνητική ἡμιπερίοδο καί ἀπλῶς προστατεύει τόν πρώτο ἀνορθωτή D_1 , ἀπό τυχόν ὑπερβολική ἀνάστροφη τάση.

"Ἐνα ἄλλο κύκλωμα ἀνορθώσεως πού χρησιμοποιεῖται ἐπίσης στά πολύμετρα εἶναι τό κύκλωμα μέ γέφυρα (σχ. 2.1δ).

Τά κοινά πολύμετρα δέν διαθέτουν συνήθως κλίμακες γιά τή μέτρηση ἑναλλασσομένων ρευμάτων, ἐνῶ ἔχουν τίς ἀπαραίτητες κλίμακες γιά τή μέτρηση ἑναλλα-



Σχ. 2.1γ.



Σχ. 2.16.

Πλήρης ή διπλή άνορθωση μέ γέφυρα άνορθωτών.

Και τά δύο ήμικύματα τού έναλλασσόμενου ρεύματος περνάνε από τό βασικό δργανο.

σομένων τάσεων. Ό λόγος είναι ότι ή άντισταση πού παρουσιάζει ό άνορθωτής και τό βασικό δργανο μπορεΐ νά είναι πολύ μεγάλη σέ σύγκριση μέ τήν άντισταση τού όποιουδήποτε κυκλώματος στό όποιο θέλομε νά μετρήσομε τό ρεύμα και έπομένως δέν θά έχομε σωστές μετρήσεις.

Φυσικά ύπαρχουν βασικά δργανα ειδικής κατασκευής (δχι D' Arsonval) γιά μέτρηση σχετικά ίσχυρών έναλλασσόμενων ρευμάτων άπευθείας (δίχως άνορθωτή), άλλα δέν ένδιαφέρουν τούς ήλεκτρονικούς, γιατί τά ρεύματα τών ήλεκτρονικών κυκλωμάτων είναι μικρής έντασεως. "Άν πάλι χρειασθεί νά μετρήσομε έναλλασσόμενο ρεύμα σέ ένα ήλεκτρονικό κύκλωμα, μπορούμε νά μετρήσομε τήν έναλλασσόμενη τάση στά άκρα μιάς γνωστής άντιστάσεως τού κυκλώματος και μέ τό νόμο τού "Ωμ, πού ίσχυει και στό έναλλασσόμενο ρεύμα, νά ύπολογίσομε τήν ένταση τού ρεύματος.

Τά κοινά πολύμετρα παρέχουν συνήθως άκριβεια 3 ώς 5% και αύτό είναι άρκετά ίκανοποιητικό στίς μετρήσεις, π.χ. σέ ένα έργαστηριο έπισκευών. Φυσικά δέν πρέπει νά ξεχνάμε πώς ή έκλογη τής κατάλληλης κλίμακας τού πολύμετρου βελτιώνει τήν άκριβεια τής μετρήσεως, γιατί βέβαια δέν μπορεΐ κανείς νά μετρᾶ π.χ. στήν κλίμακα τών 250 V μιά τάση 5 ή 10 V. Έπισης τά κοινά πολύμετρα είναι άκατάλληλα γιά μετρήσεις σέ κυκλώματα πού έπικρατούν συχνότητες πάνω από τίς λεγόμε-

νες Βιομηχανικές (π.χ. πάνω από τους 200 Hz). Γιά μεγαλύτερες συχνότητες χρησιμοποιούμε τά ήλεκτρονικά πολύμετρα.

Καί στίς μετρήσεις άντιστάσεων έχομε έπισης άναλογη άκριβεια με τά κοινά πολύμετρα. "Αν θέλομε άκριβεια μεγαλύτερη, πρέπει νά χρησιμοποιούμε γέφυρες μετρήσεως άντιστάσεων.

2.2 Έργασία.

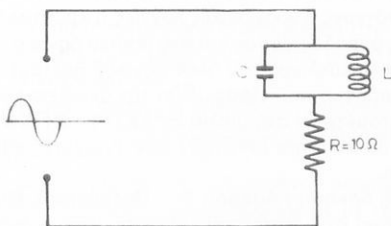
1) Νά ανοιχθεῖ τό πολύμετρο τῆς άσκήσεως καί μέ τή βοήθεια τοῦ σχεδίου κατασκευῆς του πού θά δώσει ό καθηγητής τῶν Έργαστηρίων, νά σχεδιασθεῖ τό κύκλωμα άνορθώσεως πού διαθέτει γιά τή μέτρηση έναλλασσομένων τάσεων.

2) Τί τύπο άνορθωτῆ έχει καί τί κύκλωμα χρησιμοποιεῖ; Απλῆς ή διπλῆς άνορθώσεως;

3) Νά κλεισθεῖ τό πολύμετρο καί νά σχεδιασθοῦν οι κλίμακες έναλλασσομένων μεγεθῶν (τάσεων ή καὶ ρευμάτων) πού μπορεῖ νά μετρήσει.

4) "Οταν ή βελόνα τοῦ όργανου σας δείχνει π.χ. 50 βόλτ έναλλασσόμενο, ποιά τιμή τῆς έναλλασσόμενης τάσεως είναι; Μέγιστη, ένεργος ή μέση τιμή;

5) Στό κύκλωμα τοῦ σχήματος 2.2 κυκλοφορεῖ έναλλασσόμενο ρεῦμα πού τό πολύμετρό μας δέν διαθέτει κλίμακα γιά νά τό μετρήσομε. Υποδείξετε τρόπο γιά έμμεση μέτρηση.



Σχ. 2.2.

6) Νά μετρηθοῦν διάφορες έναλλασσόμενες τάσεις από πηγές πού διαθέτει τό Έργαστηριο. Οι μετρήσεις νά γίνουν έκ περιτροπῆς από όλους τούς μαθητές, γιά νά άποκτήσουν όλοι εύχερεια στή χρήση τοῦ πολυμέτρου.

7) Οι ίδιες τάσεις νά μετρηθοῦν σέ διαφορετικές κλίμακες τοῦ όργανου (δχι σέ μικρότερες φυσικά), γιά νά διαπιστωθεῖ ή διαφορά ένδειξεων κάθε φορά.

ΑΣΚΗΣΗ 3

ΗΛΕΚΤΡΟΝΙΚΑ ΒΟΛΤΟΜΕΤΡΑ (Ηλεκτρονικά Πολύμετρα)

3.1 Γενικά.

Σέ όλες σχεδόν τίς μετρήσεις οι τεχνικοί χρησιμοποιοῦν κοινά πολύμετρα μέσα τά μειονεκτήματα πού περιγράφονται στήν προηγούμενη άσκηση. Στίς περιπτώσεις όμως πού άπαιτείται άκριβεια στίς μετρήσεις, χρησιμοποιοῦνται ήλεκτρονικά βολτόμετρα. Οι ένδειξις τών ήλεκτρονικών βολτομέτρων άνταποκρίνονται στήν πραγματική τιμή τών μεγεθών πού μετράμε.

Τό ήλεκτρονικό βολτόμετρο είναι βασικά όμοιο μέ το πολύμετρο, έκτος από τό διτή έχει μία ή περισσότερες ήλεκτρονικές λυχνίες ή κρυσταλλοδίδους και τρανζίστορ άνάμεσα στούς άκροδέκτες του και στό βασικό δργανό. Οι λυχνίες ή τά τρανζίστορ απόμονώνουν τό κύκλωμα τού ήλεκτρονικού βολτομέτρου από τό κύκλωμα στό όποιο μετράμε, πράγμα πού έξασφαλίζει τήν άκριβεια τών μετρήσεων (βλέπε άσκηση 21 περί βολτομέτρων στό βιβλίο ΗΛΕΚΤΡΟΛΟΓΙΚΟ ΕΡΓΑΣΤΗΡΙΟ). Έπισης τά ήλεκτρονικά βολτόμετρα ένεργοιν σάν ένισχυτές και αύξανουν τήν εύαισθησία τού όργανου.

Σήν προηγούμενη άσκηση ("Άσκηση 2 — Πολύμετρα), ειδαμε διτί τό κοινό πολύμετρο δέν έξυπηρετεί στίς ύψηλές συχνότητες, γιατί διάνορθωτής του δέν παρουσιάζει σταθερότητα λειτουργίας. Τό ήλεκτρονικό βολτόμετρο όμως, είτε δίοδο λυχνία διαθέτει είτε κρυσταλλοδίδο, είναι κατάλληλο γι' αύτές τίς περιπτώσεις. Άκομη και παλιές κατασκευές ήλεκτρονικών βολτομέτρων μέ δίοδο λυχνία παλιού τύπου έξυπηρετούν ίκανοποιητικά σέ κυκλώματα μέ συχνότητες μέχρι δεκάδες MHz (Μεγάκυκλους).

Τά κύρια χαρακτηριστικά τών ήλεκτρονικών βολτομέτρων είναι:

1) Μεγάλη άντισταση είσοδου (έσωτερική άντισταση). Στό συνεχές ρεῦμα ή άντισταση αυτή είναι πάντοτε μεγαλύτερη από 10 MΩ και σέ δργανα καλής ποιότητας φθάνει τά 50 και 100 MΩ. Στό έναλλασσόμενο ρεῦμα ή άντισταση είσοδου είναι 1 - 2 MΩ γιά τά ήλεκτρονικά βολτόμετρα μέ λυχνίες (VTVM — Vacuum tube volt meter) και φθάνει τά 10 MΩ γιά τά ήλεκτρονικά βολτόμετρα μέ τρανζίστορ (SSVM — Solid state volt meter).

Τονίζεται, και αύτό έχει μεγάλη σημασία, διτί ή άντισταση είσοδου τών ήλεκτρονικών βολτομέτρων είναι ίδια σέ όλες τίς κλίμακες τάσεων πού διαθέτουν.

2) Μετράνε πολύ μικρές τάσεις διατηρώντας πάντοτε σταθερή τή μεγάλη άντισταση είσοδου. Σύγχρονα ήλεκτρονικά βολτόμετρα μέ τρανζίστορ έπιδράσεως πε-

δίου (FET – Field effect transistor) έχουν κλίμακες 0 - 5 mV και 0 - 5 μΑ, πάντοτε μέ τήν ίδια άντισταση είσόδου.

3) Τό κύκλωμα στά ήλεκτρονικά βολτόμετρα προστατεύει τό βασικό όργανο σε περίπτωση πού θά γίνει λανθασμένη σύνδεση.

4) Γιά νά λειτουργήσουν τά ήλεκτρονικά βολτόμετρα, αν είναι μέ λυχνίες, πρέπει νά συνδεθούν στό δίκτυο. Τά ήλεκτρονικά βολτόμετρα μέ τρανζίστορ λειτουργούν μέ μικρές μπαταρίες και σέ αύτό πλεονεκτούν έναντι τών ήλεκτρονικών βολτόμετρων μέ λυχνίες, γιατί μεταφέρονται και χρησιμοποιούνται εύκολότερα. Άκομη, είναι μικρότερα σέ μέγεθος και έλαφρύτερα.

5) Τά ήλεκτρονικά βολτόμετρα (πολύμετρα) χρησιμοποιούνται και γιά μετρήσεις άντιστάσεων και μάλιστα δίνουν άκριβή άποτελέσματα, γιατί έχουν παράλληλο κύκλωμα ώμομέτρου (βλέπε άσκηση 22 στό βιβλίο ΗΛΕΚΤΡΟΛΟΓΙΚΟ ΕΡΓΑΣΤΗΡΙΟ τής Α' τάξεως).

Στή συνέχεια δίνονται γενικές πληροφορίες και άδηγίες γιά τήν όρθιη χρήση τών ήλεκτρονικών βολτομέτρων. Δέν έξετάζεται ή λειτουργία τών κυκλωμάτων τους, γιατί δέν είναι άκομη γνωστή ή θεωρία τών ήλεκτρονικών λυχνιών και τών τρανζίστορ.

3.2 Όδηγίες χρήσεως ήλεκτρονικών βολτομέτρων μέ λυχνίες.

1) Μετά τή σύνδεση τού ήλεκτρονικού βολτομέτρου στό δίκτυο πρέπει νά περάσει ένα μικρό χρονικό διάστημα, μέχρι και 5 λεπτά, γιά νά ζεσταθούν οι λυχνίες και νά ισορροπήσει τό κύκλωμά του.

2) Γιά τήν άκριβή μέτρηση πρέπει νά γίνει προηγουμένως ρύθμιση τής άποκλίσεως τής βελόνας τού όργανου στήν κλίμακα πού θά χρησιμοποιηθεί γιά τή μέτρηση αύτή.

3) Ή ρύθμιση τού μηδενός (ό δείκτης τού όργανου άκριβως στό μηδέν) γίνεται μετά τή Θέρμανση και τήν ισορροπία τού κυκλώματος μέ τή στροφή τού είδικού ρυθμιστή (ένα κουμπί πού άντιστοιχεί σέ ποτενσιόμετρο).

4) Γιά τή μέτρηση άντιστάσεων πρέπει νά γίνεται:

α) Ρύθμιση τού μηδενός μέ βραχικύλωμα τών άκροδεκτών τού όργανου (μηδενική άντισταση).

β) Ρύθμιση πλήρους άποκλίσεως τού δείκτη (τής βελόνας), δηταν τό κύκλωμα είναι άνοικτό (άκροδέκτες έλευθεροι - άπειρη άντισταση).

5) Μετά τή ρύθμιση πιθανόν ό δείκτης νά μή σταθεροποιηθεί στό μηδέν, άλλά νά δείχνει κάποια μικρή ένδειξη. Ή ένδειξη αύτή δέν πρέπει νά ύπολογίζεται, γιατί έξαφανίζεται μόλις οι άκροδέκτες συνδεθούν γιά μέτρηση.

6) Ό κοινός άκροδέκτης (τό —) πρέπει νά συνδέεται στό κοινό άρνητικό (σασσί) τού κυκλώματος πού πρόκειται νά γίνει ή μέτρηση. Αν δέν συνδεθεί κανονικά, πιθανόν νά γίνει λανθασμένη μέτρηση, γιατί τό όργανο έπηρεάζεται άπο τήν έναλλασσόμενη τάση τού δικτύου μέσω τής χωρητικότητας, ή όποια δημιουργείται μεταξύ αύτοῦ και τού καλωδίου τροφοδοτήσεως του.

7) Συνδέεται συνήθως πρώτα ό κοινός (άρνητικός) άκροδέκτης και έπειτα ό θετικός. Ό μαθητής δέν πρέπει νά άγγιζει τά μεταλλικά άκρα τών άκροδεκτών, άλλά νά τούς κρατά άπο τίς μονώσεις.

8) Οι ένδειξεις των έναλλασσομένων τάσεων άναφέρονται σε ένεργεις (ένδεικνυμένες) τιμές και ισχύουν μόνο για ήμιτονοειδή μεγέθη.

Σημείωση. "Αν τό Έργαστηριο διαθέτει ήλεκτρονικό βολτόμετρο μέ τραγίστορ, ό καθηγητής των Έργαστηρίων πρέπει νά δώσει συμπληρωματικές πληροφορίες.

3.3 Έργασία.

1) Νά σχεδιασθεῖ τό καντράν (ϊλες οι κλίμακες) τοῦ ήλεκτρονικοῦ βολτομέτρου τῆς άσκήσεως.

2) Νά άναφερθοῦν οι κλίμακες πού διαθέτει τό σργανο κατά κατηγορίες ("Ωμ, Βόλτ D.C, Βόλτ A.C κλπ.).

3) Νά τεθεῖ τό σργανο ύπο τάση (τό φίς στήν πρίζα καί ό διακόπτης έντός — ON) καί νά γίνει ρύθμιση, μέ βάση τίς προηγούμενες όδηγγες, σε ίλες τίς κλίμακες τῶν βόλτ, μέ συνεχές καί έναλλασσόμενο.

4) Άπο τίς παροχές μέ συνεχές καί έναλλασσόμενο πού ύπάρχουν στό Έργαστηριο νά μετρηθοῦν τρεῖς διαφορετικές τάσεις άπο κάθε είδος.

5) Οι μετρήσεις τῆς προηγούμενης έρωτήσεως νά έπαναληφθοῦν μέ κοινό πολύμετρο καί νά σχολιασθοῦν τυχόν διαφορές.

6) Νά γίνει ρύθμιση τῆς κλίμακας τῶν "Ωμ (ρύθμιση τοῦ μηδενός καί ρύθμιση σε πλήρη άποκλιση).

7) Νά μετρηθοῦν τρεῖς άντιστάσεις μέ τό ήλεκτρονικό βολτόμετρο καί μέ κοινό πολύμετρο καί νά συγκριθοῦν οι τιμές τῶν δύο μετρήσεων μεταξύ τους καί μέ έκεινες πού δίνουν τά χρώματα τῶν άντιστάσεων. Νά δικαιολογηθοῦν οι διαφορές.

8) Νά έξηγηθεῖ, γιατί ή κλίμακα τῶν "Ωμ στό ήλεκτρονικό σργανο έχει τήν ίδια φορά μέ τή κλίμακα τῶν Βόλτ.

9) Τά κοινά βολτόμετρα έχουν διαφορετικές άντιστάσεις (έσωτερικές άντιστάσεις) στίς διάφορες κλίμακες. Τά ήλεκτρονικά βολτόμετρα έχουν τήν ίδια έσωτερική άντισταση σέ ίλες τίς κλίμακες. Τί συμπέρασμα βγαίνει γιά τήν εύαισθησία τῶν κοινῶν βολτομέτρων καί τῶν ήλεκτρονικῶν βολτομέτρων στίς διάφορες κλίμακές τους;

ΑΣΚΗΣΗ 4

ΠΑΛΜΟΓΡΑΦΟΣ

4.1 Μετρήσεις τάσεως, συχνότητας και διαφορᾶς φάσεως.

Προϋπόθεση γιά τήν επίτυχή διεξαγωγή τής άσκησεως αύτής είναι ή καλή γνώση τής άσκησεως 47 τοῦ βιβλίου 'Ηλεκτρολογικό Έργαστήριο τῆς Α' Τάξεως, τήν όποια θά ήταν σκόπιμο νά έπαναλάβουν οι μαθητές.

Οι κυματομορφές πού έμφανιζονται στήν θόδον τοῦ παλμογράφου σχηματίζονται άπο ένα κινούμενο πάνω σέ αύτή φωτεινό στίγμα. Ή τροχιά τοῦ στίγματος στήν θόδον είναι ή συνισταμένη δύο κινήσεων, μιᾶς κατά τὸν κατακόρυφο δξονα και μιᾶς κατά τὸν ὄριζόντιο. Ή κατακόρυφη κίνηση δφείλεται σέ έξωτερική τάση, ένω ή ὄριζόντια κίνηση δφείλεται σέ μιά τάση πού παράγεται μέσα στὸν παλμογράφο άπο τῆ γεννήτρια σαρώσεως, ὅπως λέγεται, και τῆς όποιας ή κυματομορφή είναι αύτή τοῦ σχήματος 4.1.



Σχ. 4.1.

Η τάση αύτή, πού κινεῖ περιοδικά και ίσοταχῶς τὸ στίγμα άπο τὰ άριστερά πρός τὰ δεξιά στήν θόδον τοῦ παλμογράφου και κατόπιν πάρα πολὺ γρήγορα άπο δεξιά πρός τὰ άριστερά, λέγεται **πριονωτή τάση σαρώσεως**.

Η συχνότητα f_{σ} τῆς περιοδικῆς αύτῆς τάσεως ρυθμίζεται μέ τὸν ἐπιλογέα τῆς συχνότητας σαρώσεως (Sweep frequency selector ή Horizontal selector), ὁ δποίος ἐπιδρᾶ στὸ κύκλωμα τῆς γεννήτριας σαρώσεως τοῦ παλμογράφου.

Σύμφωνα μέ δσα ἀναφέραμε, ὁ χρόνος πού χρειάζεται γιά νά κινηθεῖ τὸ στίγμα άπο τὸ άριστερό στὸ δεξιό ἄκρο τῆς θόδονς μαζὶ μέ τὸν πολὺ μικρότερο χρόνο τῆς πάρα πολὺ γρήγορης ἐπιστροφῆς του στὸ άριστερό ἄκρο είναι ή περίοδος T_{σ} τῆς πριονωτῆς τάσεως και ίσχυει ή σχέση:

$$T_{\sigma} = \frac{1}{f_{\sigma}}$$

Έτσι λοιπόν, αν ή περίοδος σαρώσεως T_σ είναι μεγαλύτερη από τήν περίοδο τού σήματος πού παρατηροῦμε, στήν όθόνη έμφανίζονται περισσότερα κύματα τού σήματος αύτοῦ.

Μέ ένα παλμογράφο μποροῦμε νά μετρήσουμε μιά τάση, νά βροῦμε τή συχνότητα ένός περιοδικά μεταβαλλόμενου σήματος ή νά βροῦμε τή διαφορά φάσεως πού έχουν δύο ήμιτονικά σήματα τής ίδιας συχνότητας. Γιά νά κάνουμε αύτές τίς μετρήσεις πρέπει νά γνωρίζομε πόσα βόλτα άντιστοιχούν άνα έκατοστόμετρο κατά τήν κατακόρυφη μετακίνηση τού στίγματος (γιά τή μέτρηση τής τάσεως) ή πόσο χρόνο χρειάζεται τό στίγμα γιά νά μετακινηθεῖ κατά ένα έκατοστόμετρο όριζόντια (γιά τή μέτρηση τής συχνότητας).

Αύτά τά δύο μεγέθη είναι σημειωμένα σέ κάθε παλμογράφο σέ ένα βαθμονόμηνο ειδικό διαφανές πλαστικό κάλυμμα τής όθόνης του. "Αν δέν είναι σημειωμένα, μπορεΐ νά γίνει βαθμονόμηση, δημοσίευση, τού παλμογράφου αύτοῦ κατά τόν κατακόρυφο ξένονα σέ βόλτα καί κατά τόν όριζόντιο ξένονα σέ δευτερόλεπτα ή σέ κλάσματα τού δευτερολέπτου.

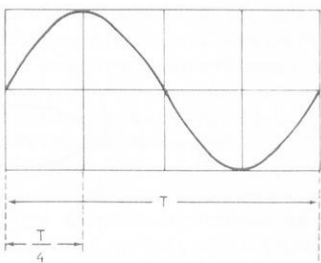
4.2 Βαθμονόμηση κατά τόν κατακόρυφο ξένονα.

Βαθμονόμηση τού παλμογράφου κατά τόν κατακόρυφο ξένονα σημαίνει νά βροῦμε **πόσα βόλτα** άντιστοιχούν σέ κάθε έκατοστόμετρο στόν ξένονα αύτόν τής όθόνης τού παλμογράφου. Αύτό γίνεται μέ τήν έφαρμογή στήν είσοδο τού ένισχυτή κατακόρυφης άποκλίσεως (Vertical input) μιᾶς γνωστής έναλλασσόμενης τάσεως μικροῦ μεγέθους. Μέ τή βοήθεια τού κουμπιού πού ρυθμίζει τήν άπολαβή τού ένισχυτή αύτοῦ ρυθμίζομε, ώστε τό γνωστό σήμα νά τοποθετηθεῖ σέ όρισμένο άριθμό τέτραγωνιδίων τού κατακόρυφου ξένονα. Μέ βάση τά τέτραγωνίδια πού άντιστοιχούν στή γνωστή τάση μποροῦμε νά έλεγχομε όποιαδήποτε άλλη τάση μικρότερη ή μεγαλύτερη, άφοῦ έχομε καθορίσει πόσα βόλτα άντιστοιχούν σέ κάθε τέτραγωνίδιο.

Γι' αύτή τήν περίπτωση, χωρίς κανένα σήμα στόν ένισχυτή όριζόντιας άποκλίσεως, ο παλμογράφος δίνει μιά κατακόρυφη εύθεια πού τό μήκος της είναι άναλογο μέ τό πλάτος άπό κορυφή σέ κορυφή όποιασδήποτε μεταβαλλόμενης τάσεως πού έφαρμόζεται στήν είσοδο τού ένισχυτή κατακόρυφης άποκλίσεως (Vertical input).

4.3 Βαθμονόμηση κατά τόν όριζόντιο ξένονα.

Βαθμονόμηση κατά τόν όριζόντιο ξένονα σημαίνει νά βαθμολογήσουμε τήν όθόνη τού παλμογράφου κατά τόν ξένονα αύτόν σέ χρονικές μονάδες. Αύτό γίνεται άν ρυθμίσομε τόν παλμογράφο έτσι, ώστε ή περίοδος T ένός σήματος γνωστής συχνότητας νά περιλαμβάνεται σέ όρισμένο άριθμό τέτραγωνιδίων. "Έτσι λοιπόν, άφοῦ θά είναι γνωστός ο άριθμός τών τέτραγωνιδίων πού άντιστοιχούν σέ χρόνο ίσο μέ τήν περίοδο T , εύκολα βρίσκεται καί ο χρόνος πού άντιπροσωπεύει κάθε τέτραγωνίδιο (σχ. 4.3) καί ο όποιος θά άποτελεῖ τό μέτρο συγκρίσεως γιά τίς συχνότητες πού θέλουμε νά μετρήσουμε.

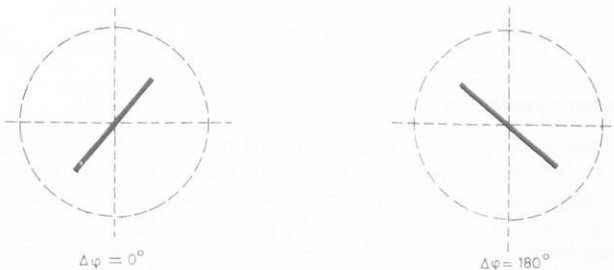


Σχ. 4.3.

4.4 Εύρεση διαφορᾶς φάσεως.

Μέ τὸν παλμογράφῳ μποροῦμε ἀκόμη νά βροῦμε τὴ διαφορά φάσεως πού ἔχουν μεταξύ τους δύο ἡμιτονικά σήματα τῆς ἴδιας συχνότητας. Αύτὸ γίνεται ώς ἐξῆς:

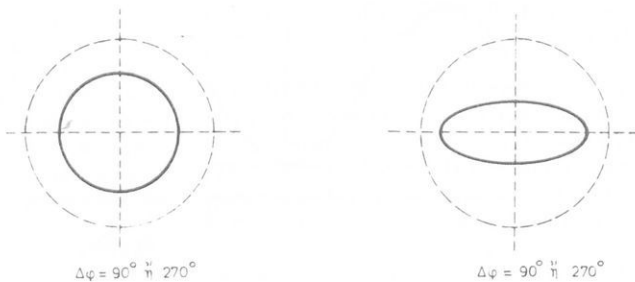
Διακόπτομε πρῶτα τὴ σάρωση μέ τό σχετικό διακόπτη. Μετά τὴ διακοπή τῆς σαρώσεως, ὅπότε στὴν ὁθόνῃ ἐμφανίζεται ἔνα φωτεινό στίγμα, ἐφαρμόζομε στὶς εἰσόδους τῶν δύο ἡμιτονικῶν τοῦ παλμογράφου τὰ δύο ισόσυχνα ἡμιτονικά σήματα, ἀπό τὰ δόποια θέλομε νά μετρήσουμε τὴ διαφορά φάσεως. Ρυθμίζομε τότε τὴν κατακόρυφη καὶ τὴν δριζόντια ἐνίσχυση τοῦ παλμογράφου, ὥστε στὴν ὁθόνη του νά ἐμφανισθεῖ ἡ πλαγιαστή εύθεια ἢ ἔλλειψη ἢ κύκλος. Ἀπό τὰ σχήματα αὐτά ὑπολογίζομε τὴ διαφορά φάσεως μεταξύ τῶν δύο ἡμιτονικῶν σημάτων, δηπως φαίνεται στὰ σχήματα (4.4α, 4.4β καὶ 4.4γ).



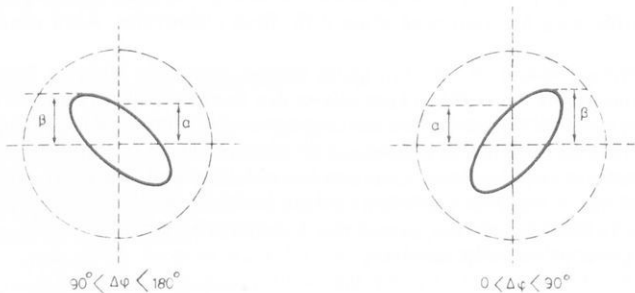
Σχ. 4.4α.

Γιά τίς δύο τελευταῖες περιπτώσεις ἡ γωνία διαφορᾶς φάσεως φ δίνεται ἀπό τὴ σχέση:

$$\text{ημ } \Phi = \frac{\alpha}{\beta}$$



Σχ. 4.4β.



Σχ. 4.4γ.

4.5 Μέτρηση συχνότητας.

Η συχνότητα ένός σήματος μπορεί νά βρεθεῖ άπό την περίοδο του σύμφωνα μέτρηση στην σχέση $f = 1/T$. Έπισης μπορεί νά ύπολογισθεῖ άπό τά σχήματα Λισαζού (Lissajous), πού έμφανίζονται στήν θόρυβο τοῦ παλμογράφου, όταν συγκρίνομε τήν αγνωστή συχνότητα μέ μιά άλλη γνωστή. Τά σχήματα Λισαζού είναι σταθερά στήν θόρυβο μόνο ἂν οι συγκρινόμενες συχνότητες έχουν λόγο άκεραιο άριθμό.

Ο παλμογράφος πέρα άπό τίς έφαρμογές του στόν έλεγχο ήλεκτρονικών κυκλωμάτων, χρησιμοποιεῖται σέ πολλές βιομηχανικές έφαρμογές, όπου τά διάφορα φυσικά φαινόμενα πού έμφανίζονται έκεī, άφοῦ τά μετατρέψομε πρώτα σέ ήλεκτρικές μεταβολές, μποροῦν νά παρατηρηθοῦν στήν θόρυβη.

4.6 Έργασία.

- 1) Νά βαθμονομηθεῖ ὁ παλμογράφος σέ βόλτ κατά τόν κατακόρυφο ἀξονα μέ μιά γνωστή τάση πού θά δρίσει ὁ καθηγητής τῶν Έργαστηρίων, ὁ ὅποιος καὶ θά ἔ-

λέγεται τό κύκλωμα συνδεσμολογίας αύτης της τάσεως πριν έφαρμοσθεῖ. Μιά γνωστή μικρή τάση άπο τη γεννήτρια χαμηλών συχνοτήτων ή μιά έναλλασσόμενη τάση 5 βόλτ ή 6,3 βόλτ άπο μετασχηματιστή μπορεῖ νά χρησιμοποιηθεῖ γι' αυτή τη βαθμονόμηση. 'Υπενθυμίζομε πάλι ότι ή άποκλιση τού στίγματος έπάνω στήν θόρυβη (τό μήκος της κατακόρυφης φωτεινής εύθειας) είναι άναλογη μέ τήν τιμή της γνωστής τάσεως άπο κορυφή σέ κορυφή.

2) Μετά τή βαθμονόμηση, νά μετρηθεῖ ή μεγαλύτερη τάση πού δίνει στήν ξεσόδο της ή γεννήτρια χαμηλών συχνοτήτων στούς 400 Hz.

3) Μέ τή γεννήτρια χαμηλών συχνοτήτων σέ μιά σταθερή συχνότητα, π.χ. 100 Hz, νά βαθμονομηθεῖ σέ χρονικές μονάδες ή παλμογράφος κατά τόν όριζόντιο άξονα.

4) Νά μετρηθεῖ, μετά τή βαθμονόμηση, ή περίοδος ένός σήματος 500 Hz.

5) Νά ρυθμισθεῖ ή παλμογράφος ώστε στήν θόρυβη του νά έμφανίζεται στίγμα. "Επειτα νά έφαρμοσθεῖ στήν είσοδο τοῦ κατακόρυφου ένισχυτή (Vertical input) έναλλασσόμενη τάση 6,3 βόλτ καί νά ρυθμισθεῖ τό πλάτος της, ώστε νά καλύπτει τά 2/3 περίπου της θόρυβης (γιά νά φαίνεται καλά). Μέ τή γεννήτρια χαμηλής συχνότητας τώρα νά έφαρμοσθεῖ στήν είσοδο τοῦ όριζόντιου ένισχυτή (Horizontal input) σήμα 50 Hz. Μέ σχετική ρύθμιση, ἀν χρειάζεται, πρέπει νά έμφανισθεῖ στήν θόρυβη μιά έλλειψη ή ένας κύκλος ή μιά πλαγιαστή εύθεια.

6) Νά μεταβληθεῖ ή συχνότητα της γεννήτριας, ώστε νά είναι άκέραιο πολλαπλάσιο (ή άκέραιο ύποπολλαπλάσιο) τῶν 50 Hz καί νά παρατηρηθοῦν τά σχήματα Λισαζού.

7) "Ενα σήμα άγνωστης συχνότητας έφαρμόζεται στήν είσοδο τοῦ κατακόρυφου ένισχυτή. 'Η γεννήτρια έσωτερικής σαρώσεως δίνει 500 Hz καί στήν θόρυβη τοῦ παλμογράφου έμφανίζεται σταθερό σήμα 10 πλήρων κυμάτων. Νά ύπολογισθεῖ ή άγνωστη συχνότητα.

ΑΣΚΗΣΗ 5

ΓΕΝΝΗΤΡΙΕΣ ΠΑΡΑΓΩΓΗΣ ΣΗΜΑΤΩΝ

5.1 Περιγραφή – Χειρισμός.

Η γεννήτρια ή ταλαντωτής σημάτων, πού είναι ένα άπο τά πλέον άπαραίτητα δργανα γιά τό ήλεκτρονικό Έργαστριο, παρέχει τάσεις ρυθμιζόμενου πλάτους σε διάφορες συχνότητες. Η μορφή τών τάσεων (σημάτων) πού παράγει μά γεννήτρια μπορεί νά είναι ήμιτονική (ή πιό συνηθισμένη περίπτωση) ή νά έχει όποιαδή- ποτε άλλη μορφή, άναλογα μέ τίς άναγκες τών έργαστηριακών έφαρμογών.

Έτσι στήν έξοδο μιάς γεννήτριας σημάτων μπορεί νά δίνονται ήμιτονικά, όρθογώνια ή τριγωνικά σήματα, σήματα άλλης συγκεκριμένης μορφής (π.χ. πριονωτής κλπ).

Οι γεννήτριες σημάτων μποροῦν νά χωρισθοῦν στίς έξης κατηγορίες:

α) Γεννήτριες χαμηλών ή άκουστικών συχνοτήτων.

Παράγουν ήμιτονικά ή όρθογώνια σήματα στίς συχνότητες τής περιοχής τών άκουστικών συχνοτήτων, δηλαδή 20 - 20.000 Hz. Σέ μερικές συσκευές ή κλίμακα τών συχνοτήτων έπεκτείνεται ώς και τούς 200 kHz ή και περισσότερο, δηλαδή πολύ πέρα από τίς άκουστικές συχνότητες.

β) Γεννήτριες ύψηλών συχνοτήτων ή ραδιοσυχνοτήτων.

Παράγουν μιά τάση στίς συχνότητες από 100 kHz μέχρι 40 MHz περίπου, γιά τήν έξυπηρέτηση ραδιοφωνικών συσκευών. "Άλλες κατασκευές τέτοιων γεννήτριων καλύπτουν περιοχή μέ ύψηλότερες συχνότητες και φθάνουν ώς τούς 300 MHz.

γ) Γεννήτριες F.M - TV.

Παράγουν μιά τάση μέ ειδική κυματομορφή στίς συχνότητες τών περιοχών V.H.F (Very high frequency - πολύ ύψηλή συχνότητα) και U.H.F (Ultra high frequency - πάρα πολύ ύψηλή συχνότητα), γιά τήν έξυπηρέτηση συσκευών FM και τηλεοράσεως. Συνήθως ή περιοχή συχνοτήτων στά Sweep και Marker Generators - γεννήτριες σαρώσεως και σημειωτές, έκτείνεται ώς τούς 300 MHz.

δ) Γεννήτριες μικροκυμάτων, μέ συχνότητες στήν περιοχή τών Γιγακύκλων (GHz) γιά έργαστηριακά πειράματα και μετρήσεις.

ε) Γεννήτριες σημάτων πολύ χαμηλής συχνότητας, π.χ. από 0,01 Hz ώς 1200 Hz, γιά έργαστηριακές μετρήσεις.

Οι χρήσεις τών γεννητριών στά ήλεκτρονικά κυκλώματα είναι πάρα πολλές, öπως:

α) Έφαρμογή τού σήματος πού παράγουν σέ βαθμίδες συσκευών πού προσπαθοῦμε νά έπισκευάσουμε.

β) Συντονισμός και εύθυγράμμιση ραδιοφώνων.

γ) Συντονισμός κυκλωμάτων πομπών.

- δ) Συντονισμός κυκλωμάτων τηλεοράσεως.
 ε) Έλεγχος καί ρύθμιση ένισχυτών άκουστικών συχνοτήτων ύψηλης πιστότητας (Hi - Fi, High Fidelity - ύψηλή πιστότητα).
 στ) Μέτρηση σύνθετης άντιστάσεως γραμμής μεταφορᾶς ένέργειας χαμηλής ή ύψηλής συχνότητας.

ζ) Μέτρηση χρόνου καί συχνότητας.
 η) Έλεγχος διαφόρων ήλεκτρονικών κυκλωμάτων. Έδω θά μποροῦσαν νά αναφερθοῦν πολυάριθμες περιπτώσεις, άπο τέλο κύκλωμα δοπιασδήποτε ήλεκτρονικής συσκευής οικιακής χρήσεως ώς ένα μεγάλο ήλεκτρονικό ύπολογιστή.

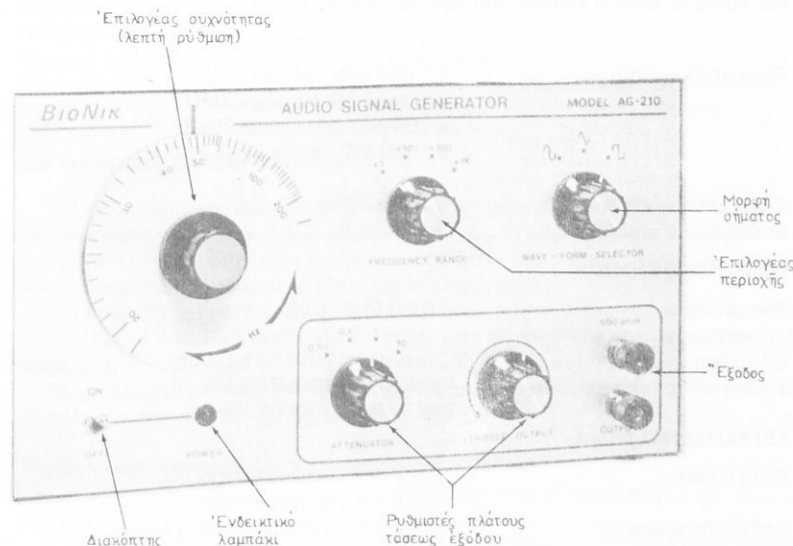
Στήν άσκηση αύτή περιγράφονται:

- Οι γεννήτριες χαμηλών ή άκουστικών συχνοτήτων (Audio Frequency Generator) καί
- οι γεννήτριες ύψηλών συχνοτήτων ή ραδιοσυχνοτήτων (Radio Frequency Generator). Δέν έξετάζομε άκομη τά κυκλώματα τους, άλλα μόνο τό χειρισμό των κουμπιών τους καί τή χρήση τους γιά τήν έξυπηρέτηση τῶν ἄλλων άσκήσεων.

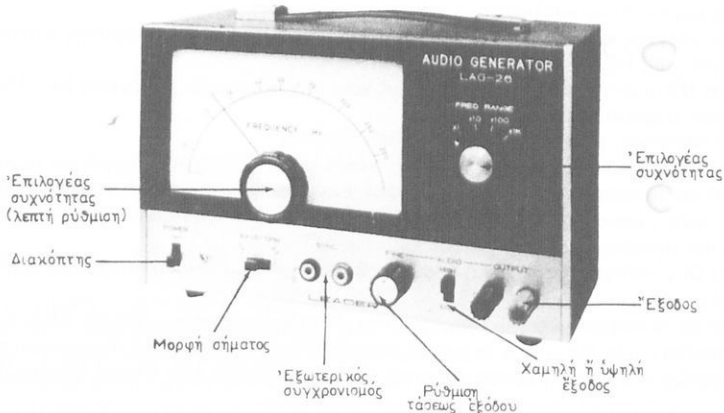
5.2 Γεννήτριες χαμηλών συχνοτήτων.

Σέ κάθε σχολικό έργαστηριο είναι πιθανό νά ύπάρχει διαφορετικός τύπος τέτοιων γεννητριών. "Ομως ή λειτουργία δόλων στηρίζεται στίς ίδιες βασικές άρχες καί οι χειρισμοί στή χρήση τους είναι σχεδόν ίδιοι σέ δόλους τούς τύπους.

Στά έπομενα σχήματα 5.2α καί 5.2β φαίνονται δύο γεννήτριες χαμηλών συχνο-



Σχ. 5.2α.



Σχ. 5.2β.

τήτων. Ή μία είναι έλληνικής κατασκευής καί η άλλη ζένης καί είναι άπο τίς γεννήτριες που χρησιμοποιούνται πιο πολύ στή χώρα μας.

Η έλληνικής κατασκευής γεννήτρια (σχ. 5.2a), έχει τά άκολουθα χαρακτηριστικά, όπως τά δίνει η έταιρία που τήν κατασκευάζει:

Περιοχή συχνοτήτων:

- × 1 άπο 20Hz μέχρι 200Hz
- × 10 άπο 200Hz μέχρι 2kHz
- × 100 άπο 2kHz μέχρι 20kHz
- × 1000 άπο 20kHz μέχρι 200kHz

Άκριβεια συχνότητας:

$$\pm (3\% + 2\text{Hz})$$

Σταθερότητα ταλαντωτῆ:

$$\pm 50\text{ppm} / ^\circ\text{C}$$

HMITONIKO ΣΗΜΑ

Τάση έξοδου:

$$10\text{V R.M.S.} \pm 5\%$$

Χαρακτηριστικά συχνότητας

(μέ σχέση τή στάθμη τοῦ 1kHz):

$$20\text{Hz μέχρι } 200\text{kHz} \pm 0,5\text{db}$$

Συντελεστής παραμορφώσεως:

$$30\text{Hz μέχρι } 100\text{kHz} 0,5\%$$

$$20\text{Hz μέχρι } 200\text{kHz} 1\%$$

TETRAGΩΝΙΚΟ ΣΗΜΑ

Τάση έξοδου:

$$20\text{V P-P ή και μεγαλύτερη}$$

$$20\text{V P-P ή και μεγαλύτερη}$$

Χρόνος άνυψώσεως:

$$20\text{ns (στόν } 1\text{kHz μέ μέγιστη έξοδο)}$$

Χρόνος καθόδου:

$$50\text{ns (στόν } 1\text{kHz μέ μέγιστη έξοδο)}$$

Σχέση κύκλου:

$$50\% \pm (\sigma τόν 1\text{kHz μέ μέγιστη έξοδο})$$

Ποσοστό έξάρσεως:

$$3\% \text{ ή μικρότερο (στόν } 1\text{kHz μέ μέγιστη έξοδο)}$$

ΤΡΙΓΩΝΙΚΟ ΣΗΜΑ

Τάση έξοδου:	10V R.M.S. \pm 5%
Χαρακτηριστικά συχνότητας (μέ σχέση τή στάθμη του 1kHz):	20Hz μέχρι 200kHz \pm 0,5db
Γραμμικότητα:	30Hz μέχρι 100kHz 1% 20Hz μέχρι 200kHz 1,5%

ΓΕΝΙΚΑ

Σύνθετη άντίσταση έξοδου:	600 Ω \pm 10%
'Υποβιβαστής έξοδου:	10V μέχρι 0,01V, 1/10 (20db) σέ 4 κλίμακες
'Ακρίβεια ύποβιβαστή έξοδου:	\pm 1db
'Απόκλιση συχνότητας:	0,1% γιά μεταβολή τάσεως δικτύου \pm 10%
Μεταβολή τάσεως έξοδου:	\pm 0,5db γιά μεταβολή τάσεως δικτύου \pm 10%

Η δεύτερη γεννήτρια χαρηλῶν συχνοτήτων είναι Ιαπωνικής κατασκευής και έχει τά άκόλουθα χαρακτηριστικά:

Μορφή σημάτων:	ήμιτονικά καί όρθογώνια
Περιοχή συχνοτήτων:	20Hz - 200kHz σέ 4 κλίμακες
'Ακρίβεια:	\pm 3% + 2Hz
Σύνθετη άντίσταση έξοδου:	600 Ω
Σύνθετη άντίσταση είσοδου:	10 k Ω
Μέγιστη ήμιτονική τάση έξοδου:	5V (ένεργος)
Μέγιστη τάση τετραγ. σημάτων:	10V p.p.
Περιοχή όρθογωνίων σημάτων:	20Hz - 20kHz
Παραμόρφωση:	μικρότερη άπό 0,5%, 200Hz - 20kHz μικρότερη άπό 1%, 20Hz - 200kHz

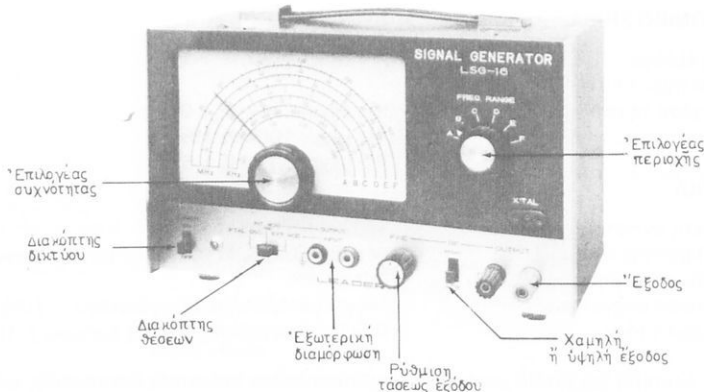
5.3 Γεννήτριες ύψηλῶν συχνοτήτων.

Καὶ στίς γεννήτριες ύψηλῶν συχνοτήτων υπάρχουν διάφοροι τύποι. Η λειτουργία τους δημιουργείται στίς ίδιες βασικές άρχες. Ο χειρισμός των διαφόρων τύπων είναι εύκολος, όταν κανείς ξέρει νά χειρίζεται ένα τύπο. Οι διαφορές μεταξύ των κατασκευών διαφόρων έργοστασίων είναι μικρές.

Στά έπομενα σχήματα 5.3α καὶ 5.3β φαίνονται δύο γεννήτριες ύψηλῶν συχνοτήτων. Καὶ οι δύο είναι ξένης κατασκευής, γιατί τέτοιες δέν κατασκευάζομε στή χώρα μας.

Τά χαρακτηριστικά τῆς πρώτης γεννήτριας (σχ.5.3α) είναι τά άκόλουθα, ὥστε τά δίνει ὁ κατασκευαστής της:

Περιοχή συχνοτήτων:	100kHz - 100MHz καὶ μέχρι 300MHz μέ άρμονικές
Κλίμακες:	A 100 - 320kHz B 320 - 1100kHz C 1,05 - 3,3MHz D 3,2 - 11MHz



Σχ. 5.3α.

Κλίμακες:

E 11 - 35MHz

F 30 - 100MHz

(90 - 300 MHz βαθμολογημένες άρμονικές)

$\pm 1,5\%$

100mV περίπου μέχρι τούς 35MHz

1kHz στό 30% και πάνω

50Hz - 20kHz μέ τάση κάτω από 1V

στόν 1kHz, 1V μέγιστη, σταθερή

γιά 1 - 15MHz

Άκριβεια στίς συχνότητες:

Τάση έξοδου Υ.Σ.:

Διαμόρφωση έξωτερική:

Διαμόρφωση έξωτερική:

Τάση χαμηλής συχνότητας γιά τη διαμόρφωση:

Κρύσταλλος ταλαντωτή:

Τάχαρακτηριστικά τής δεύτερης γεννήτριας ύψηλών συχνοτήτων (σχ. 5.3β) είναι τα άκολουθα:

Περιοχή συχνοτήτων:

120kHz - 130MHz

και μέχρι 390MHz μέ βαθμολογημένες άρμονικές

A 120 - 320kHz

B 320 - 1000kHz

C 1 - 3,2MHz

D 3,2 - 11MHz

E 11 - 38MHz

F 38 - 130MHz

(120 - 390MHz μέ βαθμολογημένες άρμονικές)

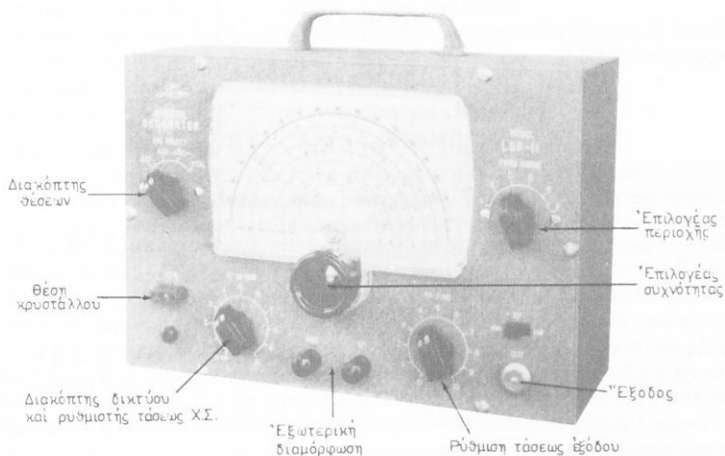
Τάση έξοδου Υ.Σ.:

πάνω από 100mV από 120kHz - 38MHz

Χαμηλές συχνότητες διαμορφώσεως:

400 και 1000Hz

Κρύσταλλος ταλαντωτή:	1 - 15MHz
Τάση έξόδου χαμ. συχνότητας:	3 - 4V
Τάση εισόδου χαμ. συχνότητας:	4V περίπου



Σχ. 5.3β.

5.4 Έργασία.

- 1) Νά σχεδιασθούν οι προσόψεις τών γεννητριῶν πού δίνονται στήν άσκηση καί νά έξηγηθεῖ ή δουλειά πού κάνει τό κάθε κουμπί.
- 2) Νά γραφοῦν τά χαρακτηριστικά τών γεννητριῶν τῆς άσκήσεως. Δηλαδή, ποιά περιοχή συχνοτήτων καλύπτει κάθε μία, ποιές κυματομορφές σημάτων δίνει καί ποιό είναι τό μέγιστο πλάτος τῆς τάσεως έξοδου πού παρέχουν.
- 3) Ποιά είναι ή συχνότητα διαμορφώσεως στίς γεννήτριες ύψηλῶν συχνοτήτων τῆς άσκήσεως; Τί έξυπηρετεῖ αύτή;
- 4) Νά συνδεθεῖ ἡ γεννήτρια άκουστικῶν συχνοτήτων στήν είσοδο ἐνός ἐνισχυτῆς καί νά άκούσουν οι μαθητές τά σήματα σέ δλη τήν κλίμακα τῶν άκουστικῶν συχνοτήτων (20 - 20.000 Hz). Νά σημειώσει ὁ κάθε μαθητής τήν περιοχή πού μπορεῖ νά άκούσει.
- 5) Νά συνδεθεῖ ἡ γεννήτρια ύψηλῶν συχνοτήτων στή θέση τῆς κεραίας ἐνός ραδιοφώνου καί νά γίνει λήψη σήματος ύψηλῆς συχνότητας. Νά διαπιστωθεῖ ἡ ἀνάγκη τῆς διαμορφώσεως τῶν σημάτων ύψηλῶν συχνοτήτων.
- 6) Μέ τή βοήθεια παλμογράφου νά μετρηθεῖ στήν είσοδο τῆς γεννήτριας Χ.Σ. ἡ μεγαλύτερη τάση πού μπορεῖ αύτή νά δώσει στούς 1000 Hz.
- 7) Νά χρησιμοποιηθεῖ παλμογράφος καί γεννήτρια χαμηλῶν συχνοτήτων καί μέ βάση ὅσα έξετάσθηκαν στήν προηγούμενη ἀσκηση (4) νά μελετηθοῦν διάφορα σχήματα Lisajous.

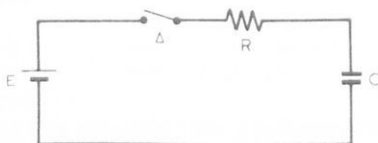
ΑΣΚΗΣΗ 6

ΣΤΑΘΕΡΑ ΧΡΟΝΟΥ

ΚΥΚΛΩΜΑ RC – ΚΥΚΛΩΜΑ RL

6.1 Κύκλωμα R - C. Φόρτιση - έκφραση τοῦ πυκνωτῆ.

Στό κύκλωμα τοῦ σχήματος 6.1a έχουν συνδεθεῖ ἔνας πυκνωτής C καί μία ἀντίσταση R σέ σειρά μέ πηγή συνεχοῦς τάσεως E. Ὁ πυκνωτής δέν ἔχει κανένα φορτίο στούς όπλισμούς του, ἐφ' ὅσον ὁ διακόπτης Δ εἴναι ἀνοικτός. Μόλις ὁ διακόπτης κλείσει, ἐφαρμόζεται ἀπότομα ἡ τάση τῆς πηγῆς E στό κύκλωμα, ἀλλά ὁ πυκνωτής δέν φορτίζεται ἀκαριαία στήν τάση αὐτή τῆς πηγῆς. Ἡ φόρτισή του γίνεται βαθμιαία καί διαρκεῖ ἐπί ἔνα χρονικό διάστημα τόσο μεγαλύτερο, ὅσο μεγαλύτερη χωρητικότητα ἔχει ὁ πυκνωτής καί ὅσο μεγαλύτερη είναι ἡ ἀντίσταση. Ὁ χρόνος φορτίσεως δηλαδή, ἔξαρται ἀπό τό γινόμενο R.C, πού ὀνομάζεται **σταθερά χρόνου** τοῦ κυκλώματος φορτίσεως.



Σχ. 6.1a.

Συγκεκριμένα, ἔχει ἀποδειχθεῖ καί ἐπαληθεύεται πειραματικά ὅτι, ἂν ἡ συνεχῆς τάση τῆς πηγῆς πού ἐφαρμόζεται ἀπότομα στό κύκλωμα είναι E, τότε σέ χρονικό διάστημα ἵσο μέ τό γινόμενο R.C ἡ τάση στά ἄκρα τοῦ πυκνωτῆ θά φθάσει τά 0,632 ἢ 63,2% τῆς E. Ἐφ' ὅσον ἡ φόρτιση συνεχίζεται, στό ἐπόμενο χρονικό διάστημα, ἵσο πάλι μέ R.C, ἡ τάση στά ἄκρα τοῦ πυκνωτῆ θά φθάσει στά 86,4% τῆς E. Στό τρίτο χρονικό διάστημα R.C θά φθάσει στά 95% τῆς E. Στό τέταρτο, στά 98,2% καί στό πέμπτο, στά 99,4%.

Γιά τήν καλύτερη κατανόηση ὅσων ἀναφέραμε, θά δείξομε ὅτι τό γινόμενο R.C παριστάνει πραγματικά χρόνο, σέ δευτερόλεπτα, ὅταν ἡ ἀντίσταση R ἐκφράζεται σέ ώμη καί ἡ χωρητικότητα C σέ φαράντ:

"Έχομε:

$$R \cdot C = R \frac{Q}{V} = \frac{R \cdot I \cdot t}{V} = \frac{V}{V} \cdot t = t \text{ (δευτερόλεπτα)}$$

Σχετικά μέ τό χρόνο φορτίσεως, παρατηροῦμε ότι, δυσανάλυτερη έναι ή χωρητικότητα τού πυκνωτή τόσο μεγαλύτερο φορτίο δέχεται αύτός καί έπομένως άπαιτεται περισσότερος χρόνος γιά τή διέλευση τού μεγαλύτερου φορτίου άπο τήν άντισταση. Καί έπισης όσο μεγαλύτερη έναι ή άντισταση, τόσο περισσότερο χρόνο θέλουν τά φορτία γιά νά περάσουν μέσα από αύτή.

"Ας δεχθούμε τώρα ότι κατά τή φόρτιση στό κύκλωμα τού σχήματος 6.1α καί σέ χρόνο ίσο πρός R.C ή τάση στά άκρα τού πυκνωτή φθάνει στά 63,2% τής τάσεως Ε τής πηγής. "Εστω π.χ. ότι έχομε:

$$E = 100V, R = 1 \text{ M}\Omega = 10^6 \Omega, C = 1 \mu\text{F} = 10^{-6} \text{ F}$$

"Αρα σταθερά χρόνου R.C = $10^6 \cdot 10^{-6} = 1$ δευτερόλεπτο.

Συνεπώς, όταν κλείσει ό διακόπτης καί άρχισει ή φόρτιση, σέ χρονικό διάστημα 1'' ή τάση στά άκρα τού C θά φθάσει στά 63,2 V. Αύτα τά 63,2 βόλτ τού πυκνωτή έναι σέ σειρά μέ τήν πηγή καί μέ άντιθετη πολικότητα από αύτή. Έπομένως, όταν άρχισει τό δεύτερο δευτερόλεπτο, τά πράγματα συμβαίνουν σά νά είχε ή πηγή τάση:

$$100 - 63,2 = 36,8 \text{ βόλτ}$$

καί νά φόρτιζε έξαρχης τόν πυκνωτή μέσα από τήν R, δύότε σέ 1'' ή τάση στά άκρα του θά έφθανε πάλι στά 63,2% (ή 0,632) τών 36,8 βόλτ. Δηλαδή:

$$36,8 \times 0,632 = 23,2 \text{ βόλτ}$$

"Αρα ή όλική τάση στά άκρα τού πυκνωτή στό τέλος τού δεύτερου δευτερολέπτου θά έναι:

$$63,2 + 23,2 = 86,4 \text{ βόλτ}$$

Μέ τόν ίδιο τρόπο σκεπτόμασθε καί γιά τίς έπόμενες σταθερές χρόνου.

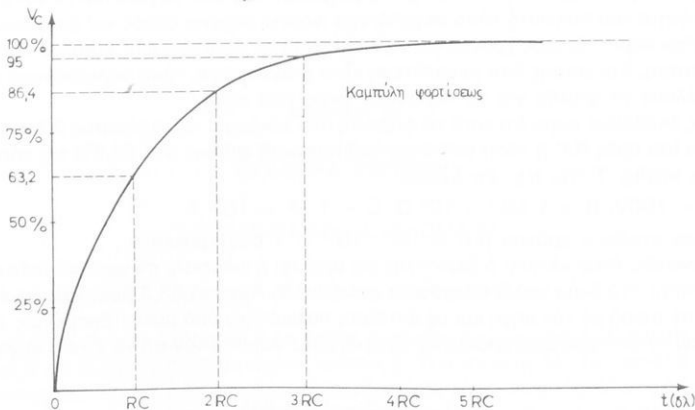
Στίς έφαρμογές δεχόμασθε ότι σέ χρονικό διάστημα ίσο μέ 5 σταθερές χρόνου ό πυκνωτής έχει στούς όπλισμούς του τάση ίση μέ τήν τάση τής πηγής, άφου γιά 5R.C ή τάση του ίσουται μέ τά 99,4% τής τάσεως τής πηγής.

Παρατηροῦμε άκομη ότι στήν άρχη τής φορτίσεως, τά μετακινούμενα φορτία έναι μεγάλα (τό ρεύμα φορτίσεως ίσχυρό), ένων δυσανάλυτερη φορτίση προχωρεῖ, δύότε ό πυκνωτής παρεμβάλλει στό κύκλωμα τή δική του άντιθετη τάση, τό ρεύμα φορτίσεως μικραίνει. Τελικά, όταν ό πυκνωτής θά έχει στούς όπλισμούς του τάση ίση μέ τήν τάση τής πηγής (καί μέ πολικότητα άντιθετη), ή ροή τού ρεύματος θά σταματήσει.

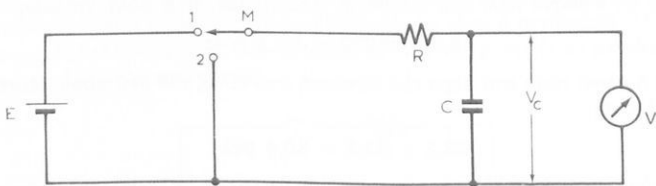
Άυτός είναι ό λόγος, γιά τόν όποιο τό ρεύμα πού φορτίζει έναν πυκνωτή προπρεύεται ώς πρός τήν τάση πού άποκαθίσταται (στό τέλος τής φορτίσεως) στούς όπλισμούς του.

Στό διάγραμμα τού σχήματος 6.1β παριστάνεται γραφικά ή διαδικασία φορτίσεως τού πυκνωτή σέ συνάρτηση μέ τό χρόνο.

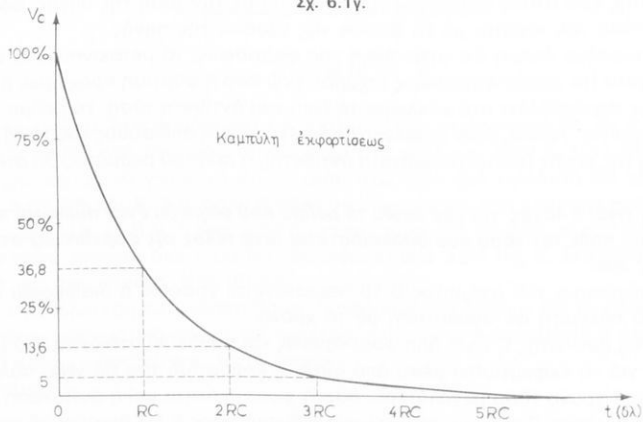
"Αν ένας πυκνωτής C έναι ήδη φορτισμένος καί συνδεθεῖ στά άκρα του μιά άντισταση, γιά νά έκφορτισθεί μέσα από αύτή, ή έκφορτισή του θά γίνει πάλι βαθμιαία καί σέ χρόνο τόσο μεγαλύτερο, δυσανάλυτερο, όσο ή χωρητικότητα καί ή άντισταση έχουν τιμές μεγαλύτερες. "Εστω π.χ. τό κύκλωμα τού σχήματος 6.1γ, όπου μέ τό μεταγωγό M στή θέση 1 έχομε φόρτιση καί στή θέση 2 έκφορτιση τού C.



Σχ. 6.1β.



Σχ. 6.1γ.



Σχ. 6.1δ.

Αποδεικνύεται πάλι ότι, αν ή τάση στούς δόπλισμούς του C είναι E και άρχισει ή έκφροτισή του μέσα από τήν R, τότε σέ χρόνο ίσο μέ τή σταθερά του χρόνου R.C ή τάση του C θά ύποβιβασθεί στά 36,8% (ή 0,368) τής E. Στό έπόμενο χρονικό διάστημα, ίσο πάλι πρός R.C, ή τάση του C θά φθάσει στά 13,6% τής E. Στό τρίτο χρονικό διάστημα R.C θά φθάσει στά 5%, στό τέταρτο στά 1,8% καί στό πέμπτο, στά 0,6% τής E.

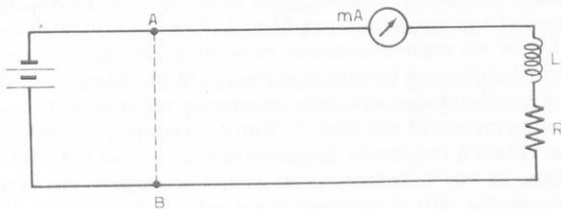
Θεωροῦμε πάλι ότι σέ χρονικό διάστημα ίσο μέ 5R.C ό πυκνωτής στά πρακτικά κυκλώματα έχει έκφορτισθεί.

Η πορεία τής έκφορτίσεως του πυκνωτή δείχνεται άπο τή καμπύλη του σχήματος 6.1δ.

6.2 Β' Κύκλωμα R - L. Τό ρεύμα στό πηνίο.

Η αύτεπαγγή L ένός πηνίου άντιθεται σέ δοπιαδήποτε μεταβολή του ρεύματος στό κύκλωμα πού είναι συνδεμένο τό πηνίο.

Άν π.χ. σέ ένα κύκλωμα, όπως του σχήματος 6.2, μέ πηνίο καί ώμικη άντισταση σέ σειρά, έφαρμοσθεί συνεχής τάση. Θά κυκλοφορήσει ένα ρεύμα πού δίνεται άπο τό νόμο του "Ωμ.



Σχ. 6.2.

Έξαιτίας ομώς του πηνίου, τό ρεύμα αύτό δέν θά πάρει τή μέγιστη τιμή του άμεσως μόλις συνδεθεί τό κύκλωμα στή πηγή. Καί έδω, όπως συμβαίνει μέ τήν τάση στόν πυκνωτή, τό **ρεύμα** φθάνει στά 63,2% τής τελικής του τιμής σέ χρόνο t πού καθορίζεται άπο τό λόγο L/R (σταθερά χρόνου, t = L/R).

Ο χρόνος φυσικά έκφραζεται σέ δευτερόλεπτα, ή αύτεπαγγή L του πηνίου σέ H (άνρυ) καί ή άντισταση R σέ "Ωμ.

Γενικά ο χρόνος πού χρειάζεται γιά νά φθάσει τό ρεύμα μέσα από τό πηνίο τή μέγιστη τιμή του, άκολουθεί τόν έκθετικό νόμο πού άκολουθεί ή τάση στόν πυκνωτή καί δίνεται άπο τήν καμπύλη του σχήματος 6.1β μέ τή διαφορά θί ο κάθετος άξονας σέ αύτή τήν περίπτωση θά έκφραζει τό ρεύμα μέσα από τό πηνίο.

Άν τώρα έξετασθεί ή διαδικασία τής έκφορτίσεως του κυκλώματος, δηλαδή, άν άποσυνδεθεί ή πηγή καί ένωθούν τά σημεία A - B (σχ. 6.2), παρατηρούμε θί ή έλάττωση τού ρεύματος πού είναι παράλληλη μέ τήν έλάττωση τής τάσεως στά άκρα τού πηνίου, γίνεται θί πως ή έκφροτιση τής τάσεως σέ ένα κύκλωμα μέ πυκνωτή καί άντισταση. Καί πάλι ο λόγος L/R καθορίζει τό χρόνο πού ή τιμή τού ρεύ-

ματος θά πέσει κατά 63,2%, της μέγιστης δηλαδή, στό 36,8%. Η μεταβολή αύτη-έκφραζεται άπο την καμπύλη του σχήματος 6.1δ που δείχνει τή μεταβολή της τάσεως σε ένα πυκνωτή σε κύκλωμα R.C κατά τήν έκφραση.

6.3 Έργασία.

Νά σχεδιασθεί τό πληρες κύκλωμα της άσκήσεως καί νά σημειωθοῦν οι τιμές των έξαρτημάτων (σχ. 6.1γ μέ περισσότερους συνδυασμούς RC).

2) Νά υπολογισθοῦν οι σταθερές χρόνου γιά όλους τους συνδυασμούς πυκνωτών καί άντιστάσεων πού ύπάρχουν στό κύκλωμα.

3) Νά γίνει συνδεσμολογία του κυκλώματος, όπως φαίνεται στό σχήμα 6.1β. Παράλληλα στόν πυκνωτή νά συνδεθεί ήλεκτρονικό βολτόμετρο. Στό σημείο αύτό τονίζεται τό έξης: Γιά νά είναι οι μετρήσεις πού Θά ληφθοῦν σύμφωνες μέ τους θεωρητικούς ύπολογισμούς, πρέπει ή έσωτερική άντισταση του ήλεκτρονικού βολτομέτρου νά είναι σσό τό δυνατόν μεγαλύτερη σε σύγκριση μέ τήν R τού κυκλώματος. "Αν ή έσωτερική άντισταση του βολτομέτρου είναι μικρή, έπηρεάζει σημαντικά τήν τιμή της R καί οι μετρήσεις πού λαμβάνονται διαφέρουν πολύ άπο τους θεωρητικούς ύπολογισμούς, γιατί ή σταθερά χρόνου μεταβάλλεται, όταν παράλληλα στόν πυκνωτή συνδεθεί ή σχετικά μικρή άντισταση του βολτομέτρου.

Νά τοποθετηθεί ο μεταγωγός M στή θέση 2. Ρυθμίζομε τή πηγή E στήν τάση π.χ. τών 100 βόλτ καί παρακολουθοῦμε τό δευτερολεπτοδείκτη ένός χρονομέτρου. Στήν κατάλληλη στιγμή θέτομε τό μεταγωγό M στή θέση 1 καί ταυτόχρονα άρχιζομε νά παρακολουθοῦμε τήν τάση φορτίσεως του πυκνωτή.

4) Θέτομε τό μεταγωγό M στή θέση 2. "Ετσι ο C έκφορτίζεται μέσω τής R. Άλλα γιά νά είναι τέλεια ή έκφόρτιση, βραχυκυκλώνομε μέ ένα καλώδιο τους άπλισμούς του. "Ετσι, μέ τόν C έκφορτισμένο, μπορεί νά άρχισει νέα μέτρηση.

5) Παρακολουθοῦμε πάλι τό χρονόμετρο καί στήν κατάλληλη στιγμή θέτομε τό μεταγωγό στή θέση 1 καί ταυτόχρονα παρακολουθοῦμε τήν τάση φορτίσεως του C καί το χρόνο. Μόλις συμπληρωθεί χρόνος ūσος μέ R.C, σημειώνομε τήν τάση πού έπικρατεί στά άκρα του πυκνωτή.

6) Μετά θέτομε τό μεταγωγό στή θέση 2 καί έκφορτίζομε πάλι έντελως τόν πυκνωτή. Συνεχίζομε μέ τόν ίδιο τρόπο τίς μετρήσεις γιά τά έξης πολλαπλάσια τής σταθερᾶς χρόνου:

2R.C, 3R.C, 4R.C, 5R.C

7) Μέ σμοιο τρόπο νά γίνουν μετρήσεις γιά όλους τους συνδυασμούς R.C τού κυκλώματος. ("Αν ό χρόνος 0,5R.C είναι πολύ μικρός γιά κάποια συνδυασμό, νά μή ληφθεί γι' αύτόν μέτρηση).

8) Νά μελετηθεί ή έκφόρτιση πυκνωτή μέσω άντιστάσεως ώς έξης: 'Ο μεταγωγός στή θέση 1. Ρυθμίζομε τήν τάση τής πηγής, ώστε ή τάση στά άκρα του C νά φθάσει τά 100 βόλτ. Μόλις ή τάση στά άκρα του πυκνωτή φθάσει τά 100 βόλτ, θέτομε τό μεταγωγό στή θέση 2 καί ταυτόχρονα παρακολουθοῦμε τήν τάση έκφορτίσεως του C καί τά δευτερόλεπτα πού περνάνε. "Όταν συμπληρωθεί χρόνος ūσος μέ 0,5R.C, σημειώνομε τήν τάση πού έπικρατεί στά άκρα του πυκνωτή. ("Αν ό χρόνος 0,5R.C είναι μικρός καί είναι δύσκολο νά μετρηθεῖ, άρχιζομε μέ χρόνο R.C).

9) Ό μεταγωγός πάλι στή θέση 1. Περιμένομε μέχρι πού ή τάση στά άκρα τού C φθάσει στά 100 βόλτ. Μόλις συμβεῖ αύτό, θέτομε τό μεταγωγό στή θέση 2 καιί ταυτόχρονα παρακολουθούμε τή τάση έκφορτίσεως τοῦ πυκνωτή καιί τά δευτερό-λεπτα πού περνάνε. "Οταν συμπληρωθεῖ χρόνος ίσος μέ R.C, μειώνομε τή τάση τοῦ πυκνωτῆ.

10) Συνεχίζομε μέ τόν ίδιο τρόπο τίς μετρήσεις γιά πολλαπλάσια τής σταθερᾶς χρόνου:

2R.C, 3R.C, 4R.C, 5R.C

γιά öλους τούς συνδυασμούς R.C τοῦ κυκλώματος.

11) 'Από τίς μετρήσεις πού ἐλήφθησαν νά χαραχθοῦν δύο καμπύλες φορτίσεως (στό ίδιο σχεδιάγραμμα) καιί δύο καμπύλες έκφορτίσεως (καί οι δύο σέ ἄλλο σχεδιάγραμμα), ὅπως τῶν σχημάτων 6.1β καιί 6.1δ.

12) 'Υπολογίσετε τή σταθερά χρόνου κυκλώματος μέ R = 500 Ω , C = 40 μF .
Τό ίδιο γιά R = 10.000 Ω , C = 1000 $\mu\mu F$ (σέ μικροδευτερόλεπτα).

Τό ίδιο γιά R = 1 M Ω , C₁ = 2 μF , C₂ = 1 μF (C₁ καιί C₂ συνδέονται παράλληλα).

13) "Αν ή τάση τής πηγῆς τοῦ σχήματος 6.1β είναι: E = 400 V, πόση θά είναι ή τάση V_C σέ χρόνο R.C, 2R.C, 3R.C, 4R.C, 5R.C κατά τή φόρτιση τοῦ πυκνωτῆ:

14) "Αν τό 'Εργαστήριο διαθέτει ἄσκηση RL νά σχεδιασθεῖ τό κύκλωμα καιί νά σημειωθοῦν οι τιμές τῶν ἔξαρτημάτων. 'Από τίς τιμές RL νά ύπολογισθεῖ ή σταθερά χρόνου τοῦ κυκλώματος.

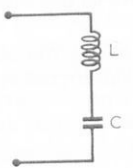
15) Νά γίνουν μετρήσεις καιί νά χαραχθοῦν οι καμπύλες τοῦ ρεύματος μέ τό χρόνο κατά τήν ἔφαρμογή τής τάσεως καιί κατά τήν έκφόρτιση τοῦ κυκλώματος μέσα ἀπό τήν R.

ΑΣΚΗΣΗ 7

ΣΥΝΤΟΝΙΣΜΟΣ ΣΕΙΡΑΣ

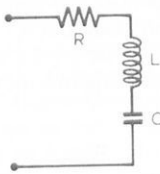
7.1 Γενικά.

Τό κύκλωμα τοῦ σχήματος 7.1α είναι κυμαινόμενο κύκλωμα σειρᾶς. Έπειδή τό πηνίο ἔχει ώμική ἀντίσταση καὶ ὁ πυκνωτής παρουσιάζει ἀπώλειες, τό κύκλωμα αὐτό μπορεῖ νά παρασταθεῖ μέ τό ίσοδύναμο κύκλωμα τοῦ σχήματος 7.1β, στό ὅποιο ἡ ἀντίσταση R ἀντιπροσωπεύει τήν ώμική ἀντίσταση τοῦ πηνίου (τήν ἀντίστασή του δηλαδή στό συνεχές ρεῦμα, πού μπορεῖ νά μετρηθεῖ μέ ώμόμετρο), ἀλλά καὶ τίς συνολικές ἀντιστάσεις ἀπωλειῶν, πού παρουσιάζουν ὁ πυκνωτής καὶ τό πηνίο κατά τή λειτουργία τους, ὅταν δηλαδή τροφοδοτοῦνται μέ ἑναλλασσόμενο ρεῦμα. Τονίζεται ὅτι ἡ ἀντίσταση R δέν είναι ξεχωριστά στό κύκλωμα, ἀλλά βρίσκεται ἐνσωματωμένη στό πηνίο (στά στοιχεία κατασκευῆς τοῦ πηνίου κατά κύριο λόγο) καὶ στόν πυκνωτή.



Σχ. 7.1α.

Κύκλωμα συντονισμοῦ σειρᾶς.



Σχ. 7.1β.

Ίσοδύναμο κύκλωμα.

Τά χαρακτηριστικά τοῦ κυμαινόμενου κυκλώματος σειρᾶς είναι:

α) 'Η πηγή πού τό τροφοδοτεῖ (ταλαντωτής Χ.Σ. ἢ Υ.Σ.) πρέπει νά ἔχει μικρή ἐσωτερική ἀντίσταση. (Πηγή σταθερής τάσεως. Βλέπε ἄσκηση 26 στό Βιβλίο ΗΛΕΚΤΡΟΛΟΓΙΚΟ ΕΡΓΑΣΤΗΡΙΟ Α' τάξεως «Προσαρμογή πηγῆς πρός τό φορτίο πού τροφοδοτεῖ»).

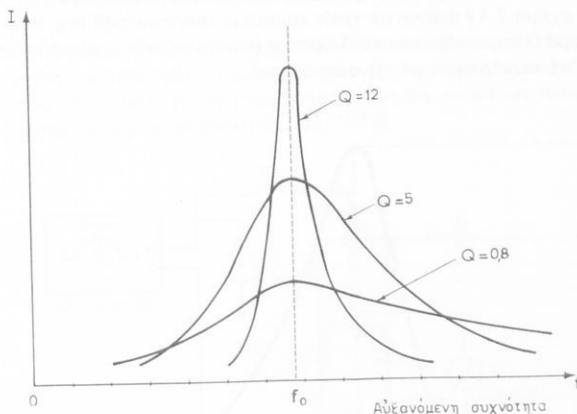
β) "Όταν ἡ συχνότητα τοῦ ταλαντωτή πού τροφοδοτεῖ τό κυμαινόμενο κύκλωμα μεταβάλλεται, παρατηροῦμε ὅτι γιά χαμηλότερες συχνότητες ἡ ἀντίσταση τοῦ κυκλώματος είναι μεγάλη (έπειδή στίς ύψηλές συχνότητες προβάλλει μεγάλη ἀντίσταση ὁ πυκνωτής) καθώς καὶ γιά ύψηλότερες συχνότητες ἡ ἀντίσταση τοῦ κυκλώματος είναι ἐπίσης μεγάλη (έπειδή στίς ύψηλές συχνότητες προβάλλει μεγάλη ἀντίσταση τό πηνίο). Γιά κάποια ἐνδιάμεση συχνότητα, δηλαδή γιά τή συχνότητα συντονισμοῦ, τό δόλο κύκλωμα παρουσιάζει ἐλάχιστη, καθαρά ώμική, ἀντίσταση.

γ) Κατά τό συντονισμό ἡ ἑνταση τοῦ ρεύματος φθάνει τή μέγιστη τιμή πού μπορεῖ νά λάβει σέ αὐτό τό κύκλωμα (μέγιστη ἀγωγιμότητα τοῦ κυκλώματος).

δ) Κατά τό συντονισμό ἐπίσης, στά ἄκρα τοῦ πηνίου καὶ στά ἄκρα τοῦ πυκνωτῆ ἐπικρατοῦν τάσεις ἀντίθετες, οἱ ὁποῖες, ὅταν ὁ πυκνωτής καὶ τό πηνίο ἔιναι ἀρκετά καλῆς ποιότητας, ἔιναι μεγαλύτερες ἀπό τήν τάση τῆς πηγῆς (ὑπερτάσεις). Σέ περιπτώσεις κυμαινομένων κυκλωμάτων ἔξαιρετικά καλῆς ποιότητας, οἱ τάσεις αὐτές μπορεῖ νά γίνουν 200, 300 ἢ καὶ περισσότερες φορές μεγαλύτερες ἀπό τήν τάση τῆς πηγῆς πού τροφοδοτεῖ τό κύκλωμα.

"Ωστε κατά τό συντονισμό τοῦ κυμαινόμενου κυκλώματος σειρᾶς παρατηροῦνται τά ἔξῆς φαινόμενα:

1) Ἐλάχιστη ἀντίσταση, ἡ ὁποία ισοῦται μέ τήν ὡμική ἀντίσταση τοῦ πηνίου καὶ τίς ἀπώλειες γενικά τοῦ ὅλου κυκλώματος στό ἐναλλασσόμενο ρεῦμα (ἐπιδερμικό φαινόμενο καὶ ἀπώλειες τοῦ διηλεκτρικοῦ). Οἱ ἀντίστασεις αὐτές (ὡμική καὶ ἀντίστασεις ἀπώλειῶν) ἀντιπροσωπεύονται ἀπό τήν ἀντίσταση R τοῦ ισοδύναμου κυκλώματος τοῦ σχήματος 7.1α.



Σχ. 7.1γ.

2) Μέγιστο ρεῦμα. "Ἄν ḥ σταθερή τάση τῆς πηγῆς πού τροφοδοτεῖ τό κύκλωμα εἶναι E ḥ τιμή τοῦ ρεύματος κατά τό συντονισμό θά δίνεται ἀπό τή σχέση:

$$I_{\text{συντ}} = \frac{E}{R}$$

3) Ὑπερτάσεις V_L καὶ V_C στά ἄκρα τοῦ πηνίου καὶ τοῦ πυκνωτῆ. Οἱ τάσεις αὐτές ἔχουν τό ἕδιο μέτρο, ἀλλά ἔιναι ἀντίθετες καὶ ἀλληλοεξουδετερώνονται. Τό πλάτος τους ἔχαρτάται ἀπό τήν ποιότητα τῶν ἔχαρτημάτων C καὶ L καὶ εἰδικότερα ἀπό τό **συντελεστή ποιότητας** (ἢ συντελεστή ὑπερτάσεως) Q τοῦ κυμαινόμενου κυκλώματος. Ὁ συντελεστής αὐτός ισοῦται:

$$Q = \frac{L\omega_0}{R} = \frac{1}{\omega_0 CR}$$

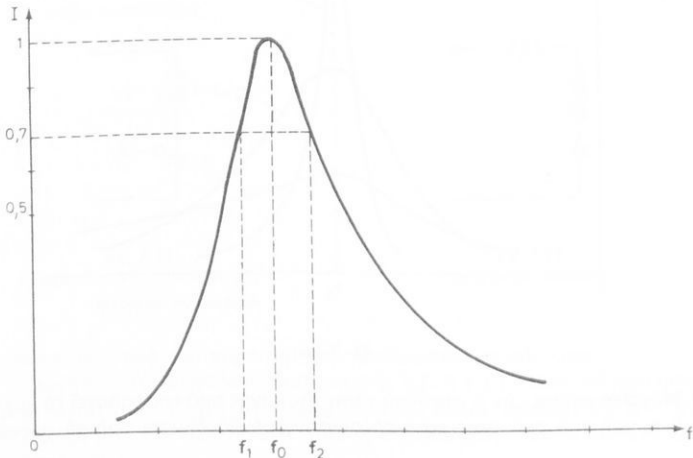
όπου $\omega_0 = 2\pi f_0$ ($f_0 = \text{ή συχνότητα συντονισμοῦ}$). Άπο τή σχέση αύτή φαίνεται ότι δύσκολο είναι να πάρεται μεγαλύτερη από το R (δηλαδή οι συνολικές άπωλειες) τού κυμαινόμενου κυκλώματος είναι μεγαλύτερες, τόσο ότι συντελεστής ποιότητας είναι μικρότερος.

Ό αριθμός πού έκφραζει τό Q είναι καθαρός αριθμός.

Τέλος, ή συχνότητα f_0 , στήν οποία συντονίζει τό κυμαινόμενο κύκλωμα, δίνεται από τή σχέση:

$$f_0 = \frac{1}{2\pi \sqrt{LC}} \quad (\text{σχέση Τόμσον})$$

4) Ο συντελεστής ποιότητας (Q) και ή μορφή τής καμπύλης συντονισμοῦ. Ο συντελεστής ποιότητας τού κυμαινόμενου κυκλώματος σειράς έπηρεάζει σημαντικά τή μορφή τής καμπύλης συντονισμοῦ. "Οσο ό συντελεστής αύτός είναι μεγαλύτερος, δηλαδή όσο μικρότερες είναι οι άπωλειες (μικρότερο τό R), τόσο ή καμπύλη συντονισμοῦ θά είναι οξύτερη καί τό κυμαινόμενο κύκλωμα θά έχει καλύτερη έπιλογή. Στό σχήμα 7.1γ φαίνονται τρεῖς καμπύλες συντονισμοῦ πού άντιστοιχούν σέ τρία διάφορα Q κυμαινόμενου κυκλώματος (καμπύλες τών τιμῶν τής έντάσεως τού ρεύματος σέ συνάρτηση μέ τή συχνότητα).



Σχ. 7.1δ.

Ό συντελεστής ποιότητας μπορεῖ νά ύπολογισθεῖ καί από τίς παρακάτω σχέσεις:

a) Από τή σχέση (σχ. 7.1δ):

$$Q = \frac{f_0}{f_2 - f_1}$$

Στή σχέση αυτή f_0 είναι ή συχνότητα συντονισμού του κυμαινόμενου κυκλώματος, f_2 και f_1 είναι δύο συχνότητες πού άντιστοιχούν σε σημεία της καμπύλης συντονισμού, για τά όποια ή ένταση του ρεύματος έχει ύποβιβασθεί στά 7/10 της έντασεώς του κατά τό συντονισμό.

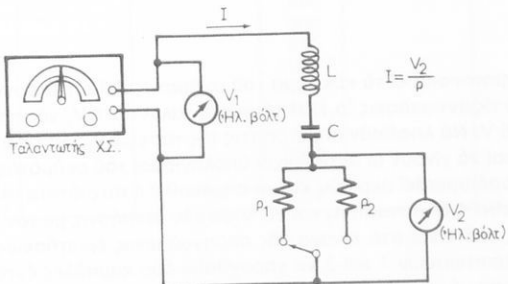
β) Άπο τή σχέση:

$$Q = \frac{V_L}{E} = \frac{V_C}{E}$$

Τονίζεται έδω ότι οι καμπύλες συντονισμού του κυμαινόμενου κυκλώματος σειράς γενικά **δεν είναι συμμετρικές** (ό δριζόντιος δξονας των συχνοτήτων είναι σε γραμμική κλίμακα). "Όπως φαίνεται καί από τά σχήματα 7.1γ καί 7.1δ, ο άριστερά κλάδος κάθε καμπύλης πέφτει περισσότερο άπότομα από τό δεξιό κλάδο.

Τά κυμαινόμενα κυκλώματα σειράς μπορούν νά χρησιμοποιηθούν είτε στήν περιοχή τών χαμηλών συχνοτήτων (ώς τους 20.000 Hz) είτε στήν περιοχή τών ύψη λών (πάνω από 20.000 Hz).

Για εύκολιά στή λήψη τών μετρήσεων στό Έργαστήριο, στήν άσκηση αυτή πρέπει νά χρησιμοποιηθεί κύκλωμα πού συντονίζει σέ χαμηλή συχνότητα, π.χ. 700 Hz περίπου καί γι' αυτό ή πηγή τροφοδοτήσεως θά είναι ένας ταλαντωτής ή μιτονικού σήματος χαμηλής συχνότητας (σχ. 7.1e).



Σχ. 7.1e.

Τό πηνίο πού χρησιμοποιείται έχει βέβαια ώμική άντισταση (τήν άντισταση πού παρουσιάζει τό σύρμα του, δταν μετρηθεί μέ ώμόμετρο), στό κύκλωμα όμως τής άσκησεως μπορεί νά προστεθεί καί μία από τίς άντιστάσεις ρ_1 ή ρ_2 (σχ. 7.1e). Οι άντιστάσεις αυτές έχουν διαφορετική τιμή καί έχουν τεθεί σκόπιμα, ώστε δταν καθεμιά τους συνδέεται στό κύκλωμα, νά αύξανει μέ τεχνητό τρόπο τίς άπωλειες (τό R) του κυκλώματος, δηλαδή νά έλαπτώνει τό Q. "Ετσι ή άλική άντισταση του κυκλώματος, δηλαδή νά έλαπτώνει τό Q. "Ετσι ή άλική άντισταση του κυκλώματος στό συντονισμό γίνεται $R + \rho$.

"Άπο τίς μετρήσεις πού θά ληφθούν μέ κάθε άντισταση θά χαραχθεί καί καμπύλη συντονισμού διαφορετικής μορφής, πού θά άντιστοιχεί σε διαφορετικό συντελεστή ποιότητας.

Παράλληλα στίς άντιστάσεις ρ_1 ή ρ_2 συνδέεται τό ήλεκτρονικό βολτόμετρο V_2 ,

οι ένδειξεις του όποιου, δταν διαιρούνται μέ τίς ρ_1 ή ρ_2 κάθε φορά θά δίνουν τήν ένταση τού ρεύματος ή τού κυκλώματος στίς διάφορες συχνότητες. Δηλαδή:

$$I = \frac{V_2}{\rho}$$

Παράλληλα έπισης μέ τή πηγή τροφοδοτήσεως (τόν ταλαντωτή Χ.Σ.) συνδέεται άλλο ήλεκτρονικό βολτόμετρο V_1 , το όποιο μετρά τήν τάση έξόδου τού ταλαντωτή, τήν τάση δηλαδή πού τροφοδοτεί τό κύκλωμα σειράς.

Ο ταλαντωτής αύτός, σάν πηγή παροχής ήλεκτρικής ένέργειας, έχει κάποια έσωτερηκή άντισταση. Έπομένως, δταν παρέχει ρεῦμα σέ κύκλωμα πού ή άντιστασή του μεταβάλλεται θά έχει διαφορετικές έσωτερικές πτώσεις τάσεως καί άρα ή τάση στούς πόλους του θά μεταβάλλεται, ένω, γιά νά είναι οι μετρήσεις σωστές, ή τάση αύτή πρέπει νά παραμένει σταθερή. Έπομένως, κατά τή διεξαγωγή τής άσκήσεως, δταν μέ τή μεταβολή τής συχνότητας παρατηρεῖται μεταβολή τής τάσεως V_1 , θά γίνεται πάντοτε **διόρθωση** τής τάσεως αύτής, γιά νά παραμένει σταθερή. Ή διαδικασία αύτή ίσοδυναμεί μέ τροφοδότηση τού κυμαινόμενου κυκλώματος άπο πηγή σταθερής τάσεως.

Τέλος, δταν τό βολτόμετρο V_2 τοποθετηθεί παράλληλα στό πηνίο ή τόν πυκνωτή, ή τιμή τάσεως πού θά δείχνει κατά τό συντονισμό θά είναι μεγαλύτερη άπο τήν τάση τής πηγής V_1 , θά δείχνει δηλαδή τίς ύπερτάσεις V_1 ή V_2 .

7.2 Έργασία.

1) Νά πραγματοποιηθεί τό κύκλωμα τού σχήματος 7.1ε. Νά συνδεθεί πρώτα ή μικρότερη άπο τίς άντιστάσεις (ρ_1). Ή τάση τού ταλαντωτή V_1 , νά τηρεῖται συνέχεια σταθερή στά 5 V. Νά ληφθούν οι μετρήσεις τής τάσεως V_2 γιά τίς συχνότητες τού Πίνακα 7.2.1 καί νά γίνουν οι άντιστοιχοι ύπολογισμοί τού ρεύματος. (Κατά τίς μετρήσεις νά προσδιορισθεί άκριβώς καί νά σημειωθεί ή συχνότητα συντονισμού f_0).

2) Νά συνδεθεί ή άντισταση ρ_2 καί νά ληφθούν μετρήσεις μέ τόν ίδιο τρόπο γιά τίς συχνότητες πού είναι στό πίνακα τής προηγούμενης έρωτήσεως. Άπό τίς μετρήσεις τών περιπτώσεων 1 καί 2 νά χαραχθούν δύο καμπύλες έντασεως ρεύματος σέ συνάρτηση μέ τή συχνότητα στό ίδιο σχεδιάγραμμα, οπως στό σχήμα 7.1γ.

3) Νά συνδεθεί τό ήλεκτρονικό βολτόμετρο V_2 στά άκρα τού πηνίου L καί νά συνδεθεί ή μικρότερη άντισταση ρ . Μετά νά συντονισθεί τό κύκλωμα μέ μεταβολή τής συχνότητας τού ταλαντωτή καί νά σημειωθεί τότε ή τάση V_L .

4) Νά συνδεθεί ή άλλη άντισταση ρ καί νά σημειωθεί πάλι ή τάση V_L κατά τό συντονισμό. Νά ξηγηθούν οι δύο μετρήσεις.

5) Νά συνδεθεί τό ήλεκτρονικό βολτόμετρο V_2 στά άκρα τού πυκνωτή C καί νά έπαναληφθεί ή ίδια έργασία οπως στήν περίπτωση 3.

6) Νά ύπολογισθεί τό Q τού κυμαινόμενου κυκλώματος στίς δύο περιπτώσεις τών άντιστάσεων ρ_1 καί ρ_2 άπο τίς σχέσεις:

$$Q = \frac{f_0}{f_2 - f_1} \quad \text{καί} \quad Q = \frac{V_C}{E} = \frac{V_L}{E}$$

7) Από τίς τιμές L καί C καί μέ τή σχέση τού Τόμσον νά ύπολογισθεί ή συχνότη-

τα συντονισμοῦ τοῦ κυκλώματος καί νά συγκριθεῖ μέ τή συχνότητα συντονισμοῦ πού βρίσκεται άπό τίς μετρήσεις.

8) Ἀπό τίς μετρήσεις τῶν περιπτώσεων 1 καὶ 2 νά ύπολογισθεῖ ἡ ἀντίσταση τοῦ κυμαινόμενου κυκλώματος κατά τό συντονισμό.

ΠΙΝΑΚΑΣ 7.2.1.

Γιά $\rho = \rho_1$			Γιά $\rho = \rho_2$		
f Hz	V_2 βόλτ	$I = \frac{V_2}{\rho_1}$	f Hz	V_2 βόλτ	$I = \frac{V_2}{\rho_2}$
400			300		
500			400		
550			500		
600			600		
650			650		
700			700		
750			750		
800			800		
850			850		
900			900		
950			950		
1000			1000		
1200			1200		
1500			1500		
			1800		
			2000		
			2500		
			3000		

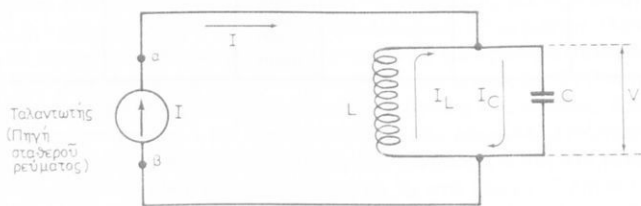
ΑΣΚΗΣΗ 8

ΠΑΡΑΛΛΗΛΟΣ ΣΥΝΤΟΝΙΣΜΟΣ

8.1 Γενικά.

Τό κύκλωμα τοῦ σχήματος 8.1 είναι ἔνα κύκλωμα παράλληλου συντονισμοῦ ἢ παράλληλο κυμαινόμενο κύκλωμα. Οι κύριες ιδιότητες τοῦ παράλληλου κυμαινόμενου κυκλώματος είναι οι ἓξης:

1) Ἡ πηγή πού τὸ τροφοδοτεῖ (ταλαντωτής χαμηλῆς συχνότητας ἢ ύψηλῆς συχνότητας), πρέπει νά ἔχει ὅσο τὸ δυνατό μεγαλύτερη ἐσωτερική ἀντίσταση (πηγή σταθεροῦ ρεύματος). Ὑπενθυμίζεται ὅτι ἡ «ἰδανική» πηγή τοῦ ρεύματος παρέχει σταθερό ρεύμα, ἀνεξάρτητα ἀπό τὴν τιμή τῆς πολικῆς τάσεως καὶ ἀνεξάρτητα ἀπό τίς μεταβολές τῆς καταναλώσεως. Στήν περίπτωση τοῦ σχήματος 8.1, ἡ ἔνταση τοῦ ρεύματος I θά παραμένει σταθερή, ἀνεξάρτητα ἀπό τὸ γεγονός ὅτι ἡ τάση στοὺς πόλους α , β τῆς πηγῆς θά μεταβάλλεται. (Βλέπε ἀσκηση 26 στό βιβλίο ΗΛΕΚΤΡΟΛΟΓΙΚΟ ΕΡΓΑΣΤΗΡΙΟ τῆς Α' τάξεως, «Προσαρμογή πηγῆς πρός τὸ φορτίο πού τροφοδοτεῖ»).



Σχ. 8.1.

2) "Οταν ἡ συχνότητα τοῦ ταλαντωτῆ, πού τροφοδοτεῖ τὸ κυμαινόμενο κύκλωμα, μεταβάλλεται, παρατηροῦμε ὅτι στίς χαμηλότερες συχνότητες ἡ ἀντίσταση τοῦ κυκλώματος είναι μικρή (ἐπειδή στίς χαμηλές συχνότητες προβάλλει μικρή ἀντίσταση ὁ κλάδος τοῦ πηνίου). Ἐπίσης στίς ύψηλότερες συχνότητες ἡ ἀντίσταση τοῦ κυκλώματος είναι μικρή (ἐπειδή στίς ύψηλές συχνότητες προβάλλει μικρή ἀντίσταση ὁ κλάδος τοῦ πυκνωτῆ). Σέ μία ἐνδιάμεση συχνότητα, δηλαδή στή συχνότητα συντονισμοῦ, τό παράλληλο κυμαινόμενο κύκλωμα παρουσιάζει μέγιστη ἀντίσταση.

3) Κατά τό συντονισμό, ἀφοῦ ἡ ἀντίσταση τοῦ κυμαινόμενου κυκλώματος γίνε-

ται μέγιστη και τό ρεύμα Ι έχει σταθερή ένταση, ή τάση V (σχ. 8.1) στά ακρα τοῦ παράλληλου κυκλώματος θά είναι μέγιστη.

4) Κατά τό συντονισμό έπισης, στόν κλάδο τοῦ πηνίου και στόν κλάδο τοῦ πυκνωτή κυκλοφορούν ρεύματα, τά όποια, δταν ό πυκνωτής και τό πηνίο είναι άρκετά καλής ποιότητας, έχουν έντασεις πολύ μεγαλύτερες από τήν ένταση τοῦ ρεύματος Ι (ύπερεντάσεις).

"Ωστε κατά τόν παράλληλο συντονισμό παρατηροῦνται τά έξης φαινόμενα:

- Μέγιστη άντισαση τοῦ κυκλώματος.
- Μέγιστη τάση στά ακρα του.

γ) 'Υπερεντάσεις τῶν ρευμάτων I_L και I_C στούς δύο κλάδους τοῦ κυκλώματος (σχ. 8.1), οι όποιες είναι τόσο μεγαλύτερης τιμῆς, όσο ή ποιότητα τοῦ κυμαινόμενου κυκλώματος είναι καλύτερη. Ή ποιότητα αύτή έκφραζεται μέ τό συντελεστή Q, ό όποιος ίσουται μέ τό πηλίκο τῆς έντασεως, πού έχει τό ρεύμα σέ κάθε κλάδο Q, ό όποιος ίσουται μέ τό πηλίκο τῆς έντασης τοῦ ρεύματος τῆς πηγῆς I (σταθερῆς έντασεως):

$$Q = \frac{I_L}{I} = \frac{I_C}{I} \quad (\text{Tό } Q \text{ είναι καθαρός άριθμός})$$

Τέλος ή συχνότητα f_0 , στήν όποια συντονίζεται τό κυμαινόμενο κύκλωμα, δίνεται από τή σχέση Τόμσον:

$$f_0 = \frac{1}{2\pi\sqrt{LC}}$$

8.2 Ό συντελεστής ποιότητας Q και ή μορφή τῆς καμπύλης συντονισμοῦ.

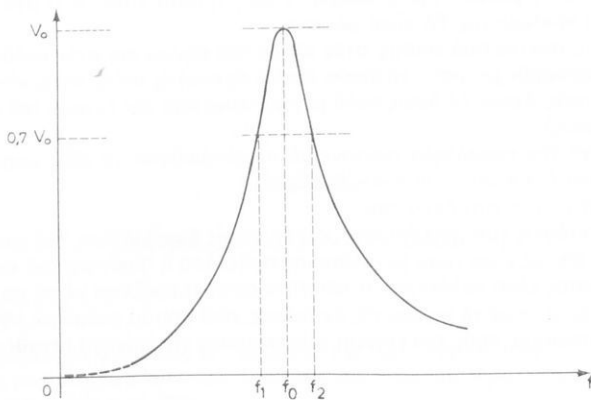
'Ο συντελεστής ποιότητας τοῦ παράλληλου κυμαινόμενου κυκλώματος έπηρεάζει σημαντικά τή μορφή τῆς καμπύλης συντονισμοῦ. "Οσο ό συντελεστής αύτός είναι μεγαλύτερος, τόσο ή καμπύλη συντονισμοῦ είναι δέξυτερη και τό κυμαινόμενο κύκλωμα έχει καλύτερη έπιλογή. Πράγματι, δταν ή καμπύλη συντονισμοῦ είναι γνωστή, μποροῦμε νά ύπολογίσομε από αύτή τό Q μέ τή σχέση (σχ. 8.2):

$$Q = \frac{f_0}{f_2 - f_1}$$

οπου f_0 είναι ή συχνότητα συντονισμοῦ και f_2 και f_1 είναι οι συχνότητες πού άντιστοιχούν σέ δύο σημεία τῆς καμπύλης συντονισμοῦ, γιά τά όποια ή τάση στά ακρα τοῦ παράλληλου κυκλώματος ύποβιβάζεται στά 7/10 τῆς τάσεως πού έπικρατεῖ κατά τό συντονισμό.

Τέλος, παρατηρεῖται δτι οι καμπύλες συντονισμοῦ στά παράλληλα κυμαινόμενα κυκλώματα δέν είναι συμμετρικές. "Οπως φαίνεται και από τό σχήμα 8.2, ό άριστερός κλάδος τῆς καμπύλης κατεβαίνει περισσότερο απότομα από τό δεξιό κλάδο.

Γενικά, όσο τό Q τοῦ κυμαινόμενου κυκλώματος είναι μεγαλύτερο, τόσο περισσότερο συμμετρική είναι ή καμπύλη αύτή.



Σχ. 8.2.

8.3 Περιγραφή τοῦ κυκλώματος καὶ τρόπος λήψεως τῶν μετρήσεων.

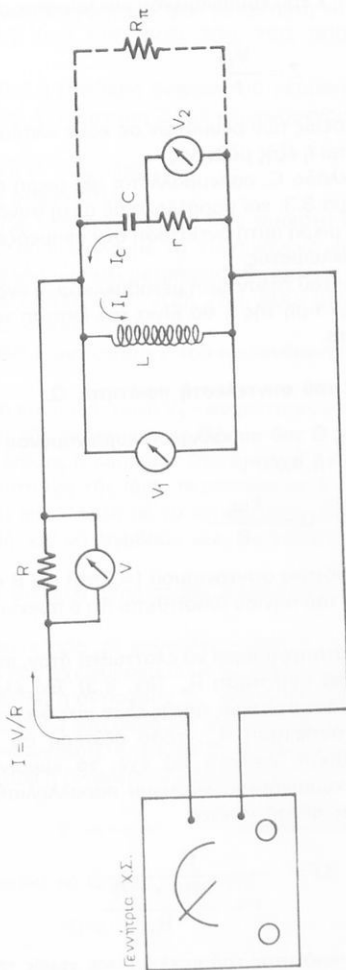
Στὸ σχῆμα 8.3 παριστάνεται τὸ κύκλωμα, τὸ ὁποῖο θά χρησιμοποιηθεῖ γιά τὴ λήψη τῶν μετρήσεων. Τό παράλληλο κυμαινόμενο κύκλωμα μπορεῖ νά ἔχει ιδιοσυχνότητα συντονισμοῦ εἴτε στὴν περιοχὴ τῶν χαμηλῶν συχνοτήτων (ῶς τοὺς 20.000 Hz) εἴτε στὴν περιοχὴ τῶν υψηλῶν (πάνω ἀπό 20.000 Hz). Αὐτό ἔξαρταίται ἀπό τίς τιμές τῆς αὐτεπαγωγῆς καὶ τῆς χωρητικότητας. Γιά τὴν εὔκολία τῶν μετρήσεων στὴν ἄσκηση αὐτή πρέπει νά χρησιμοποιεῖται κύκλωμα μέ ιδιοσυχνότητα συντονισμοῦ χαμηλή, π.χ. 800 - 1000 Hz, ὅποτε σάν πηγὴ τροφοδοτήσεως ἔξυπηρετεῖ ἔνας ταλαντωτής χαμηλῆς συχνότητας (σχ. 8.3). Ό ταλαντωτής αὐτός πρέπει νά εἶναι πηγὴ σταθεροῦ ρεύματος καὶ γιά νά γίνει αὐτό στὴν πράξη, ἐργαζόμασθε ὡς ἔξης:

Σέ σειρά μέ τό κύκλωμα ἔχει συνθεδεῖ ἀντίσταση R καὶ παράλληλα μέ αὐτήν ἡλεκτρονικό βολτόμετρο V. Γιά τή λήψη τῶν μετρήσεων καὶ τή χάραξη τῆς καμπύλης συντονισμοῦ, θά μεταβάλλεται ἡ συχνότητα τοῦ ταλαντωτῆ. Τότε, ὅμως, θά μεταβάλλεται ἡ ἀντίσταση τοῦ κυμαινόμενου κυκλώματος, ἅρα καὶ ἡ ἔνταση τοῦ ρεύματος I. Γιά νά παραμένει ἡ ἔνταση τοῦ ρεύματος αὐτοῦ σταθερή, θά ρυθμίζεται σέ κάθε μέτρηση ἡ τάση ἔξδου τοῦ ταλαντωτῆ χαμηλῆς συχνότητας, ἔτσι ὥστε νά παραμένει σταθερή ἡ ἔνδειξη τοῦ βολτομέτρου V. Μέ τὸν τρόπο αὐτό θά εἶναι σταθερή καὶ ἡ ἔνταση τοῦ ρεύματος I, γιατί εἶναι:

$$I = \frac{V \text{ (σταθερή)}}{R \text{ (σταθερή)}}$$

Ἐτσι ἡ πηγὴ τροφοδοτήσεως τοῦ κυμαινόμενου κυκλώματος (ὅ ταλαντωτής X.S.) ισοδυναμεῖ μέ πηγὴ σταθεροῦ ρεύματος.

Παράλληλα πρός τό κυμαινόμενο κύκλωμα ἔχει συνδεθεῖ καὶ ἄλλο ἡλεκτρονικό



Σχ. 8.3.
Τα V_1 και V_2 είναι ηλεκτρονικά βολτόμετρα ή μαλβούλομετρα. Η τάση V πρέπει να είναι σταθερή σε
όλη τη διάρκεια των μετρήσεων.

βολτόμετρο (V_1). "Όταν ή συχνότητα τοῦ ταλαντωτῆ μεταβάλλεται, θά μεταβάλλεται καί ή ένδειξη τοῦ βολτομέτρου αὐτοῦ, δηλαδή ή τάση στά ἄκρα τοῦ κυμαινόμενου κυκλώματος. Ή τάση αὐτή, όταν διαιρεθεῖ μὲ τή (σταθερή) ένταση τοῦ ρεύματος I , θά δίνει τήν ἀντίσταση Z τοῦ κυμαινόμενου κυκλώματος σέ κάθε συχνότητα:

$$Z = \frac{V_1}{I}$$

Γιά τή μέτρηση τῆς ἐντάσεως τῶν ρευμάτων σέ κάθε κλάδο, δηλαδή τῶν ρευμάτων I_L καί I_C , ἀκολουθεῖται ή ἔξις μέθοδος:

Σέ ἔνα κλάδο, π.χ. στό κλάδο C , παρεμβάλλεται μία μικρή ἀντίσταση r , λίγων ὥμ, δημοσιεύεται στό σχῆμα 8.3, καί παράλληλα μέ αὐτή συνδέεται ἡλεκτρονικό βολτόμετρο (δργανὸν V_2). Ή μικρή αὐτή ἀντίσταση δέν ἐπηρεάζει σέ αἰσθητό βαθμό τή συμπεριφορά τοῦ κυκλώματος.

"Όταν, τώρα, ή συχνότητα τοῦ ταλαντωτῆ μεταβάλλεται, ή ένδειξη τοῦ βολτομέτρου V_2 , ἄν διαιρεθεῖ μέ τήν τιμή τῆς r , θά δίνει τήν ἐνταση τοῦ ρεύματος στόν κλάδο C γιά κάθε συχνότητα.

8.4 Μέθοδος ὑποβιβασμοῦ τοῦ συντελεστῆ ποιότητας Q .

"Ο συντελεστής ποιότητας Q τοῦ παράλληλου κυμαινόμενου κυκλώματος μπορεῖ νά ύπολογισθεῖ καί ἀπό τή σχέση:

$$Q = \frac{L\omega_0}{R}$$

ὅπου ω_0 εἶναι ή κυκλική συχνότητα συντονισμοῦ ($= 2\pi f_0$) καί R εἶναι ή ὀλική ἀντίσταση ἀπωλειῶν τοῦ κλάδου τοῦ πηνίου (ύποτίθεται ὅτι ὁ πυκνωτής δέν ἔχει ἀπώλειες).

"Ο συντελεστής αὐτός ποιότητας μπορεῖ νά ἐλαττωθεῖ ὅταν, παράλληλα στό κυμαινόμενο κύκλωμα, συνδέθει ἀντίσταση R_{π} (σχ. 8.3). Θά ἐλαττωθεῖ δέ τόσο περισσότερο, δημοσιεύεται στήμη τῆς ἀντιστάσεως αὐτῆς εἶναι μικρότερη. "Ἄρα δημοσιεύεται στήμη τῆς R_{π} , τόσο δύστερη θά εἶναι ή καμπύλη συντονισμοῦ καί τόσο καλύτερη ἐπιλογή θά ἔχει τό κυμαινόμενο κύκλωμα. "Ἀποδεικνύεται ὅτι, ὅταν τό κυμαινόμενο κύκλωμα παραλληλισθεῖ μέ ἀντίσταση R_{π} , ο συντελεστής ποιότητας αὐτοῦ γίνεται:

$$Q' = \frac{Q}{1 + \frac{R(1 + Q^2)}{R_{\pi}}}$$

ὅπου Q εἶναι ο συντελεστής ποιότητας τοῦ κυκλώματος χωρίς τήν ἀντίσταση R_{π} καί R ή ὀλική ἀντίσταση ἀπωλειῶν, δημοσιεύεται προηγουμένως.

8.5 Έργασία.

1) Νά συνδεσμολογηθεῖ τό κύκλωμα τοῦ σχήματος 8.3. Νά συνδεθοῦν μόνο τά

ήλεκτρονικά βολτόμετρα V_1 και V_2 , καί ή R_π νά μή συνδεθούν. Νά ρυθμισθεί ή τάσης έξόδου τοῦ ταλαντωτῆ X.S., ώστε τὸ V νά δείχνει τάση 1 βόλτ σέ ολη τή διάρκεια τῶν μετρήσεων. Ἡ άντίσταση R πού εἶναι σέ σειρά εἶναι γνωστή.

2) Γιά τίς ἐπόμενες συχνότητες f τοῦ ταλαντωτῆ νά σημειώνεται ή άντίστοιχη ἔνδειξη τοῦ V_1 : 300, 400, 500, 600, 700, 750, 800, 850, 900, 1000, 1200, 1500 Hz.

3) Νά ύπολογισθεῖ ή σταθερή ἔνταση τοῦ ρεύματος I .

4) Νά ύπολογισθεῖ ή άντίσταση Z τοῦ κυμαινόμενου κυκλώματος γιά κάθε συχνότητα f .

5) Νά χαραχθοῦν οἱ καμπύλες:

a) Τάση V_1 - συχνότητες.

β) Ἀντίσταση Z - συχνότητες σέ δύο χωριστά διαγράμματα.

6) Νά συνδεθεῖ παράλληλα μέ τό κυμαινόμενο κύκλωμα άντίσταση R_π , μέ γνωστή τιμή, καί νά γίνουν πάλι μετρήσεις τῆς τάσεως V_1 , γιά τίς ἔξης συχνότητες: 300, 400, 500, 550, 600, 650, 700, 750, 800, 850, 900, 950, 1000, 1200, 1500, 2000, 3000, 4000, 5000 Hz.

7) Νά ύπολογισθεῖ ή άντίσταση Z τοῦ κυμαινόμενου κυκλώματος γιά κάθε συχνότητα.

8) Νά χαραχθεῖ ή καμπύλη: τάση V_1 - συχνότητες στό ἴδιο σχεδιάγραμμα μέ τήν άντίστοιχη καμπύλη τῆς περιπτώσεως 5.

9) Νά χαραχθεῖ ἐπίσης ή καμπύλη: άντίσταση Z - συχνότητες στό ἴδιο σχεδιάγραμμα μέ τήν άντίστοιχη τῆς ἕδιας περιπτώσεως 5.

10) Νά συνδεθεῖ παράλληλα μέ τό κυμαινόμενο κύκλωμα ἄλλη άντίσταση R_π , μέ διαφορετική τιμή, καί νά ληφθοῦν νέες μετρήσεις τῆς τάσεως V_1 , γιά τίς ἕδιες συχνότητες.

11) Νά ύπολογισθεῖ πάλι ή άντίσταση Z τοῦ κυμαινόμενου κυκλώματος γιά κάθε συχνότητα.

12) Νά χαραχθοῦν πάλι οἱ καμπύλες: τάση V_1 - συχνότητες καί άντίσταση Z - συχνότητες στό ἴδιο σχεδιάγραμμα μέ τίς άντίστοιχες τῆς ἕδιας περιπτώσεως 5.

13) Νά ἀποσυνδεθεῖ ή άντίσταση R_π , καί τό βολτόμετρο V_1 . Νά συνδεθεῖ ήλεκτρονικό βολτόμετρο (V_2) στά ἄκρα τῆς γνωστῆς άντιστάσεως r καί νά μεταβληθεῖ ή συχνότητα τοῦ ταλαντωτῆ, ώστε τό V_2 νά δείξει μέγιστο (συντονισμός).

14) Νά ύπολογισθεῖ ή ἔνταση τοῦ ρεύματος I_C :

$$I_C = \frac{V_2}{r} \quad (\text{ύπερένταση})$$

15) Νά ύπολογισθεῖ τό Q ἀπό τή σχέση:

$$Q = \frac{I_C}{I}$$

16) Ἐν εἶναι γνωστά τά L , ω_0 καί R (ή άντίσταση ἀπωλειῶν τοῦ πηνίου), νά ύπολογισθεῖ τό Q καί ἀπό τή σχέση:

$$Q = \frac{L\omega_0}{R}$$

καί νά συγκριθεῖ τό ἀποτέλεσμα αὐτό μέ ἑκεῖνο πού βρέθηκε στή περίπτωση 15.

ΑΣΚΗΣΗ 9

ΘΕΡΜΙΟΝΙΚΗ ΕΚΠΟΜΠΗ ΗΛΕΚΤΡΟΝΙΩΝ – Η ΔΙΟΔΟΣ ΛΥΧΝΙΑ ΚΕΝΟΥ

9.1 Γενικά.

Όταν ένας μεταλλικός άγωγός θερμανθεί σε ύψηλές θερμοκρασίες, τά έλευθερά ήλεκτρόνια των άτομων του κινούνται μέ μεγάλες ταχύτητες, συγκρούονται μεταξύ τους και μερικά από αυτά, άφοι άποκτήσουν μεγάλη κινητική ένέργεια, έγκαταλείπουν τό μέταλλο και βγαίνουν στό χώρο γύρω από αυτό. Συμβαίνει, δηλαδή, κάπι παρόμοιο μέ τό βρασμό τοῦ νεροῦ. Ή εξόδος ήλεκτρονίων από ένα μέταλλο μέ αυτό τόν τρόπο, λέγεται θερμική ή **θερμιονική έκπομπή**. Αυτή είναι και ή βάση της λειτουργίας τῶν ήλεκτρονικῶν λυχνιῶν.

Ή ποιό άπλη ήλεκτρονική λυχνία έχει δύο μεταλλικά ήλεκτρόδια. Τό ένα, ή **κάθοδος**, πού θερμαίνεται και έκπεμπει ήλεκτρόνια και τό άλλο, ή **άνοδος**, πού βρίσκεται σέ θετικό δυναμικό και παίρνει τά ήλεκτρόνια πού βγαίνουν από τή θερμαινόμενη κάθοδο. Τά δύο αυτά ήλεκτρόδια είναι τοποθετημένα σέ κάποια άπόσταση μεταξύ τους, μέσα σέ ένα κλειστό άεροκενο σωλήνα, γυάλινο ή μεταλλικό. Μιά τέλος τοια λυχνία μέ κάθοδο και άνοδο λέγεται **δίοδος λυχνία κενοῦ**. Ή θέρμανση τῆς καθόδου μπορεῖ νά γίνεται άπευθείας, δύοτε ή λυχνία είναι άμέσου θερμάνσεως ή καθόδου μπορεῖ νά γίνεται μέ βοηθητικό ήλεκτρόδιο, τό **νήμα**, δύοτε είναι άμμέσου θερμάνσεως.



Σχ. 9.1α.

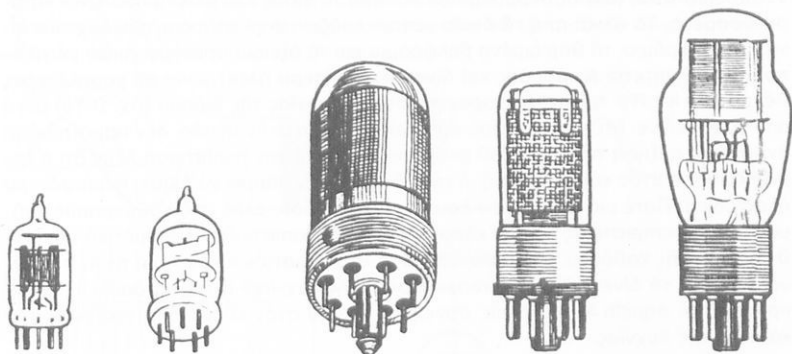
α) Δίοδος λυχνία άμέσου θερμάνσεως. Θεωρητικό σύμβολο. β) Δίοδος λυχνία άμμέσου θερμάνσεως. Θεωρητικό σύμβολο.

Στά σχήματα 9.1α και 9.1β φαίνονται:

α) Θεωρητικός συμβολισμός διόδων λυχνιῶν άμέσου και άμμέσου θερμάνσεως (σχ. 9.1α) και

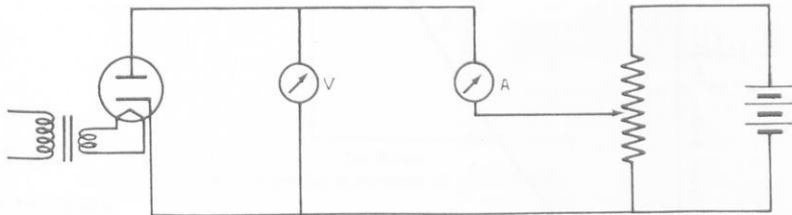
β) πραγματική έμφανιση τῶν λυχνιῶν διαφόρων τύπων (σχ. 9.1β).

Η ένταση τοῦ ρεύματος πού κυκλοφορεῖ σέ μιά δίοδο λυχνία, έφ' οσον ή κάθο-



Σχ. 9.1β.

'Εξωτερική έμφάνιση λυχνιών διαφόρων τύπων.



Σχ. 9.1γ.

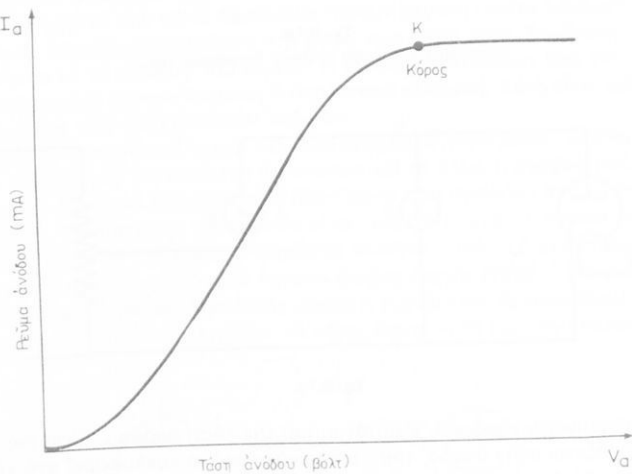
δός της θερμαίνεται κανονικά, έχαρται από τήν τάση άνοδου. "Οσο πιό μεγάλη τάση έφαρμόζεται στήν άνοδο, τόσο πιό μεγάλο ρεύμα κυκλοφορεῖ στό κύκλωμα τής λυχνίας. Αύτό μπορεῖ νά μετρηθεῖ μέ τήν πραγματοποίηση τοῦ κυκλώματος τοῦ σχήματος 9.1γ.

Στό κύκλωμα αύτό ή τάση τής πηγῆς έφαρμόζεται στήν άνοδο τής λυχνίας μέσω ποτενσιομέτρου, γιά νά ξομε τίς άπαιτούμενες κάθε φορά μεταβολές. Τό βολτόμετρο παράλληλα στήν άνοδο μετρᾶ τήν τάση πού έφαρμόζεται σέ αύτή, ένω τό μιλλιαμπερόμετρο σέ σειρά μετρᾶ τό άντίστοιχο ρεύμα. Ή μορφή τής χαρακτηριστικής καμπύλης μιᾶς διόδου λυχνίας (καμπύλη πού έκφραζει τίς μεταβολές τοῦ άνοδικοῦ ρεύματος, όταν μεταβάλλεται ή άνοδική τάση), φαίνεται στό σχήμα 9.1δ.

'Εννοεῖται οτι τό ρεύμα κυκλοφορεῖ στό κύκλωμα τής λυχνίας μόνον όταν ή άνοδος είναι θετική. "Οταν στήν άνοδο (μεταξύ άνοδου - καθόδου) έφαρμοσθεῖ άρνητικό δυναμικό, δέν κυκλοφορεῖ ρεύμα, γιατί τά ήλεκτρόνια πού βγαίνουν από τή θερμαινόμενη κάθοδο, άπωθοῦνται από τό άρνητικό δυναμικό τής άνοδου.

"Ο άριθμός τῶν ήλεκτρονίων πού βγαίνουν από τήν κάθοδο, όταν αύτή θερμαί-

νεται, έξαρταται, από τη θερμοκρασία και άπο τό είδος τοῦ ύλικου που είναι κατασκευασμένη. Τά ύλικά από τά όποια κατασκευάζονται οι κάθοδοι τῶν λυχνιῶν είναι τό βολφράμιο, τό θοριωμένο βολφράμιο και τά δξείδια σπανίων γαιῶν μέ τά όποια ἐπικαλύπτεται ή κάθοδος και δίνει περισσότερα ήλεκτρόνια σέ χαμηλότερες θερμοκρασίες. Τό τμῆμα τῆς χαρακτηριστικῆς λυχνίας τῆς διόδου (σχ. 9.1δ) μετά από τό Κ δείχνει ότι παρ' όλο πού αύξανεται ή τάση στήν άνοδο, δέν παρατηρεῖται αντίστοιχη αύξηση τοῦ άνοδικοῦ ρεύματος. Σέ αυτή τήν περίπτωση λέμε ότι ή λυχνία ἔφθασε στόν κόρο, δηλαδή, ή κάθοδος της δέν μπορεῖ νά δώσει περισσότερα ήλεκτρόνια. Ποτέ μιά λυχνία δέν δουλεύει στόν κόρο, άλλα στό εύθυγραμμο τμῆμα τῆς χαρακτηριστικῆς της. Ό κόρος μπορεῖ νά διαπιστωθεῖ πειραματικά μέ ύποθέρμανση τῆς καθόδου. Μέ κανονική τάση στά νήματα και κανονική τάση στήν άνοδο (ὅπως τά δίνει αυτά ό κατασκευαστής τῆς λυχνίας) ή λυχνία δουλεύει πολύ πρίν από τό σημείο Κ. Έξαλλου, συνεχής έργασία στόν κόρο θά κατέστρεφε τήν κάθοδο τῆς λυχνίας.

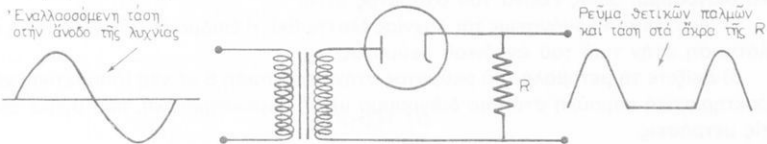


Σχ. 9.1δ.
Τάση άνοδου (βόλτη).

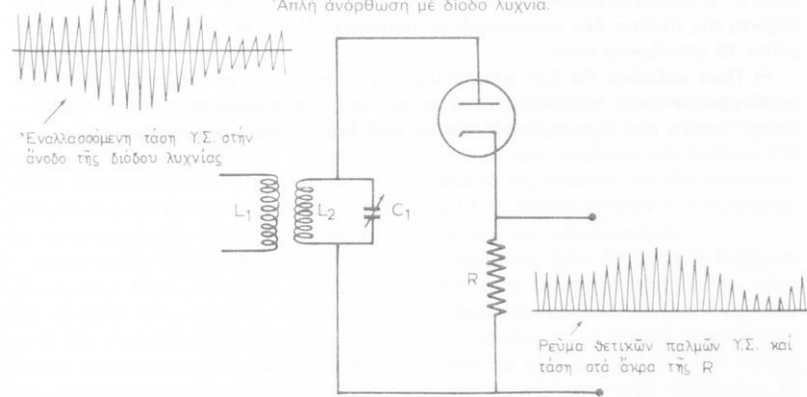
Η δίοδος λυχνία χρησιμοποιεῖται σέ κυκλώματα άνορθώσεως ή φωράσεως. Ή λειτουργία τῆς άνορθώσεως και τῆς φωράσεως είναι ίδια. Άνορθωση είναι ή μετατροπή έναλλασσομένων ρευμάτων σέ συνεχή μέ τήν άποκοπή τῶν άρνητικῶν ήμιπεριόδων. Και στή φώραση πραγματοποιεῖται άποκοπή άρνητικῶν ήμιπεριόδων τῶν έναλλασσομένων μεγεθῶν, πού έφαρμόζονται μεταξύ άνόδου - καθόδου μιᾶς διόδου λυχνίας. Γενικά όμως ή άνορθωση άναφέρεται σέ ίσχυρά ρεύματα χαμηλῶν (βιομηχανικῶν) συχνοτήτων, ένω ή φώραση άναφέρεται σέ άσθενή ρεύματα ύψηλῶν συχνοτήτων. Μέ τόν όρο φώραση ή άποδιαμόρφωση, άναφερόμασθε στή διαδικασία έκεινή κατά τήν όποια ξεχωρίζουμε (άποκαλύπτομε) τήν άκουστική συχνότητα από τή φέρουσα ύψηλή.

Στά σχήματα 9.1ε καί 9.1στ έξηγούνται καλύτερα ή άνόρθωση καί ή φώραση.

Λεπτομέρειες γιά τήν άνόρθωση καί τή φώραση θά έξετασθούν άργότερα σε ίδιατερες άσκησεις.



Άπλή άνόρθωση μέ δίοδο λυχνία.



Άπλό κύκλωμα φωράσεως μέ δίοδο λυχνία.

9.2 Έργασία.

1) Νά πραγματοποιθεῖ τό κύκλωμα τοῦ σχήματος 9.1γ (έκτος άπό τήν ύψηλή τάση στήν ανοδό της λυχνίας).

2) Άφοι κλειθεῖ ό καθηγητής καί έλεγχει τήν άκριβεια τοῦ κυκλώματος, νά τροφοδοτηθεῖ ή ανοδος μέ ύψηλή τάση καί νά ληφθούν μετρήσεις τοῦ άνοδικού ρεύματος γιά μεταβολές της τάσεως ανόδου. Τά όρια της τάσεως στά όποια θά γίνουν μεταβολές θά δρισθούν άπό τόν καθηγητή μέ βάση τόν τύπο της διόδου λυχνίας πού χρησιμοποιεῖται στήν άσκηση.

3) Οι μετρήσεις νά καταχωρισθούν στόν Πίνακα 9.2.1.

ΠΙΝΑΚΑΣ 9.2.1.

V θερμ. νημάτων = ... βόλτ = σταθερή	
V_a (βόλτ)	I_a (mA)
-----	-----
-----	-----
-----	-----
-----	-----
-----	-----

- 4) Άπο τίς τιμές τῶν μεταβολῶν τοῦ ἀνοδικοῦ ρεύματος, ὅταν μεταβάλλεται ἡ ἀνοδική τάση τῆς λυχνίας, νά χαραχθεῖ ἡ χαρακτηριστική καμπύλη αὐτῆς σέ σχετικό διάγραμμα, δπως ἐκείνο τοῦ σχήματος 9.1δ.
- 5) "Αν ἡ τάση θερμάνσεως τῆς λυχνίας ἐλαττωθεῖ, τί ἐπίδραση θά ἔχει αὐτῇ ἡ ἀλλαγή στήν τιμή τοῦ ἀνοδικοῦ ρεύματος;
- 6) Δείξετε τή μεταβολή τοῦ ρεύματος στήν περίπτωση 5 μέ νέα (ύποθετική) χαρακτηριστική καμπύλη στό ideo διάγραμμα μέ τή χαρακτηριστική, πού βγῆκε ἀπό τίς μετρήσεις.
- 7) Άπο τή χαρακτηριστική καμπύλη τῆς λυχνίας φαίνεται ὅτι ὅσο μεγαλώνει ἡ τάση στήν ἀνοδό μεγαλώνει καί τό ρεῦμα, ἀλλά ἀπό ἓνα σημεῖο καί μετά, παρά τήν αὔξηση τῆς τάσεως δέν παρουσιάζεται ἀνάλογη αὔξηση καί στό ρεῦμα. Πῶς ἔξηγείται τό φαινόμενο αὐτό;
- 8) Ποιά κάθοδος θά ἔχει μεταβολές στό παρεχόμενο ρεῦμα ὅταν δέν ἔχομε σταθερότητα στήν τάση θερμάνσεώς της (π.χ. ἐναλλασσόμενη τάση θερμάνσεως), ἐκείνη πού ἔχει ἄμεσο ἡ ἐκείνη πού ἔχει ἔμμεσο θέρμανση;
-

ΑΣΚΗΣΗ 10

ΤΡΙΟΔΟΣ ΛΥΧΝΙΑ

10.1 Γενικά.

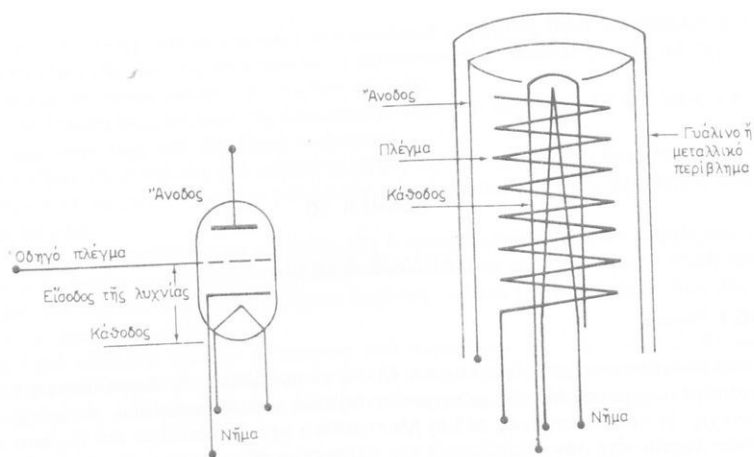
Η άνακαλυψη τής διόδου λυχνίας έλυσε τό πρόβλημα τής άνορθώσεως έναλλασσομένων μεγεθών, τής μετατροπής δηλαδή έναλλασσομένων ρευμάτων σέ συνεχή. Η πρόσθεση ένός άκομη ήλεκτροδίου μεταξύ καθόδου και άνοδου στή δίοδο λυχνία είχε σάν άποτέλεσμα τήν κατασκευή της τριόδου, μέ τήν διόπια έπιτευχθηκε ή ένισχυση ήλεκτρικών μεγεθών καί έτσι άναπτύχθηκαν ή ραδιοφωνία, οι τηλεπικοινωνίες καί ολες γενικά οι έφαρμογές των ήλεκτρονικών.

Στήν τρίοδο λυχνία, όπως καί στή δίοδο, ή κάθοδος, δταν θερμανθεῖ, έκπεμπει ήλεκτρονία. Αύτά τά παίρνει ή άνοδος, έφ' δσον είναι σέ θετικό δυναμικό ώς πρός τήν κάθοδο. "Ενα τρίτο ήλεκτρόδιο τώρα, τό διόπιο ονομάζεται **πλέγμα ή έσχάρα**, γιατί δέν είναι συμπαγές όπως η κάθοδος καί ή άνοδος, άλλα πλέγμα συμράτινο ή σύρμα τυλιγμένο σέ έλικοειδή μορφή γύρω άπό τήν κάθοδο, ρυθμίζει τήν κίνηση των ήλεκτρονίων αύτῶν στήν πορεία τους άπό τήν κάθοδο πρός τήν άνοδο. Τή ρυθμίζει (έμποδίζει), μέ τό φυσικό έμπόδιο πού παρεμβάλλει στό δρόμο τους καί μέ τό άρνητικό, σέ σχέση μέ τήν κάθοδο, δυναμικό στό διόπιο βρίσκεται. Ή κάθοδος θεωρεῖται ζτι βρίσκεται σέ δυναμικό μηδέν καί λαμβάνεται σάν άρχη μετρήσεως ζλων τών δυναμικών τῶν άλλων ήλεκτροδίων. Δηλαδή τά δυναμικά τής άνοδου καί τού πλέγματος άναφέρονται πάντοτε ώς πρός τήν κάθοδο.

Τό πλέγμα, έπειδη είναι τοποθετημένο πιο κοντά στήν κάθοδο, έπηρεάζει σέ πολύ πιό σημαντικό βαθμό τήν κυκλοφορία των ήλεκτρονίων άπό κάθοδο πρός άνοδο, άπό ζτι τήν έπηρεάζει αύτή ή ίδια ή άνοδος μέ τό θετικό δυναμικό της. Ή θεωρητική σχεδίαση τρίοδου λυχνίας καθώς καί τομή τής πραγματικής της ζψεως φαίνονται στά σχήματα 10.1α καί 10.1β.

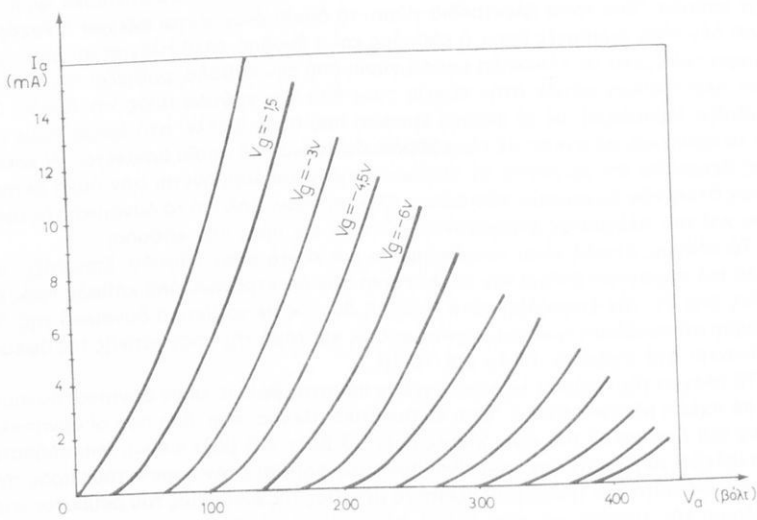
Τό πλέγμα τής τριόδου λυχνίας, σχεδόν πάντοτε, βρίσκεται σέ άρνητικό δυναμικό σέ σχέση μέ τήν κάθοδο. "Ετσι τό άρνητικό πλέγμα, παρ' ζλο πού οι άρνητικές τιμές τού δυναμικού του είναι μικρές (π.χ. -3 βόλτ, -5 βόλτ κ.ο.κ.), όπωσδήποτε δυσκολεύει τά ήλεκτρόνια (πού είναι άρνητικά φορτία) στήν πορεία τους πρός τήν άνοδο. Μέ αύτό τόν τρόπο ρυθμίζεται τό μέγεθος τής έντασεως τού ρεύματος στό κύκλωμα τής λυχνίας, γι' αύτό καί τό πλέγμα λέγεται **δδηγό πλέγμα**.

Καί στήν τρίοδο λυχνία, όπως στή δίοδο, μπορεῖ νά χαραχθεῖ ή χαρακτηριστική καμπύλη, ή διόπια δείχνει τίς μεταβολές τού άνοδικού ρεύματος I_a σέ σχέση μέ τίς μεταβολές τής άνοδικής τάσεως V_a , μέ τή διαφορά ζτι έδω μπορεῖ νά χαραχθοῦν τόσες χαρακτηριστικές ζσα καί τά δυναμικά πού δίνονται στό δδηγό πλέγμα. "Ετσι



Σχ. 10.1α.
Θεωρητικό σχέδιο τριόδου λυχνίας.

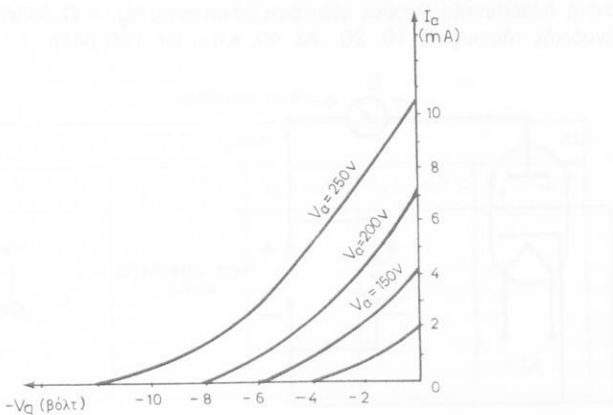
Σχ. 10.1β.
Πρακτικό σχέδιο τριόδου λυχνίας.



Σχ. 10.1γ.

χαράσσεται μιά δύμαδα (ένα σμήνος) χαρακτηριστικών, όπως φαίνονται στό σχήμα 10.1γ.

Για κάθε χαρακτηριστική καμπύλη ή τάση τοῦ πλέγματος είναι δόρισμένη καὶ παραμένει σταθερή. Έπίσης σέ μία τρίοδο λυχνία μπορεῖ νά χαραχθοῦν, έκτος ἀπό τίς προηγούμενες χαρακτηριστικές, οἱ ὅποιες λέγονται **χαρακτηριστικές ἀνόδου** τῆς λυχνίας, καὶ οἱ **χαρακτηριστικές πλέγματος**, πού φαίνονται στό σχῆμα 10.1δ.



Σχ. 10.1δ.

Οι χαρακτηριστικές αύτές δείχνουν τίς μεταβολές τοῦ ἀνόδικοῦ ρεύματος I_a σέ σχέση μέ τίς μεταβολές τῆς ἀρνητικῆς τάσεως τοῦ ὀδηγοῦ πλέγματος V_g . Ἐννοεῖται ὅτι γιά κάθε τέτοια χαρακτηριστική καμπύλη, ή τάση τῆς ἀνόδου είναι δόρισμένη καὶ παραμένει σταθερή, ὥστα σημειώνεται στό προηγούμενο διάγραμμα.

Ἡ ἑσωτερική ἀντίσταση τῆς τριόδου λυχνίας δίνεται ἀπό τή σχέση:

$$\rho = \frac{\Delta V_a}{\Delta I_a} \quad (\text{γιά } \text{ενα } \text{δόρισμένο, } \text{σταθερό } V_g)$$

Ἄπο τό σμῆνος τῶν χαρακτηριστικῶν πλέγματος μιᾶς τριόδου λυχνίας προσδιορίζεται ὁ συντελεστής ἐνισχύσεως αὐτῆς. Ὁ συντελεστής ἐνισχύσεως συμβολίζεται μέ τό γράμμα μ καὶ είναι ἔνας σταθερός ἀριθμός γιά κάθε λυχνία, πού ἔχαρτάται ἀπό τή γεωμετρική κατασκευή τῆς. (Ὁ συμβολισμός μέ τό μικρό Ἑλληνικό γράμμα μ είναι διεθνής). Ὁ σταθερός αὐτός ἀριθμός δηλώνει πόσες φορές μπορεῖ ἡ τρίοδος λυχνία νά ἐνισχύσει ἔνα σῆμα πού ἔφαρμόζεται στήν εἰσοδό τῆς. Δίνεται ἀπό τή σχέση:

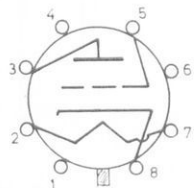
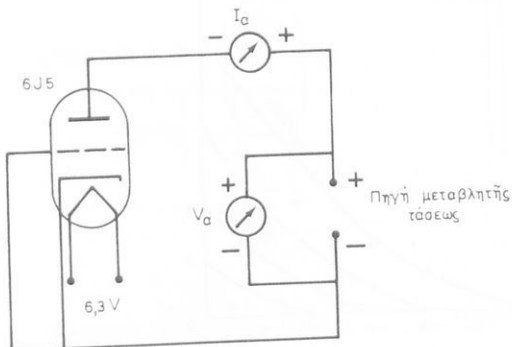
$$\mu = \frac{\Delta V_a}{\Delta V_g} \quad (\text{γιά } \text{ενα } \text{δόρισμένο, } \text{σταθερό } I_a)$$

10.2 Ἐργασία.

- 1) Νά πραγματοποιηθεῖ τό κύκλωμα (σχ. 10.2α). Γιά πηγή νά χρησιμοποιηθεῖ

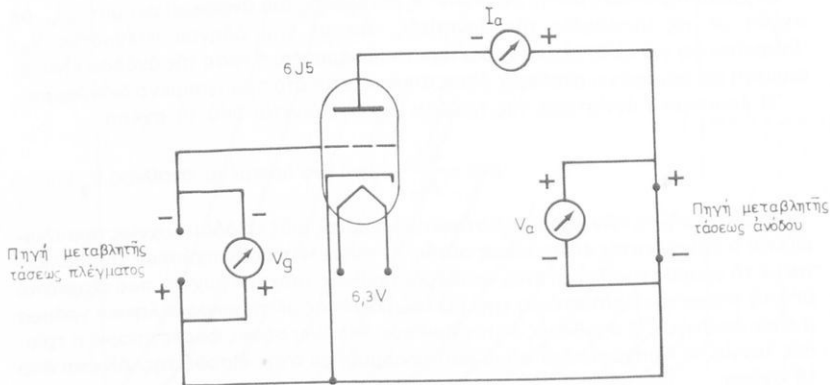
τροφοδοτικό μεταβλητής τάσεως. Τό πλέγμα νά συνδεθεί άπευθείας στήν κάθοδο, όπότε θά βρίσκεται σέ δυναμικό μηδέν.

Μέ μεταβολή τής άνοδικής τάσεως άπό 0 - 130 βόλτ νά ληφθοῦν μετρήσεις τών άντιστοίχων μεταβολών του άνοδικού ρεύματος και νά χαραχθεῖ ή χαρακτηρι-
τών άνοδου τῆς λυχνίας γιά τάση πλέγματος $V_g = 0$ βόλτ. Διαδοχικές τιμές
στική άνοδου τῆς λυχνίας: 0, 10, 20, 30, 40, κ.ο.κ. ώς 130 βόλτ.



Βάση τῆς λυχνίας 6J5

Σχ. 10.2a.



Σχ. 10.2b.

2) Νά τροποποιηθεῖ τό προηγούμενο κύκλωμα και νά γίνει όπως στό σχήμα 10.2β. Νά έφαρμοσθεῖ στό πλέγμα σταθερή άρνητική τάση -1.5 βόλτ και νά λη-
φθοῦν μετρήσεις ώστε νά χαραχθεῖ στό ίδιο διάγραμμα νέα χαρακτηριστική άνο-
δου τῆς λυχνίας γιά $V_g = -1.5$ βόλτ. Τιμές άνοδικής τάσεως: 20, 30, 40, 50, 60,...
140 βόλτ.

- 3) Τό ίδιο νά έπαναληφθεί γιά τάσεις πλέγματος:
- 3 βόλτ. Τιμές άνοδικής τάσεως: 40, 50, 60, 70, 80,... 160 βόλτ.
 - 4,5 βόλτ. Τιμές άνοδικής τάσεως: 60, 70, 80, 90, 100, 110,... 200 βόλτ.
 - 6 βόλτ. Τιμές άνοδικής τάσεως: 80, 100, 120, 140,...220 βόλτ.
- 4) "Ολες οι ένδειξεις των μετρήσεων νά γραφοῦν στόν Πίνακα 10.2.1.

ΠΙΝΑΚΑΣ 10.2.1.

V_a (βόλτ)	I_a (mA)				
	$V_g = 0 \text{ V}$	$V_g = -1,5 \text{ V}$	$V_g = -3 \text{ V}$	$V_g = -4,5 \text{ V}$	$V_g = -6 \text{ V}$
0					
10					
20					
30					
40					
...					
...					
...					

5) Άπο τίς προηγούμενες μετρήσεις νά χαραχθοῦν στό ίδιο διάγραμμα οι χαρακτηριστικές άνόδου (V_a / I_a) τῆς λυχνίας.

6) Έφαρμοζόντας σταθερή τάση στήν άνοδο τῆς λυχνίας, διαδοχικά 75, 100 καὶ 140 βόλτ, νά μεταβάλλεται ή τάση πλέγματος στίς τιμές -1, -2, -3, -4, -5, -6, βόλτ καὶ νά ληφθοῦν μετρήσεις γιά τίς άντιστοιχες μεταβολές τοῦ άνοδικοῦ ρεύματος I_a .

7) "Ολες οι μετρήσεις τῆς προηγούμενης έρωτήσεως νά γραφοῦν στόν Πίνακα 10.2.2.

ΠΙΝΑΚΑΣ 10.2.2.

V_g (βόλτ)	I_a		
	$V_a = 75 \text{ V}$	$V_a = 100 \text{ V}$	$V_a = 140 \text{ V}$
0			
-1			
-2			
-3			
-4			
-5			
-6			

8) Άπο τίς μετρήσεις αύτές νά χαραχθοῦν στό ίδιο διάγραμμα οι χαρακτηριστικές καμπύλες πλέγματος (I_a / V_g) τῆς λυχνίας.

ΑΣΚΗΣΗ 11

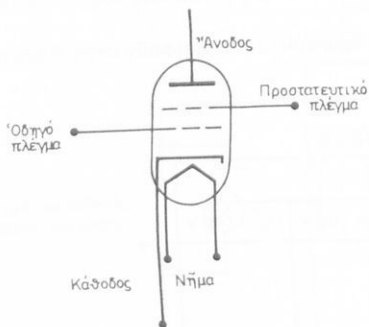
ΤΕΤΡΟΔΟΣ ΛΥΧΝΙΑ

ΚΑΙ ΛΥΧΝΙΑ ΙΣΧΥΟΣ ΚΑΤΕΥΘΥΝΟΜΕΝΗΣ ΔΕΣΜΗΣ

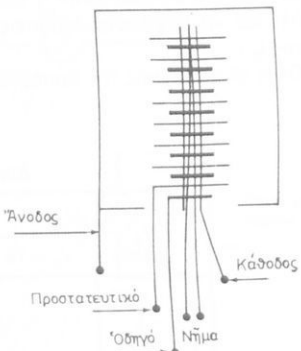
11.1 Γενικά.

Μέ τήν προσθήκη ένός πλέγματος στή γνωστή άπό τήν προηγούμενη ασκηση^τ τρίσδιο λυχνία προκύπτει ένας νέος τύπος, ή τέτροδος, ή λυχνία δηλαδή, τών τεστάρων ήλεκτροδίων. Ή προσθήκη αυτή κρίθηκε άναγκαία, πρώτα γιά νά έξασφασάρων μεγαλύτερη ένίσχυση (τό μιας τρίσδου φθάνει μέχρι και 100, ένω τό μιας τετρόδου μπορεῖ νά περάσει και τό 1000) καί ύστερα γιατί ή δημιουργούμενη χωρητικότητα μεταξύ όδηγού πλέγματος καί άνόδου σέ μια τρίσδο δέν έπετρεπε τή χρησιμοποίησή της σέ κύκλωμα υψηλῶν συχνοτήτων.

Τά σχήματα 11.1α καί 11.1β δείχνουν μιά τέτροδο λυχνία.
Τά σχήματα 11.1α καί 11.1β δείχνουν μιά τέτροδο λυχνία.



Σχ. 11.1α.
Θεωρητικό σχέδιο τετρόδου λυχνίας.



Σχ. 11.1β.
Τομή τετρόδου λυχνίας.

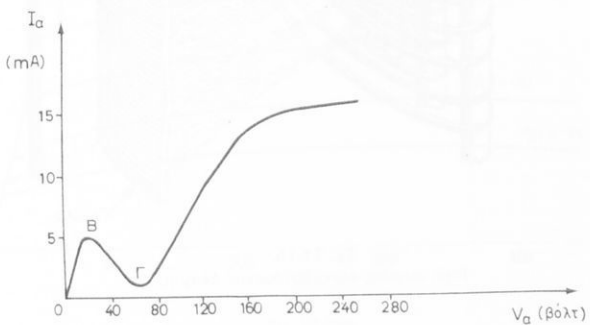
Τό νέο πλέγμα όνομάζεται **προστατευτικό**. Είναι τοποθετημένο μεταξύ όδηγού πλέγματος καί άνόδου καί έχει πάντοτε θετικό δυναμικό σέ σχέση μέ τήν κάθοδο. Τό θετικό δυναμικό τοῦ προστατευτικοῦ πλέγματος βοηθάει (έλκει), έπειδή εί-

vai πιό κοντά στήν κάθοδο, ώστε τά ήλεκτρόνια αύτής νά φθάσουν πιό γρήγορα στήν άνοδο. Αύτή ή έπιτάχυνση δημιουργεῖ και δρισμένους περιορισμούς και δέν έπιτρέπεται ή χρησιμοποίηση μιᾶς τέτοιας τετρόδου σε κυκλώματα ένισχύσεως.

Πράγματι στήν τέτροδο τά ήλεκτρόνια άπό τήν κάθοδο φθάνουν μέ μεγάλη ταχύτητα στήν άνοδο και χτυποῦν έπάνω σέ αύτή μέ τόση δρμή, ώστε προκαλοῦν έξαγωγή νέων ήλεκτρονίων άπό τό μέταλλο τής άνοδου. Ή έκπομπή ήλεκτρονίων άπό τήν άνοδο μέ τόν τρόπο αύτό λέγεται **δευτερογενής έκπομπή**.

Τά ήλεκτρόνια πού προέρχονται άπό τή δευτερογενή έκπομπή, άναλογα μέ τίς ταχύτητες πού άποκτοῦν κατά τήν έξαγωγή τους, έλκονται άπό τό θετικό δυναμικό τού προστατευτικού πλέγματος και έτσι δημιουργεῖται ή κυκλοφορία ένός άντιθετού ρεύματος άπό τήν άνοδο πρός τό προστατευτικό πλέγμα. "Έτσι δημαρτίζεται τό ρεύμα τής άνοδου, παρ' όλο οτι ή άνοδική τάση αύξανεται.

Ή χαρακτηριστική καμπύλη τάσεως-ρεύματος άνοδου μιᾶς τετρόδου λυχνίας φαίνεται στό διάγραμμα τού σχήματος 11.1γ.



Σχ. 11.1γ.

Χαρακτηριστική καμπύλη τάσεως άνοδου - ρεύματος, άνοδου τετρόδου λυχνίας.

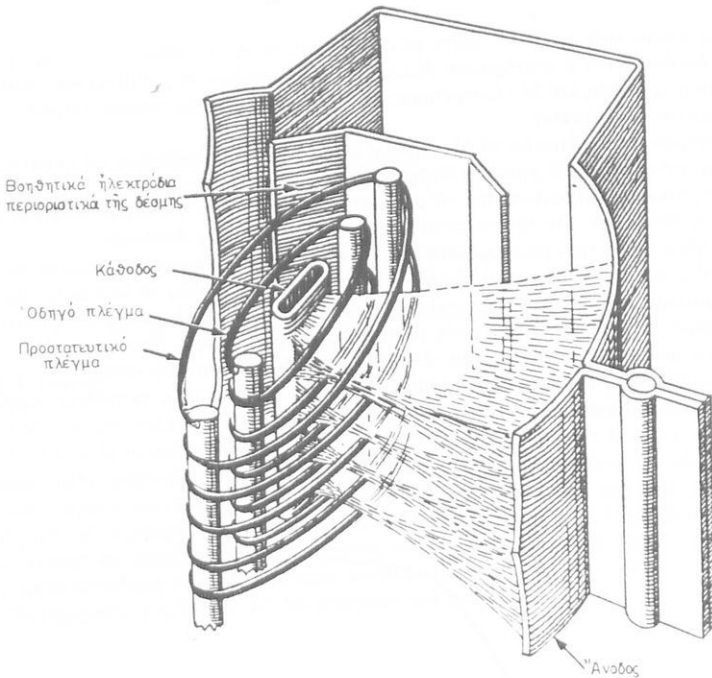
Τό τμήμα ΒΓ τής χαρακτηριστικῆς δείχνει τήν έλάττωση τοῦ άνοδικοῦ ρεύματος, παρ' όλο πού αύξανεται ή άνοδική τάση. Ή λυχνία τότε παρουσιάζει τό φαινόμενο τής **άρνητικής άντιστάσεως** και, ένω δέν μπορεῖ νά χρησιμοποιηθεῖ σάν ένισχυτρία σέ αύτή τήν περιοχή, χρησιμοποιεῖται σάν ταλαντώτρια.

Ή δημιουργούμενη «κατάδυση» τής χαρακτηριστικῆς, δημορφίζεται ή πτώση της στό τμήμα ΒΓ, άντιμετωπίζεται μέ δύο τρόπους:

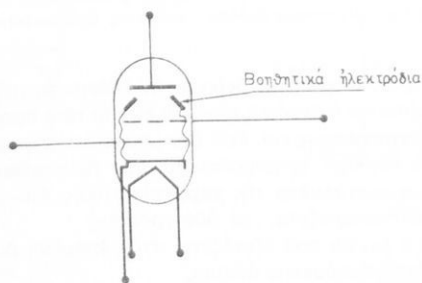
- α) Μέ τήν πέντοδο λυχνία πού ξεπέραζεται στήν έπομενη άσκηση και
- β) μέ τή λυχνία κατευθυνόμενης δέσμης.

Οι λυχνίες κατευθυνόμενης δέσμης είναι τέτροδοι (αν και μερικοί τεχνικοί τίς κατατάσσουν στίς πεντόδους) μέ ειδική κατασκευή και είδική τοποθέτηση τών πλεγμάτων. Τό έπόμενο σχήμα δείχνει μιά τομή τετρόδου λυχνίας κατευθυνόμενης δέσμης και τό σχηματισμό τών δμάδων ήλεκτρονίων (σχήμα 11.1δ).

Τό όδηγό και τό προστατευτικό πλέγμα είναι έτσι τοποθετημένα, ώστε τά ήλε-



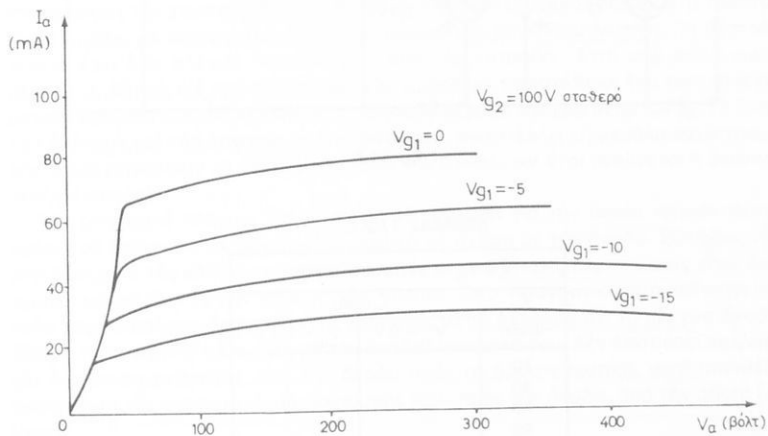
Σχ. 11.1δ.
Τομή λυχνίας κατευθυνόμενης δέσμης.



Σχ. 11.1ε.
Θεωρητικό σχέδιο λυχνίας κατευθυνόμενης δέσμης.

κτρόνια τῆς καθόδου νά δημιουργούν δέσμες στήν πορεία τους πρός τήν άνοδο. Γιά διευκόλυνση τῆς λειτουργίας αύτῆς τοποθετοῦνται δύο βοηθητικά ήλεκτρόδια μεταξύ τοῦ προστατευτικοῦ πλέγματος καί τῆς άνοδου, όπως φαίνεται στό σχήμα 11.1ε. Τά βοηθητικά αύτά ήλεκτρόδια (άνοδοι), συνδέονται μέ τήν κάθοδο καί φέρουν τό δυναμικό τῆς καθόδου.

Οι χαρακτηριστικές άνοδου (τάσεως - ρεύματος) μιᾶς λυχνίας κατευθυνόμενης δέσμης δέν παρουσιάζουν κατάδυση. Ή μορφή τους φαίνεται στό διάγραμμα τοῦ σχήματος 11.1στ.



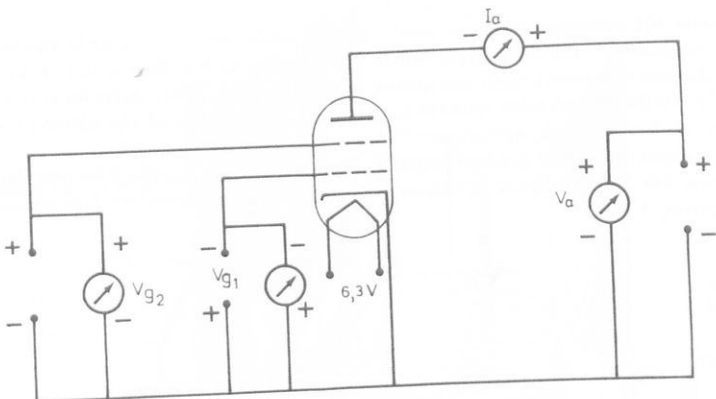
Σχ. 11.1στ.

Χαρακτηριστικές καμπύλες τάσεως - ρεύματος άνοδου λυχνίας κατευθυνόμενης δέσμης.

Οι λυχνίες κατευθυνόμενης δέσμης χρησιμοποιοῦνται πάντοτε στίς έξόδους τῶν ἐνισχυτῶν, γιατί εἶναι λυχνίες μεγάλης εύαισθησίας καί μεγάλης ἀποδόσεως ίσχυος στήν έξοδό τους.

11.2 Έργασία.

- 1) Νά πραγματοποιηθεῖ τό κύκλωμα τετρόδου λυχνίας τοῦ σχήματος 11.2.
- 2) Ἀφοῦ ἐλεγχθεῖ τό κύκλωμα ἀπό τὸν καθηγητή τοῦ Ἐργαστηρίου, νά ληφθοῦν μετρήσεις τῶν μεταβολῶν τοῦ ἀνοδικοῦ ρεύματος I_a σὲ σχέση μέ τίς μεταβολές τῆς ἀνοδικῆς τάσεως V_a γιά δύο διαφορετικά δυναμικά τοῦ ὀδηγοῦ πλέγματος τῆς λυχνίας ($V_g1 = 0$ καί -3 βόλτ), μέ τό προστατευτικό πλέγμα πάντοτε μέ σταθερό δυναμικό 100 βόλτ. Οι τιμές τῆς ἀνοδικῆς τάσεως νά μεταβάλλονται ἀπό 20 ώς 200 βόλτ ἀνά 20 βόλτ.
- 3) Ὁλες οἱ μετρήσεις νά γραφοῦν στόν Πίνακα 11.2.1.



Σχ. 11.2.

ΠΙΝΑΚΑΣ 11.2.1.

Γιά $V_{g_1} = 100$ V (σταθερό)		
V_a (βόλτη)	I_a (mA)	
	$V_{g_1} = 0$ V	$V_{g_1} = -3$ V
20		
40		
60		
80		
...		
...		
...		

4) Άπο τίς μετρήσεις νά χαραχθοῦν οι χαρακτηριστικές άνόδου (τάσεως - ρεύματος) τής τετρόδου λυχνίας.

5) Νά τοποθετηθεῖ στό σασσί τής άσκησεως λυχνία κατευθυνόμενης δέσμης, νά συνδεσμολογηθεῖ τό κύκλωμα καί νά ληφθοῦν μετρήσεις, ώστε νά χαραχθοῦν οι χαρακτηριστικές άνόδου γιά τάσεις άδηγού πλέγματος $V_g = 0, -3$ καί -6 βόλτη. Οι τιμές άνοδικής τάσεως μεταβάλλονται από 20 ώς 240 βόλτη άνα 20 βόλτη.

6) "Ολες οι μετρήσεις νά γραφοῦν σέ πίνακα, όπως στήν έρώτηση 3.

7) Άπο τίς μετρήσεις τής προηγούμενης έρωτήσεως νά χαραχθοῦν οι τρεις καμπύλες στό ίδιο διάγραμμα. Νά συγκριθοῦν αύτές μέ εκείνες που χαράχθηκαν στήν έρώτηση 4.

8) Γιά ποιές τιμές τάσεως τής άνόδου παρουσιάζεται τό φαινόμενο τής καταδύσεως (βλέπε χαρακτηριστικές έρωτήσεως 4) καί γιά ποιές τιμές άρχιζει νά καταργείται αύτό;

γιατί έτσι θέλει το ιωνονικό φίο πόλυ νήσος ωδότωνεπάρτησης ή ανάθετης στον οικισμό της γειτονιάς.

-γιατί το μεταναστευτικό φίο πόλυ θέλει την ίδια ιωνονική φύση της γειτονιάς.

ΑΣΚΗΣΗ 12. Η γειτονιά διαθέτει έναν οικισμό που έχει μεταναστευτικό φίο πόλυ θέλει την ίδια φύση της γειτονιάς.

-γιατί το μεταναστευτικό φίο πόλυ θέλει την ίδια φύση της γειτονιάς.

ΠΕΝΤΟΔΟΣ ΛΥΧΝΙΑ Το πεντόδος λυχνία είναι ένας οικισμός που έχει μεταναστευτικό φίο πόλυ θέλει την ίδια φύση της γειτονιάς.

-γιατί το μεταναστευτικό φίο πόλυ θέλει την ίδια φύση της γειτονιάς.

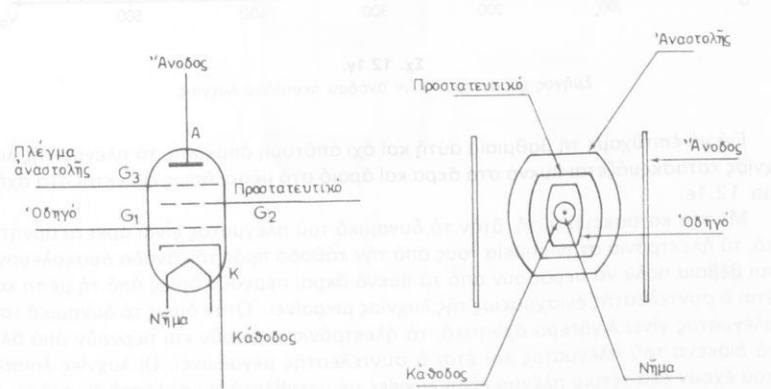
12.1 Γενικά. Ο πεντόδος λυχνία είναι ένας οικισμός που έχει μεταναστευτικό φίο πόλυ θέλει την ίδια φύση της γειτονιάς.

-γιατί το μεταναστευτικό φίο πόλυ θέλει την ίδια φύση της γειτονιάς.

Στήν τέτροδο λυχνία της προηγούμενης άσκησης είπαμε ότι τό φαινόμενο της καταδύσεως της χαρακτηριστικής (έξ αιτίας της δευτερογενούς έκπομπής ήλεκτρονών) μπορεί νά καταργηθεί μέ τη χρησιμοποίηση πεντόδου λυχνίας. Η πέντοδος λυχνία έχει ένα πλέγμα περισσότερο από τήν τέτροδο. Έτσι στά δύο γνωστά πλέγματα, δηλαδή και προστατευτικό, της τετρόδου, προστέθηκε ένα τρίτο πλέγμα, μεταξύ προστατευτικού και άνοδου, τό όποιο λέγεται **πλέγμα άναστολής**. Τό δημόρα του δηλώνει και τήν έργασία πού προσφέρει: Άναστέλλει τή μεγάλη ταχύτητα, μέ τήν δημόρα πηγαίνουν τά ήλεκτρόνια πρός τήν άνοδο, και έτσι μειώνεται ή δευτερογενής έκπομπή.

Τό τρίτο αύτό πλέγμα, γιά νά κάνει τή δουλειά γιά τήν δημόρα ποποθετήθηκε, πρέπει νά βρίσκεται σέ άρνητικό δυναμικό σέ σχέση μέ τήν άνοδο. Συνήθως είναι στό δυναμικό τής καθόδου (μηδέν) και στίς περισσότερες περιπτώσεις είναι έσωτερικά συνδεμένο μέ τήν κάθοδο τής λυχνίας. Στήν πραγματικότητα και στήν πέντοδο παρουσιάζεται δευτερογενής έκπομπή, μέ τή διαφορά οτι τό πλέγμα άναστολής μέ τό άρνητικό, σέ σχέση μέ τήν άνοδο, δυναμικό του, δέν έπιτρέπει κυκλοφορία άντιθετο ρεύματος, από τήν άνοδο πρός τό προστατευτικό, γιατί άπωθει τά ήλεκτρόνια τής δευτερογενούς έκπομπής πάλι πρός τήν άνοδο, από τήν δημόρα ξεκίνησαν.

Ο συμβολισμός τής πεντόδου φαίνεται στό σχήμα 12.1a. Τό σχήμα 12.1β δεί-



Σχ. 12.1a.

Σχ. 12.1β.

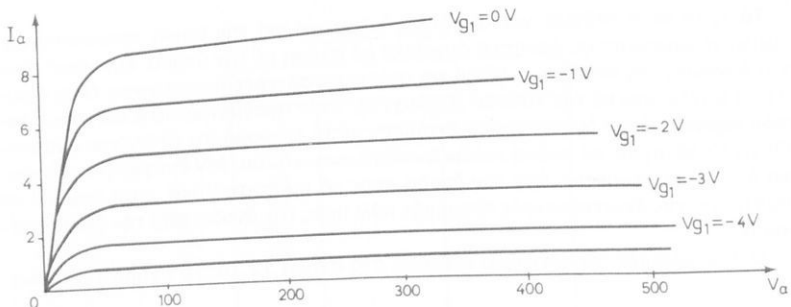
χνει δριζόντια τομή πεντόδου λυχνίας, στήν όποια φαίνονται οι σχετικές θέσεις τών ήλεκτροδίων.

Στήν ασκηση αυτή έξετάζονται καί οι είδικές πέντοδοι λυχνίες μεταβλητής ένισχυσεως. Γενικά στις λυχνίες τό δύηγό πλέγμα άποτελείται από ένα σύρμα τυλιγμένο σέ σπειροειδή μορφή γύρω από τήν κάθοδο, μέ τίς σπεῖρες του σέ μικρές ίμενο σέ ποστάσεις μεταξύ τους. Μιά τέτοια κατασκευή έξασφαλίζει μεγάλο συντελεστή άποστάσεις μεταξύ τους. Μιά τέτοια κατασκευή έξασφαλίζει μεγάλο συντελεστή ένισχυσεως, άλλα ή χαρακτηριστική καμπύλη I_a/V_g είναι μεγάλης κλίσεως στή ένισχυσεως, άλλα ή δηγεί σύντομα σέ δυναμικό άποκοπής. Υπενθυμίζεται ότι δυναμικό άποκοπής είναι τό άρνητικό δυναμικό τού δύηγού πλέγματος, γιά τό δύο οδό που ή κάθοδος θερμαίνεται καί ή άνοδος βρίσκεται σέ μεγάλο θετικό δυναμικό.

Στήν λυχνίες **μεταβλητής ένισχυσεως** έξασφαλίζεται βαθμιαία προσέγγιση στό δυναμικό άποκοπής.

Στό σχήμα 12.1δ φαίνονται δύο χαρακτηριστικές I_a/V_g , μία κανονικής πεντόδου λυχνίας καί μία έπισης πεντόδου λυχνίας, μεταβλητής ένισχυσεως.

Οι χαρακτηριστικές άνοδου πεντόδου λυχνίας παριστάνονται στό σχήμα 12.1γ.

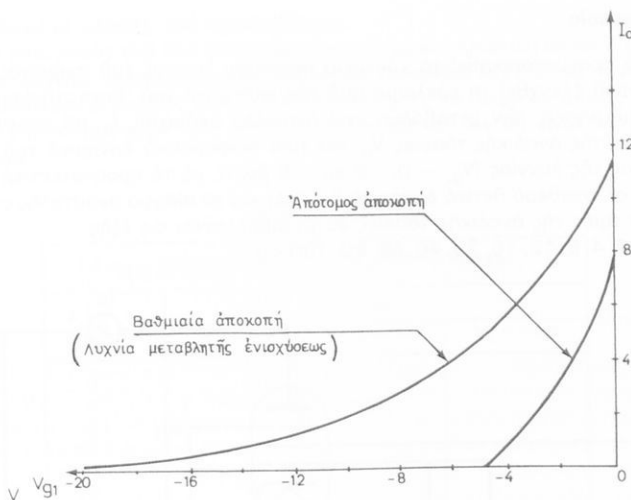


Σχ. 12.1γ.

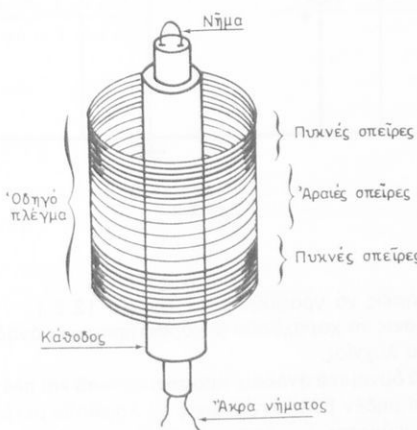
Συμήνος χαρακτηριστικῶν άνοδου πεντόδου λυχνίας.

Γιά νά έπιτύχομε τή βαθμιαία αύτή καί ιδι άπότομη άποκοπή, τό πλέγμα τῆς λυχνίας κατασκευάζεται πυκνό στά άκρα καί άραιο στό μέσο, οπως φαίνεται στό σχήμα 12.1ε.

Μέ τήν κατασκευή αύτή, όταν τό δυναμικό τού πλέγματος είναι άρκετά άρνητικό, τά ήλεκτρόνια στήν πορεία τους από τήν κάθοδο πρός τήν άνοδο δυσκολεύονται βέβαια πολύ νά περάσουν από τά πυκνά άκρα, περνοῦν έμως από τή μέση καί έτσι δη συντελεστής ένισχυσεως τῆς λυχνίας μικραίνει. "Όταν έμως τό δυναμικό τού πλέγματος γίνει λιγότερο άρνητικό, τά ήλεκτρόνια μποροῦν καί περνοῦν από άλλα τά διάκενα τού πλέγματος καί έτσι δη συντελεστής μεγαλώνει. Οι λυχνίες λοιπόν πού έχουν ένα τέτοιο πλέγμα είναι λυχνίες με μεταβλητό συντελεστή ένισχυσεως καί έξυπηρέτησαν πολύ τούς ραδιοφωνικούς δέκτες, πρίν από τήν έφαρμογή τών τρανζίστορ, γιατί μέ τήν ίκανότητα τῆς μεταβλητής ένισχυσεως σημάτων σέ μεγάλα ορία, έπιτυγχάνεται σταθερότητα τῆς έντασεως τῆς φωνής στό μεγάφωνο, άλλα ορία, έπιτυγχάνεται σταθερότητα τῆς έντασεως τῆς φωνής στό μεγάφωνο, άλλα ορία,



Σχ. 12.1δ.

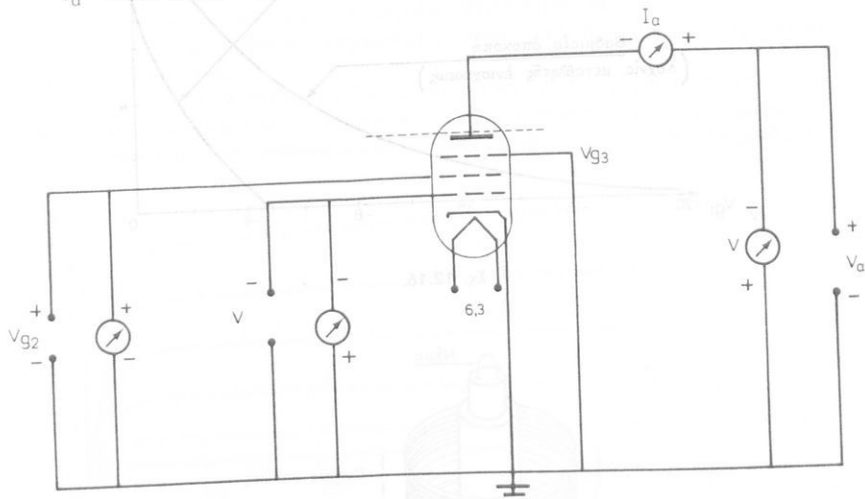


Σχ. 12.1ε.

ταν τά σήματα πού έρχονται στήν κεραία τοῦ δέκτη δέν είναι σταθερῆς έντάσεως, πράγμα πού συμβαίνει πάντοτε, κυρίως γιά τούς μακρινούς σταθμούς.

12.2 Έργασία.

- 1) Νά πραγματοποιηθεί τό κύκλωμα πεντόδου λυχνίας τοῦ σχήματος 12.2.
- 2) Άφοῦ έλεγχθεῖ τό κύκλωμα άπό τόν καθηγητή τοῦ Έργαστηρίου, νά ληφθοῦν μετρήσεις τῶν μεταβολῶν τοῦ άνοδικοῦ ρεύματος I_a σέ σχέση μέ τίς μεταβολές τῆς άνοδικῆς τάσεως V_a γιά τρία διαφορετικά δυναμικά τοῦ άδηγοῦ πλέγματος τῆς λυχνίας ($V_{g_1} = 0, -3$ καί -6 βόλτ), μέ τό προστατευτικό πλέγμα πάντοτε σέ σταθερό θετικό δυναμικό 80 βόλτ καί τό πλέγμα άναστολῆς σέ μηδέν βόλτ. Οι τιμές τῆς άνοδικῆς τάσεως νά μεταβάλλονται ώς έξης:
- $$V_a = 0, 4, 8, 12, 16, 20, 40, 60, 80, 100 \text{ κ.ο.κ.}$$



Σχ. 12.2.

3) Όλες οι μετρήσεις νά γραφοῦν στόν Πίνακα 12.2.1.

4) Από τίς μετρήσεις νά χαραχθοῦν οι χαρακτηριστικές άνόδου (τάσεως - ρεύματος) τῆς πεντόδου λυχνίας.

5) Μέ σταθερά τά δυναμικά άνόδου, προστατευτικοῦ καί πλέγματος άναστολῆς, σέ τιμές 150, 80 καί μηδέν βόλτ άντιστοιχα, νά ληφθοῦν μετρήσεις τῶν μεταβολῶν τοῦ άνοδικοῦ ρεύματος I_a , όταν μεταβάλλεται τό άρνητικό δυναμικό τοῦ άδηγοῦ πλέγματος άνά 1 βόλτ άπό μηδέν ώς 10 βόλτ.

6) Οι μετρήσεις τῆς προηγούμενης έρωτήσεως νά έπαναληφθοῦν γιά μιά λυχνία μεταβλητῆς ένισχύσεως. Τά άποτελέσματα νά γραφοῦν σέ πίνακα παράλληλα μέ τά άποτελέσματα τῆς έρωτήσεως 5.

7) Μέ τά άποτελέσματα τῶν μετρήσεων τῶν έρωτήσεων 5 καί 6 νά χαραχθοῦν οι χαρακτηριστικές V_g/I_a τῶν δύο λυχνιῶν στό ίδιο σχεδιάγραμμα καί νά

σχολιασθούν οι μορφές πού παρουσιάζουν.

8) Νά χαραχθοῦν στό ίδιο διάγραμμα άνα μία χαρακτηριστική άνόδου **τριόδου, τετρόδου, λυχνίας κατευθυνόμενης δέσμης** και **πεντόδου** λυχνίας, νά συγκριθούν και σχολιασθούν οι μορφές τους. (Οι καμπύλες αύτές θά δείχνουν άπλως τίς μορφές τών χαρακτηριστικών τών παραπάνω λυχνιών και δέν θά είναι άποτέλεσμα μετρήσεων).

ΠΙΝΑΚΑΣ 12.2.1.

V_g (βόλτ)	I_a (mA)		
	$V_{g_s} = 0 \text{ V}$	$V_{g_s} = -3 \text{ V}$	$V_{g_s} = -6 \text{ V}$
0	0	0	0
4	0	0	0
8	0	0	0
12	0	0	0
16	0	0	0
20	0	0	0
40	0	0	0
60	0	0	0
80	0	0	0
100	0	0	0
120 κ.ο.κ.	0	0	0

13.1 Λειτήρια

ΑΣΚΗΣΗ 13

ΗΜΙΑΓΩΓΟΙ – Η ΚΡΥΣΤΑΛΛΟΔΙΟΔΟΣ

13.1 Γενικά.

Η χρησιμοποίηση των ήμιαγωγών στά ήλεκτρονικά κυκλώματα άλλαξε ούσιαστικά τήν κατασκευαστική πορεία των ήλεκτρονικών συσκευών. Οι ήλεκτρονικές λυχνίες συναντώνται άκομη σε παλιές κυρίως συσκευές και έχουν παραμερισθεῖ πιά από τίς κρυσταλλοδίοδους καί τά τρανζίστορ. Τά ήμιαγωγά ύλικά προτιμήθηκαν, γιατί παρουσιάζουν σοβαρά πλεονεκτήματα όπως:

α) Είναι πολύ μικρά σέ δύκο καί βάρος.

β) Δέν χρειάζονται θέρμανση· άρα δέν καταναλώνουν ένέργεια, όπως οι λυχνίες γιά τά νήματά τους, καί ή διάρκεια ζωῆς τους είναι σχεδόν άπειροιστη.

γ) Δουλεύουν άμεσως μόλις τό κύκλωμα τεθεῖ σέ τάση καί δέν χρειάζεται χρόνος, όπως στίς λυχνίες, γιά τή θέρμανση τής καθόδου γιά νά κυκλοφορήσει ρεῦμα.

δ) Η ήλεκτρική ένέργεια πού καταναλώνουν γιά τήν ίδια δουλειά μέ μιά λυχνία είναι σαφώς μικρότερη από δτι στή λυχνία.

ε) Στήν περίπτωση των τρανζίστορ, δέν παρουσιάζουν μικροφωνισμούς, λόγω τής στερεάς τους κατασκευής.

στ) Η δαπάνη κατασκευής των κυκλωμάτων τους είναι μικρότερη από έκείνη των κυκλωμάτων μέ λυχνίες.

Άκομη έχουν καί άλλα πλεονεκτήματα πού άναφέρονται στή λειτουργία καί τήν άποδοση των κυκλωμάτων τους, τά όποια θά άναφερθούν στίς άντίστοιχες άσκήσεις άργοτερα.

Γιά τήν κατασκευή των κρυσταλλοδίοδων καί τών τρανζίστορ χρησιμοποιούνται ήμιαγωγά ύλικά, όπως τό γερμάνιο καί τό πυρίτιο. Τά ύλικά αύτά σέ πολύ χαμηλές θερμοκρασίες τείνουν νά γίνουν μονωτικά, ένω στή θερμοκρασία τού περιβάλλοντος συμπεριφέρονται σάν ήμιαγωγοί.

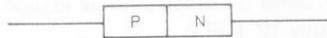
Η άγωγιμότητα των ήμιαγωγών αύτών μπορεῖ νά αύξηθει ἀν προστεθεῖ μικρή ποσότητα πεντασθενούς στοιχείου, π.χ. άρσενικού, φωσφόρου, άντιμονίου κ.ά. Τότε θή ήμιαγωγός παρουσιάζει άρκετά έλεύθερα ήλεκτρόνια καί λέγεται ήμιαγωγός τύπου N (Negative – άρνητικό). "Άν άντι πεντασθενούς στοιχείου προστεθεῖ τρισθενές, π.χ. ίνδιο, βάριο, γάλλιο κ.ά., τότε θή ήμιαγωγός παρουσιάζει έλεύθερα θετικά φορτία καί λέγεται ήμιαγωγός τύπου P (Positive – θετικό).

Η κρυσταλλοδίοδος σχηματίζεται από τήν ένωση ένός ήμιαγωγού στοιχείου τύπου P μέ ένα τύπου N. Η άκρη τού στοιχείου P είναι ή άνοδος καί ή άκρη τού στοιχείου N είναι ή κάθοδος.

Τό σύμβολο μιᾶς κρυσταλλοδιόδου είναι:

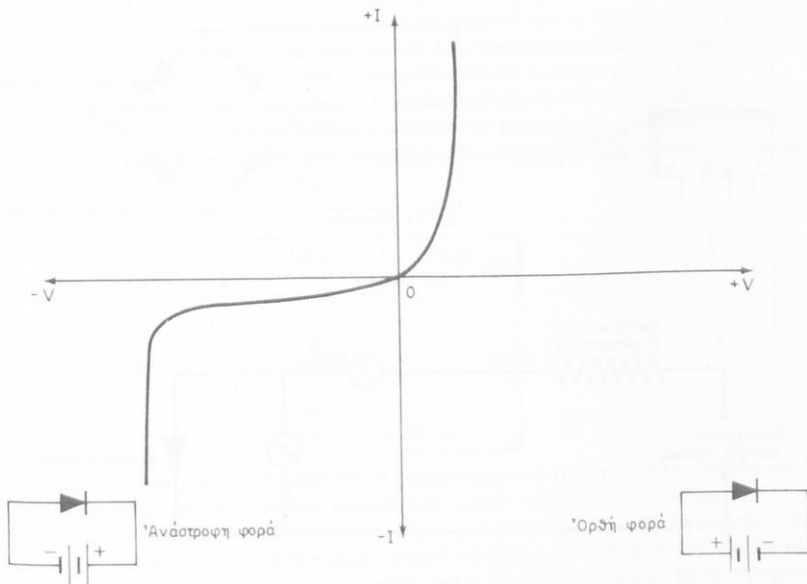


καί τά στοιχεῖα πού τήν άπαρτίζουν είναι:



"Όταν τό μεῖον (—) τῆς πηγῆς συνδέεται στήν κάθοδο καί τό σύν (+) στήν άνοδο, ή δίοδος είναι πολωμένη κατά τήν **όρθη φορά** (προωστική φορά). "Αν ή δίοδος συνδεθεῖ άντιθετα (τό — στήν άνοδο καί τό + στήν κάθοδο), τότε ή δίοδος πολώνεται κατά τήν **άναστροφή φορά**. Στή δεύτερη περίπτωση κυκλοφορεῖ ένα πολύ μικρό ρεῦμα πού πρακτικά είναι μηδενικής έντασεως.

Η όρθη καί άναστροφή πόλωση μιᾶς κρυσταλλοδιόδου καί τό ρεῦμα πού κυκλοφορεῖ στίς δύο αύτές περιπτώσεις φαίνονται στή χαρακτηριστική καμπύλη τοῦ σχήματος 13.1a.



Σχ. 13.1a.

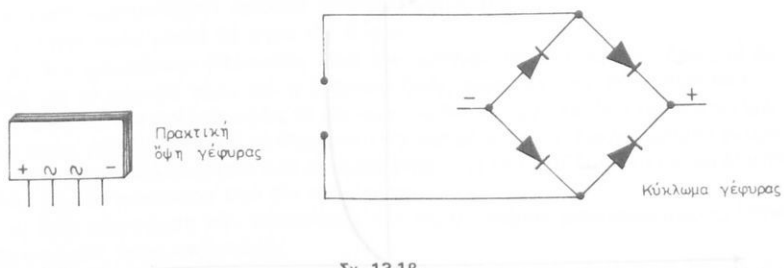
Άναλογα μέ τόν τρόπο πού γίνεται ή ένωση τῶν στοιχείων P καί N, οι κρυσταλλοδιόδοι χωρίζονται στίς κατηγορίες: **Διόδοι άκιδας** καί **δίοδοι έπαφής**.

Οι δίοδοι άκιδας παρουσιάζουν πολύ μικρή χωρητικότητα έπαφης τῶν στοιχείων καί είναι κατάλληλες κυρίως σέ κυκλώματα ύψηλῶν συχνοτήτων. Δίοδοι άκιδας πυριτίου χρησιμοποιούνται άκομη καί στήν περιοχή τῶν μικροκυμάτων, ένω

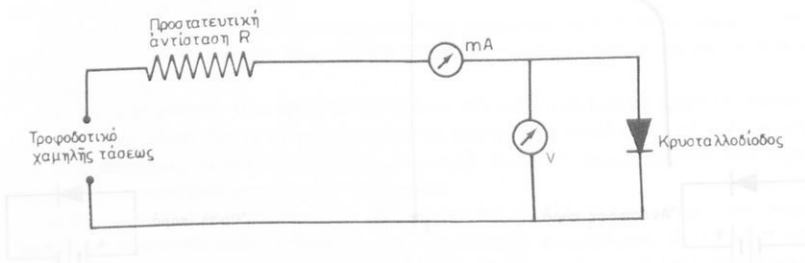
δίοδοι άκιδας γερμανίου μέ ακίδα άπό χρυσό χρησιμοποιούνται σέ λειπτές κατασκευές κυκλωμάτων ηλεκτρονικών ύπολογιστῶν.

Οι δίοδοι έπαφής παρουσιάζουν μεγάλη χωρητικότητα έπαφής καί γι' αύτο δέν μπορεῖ νά ξενπρετήσουν στις υψηλές συχνότητες, έκτος άπό ειδικές κατασκευές, όπως ή δίοδος σήραγγος (Tunnel) καί ή δίοδος μεταβλητής χωρητικότητας (Varicap). Έξυπηρετοῦν όμως πολύ σέ όλες τις έφαρμογές άνορθώσεως γιά μικρά καί μεγάλα ρεύματα. Συναντώνται σέ κυκλώματα μέ iσχυρά ρεύματα, πού μπορεῖ νά φθάσουν καί νά περάσουν τά 100 A.

Η δίοδος πυρίτου (Silicon) χρησιμοποιείται περισσότερο, γιατί έχει μικρότερες διαστάσεις καί γιατί μπορεῖ νά παρέχει ρεύματα άπό μερικά mA μέχρι πολλές δεκάδες άμπερ καί μέ τάσεις πάνω άπό 1000 βόλτ. Έννοείται οτι μέ παράλληλη ή σέ σειρά σύνδεση διόδων άπό πυρίτιο μπορούμε νά έπιπτύχομε παροχή πολύ iσχυροτέρων ρευμάτων καί άντοχή σέ μεγαλύτερες τάσεις. Γιά καλύτερη ξενπρέτηση δίοδοι κατασκευάζονται άνα τέσσερεις σέ κύκλωμα γέφυρας, δημοσιεύονται στο σχήμα 13.1β.



Σχ. 13.1β.



Σχ. 13.2.

13.2 Έργασία.

1) Νά πραγματοποιηθεῖ τό κύκλωμα τού σχήματος 13.2 μέ δίοδο γερμανίου.

Προσοχή: Ο ρυθμιστής της τάσεως έξόδου τού τροφοδοτικού X.T. νά τοποθετηθεῖ στό μηδέν, άπό όπου θά άρχισουν καί οι μετρήσεις.

2) Νά αύξηθεί ή τάση τοῦ τροφοδοτικοῦ σιγά - σιγά, ώστε ὅτου τὸ μιλλιαμπερό-μετρο στὸ κύκλωμα δεῖξει ρεῦμα 1 mA καὶ νά σημειωθεῖ ή τάση πού δείχνει τὸ βολτόμετρο.

3) Νά συνεχισθεῖ ή αὔξηση τῆς τάσεως τοῦ τροφοδοτικοῦ γιά τιμές ρεύματος πού δρίζει διάγραμμα 13.2.1 καὶ νά σημειωθοῦν οἱ ἀντίστοιχες τάσεις. Οἱ ἐνδείξεις τοῦ βολτομέτρου ἀρχίζουν ἀπὸ μερικά δέκατα τοῦ βόλτη (περίπου 0,3 V) καὶ φθάνουν ὡς 1,5 V περίπου.

ΠΙΝΑΚΑΣ 13.2.1.

I (mA)	V (βόλτη)
1	0,3
2	0,6
3	0,9
4	1,2
5	1,5
7	2,1
10	3,0
15	4,5
20	6,0
25	7,5

ΑΚΙΔΗΣΤΗΡΙΑΚΑΧΑΡΑΚΗ — ΦΩΤΙΖΙΝΑΠΤ

Λεικά.
Γ.Α.Γ

—αιρήτη μεγάθτο δόπελ ον. Ἀθητόποτο δόπελ ον. Λεικά.
ιατέρρημα δόπελ ον. Λεικά. Λεικά.
ιατέρρημα δόπελ ον. Λεικά.
ιατέρρημα δόπελ ον. Λεικά.
ιατέρρημα δόπελ ον. Λεικά.

(4) Αἱ θόρυβοι τῆς μετρήσεις προηγούμενης ἐρώτήσεως οὐδὲν παρατητοῦνται στοικίωσης καρμάλη δόρθησι φοράς τῆς κρυσταλλοδιόδου. Μεγάθτο δόπελ ον. Λεικά.
—εἰς Στόματον κύκλωμα τῆς ἐρωτήσεως Ι γάταλληθαῦν· θίσπολοιτῆς πηγῆς. Λεικά.
πάκη **Προσοχή:** Καί τέλος τοῦ δόπελ ον. Λεικά.
δοτικοῦν νά τοιθθετηθεῖ απὸ μηδενική θέσην. Νά ληφθοῦν πάλι μετρήσεις καίνα συμπληρωθεῖ διάγραμμα 13.2.2.

ΠΙΝΑΚΑΣ 13.2.2.

C		B		E		V (βόλτη)		I (μΑ)		C		B		E	
	N		q								N		q		
	+														

6) Από τίς μετρήσεις νά χαραχθεῖ ή χαρακτηριστική τῆς κρυσταλλοδιόδου κατά τήν ἀνάστροφη φορά, στό διόδιο διαμέραμμα.

7) Τά ἵδια κυκλώματα καὶ οἱ ἵδιες μετρήσεις νά γίνουν μέ ανορθωτή πυριτίου. Σέ ετέρου, τό ρεῦμα κατά τήν ὀρθή φορά μπορεῖ νά φθάσει ως τά 30 ή 50 mA. Η τάση στά ἄκρα του θά είναι πάλι μικρή, ἀπό 0,6 V ως 1.5 V περίπου. Κατά τήν ἀνάστροφη φορά, η τάση μπορεῖ νά φθάσει τά 50 V, ἐνώ τό ἀνάστροφο ρεῦμα μόλις θά φθάσει τά 1.5 V περίπου.

Ν.Β.Ν. 2017

Π.Ν. 2017

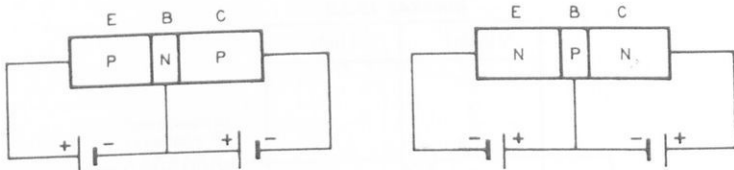
ΑΣΚΗΣΗ 14

ΤΡΑΝΖΙΣΤΟΡ – ΒΑΣΙΚΑ ΧΑΡΑΚΤΗΡΙΣΤΙΚΑ

14.1 Γενικά.

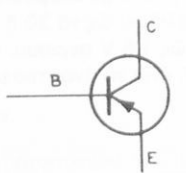
"Αν άναμεσα σέ δύο ήμιαγωγούς τύπου P τοποθετηθεί ένα λεπτό στρώμα ήμιαγωγού τύπου N θά δημιουργηθεί τό διλεκτρονικό έκεινο έξαρτημα που ονομάζεται Τρανζίστορ. Τό ίδιο έξαρτημα θά προκύψει και όταν άναμεσα σέ δύο ήμιαγωγούς τύπου N τοποθετηθεί λεπτό στρώμα ήμιαγωγού τύπου P. Στήν πρώτη περίπτωση έχουμε τρανζίστορ PNP, ένω στή δεύτερη έχουμε τρανζίστορ NPN (σχ. 14.1a).

Τό μεσαίο λεπτό στρώμα λέγεται **βάση** (B - Base), δημιαγωγός άριστερά **έκπομπός** (E - Emitter) και δεξιά **συλλέκτης** (C - Collector). Μιά βασική διαφορά μεταξύ των τρανζίστορ PNP και NPN είναι ότι στόν τύπο PNP έφαρμόζεται άρνητική τάση στό συλλέκτη σέ σχέση με τόν έκπομπό, ένω στόν τύπο NPN έφαρμόζεται θετική (σχ. 14.1a).

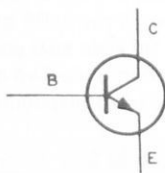


Σχ. 14.1a.

Ο συμβολισμός των δύο τύπων τρανζίστορ είναι:

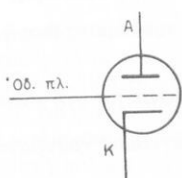


Τύπος PNP

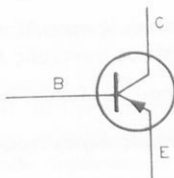


Τύπος NPN

· Η άντιστοιχία λυχνιών και τρανζίστορ είναι:
 Κάθοδος — 'Εκπομπός
 'Οδηγό πλέγμα — Βάση
 "Ανοδος — Συιλλέκτης
 öπως φαίνεται στά σχήματα 14.1β και 14.1γ.



Σχ. 14.1β.



Σχ. 14.1γ.

Οι διαφορετικοί συμβολισμοί γιά τά τρανζίστορ PNP και NPN δείχνουν τή διαφορετική φορά τού ρεύματος. "Έτσι στόν τύπο PNP τό ρεῦμα κινεῖται από τό συλλέκτη πρός τόν έκπομπό, ένω στόν τύπο NPN τό ρεῦμα κινεῖται από τόν έκπομπό πρός τό συλλέκτη. Δηλαδή, ή διεύθυνση τού συνεχούς ρεύματος στά τρανζίστορ είναι πάντοτε άντιθετή από τή φορά τού βέλους τού έκπομπού.

Τά δύο πρώτα γράμματα και στούς δύο τύπους (PNP και NPN) δείχνουν τή σχετική πολικότητα τής τάσεως πού έφαρμόζεται στόν έκπομπό και τό συλλέκτη γιά κανονική λειτουργία. "Έτσι σέ ένα τρανζίστορ NPN ή έκπομπός έχει άρνητικό δυναμικό σέ σχέση μέ τό συλλέκτη και τή βάση (ή δ συλλέκτης έχει θετικό δυναμικό σέ σχέση μέ τά δύο άλλα στοιχεία, τόν έκπομπό και τή βάση). Στά τρανζίστορ τύπου PNP ή έκπομπός έχει θετικό δυναμικό σέ σχέση μέ τό συλλέκτη και τή βάση (ή δ συλλέκτης έχει άρνητικό δυναμικό σέ σχέση μέ τόν έκπομπό και τή βάση).

Τά χαρακτηριστικά τών διαφόρων τρανζίστορ είναι κωδικοποιημένα μέ γράμματα και άριθμούς πού δηλώνουν τή δουλειά γιά τήν δύοπια είναι κατασκευασμένο ένα τρανζίστορ. "Έτσι έχομε τόν άκολουθο πίνακα:

a) Τό πρώτο γράμμα άναφέρεται στά ύλικά κατασκευῆς, δηλαδή:

- A — τρανζίστορ γερμανίου
- B — τρανζίστορ πυριτίου
- C — τρανζίστορ από άρσενικούχο γάλλιο
- D — τρανζίστορ από άντιμονιούχο τίνδιο

β) Τό δεύτερο γράμμα άναφέρεται στό είδος (τί δουλειά κάνει) τού τρανζίστορ ή τής κρυσταλλοδιόδου, δηλαδή:

- A — δίοδος
- B — Varicap
- C — τρανζίστορ ισχύος άκουστικῆς συχνότητας
- E — δίοδος Tunnel (σήραγγος)
- F — τρανζίστορ γιά ύψηλές συχνότητες

- H – δίοδος μαγνητικής εύαισθησίας
 L – τρανζίστορ ισχύος ύψηλών συχνοτήτων
 S – τρανζίστορ διακόπτης
 U – τρανζίστορ διακόπτης σέ κυκλώματα ισχύος
 Y – δίοδος άνωρθώσεως
 Z – δίοδος Zenner

γ) Τό τρίτο γράμμα (αν ύπάρχει δηλώνει κατασκευή καλύτερης ποιότητας.

Τέτοιες κατασκευές προορίζονται κυρίως για κυκλώματα βιομηχανικής ή έπαγγελματικής χρήσεως συνεχούς λειτουργίας.

δ) Ό αριθμός πού άκολουθει τά γράμματα άναφέρεται στή σειρά παραγωγής.

14.1.1 Συμβολισμός παραμέτρων (διαφόρων μεγεθών) τρανζίστορ.

Πραγματικό μέγεθος	Σύμβολο
φίδι από φύση	Ρεύμα συλλέκτη
λύση από φύση	Ρεύμα έκπομπού
διπλωματίας	Ρεύμα βάσεως
φοτογράφηση από φύση	Τάση συλλέκτη
τάση από φύση	Τάση έκπομπού
τάση βάσεως	Τάση βάσεως
την μπελάρια	Ρεύμα από συλλέκτη πρός βάσην
της διατήρησης	Τάση μεταξύ συλλέκτη βάσεως αιγάλεων

Τά τρανζίστορ είναι έξαρτήματα πού έχουν ιδιαίτερη εύπαθεια όταν τά χρησιμοποιούμε στήν κατασκευή κυκλωμάτων. Μερικά σημεία πού πρέπει νά προσέχομε όταν δουλεύομε μέ τρανζίστορ είναι:

α) Κόβονται εύκολα οι άκροδέκτες τους. Αύτό συμβαίνει στά τρανζίστορ μικρής ισχύος, πού οι άκροδέκτες τους είναι μικροί και εύκαμπτοι.

β) Έχουν μεγάλη εύαισθησία στίς ύψηλές θερμοκρασίες. Γ' αύτό χρησιμοποιούμε πάντοτε κολλητήρι μικρής ισχύος (15 - 25 βάττη) και προσέχομε τά τρανζίστορ νά μήν ύπερθερμανθει. "Ένας πρακτικός τρόπος γιά νά τό προστατέψωμε όταν κάνομε κολλήσεις είναι νά κρατάμε τόν άκροδέκτη τού τρανζίστορ στό σημείο κολλήσεως μέ ένα μυτοσίμιδο, τό όποιο έτσι άπορροφά τό μεγαλύτερο μέρος τής θερμότητας πού άναπτύσσεται μέ τό κολλητήρι. Έπισής, θσο είναι δυνατό, δέν κόβομε τούς άκροδέκτες του, άλλα χρησιμοποιούμε δύο τό μηκος τους πού βοηθά στήν έλάττωση τής θερμότητας πού άναπτύσσεται.

γ) Έφαρμογή μεγαλύτερης και μέ άντιθετη πολικότητα τάσεως από συλλέκτη όδηγει σέ καταστροφή τού τρανζίστορ.

δ) "Όταν μετράμε άντιστάσεις στά τρανζίστορ, χρησιμοποιούμε τή μεγαλύτερη κλίμακα τών ώμ πού παρέχει λιγότερο ρεύμα, και έτσι μειώνεται ο κίνδυνος καταστροφής τους άπό τό μεγάλο ρεύμα πού παρέχει ή στήλη τού ώμομέτρου στίς μικρές κλίμακες.

ε) Κατά τή μέτρηση τάσεων πρέπει νά προσέχουμε, γιατί εύκολα γίνονται βραχυκυκλώματα, γιατί οι άκροδέκτες των τρανζίστορ είναι πολύ κοντά μεταξύ τους.

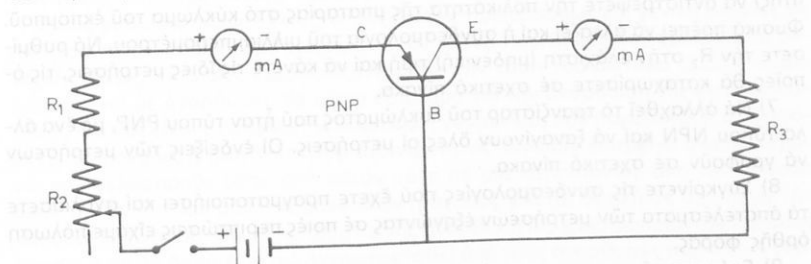
στ) Έκει πού χρειάζεται έπισης προσοχή είναι στήν έφαρμογή μιᾶς τάσεως διεγέρσεως μέ γεννήτρια σημάτων. Πρέπει πάντοτε νά ξεκινάμε μέ πολύ μικρές τάσεις άπο τήν ξόδο τής γεννήτριας. Αύτό θά τό δοῦμε άργοτερα στούς ένισχυτές.

14.2 Έργασία.

1) Δίνονται 5 τρανζίστορ. Νά άναγνωρισθούν τά βασικά χαρακτηριστικά τους καί νά σχεδιασθούν οι βάσεις τους.

2) Νά πραγματοποιηθεί τό κύκλωμα τοῦ σχήματος 14.2a.

Προσοχή: Πρίν έφαρμοσθεῖ τάση νά ρυθμίσετε: α) Τήν άντισταση R_2 στή μέγιστη τιμή. β) Τά μιλλιαμπερόμετρα στή μεγαλύτερη περιοχή ρεύματος. γ) Βεβαιωθείτε γιά τή σωστή πολικότητα τής πηγής καί τών όργανων.



Σχ. 14.2a.

3) Άφοι 5 λά τά ζητούμενα τής προηγούμενης έρωτήσεως γίνουν σωστά καί έγκριθούν άπο τών καθηγητή σας, νά έφαρμόσετε τάση στό κύκλωμα καί νά μετρήσετε: α) Τό ρεύμα στά κυκλώματα έκπομπού καί συλλέκτη. β) Τήν τάση έκπομπού - βάσεως καί συλλέκτη - βάσεως.

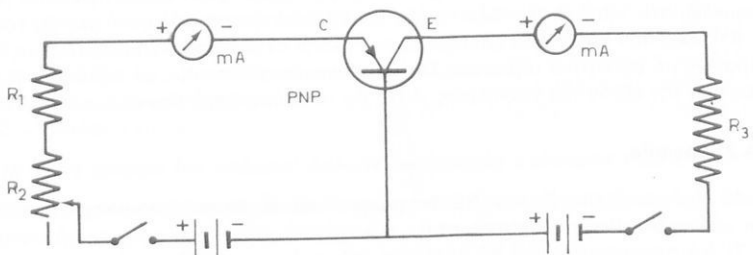
4) Τά άποτελέσματα τών μετρήσεων νά γραφοῦν στόν Πίνακα 14.2.1.

ΠΙΝΑΚΑΣ 14.2.1.

Τύπος τρανζίστορ	Χαρακτηριστικά			
'Εκπομπός - Βάση		Συλλέκτης - Βάση		
Ρεύμα (mA)	Τάση (βόλτ)	Ρεύμα (mA)	Τάση (βόλτ)	

5) Νά πραγματοποιηθεί τό κύκλωμα τοῦ σχήματος 14.2β. Μέ τήν ίδια προσοχή οπως καί στό προηγούμενο κύκλωμα νά γίνουν οι ίδιες μετρήσεις καί νά γραφοῦν τά άποτελέσματα σέ σχετικό πίνακα.

6) Στό κύκλωμα τής έρωτήσεως 5, άφοι διακόψετε τό ρεύμα (άνοικτός διακό-



Σχ. 14 .2β.

πτης) νά άντιστρέψετε τήν πολικότητα τῆς μπαταρίας στό κύκλωμα τοῦ έκπομποῦ. Φυσικά πρέπει νά άλλάξει καί ή συνδεσμολογία τοῦ μιλλιαμπερομέτρου. Νά ρυθμίσετε τήν R_2 στήν έλάχιστη (μηδενική) τιμή καί νά κάνετε τίς ίδιες μετρήσεις, τίς όποιες θά καταχωρίσετε σέ σχετικό πίνακα.

7) Νά άλλαχθεῖ τό τρανζίστορ τοῦ κυκλώματος πού ήταν τύπου PNP, μέ ένα αλλό τύπου NPN καί νά ξαναγίνουν όλες οι μετρήσεις. Οι ένδειξεις τῶν μετρήσεων νά γραφοῦν σέ σχετικό πίνακα.

8) Συγκρίνετε τίς συνδεσμολογίες πού έχετε πραγματοποιήσει καί σχολιάσετε τά άποτελέσματα τῶν μετρήσεων έξηγώντας σέ ποιές περιπτώσεις εἴχαμε πόλωση όρθης φορᾶς.

9) Γράψετε τά χαρακτηριστικά τῶν δύο τρανζίστορ πού έχετε χρησιμοποιήσει στό κύκλωμα γιά τίς μετρήσεις. Σχεδιάσετε τίς βάσεις τους.

ΑΣΚΗΣΗ 15

ΑΠΛΗ ΚΑΙ ΔΙΠΛΗ ΑΝΟΡΘΩΣΗ

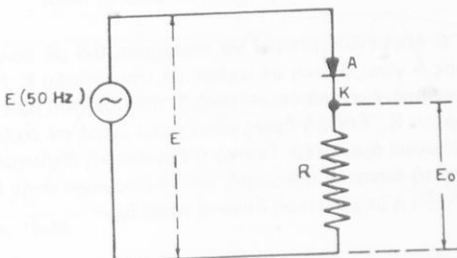
15.1 Γενικά.

Στήν ασκηση αύτή θά μελετηθοῦν τά βασικά κυκλώματα άνορθώσεως τῆς ἐναλλασσόμενης (ήμιτονικής) τάσεως.

Στούς ραδιοφωνικούς δέκτες, στούς δέκτες τηλεοράσεως και γενικά σέ δλες τίς ήλεκτρονικές συσκευές πού χρησιμοποιοῦν τρανζίστορ (ή λυχνίες) χρειάζονται **συνεχεῖς τάσεις**, οι οποίες έχασφαλίζονται άπο τήν τάση τοῦ δικτύου (220 V έναλλασσόμενο) μέ άνόρθωση. Τό κύριο έξαρτημα γιά τήν άνόρθωση τῆς έναλλασσόμενης τάσεως είναι δύναμη η οποία παρουσιάζει τό φαινόμενο τῆς μοναδικής (μονόπλευρης) άγωγιμότητας: δηλαδή, έπιπρέπει στά ήλεκτρόνια νά κυκλοφοροῦν μέσα από αύτόν μόνο σέ μια κατεύθυνση, άπο τήν κάθοδο πρός τήν ανοδό, και μάλιστα μόνο όταν ή ανοδος γίνεται θετική σέ σχέση μέ τήν κάθοδο. Παλιότερα, γιά τή λειτουργία τῆς άνορθώσεως χρησιμοποιούνταν ή δίοδος λυχνία, ή οποία δύμας έχει πιά άντικατασταθεῖ άπο τούς άνορθωτές πυριτίου ή γερλυχνία, πού έχουν σοβαρά πλεονεκτήματα σέ σχέση μέ αύτή (δέν χρειάζονται θέρμανση, έχουν πολύ μικρό δύγκο και βάρος, παρέχουν ίσχυρότατα ρεύματα, άντεχουν σέ άρκετά ύψηλές τάσεις, έχουν μεγάλη διάρκεια ζωής, μικρό κόστος κλπ.).

15.2 Κύκλωμα άπλης άνορθώσεως μέ άντισταση.

Στό κύκλωμα άπλης άνορθώσεως τοῦ σχήματος 15.2α, έστω δτι μιά έναλλασσόμενη (ήμιτονική) τάση E , μέ συχνότητα 50 Hz, έχει έφαρμοσθεῖ στήν είσοδό



Σχ. 15.2α.

του. Αύτή ή τάση (τάση είσοδου) άλλάζει πολικότητα κάθε 1/100 τοῦ δευτερολέπτου. Κατά τή διάρκεια τῶν θετικῶν της ἐναλλαγῶν ή ἀνοδος Α γίνεται θετική σέ σχέση μὲ τὴν κάθιδο Κ καὶ διέρχεται ρεῦμα μέσα ἀπὸ τὸν ἀνορθωτὴ Δ. Στή διάρκεια τῶν ἀρνητικῶν ἐναλλαγῶν δέν κυκλοφορεῖ ρεῦμα, ἐπειδή η ἀνοδος γίνεται ἀρνητική σέ σχέση μὲ τὴν κάθιδο.

Τὸ ρεῦμα πού διέρχεται στὶς θετικές ἐναλλαγές προκαλεῖ μιὰ πτώση τάσεως E_0 στὴν ἀντίσταση R, πού εἶναι ἀντίσταση φόρτου συνδεμένη σὲ σειρὰ μὲ τὸν ἀνορθωτὴ Δ.
ΤΑΧΗΤΑ πού διέρχεται στὶς αρνητικές ἐναλλαγές προκαλεῖ μιὰ πτώση τάσεως Ε $'$ στὴν ἀντίσταση R, πού εἶναι ἀντίσταση φόρτου συνδεμένη σὲ σειρὰ μὲ τὸν ἀνορθωτὴ Δ.
 Μεταβολὴ τῆς τάσεως εἰσόδου Ε $'$ διαφέρει απὸ τὴν τάση εἰσόδου Ε.

Ζετάεται νῦν τὸ ρεῦμα πού διέρχεται στὴν θετική περίοδο τῆς τάσεως E. Μέσω της λύσης της μηδεδόνης θέματος διαπιστώνεται ότι τὸ ρεῦμα πού διέρχεται στὴν θετική περίοδο τῆς τάσεως E, είναι πολύ μικρό, επειδὴ δηλαδὴ διαπιστώνεται ότι τὸ ρεῦμα πού διέρχεται στὴν αρνητική περίοδο τῆς τάσεως E $'$ είναι πολύ μεγάλο. Η λύση της μηδεδόνης θέματος διαπιστώνεται ότι τὸ ρεῦμα πού διέρχεται στὴν θετική περίοδο τῆς τάσεως E, είναι πολύ μικρό, επειδὴ δηλαδὴ διαπιστώνεται ότι τὸ ρεῦμα πού διέρχεται στὴν αρνητική περίοδο τῆς τάσεως E $'$ είναι πολύ μεγάλο.

Πάλιον διαπιστώνεται ότι τὸ ρεῦμα πού διέρχεται στὴν θετική περίοδο τῆς τάσεως E, είναι πολύ μικρό, επειδὴ δηλαδὴ διαπιστώνεται ότι τὸ ρεῦμα πού διέρχεται στὴν αρνητική περίοδο τῆς τάσεως E $'$ είναι πολύ μεγάλο.

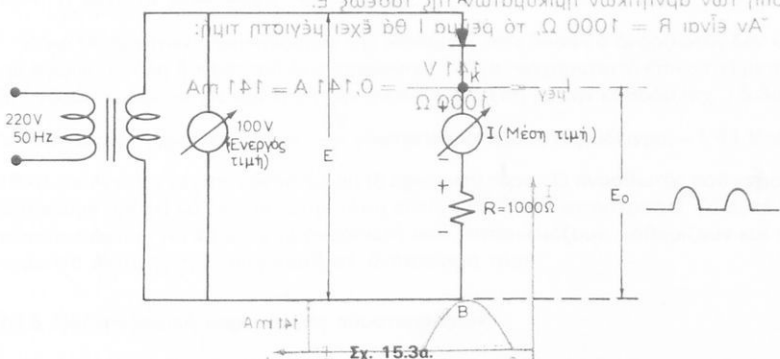
Οὐδὲ πάλι διαπιστώνεται ότι τὸ ρεῦμα πού διέρχεται στὴν θετική περίοδο τῆς τάσεως E, είναι πολύ μικρό, επειδὴ δηλαδὴ διαπιστώνεται ότι τὸ ρεῦμα πού διέρχεται στὴν αρνητική περίοδο τῆς τάσεως E $'$ είναι πολύ μεγάλο.

15.3 Πρακτικό κύκλωμα καὶ ύπολογισμοί.

Στὸ πρακτικό κύκλωμα ἀπλῆς ἀνορθωσεῶς τοῦ σχήματος 15.3α ἔχει συνδεθεῖ

-οπόιο ζώνη πόσιμη είναι μεγαλύτερη από την ημιόφδα, Β. Τα ίδια γενικά προτυπώνται στην ημιόφδα.

Ε. Σχεδιάστηκε η πίνακας ανάλογα με την πίνακα 15.3a. Η πίνακας αναπαριστά την σύσταση του αναλογικού ρευματομέτρου.



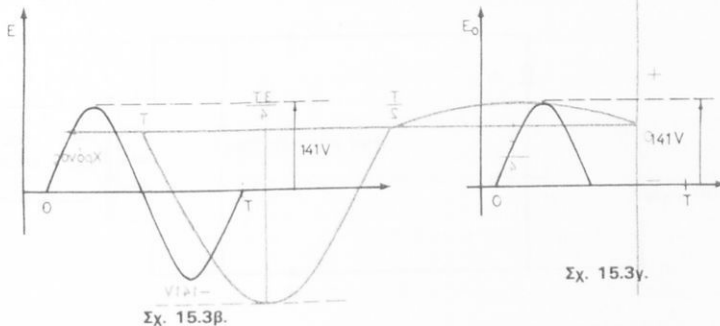
Στό κύκλωμα του σχήματος τό βολτόμετρό είναι δργανό έναλλασσόμενο και δείχνει τήν ένεργο τιμή τής τάσεως τού δευτερεύοντος. Τό άμπερόμετρό είναι δργανό συνεχούς (κινητού πλαισίου) δείχνει τή μέση τιμή τού ήμιανορθώμενου ρεύματος.

μετασχηματιστής Μ, πού ύποβιβάζει τήν τάση τού δικτύου από 220 σέ 100 V (ένεργος τιμή), δημιουργείτο βολτόμετρο πού έχει συνδεθεί στό δευτερεύοντο. Σέ σειρά πρός τήν άντισταση R έχει συνδεθεί άμπερόμετρο I με συνεχές ρεύμα (δργανό μέ μόνιμο μαγνήτη). Όταν τό κύκλωμα τροφοδοτηθεί μέ 220 V, από τό δργανό αύτο θά διέρχονται οι παλμοί τού ήμιανορθώμενου ρεύματος και ή βελόνα του θά άποκλινει. Η τιμή πού θά δείχνει τότε τό άμπερόμετρο συνεχούς είναι ή μέση τιμή τού ήμιανορθώμενου ρεύματος.

Μέ αύτά τά δεδομένα μπορούμε νά κάνουμε τούς ήμιανορθώμενους υπολογισμούς:

Η μέγιστη τιμή τής έναλλασσόμενης τάσεως τού δευτερεύοντος Ε θά είναι (σχ. 15.3β):

$$E_{\text{μεγ}} = 100 \times 1,41 = 141 \text{ V}$$

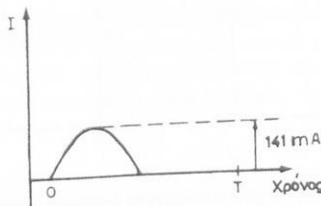


Δεχόμασθε τώρα δτού τόσο δανορθώμετής Δ, δτού είναι άγωγιμος, δτού και τό άμπερόμετρο έχουν τόσο μίκρη έσωτερη άντισταση, ώστε νά μπορεί νά θεωρηθεί άμελητέα. Άρα ή πτώση τάσεως στά άκρα τής R θά έχει τη μορφή τού σχήματος

15.3γ καί ή μέγιστη τιμή της θά είναι έπισης 141 V, άφού θά έχει γίνει άπλως άποκοπή τῶν άρνητικῶν ήμικυμάτων τῆς τάσεως E.

"Αν είναι $R = 1000 \Omega$, τό ρεύμα I θά έχει μέγιστη τιμή:

$$I_{\mu\text{εγ}} = \frac{141 \text{ V}}{1000 \Omega} = 0,141 \text{ A} = 141 \text{ mA}$$

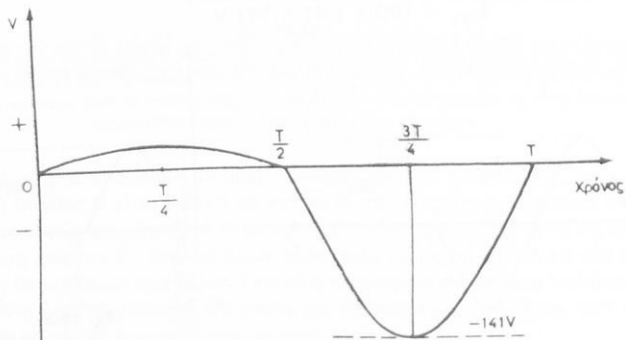


Σχ. 15.3δ.

"Αρα ή μέση τιμή τοῦ ρεύματος αύτοῦ θά είναι (σχ. 15.3δ):

$$I_{\mu\text{έση}} = \frac{I_{\mu\text{εγ}}}{\pi} = \frac{141}{3,14} = 44,9 \text{ mA}$$

Αύτή τήν τιμή πρέπει νά δείξει τό άμπερόμετρο μέ συνεχές. Στήν πράξη δημιουργήθηκε ένα άμπερόμετρο που δείχνει την μέση τιμή της τάσεως. Η μέση τιμή της τάσεως είναι 44,9 mA.



Σχ. 15.4.

Μορφή τῆς τάσεως πού έπικρατεῖ στά άκρα τοῦ άνορθωτῆ (σημεία A, K - σχ. 15.3α). Κατά τό χρονικό διάστημα 0 ώς $T/2$ δ άνορθωτῆς είναι άγωγιμος, ένων άπο $T/2$ ώς T δέν είναι.

15.4 Ή μέγιστη άνάστροφη τάση.

Κατά τίς άρνητικές ήμιπερίοδους της τάσεως E , στίς όποιες ο άνορθωτής δέν είναι άγώγιμος, δηλαδή η τάση τού δευτερεύοντος τοῦ μετασχηματιστή έπικρατεῖ μεταξύ άνόδου-καθόδου, μέ άρνητική τήν άνοδο σέ σχέση μέ τήν κάθοδο (σχ. 15.3a).

Η τάση αύτή τή χρονική στιγμή $\frac{3T}{4}$ γίνεται μέγιστη (στό παράδειγμα, -141 V , σχ.

15.4) καί λέγεται μέγιστη άνάστροφη (ή άρνητική) τάση. Ο άνορθωτής πού χρησιμοποιούμε πρέπει νά άντεχει στήν τάση αύτή, άλλιως θά καταστραφεῖ. Γι' αύτό οι κατασκευαστές, γιά κάθε τύπο άνορθωτή πού κατασκευάζουν, καθορίζουν καί τό ποσοστό άντοχής τοῦ άνορθωτή σέ άνάστροφη τάση.

15.5 Παλμογραφική παρατήρηση κυματομορφῶν.

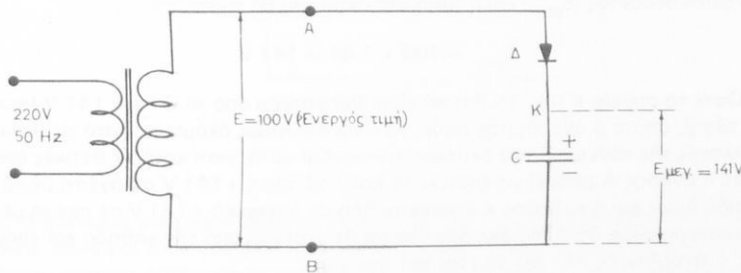
"Αν τά ίκρα A,B τοῦ κυκλώματος τοῦ σχήματος 15.3a τά δηγήσομε στά πλακίδια κατακόρυφης άποκλίσεως καθοδικοῦ παλμογράφου, θά έμφανισθεῖ στήν θόδην του ή κυματομορφή τοῦ σχήματος 15.3β.

"Αν δηγήσομε τά ίκρα K,B, θά έμφανισθεῖ ή κυματομορφή τοῦ σχήματος 15.3γ.

"Αν δηγήσομε τά ίκρα A,K, θά έμφανισθεῖ ή κυματομορφή τοῦ σχήματος 15.4. Παρατηρούμε ότι κατά τό χρονικό διάστημα άπό O ώς T/2, κατά τό όποιο ο άνορθωτής είναι άγώγιμος, ύπαρχει μιά πολύ μικρή τάση μεταξύ άνόδου-καθόδου τοῦ άνορθωτή, όπως δείχνει ή έλαφρή καμπύλωση τῆς κυματομορφῆς.

15.6 Κύκλωμα άπλης άνορθώσεως μέ πυκνωτή.

Στό κύκλωμα τοῦ σχήματος 15.6a έχει συνδεθεῖ πυκνωτής C σέ σειρά μέ τόν άνορθωτή. Στό σχήμα 15.6b έχει σχεδιασθεῖ πάλι ή μορφή τῆς τάσεως πού έπικρατεῖ στό δευτερεύον τοῦ μετασχηματιστή τοῦ κυκλώματος, δηλαδή μεταξύ A καί B.

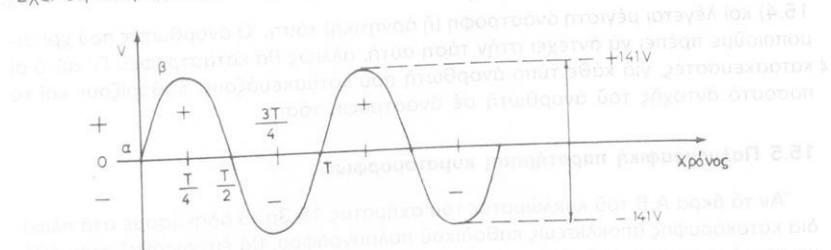


Σχ. 15.6a.

Στή θετική έναλλαγή τῆς τάσεως αύτῆς, δηταν δηλαδή τό A γίνεται θετικό σέ σχέση μέ τό B, ο άνορθωτής είναι άγώγιμος καί τό ρεύμα του (θετικός παλμός

ρεύματος) φορτίζει τόν πυκνωτή C μέ τήν πολικότητα πού φαίνεται στό σχήμα 15.6a.

Ακριβέστερα ο πυκνωτής φορτίζεται στό χρονικό διάστημα από την 10χ.
15.6β). Στήν αλλη λημπερίδο (σημείο Α άρνητικό σε σχέση με τό Β) ο άνορθωτης
δέν είναι άγωγιμος και τό κύκλωμα διακόπτεται. Έπομένως, ο πυκνωτής συγκρατεῖ
στούς όπλισμάς του τό φορτίο πού πήρε, άφου δέν έχει τρόπο νά έκφορτισθεί.
Έχει διλαδή στούς όπλισμάς του συνεχή τάση, όπως ήταν τάση μιάς μπαταρίας.



Σχ. 15.6β.

15.6.1 Σέ ποιά τάση φορτίζεται ό πυκνωτής.

"Εστω πάλι ότι η τάση στό δευτερεύοντος του μετασχηματιστή είναι $E = 100 \text{ V}$ (ένεργος τιμή). Δεχόμασθε άκομη ότι ή άντισταση τοῦ δευτερεύοντος τυλίγματος καὶ ή έσωτερική άντισταση τοῦ άνορθωτῆ (ϊσταν αὐτός είναι άγνωμος) συναποτελοῦν μιά συνολική πολύ μικρή άντισταση R , πού μπορούμε νά τή Θεωρήσουμε άμελητέα. "Οταν τώρα τό ρεύμα μέσα από τόν άνορθωτή φορτίζει τόν πυκνωτή C [στό χρονικό διάστημα πού άντιστοιχεῖ από α ὥς β (σχ. 15.6β)], ή φόρτιση αυτή γίνεται πολύ γρήγορα, έπειδή ή σταθερά χρόνου $R.C$ (βλέπε ἀσκηση 6) είναι πολύ μικρή. Μπορούμε έπομένως νά δεχθούμε ότι ὁ πυκνωτής σέ αύτό τό χρονικό διάστημα (δηλαδή στό μισό τῆς θετικῆς έναλλαγῆς φορτίζεται στή μέγιστη τιμή τῆς τάσεως τοῦ δευτερεύοντος ($E_{μεγ}$) καὶ ή τάση στά ἄκρα του θά γίνει:

$$E_{\mu e \gamma} = 100 \times 1.41 = 141 \text{ V}$$

"Ωστε τό σημεῖο Κ (σχ. 15.6a) θά είναι θετικότερο ἀπό τό Β κατά 141 V (συνέχης τάση), ὅποτε ὁ ἀνορθωτής παύει νά είναι ἀγώγιμος ἀκόμη καὶ κατά τίς θετικές ἐναλλαγές τῆς τάσεως Ε τοῦ δευτερεύοντος. Καὶ αὐτό, γιατί κατά τίς θετικές ἐναλλαγές ή ἄνοδος Α μπορεῖ νά φθανει τό πολύ σέ τάση +141 V σέ σχέση μέ τό Β. Ἐπειδή δημιουργία καὶ ή κάθιδος Κ βρίσκεται ἡδη σέ δυναμικό +141 V σέ σχέση μέ τό Β, συμπεραίνουμε ότι η ἄνοδος δέν γίνεται θετικότερη ἀπό τήν κάθιδο καὶ ἐπομένως ὁ ἀνορθωτής δέν θά γίνεται πιά ἀγώγιμος.

15.6.2 Η μέγιστη άνάστροφη τάση.

30 Κατά τή χρονική στιγμή $\frac{3T}{4}$ (σχ. 15.6β), ή τάση του δευτερεύοντος είναι τέτοια, ώστε να απορρίψεται το λεπτό πλάι στον πρώτο.

ώστε τό σημεῖο Α γίνεται κατά 141 V άρνητικότερο από τό Β. Άλλα καί τό Β είναι ήδη άρνητικότερο κατά 141 V από τό Κ, άφοῦ ό Κ είναι φορτισμένος. Αύτές οι δύο τάσεις (τοῦ δευτερεύοντος καί τοῦ πυκνωτή) είναι σέ σειρά καί προστίθενται. Έπομένως τό Α θά είναι άρνητικότερο από τό Κ κατά $141 + 141 = 282$ V.

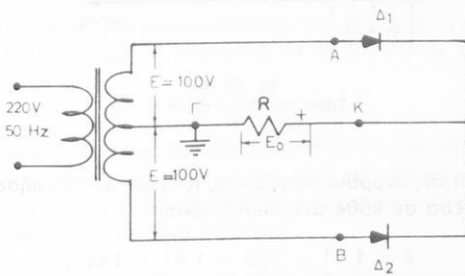
Δηλαδή, κατά τή χρονική στιγμή $\frac{3T}{4}$ ή ανοδος Α γίνεται άρνητικότερη από τήν κάθοδο Κ κατά 282 V ($= 2E_{μεγ}$). Τόση είναι ή μέγιστη άναστροφη τάση που έπικρατεί στά ακρα τοῦ άνορθωτή.

15.6.3 Άντίσταση παράλληλα στόν πυκνωτή.

"Αν παράλληλα πρός τόν πυκνωτή (σχ. 15.6a) συνδεθεῖ άντίσταση, ο πυκνωτής θά έκφορτιζεται μέσω αύτής καί ή τάση του θά κατέρχεται κάτω από τή μέγιστη τιμή. Έπομένως, σέ κάθε θετική έναλλαγή τής τάσεως τοῦ δευτερεύοντος ή ανοδος θά γίνεται, γιά μικρό χρονικό διάστημα, θετικότερη από τήν κάθοδο, δηλαδή ο άνορθωτής θά γίνεται άγωγιμος καί θά άναφορτίζει τόν πυκνωτή.

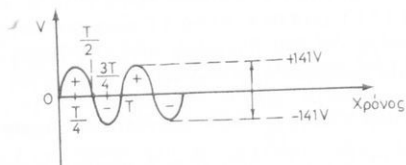
15.7 Τό κύκλωμα διπλής άνορθώσεως μέ άντίσταση.

Στό σχήμα 15.7a παριστάνεται κύκλωμα διπλής άνορθώσεως, στό δηλαδή ώς φορτίο έχει συνδεθεῖ άντίσταση. Τό δευτερεύον τύλιγμα τοῦ μετασχηματιστή (άπό Α ώς Β) έχει μεσαία λήψη Γ. Δηλαδή, ο άριθμός σπειρών από Α ώς Γ ισούται μέ τόν άριθμό σπειρών από Γ ώς Β καί έπομένως οι τάσεις στά δύο τμήματα τοῦ δευτερεύοντος είναι ίσες. Π.χ. τάση Α — Γ = 100 V (ένεργος τιμή) καί τάση Γ — Δ = 100 V. Έπομένως ή τάση από Α ώς Β = 200 V.

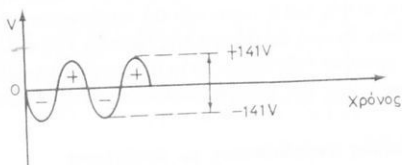


Σχ. 15.7a.

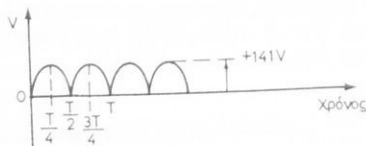
Στό κύκλωμα ύπαρχουν δύο άνορθωτές, Δ₁ καί Δ₂, οι δηλαδή είναι άγωγιμοι έναλλάξ, έπειδή οι τάσεις που έπικρατούν στίς δύο ανόδους, Α καί Β, βρίσκονται σέ διαφορά φάσεως 180° μεταξύ τους ώς πρός τό κοινό σημεῖο Γ (καμπύλες τῶν σχημάτων 15.7β καί 15.7γ) καί έπομένως, δταν ο ένας άνορθωτής είναι άγωγιμος, ο άλλος δέν είναι, καί άντιστρόφως. Στήν άντίσταση R, λοιπόν, θά έμφανίζονται καί τά δύο ήμικύματα άνορθωμένα, δηπας φαίνεται στό σχήμα 15.7δ (παλμοί τάσεως μέ συχνότητα 100 Hz).



Σχ. 15.7β.
Τάση μεταξύ Α,Γ.



Σχ. 15.7γ.
Τάση μεταξύ Β,Γ.



Σχ. 15.7δ.
Τάση στά δίκρα τής R (E_0).

Η μέγιστη τιμή τής άνορθωμένης αύτής τάσεως, ἀν θεωρήσουμε άμελητέα τήν πτώση τάσεως μέσα σέ κάθε άνορθωτή, είναι:

$$E \times 1,41 = 100 \times 1,41 = 141 \text{ V}$$

15.7.1 Η μέγιστη άνάστροφη τάση.

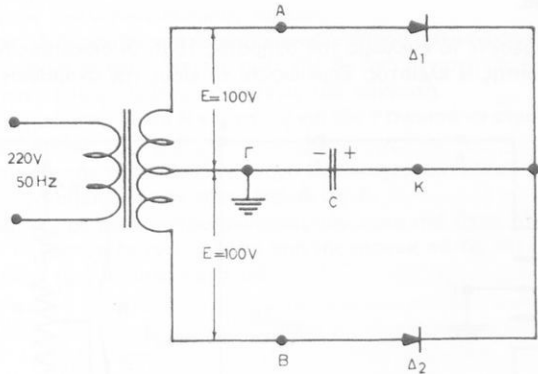
Στό σχῆμα 15.7δ παρατηροῦμε ότι κατά στή χρονική στιγμή $T/4$ ή τάση τοῦ σημείου K (δηλαδή τής καθόδου) σέ σχέση μέ τό Γ είναι $+141 \text{ V}$. Άλλα τήν ίδια χρονική στιγμή, ή τάση τοῦ σημείου B (δηλαδή τής μιας άνόδου) σέ σχέση μέ τό Γ είναι -141 V (σχ. 15.7γ). Έπομένως, ή μεταξύ B - K (άνόδου-καθόδου) τάση τοῦ άνορθωτή Δ_2 θά είναι $-141 - 141 = -282 \text{ V} = -2E_{μεγ}$.

Τό ίδιο συμβαίνει καί στή χρονική στιγμή $\frac{3T}{4}$ μέ τόν άνορθωτή Δ_1 . Συμπεραίνομε λοιπόν ότι στίς χρονικές στιγμές $T/4$ ή $\frac{3T}{4}$, στίς δόποις οι τάσεις στό δευτερο-

ρεύμον τοῦ μετασχηματιστῆ ἔχουν μέγιστες τιμές, ἡ μεταξύ ἀνόδου-καθόδου τάση τοῦ ἀνορθωτῆ πού δέν εἶναι ἀγώγιμος ισοῦται μέ $-2E_{\mu\gamma}$.

15.7.2 Διπλή ἀνόρθωση μέ πυκνωτῆ.

Στὸ σχῆμα 15.7e φαίνεται τὸ ὕδιο κύκλωμα διπλῆς ἀνορθώσεως, στὸ δποῖο ὅμως ἡ ἀντίσταση ἔχει ἀντικατασταθεῖ μέ πυκνωτῆ.



Σχ. 15.7e.

Ο πυκνωτής καὶ πάλι (δπως στὴν ἀπλή ἀνόρθωση), φορτίζεται στὴ μέγιστη τιμὴ τῆς τάσεως κάθε τμήματος τοῦ δευτερεύοντος. "Αν, π.χ., ἡ τάση κάθε τμήματος εἴ-
ναι $E = 100$ V (ἐνεργός τιμή), ὁ πυκνωτής θά φορτισθεῖ σὲ τάση:

$$E_{\mu\gamma} = 100 \times 1.41 = 141 \text{ V}$$

Δηλαδή, τὸ σημεῖο Κ θά εἶναι θετικότερο ἀπό τὸ Γ κατά 141 V. Καὶ ἐπειδή ὁ πυκνωτής δέν μπορεῖ νά ἐκφορτισθεῖ, ἡ τάση αὐτή θά παραμένει σταθερή στοὺς δόπλισμούς του (συνεχῆς τάση) καὶ δπως ἔξηγήσαμε στὴν ἀπλή ἀνόρθωση οἱ δύο ἀνορθωτές θά πάψουν πιά νά εἶναι ἀγώγιμοι.

15.7.3 Ἡ μέγιστη ἀνάστροφη τάση στὸ κύκλωμα τοῦ σχῆματος 15.7e (διπλή ἀ- νόρθωση μέ πυκνωτή).

"Οπως καὶ στὴν περίπτωση τῆς ἀπλῆς ἀνορθώσεως μέ πυκνωτή, ἡ μέγιστη ἀνά-
στροφη τάση πού ἐπικρατεῖ στὰ ἄκρα κάθε ἀνορθωτῆ στὴ διπλή ἀνόρθωση ισοῦ-
ται μέ:

$$-2E_{\mu\gamma} = -141 \times 2 = -282 \text{ V}$$

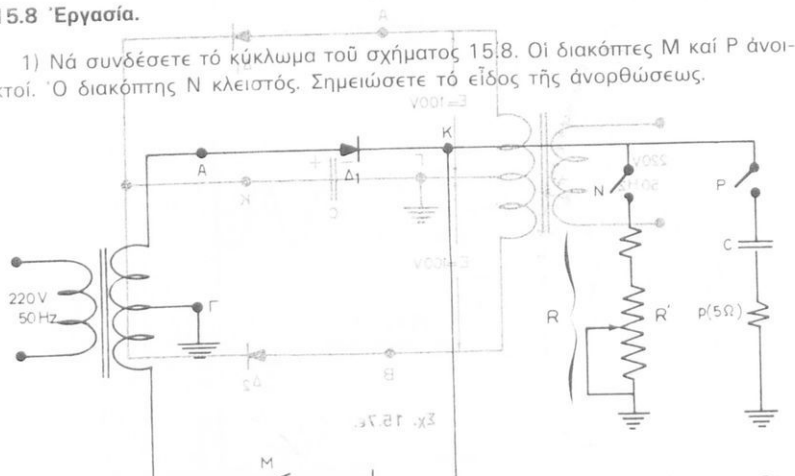
15.7.4 Ἀντίσταση παράλληλα πρός τὸν πυκνωτή.

"Αν παράλληλα πρός τὸν πυκνωτή C (σχ. 15.7e) συνδεθεῖ ἀντίσταση, ὁ πυκνω-

πρότυπο διάδημα με δύο θύρες ή τρία θύρες που αντικαθίστανται με δύο ή τρία πύλες σε περιπτώσεις που η πόλη είχε περιττό χώρο για την ανάπτυξή της. Το διάδημα ήταν ένα μεγάλο πάτωμα που καλύπτει την πόλη, με την πύλη να βρίσκεται στην καρδιά της πόλης.

15.8 Έργασία.

- 1) Να συνδέσετε τό κύκλωμα του σχήματος 15:8. Οι διακόπτες M και P άνοι-
κτοί. Ο διακόπτης N κλειστός. Σημειώσετε τό είδος της άνορθωσεως.



የሚገኘውን በመተዳደሪያ ነው ይህንን ስምምነት እንዲያለው ነው፡፡ የሚከተሉት ደንብ ነው፡፡

$$V14t = \Sigma x_i 15.80t = 15.8$$

2) Τροφοδοτήστε τό κύκλωμα. Με βολτόμετρο έναλλασσόμενου μετρήστε και σημειώστε την τάση μεταξύ Α-Γ (ένεργος τιμή). Νά υπολογίστε τη μέγιστη τιμή της τάσεως αύτης.

3) Μέβολτόμετρο συνεχούς μετρήσετε τήν ίαση στά άκρα τῆς R (ή R' στό μέτρο). Σημειώσετε πολικότητα. Τό βολτόμετρο συνεχούς δείχνει τή μέση τιμή τῆς ίασεως αμπτᾶς.

τασίδες από την παραγωγή της στην Ελλάδα. Η παραγωγή της στην Ελλάδα είναι σημαντική για την οικονομία της χώρας, καθώς παρέχει εργασία σε πολλούς άνθρωπους. Το μέλλον της είναι σημαντικό για την ανάπτυξη της χώρας.

προηγουμένως (περίπτωση 2). $\Sigma S = S \times \text{trap} = \frac{1}{2} S^2$

κατάλληλο σάρωμα. Νά σχεδιάστε την κυριατομόρφη ποτήρια της λαζαρίτης.

6) Μέ βολτόμετρο συνεχούς μετρήσετε τήν τάση στά ἄκρα τοῦ πυκνωτῆ C. Συγκρίνετε τήν τιμή αύτή τάσεως μέ αύτήν πού ᾔχετε ύπολογίσει στήν περίπτωση 2.

7) Μέ το διακόπτη M ἀνοικτό καί τούς N καί P κλειστούς, σημειώσετε τό εἶδος τῆς ἀνορθώσεως.

8) Ἀφοῦ τώρα ὁ C ἐκφορτίζεται διά μέσου τῆς R, τά φορτία του ἀναπληρώνονται μέ παλμούς ρεύματος. Οι παλμοί αὐτοί περνοῦν μέσα ἀπό τή μικρή ἀντίσταση ρ καί δημιουργοῦν ἀνάλογους παλμούς τάσεως.

‘Οδηγήσετε τά ἄκρα τῆς ρ στήν κατακόρυφη εἴσοδο παλμογράφου καί σχεδιάστε παλμογραφήματα γιά διάφορες τιμές τῆς R’, ἀπό μέγιστη ὡς ἐλάχιστη. ‘Ἐτοι ᾔχετε τήν εἰκόνα τοῦ ρεύματος φορτίσεως τοῦ πυκνωτῆ.

9) Μέ τούς διακόπτες M καί N κλειστούς καί τόν P ἀνοικτό νά σημειώσετε τό εἶδος τῆς ἀνορθώσεως.

10) Μετρήσετε τήν τάση σέ κάθε τμῆμα τοῦ δευτερεύοντος μέ βολτόμετρο ἐναλλασσόμενου καθώς καί τήν τάση ἀπό A ὡς B.

11) Μετρήσετε μέ βολτόμετρο συνεχούς τήν τάση στά ἄκρα τῆς R, μέ τήν R’ στό μέγιστο. Τό δργανο δείχνει τή μέση τιμή τῆς τάσεως αύτής. Νά ἐπαληθεύσετε ὅτι ἡ μέση αύτή τιμή ἰσοῦται τώρα μέ:

$$\text{Εμέση} = \frac{2E_{μεγ}}{\pi}$$

12) ‘Οδηγήσετε τά ἄκρα τῆς R στήν κατακόρυφη εἴσοδο παλμογράφου μέ σάρωμα καί σχεδιάστε τό παλμογραφήμα.

13) Μέ τούς διακόπτες M καί P κλειστούς καί τό N ἀνοικτό σημειώσετε τό εἶδος τῆς ἀνορθώσεως.

14) Μέ βολτόμετρο συνεχούς μετρήσετε τήν τάση στά ἄκρα τοῦ C. Νά ἐπαληθεύσετε ὅτι ἡ τιμή πού βρήκατε ἰσοῦται μέ τή μέγιστη τιμή τῆς τάσεως E.

15) Μέ τούς διακόπτες M,P καί N κλειστούς σημειώσετε τό εἶδος τῆς ἀνορθώσεως.

16) ‘Οδηγήσετε τά ἄκρα τῆς ρ στήν κατακόρυφη εἴσοδο παλμογράφου καί σχεδιάστε παλμογραφήματα γιά ποικίλες τιμές τῆς R’, ἀπό μέγιστη ὡς ἐλάχιστη.

Ψηφιοποιήθηκε από το Ινστιτούτο Εκπαιδευτικής Πολιτικής

ΑΣΚΗΣΗ 16

ΚΥΚΛΩΜΑ ΑΝΟΡΘΩΣΕΩΣ ΜΕ ΓΕΦΥΡΑ

16.1 Γενικά.

Στήν προηγούμενη άσκηση (15) έξετάσαμε τίς περιπτώσεις άπλης και διπλῆς άνορθώσεως. Στήν άσκηση αύτή έξετάζονται τά χαρακτηριστικά ενός κυκλώματος άνορθώσεως της έναλλασσόμενης τάσεως του δικτύου στό όποιο χρησιμοποιούνται τέσσερεις άνορθωτές σε συνδεσμολογία γνωστή μέ το όνομα «γέφυρα άνορθώσεως».

Τά κυκλώματα άνορθώσεως μέ γέφυρα συναντῶνται πλέον καί σέ άπλες συσκευές, γιατί παρουσιάζουν σοβαρά πλεονεκτήματα, όπως θά δοῦμε πιό κάτω. Στά κυκλώματα αύτά έχει γενικευθεῖ ή χρήση τῶν διόδων πυριτίου, γιατί έχουν πολύ μικρή έσωτερική άντισταση κατά τήν άγωγιμη φορά τοῦ ρεύματος. Οι τέσσερεις δίοδοι πυριτίου είναι κατασκευασμένες σέ ένα έξαρτημα μέ τέσσερεις άκροδέκτες.

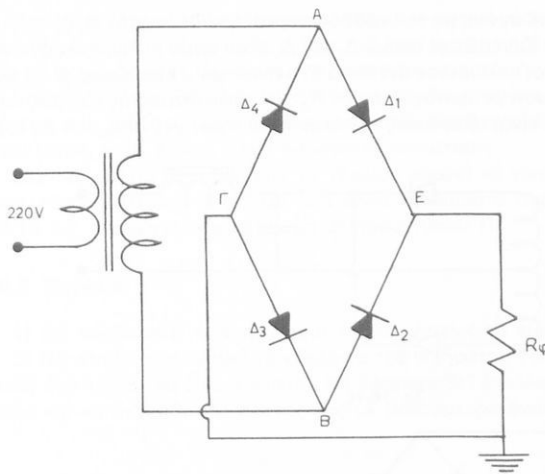
Στό σχήμα 16.1a, παριστάνεται τό κύκλωμα ένός άνορθωτή μέ γέφυρα πού τροφοδοτεῖται άπό τό δευτερεύον τύλιγμα ένός μετασχηματιστή. Τό δευτερεύον αύτό τροφοδοτεῖ τέσσερεις δίοδους πυριτίου Δ_1 , Δ_2 , Δ_3 καί Δ_4 .

Τό κύκλωμα λειτουργεῖ ως έξης: "Ας ύποθεσόμε τόι κατά τή διάρκεια τής θετικής έναλλαγῆς (έναλλαγή 1, σχ. 16.1β) τής ήμιτονικής τάσεως εισόδου V_{AB} , τό σημεῖο A είναι θετικό σέ σχέση μέ τό B. Τότε ή άνοδος τής διόδου Δ_1 , είναι θετική σέ σχέση μέ τήν κάθοδο της καί συνεπώς ή Δ_1 , γίνεται άγωγιμη. Ή κάθοδος τής Δ_3 , πού συνδέεται στό σημεῖο B, είναι άρνητική σέ σχέση μέ τήν άνοδο της, συνεπώς καί ή Δ_3 γίνεται άγωγιμη. Είναι όμως φανερό οι οι άλλες δίοδοι Δ_2 καί Δ_4 , είναι πολωμένες άντιθετα (οι άνοδοι άρνητικές ως πρός τής καθόδους) κατά τή διάρκεια τής θετικής έναλλαγῆς. Συνεπώς οι Δ_2 καί Δ_4 δέν είναι άγωγιμες.

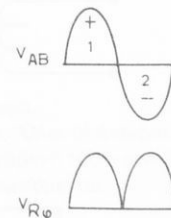
Στό σχήμα 16.1γ φαίνεται οι κατά τή διάρκεια τής θετικής αύτής έναλλαγῆς τό ρεύμα κυκλοφορεῖ μόνο άπό τίς διόδους Δ_1 καί Δ_3 , οι όποιες φαίνονται συνδεμένες σέ σειρά μέ τήν άντισταση φόρτου R_Φ . Δηλαδή, τό ρεύμα κυκλοφορεῖ άπό τήν R_Φ , άπό τήν Δ_1 , άπό τό τύλιγμα AB καί άπό τήν Δ_3 μέ τήν πολικότητα ή όποια φαίνεται στό σχήμα (ήλεκτρονική φορά ρεύματος).

Στό σχήμα 16.1δ φαίνεται η έναλλαγή τάσεως θετικής φορᾶς, πού έμφανίζεται στά άκρα τής R_Φ στή διάρκεια τής έναλλαγῆς 1. Στή διάρκεια τής άρνητικής έναλλαγῆς (έναλλαγή 2), οι δίοδοι Δ_1 καί Δ_3 είναι άντιθετα πολωμένες (λχι άγωγιμα) καί συνεπώς δέν είναι άγωγιμες. "Αν οι άλλες δίοδοι Δ_2 καί Δ_4 δέν ύπηρχαν, τό κύκλωμα θά ήταν άπλης άνορθώσεως.

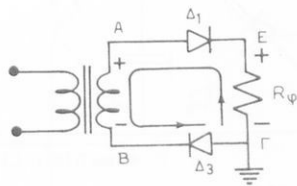
Στό σχήμα 16.1ε φαίνεται οι κατά τή διάρκεια τής άρνητικής έναλλαγῆς (έναλλαγή 2), οταν δηλαδή τό σημεῖο A είναι άρνητικό σέ σχέση μέ τό B, ή άνοδος τής



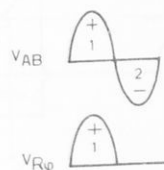
Σχ. 16.1α.



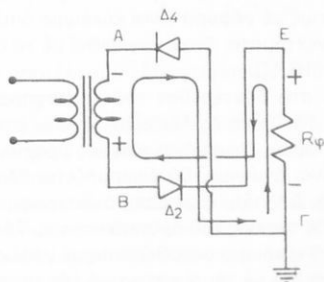
Σχ. 16.1β.



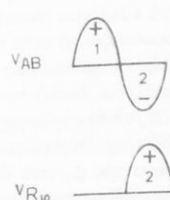
Σχ. 16.1γ.



Σχ. 16.1δ.

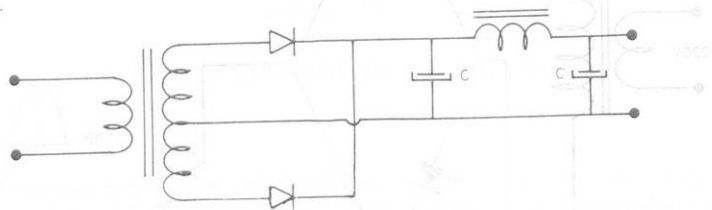


Σχ. 16.1ε.

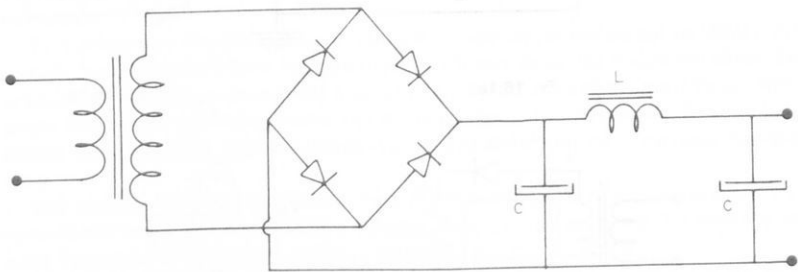


Σχ. 16.1ε.

διόδου Δ_2 είναι θετική σέ σχέση μέ τήν κάθοδό της καί ή κάθοδος τής Δ_4 άρνητική σέ σχέση μέ τήν ανοδό. Συνεπώς οι δίοδοι Δ_2 καί Δ_4 είναι τώρα πολωμένες άγώγιμα, ένω οι Δ_1 καί Δ_3 είναι πολωμένες άντιθετα (όχι άγώγιμα). Έπομένως, οι Δ_2 καί Δ_4 έπιτρέπουν τή διέλευση ρεύματος άπό τήν R_Φ . Η πολικότητα τής τάσεως πού άναπτύσσεται στήν R_Φ είναι ίδια, όπως καί όταν ήταν άγωγιμες οι Δ_1 καί Δ_3 (σχ. 16.1στ.).



Σχ. 16.1ζ.



Φίλτρο Π (C-L-C)

Σχ. 16.1η.

"Ωστε ή δίοδος Δ_1 σέ σειρά μέ τή Δ_3 άνορθώνει τή θετική έναλλαγή τής ήμιτονικής τάσεως είσόδου, ένω ή Δ_2 σέ σειρά μέ τή Δ_4 άνορθώνει τήν άρνητική έναλλαγή. Συνεπώς τό κύκλωμα άνορθώσεως μέ γέφυρα είναι κύκλωμα διπλής άνορθώσεως καί παρουσιάζει τά έξης πλεονεκτήματα, όταν συγκριθεῖ μέ τό συνηθισμένο κύκλωμα διπλής άνορθώσεως (σχ. 16.1ζ)."

α) Δέν χρειάζεται διπλό τύλιγμα στό δευτερεύον τοῦ μετασχηματιστῆ.

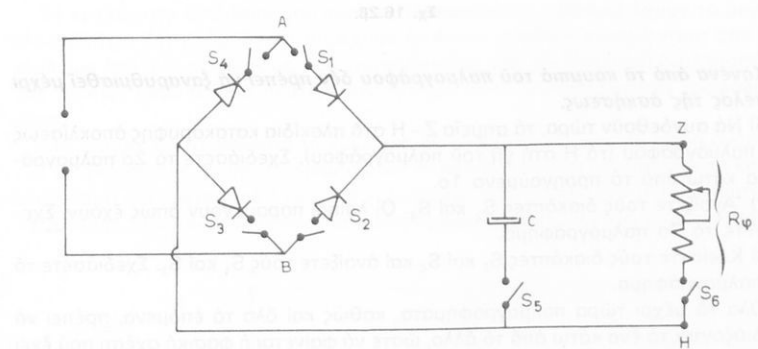
β) "Όταν ή Δ_1 είναι άγωγιμη (σχ. 16.1α), ή Δ_2 δέν είναι (έχει — στήν ανοδο καί στήν κάθοδό της). Η άγωγιμη Δ_1 δημαρχεῖται τότε ως βραχυκύκλωμα, συνεπώς, στά άκρα τής Δ_2 πού δέν είναι άγωγιμη, θά έφαρμόζεται δόλη ή τάση τοῦ δευτερεύοντος τοῦ μετασχηματιστῆ. Δηλαδή, ή μέγιστη άνάστροφη τάση όταν ή Δ_2 δέν άγει ισοῦται μέ τό μέγιστο τής τάσεως τοῦ δευτερεύοντος. Τό ίδιο συμβαίνει καί μέ τή μή άγωγιμη Δ_4 . Άρα στό κύκλωμα άνορθώσεως μέ γέφυρα, κάθε δίοδος ύποφέρει μέγιστη άρνητική τάση ίση σε μέ τή μέγιστη τιμή τής τάσεως τοῦ δευτερεύοντος τοῦ μετασχηματιστῆ, ένω στό κύκλωμα διπλής άνορθώσεως κάθε δίοδος ύποφέρει άνάστροφη τάση διπλάσια άπό τή μέγιστη τιμή τάσεως κάθε δευτερεύοντος τοῦ μετασχηματιστῆ.

πού νήντη επενδύθησε ο πατέρας της στην αγοράθηκε δια της ίδιας ως ανάγλυφο.
"Ενα μειονέκτημα του κυκλώματος άνορθώσεως μέντοι της κυκλώματος πρέπει νά περνά μέσα άπό σε κάθε έναλλαγή το συνεχές ρεῦμα του κυκλώματος πρέπει νά περνά μέσα άπό δύο σειρά διόδους. Συνεπώς, ή πτώση τάσεως κατά την άγωγιμη έναλλαγή στις δύο αυτές διόδους θα είναι μεγαλύτερη άπο θητή ή πτώση τάσεως σε μιά διόδο. Πάντως στις διόδους πυριτίου, όπως και στην άρχη άναφέραμε, ή πτώση τάσεως είναι μικρή, γιατί έχουν μικρή έσωτερική άντίσταση.

Στά κυκλώματα άνορθώσεως μέντοι της κυκλώματος πρέπει νά χρησιμοποιηθεί άποιοσδήποτε τύπος φίλτρου, όπως και στά άλλα κυκλώματα άνορθώσεως. Στό σχήμα 16.1η π.χ., παριστάνεται κύκλωμα φίλτρου τύπου Π.

16.2 Έργασία.

- 1) Νά σχεδιασθεί άπο τό σασσί της άσκήσεως τό κύκλωμα.
- 2) Νά συνδεσμολογηθεί τό κύκλωμα του σχήματος 16.2a. "Ολοι οι διακόπτες, έκτος άπο τόν S_5 νά είναι κλειστοί. Νά έφαρμοσθεί έναλλασσόμενη τάση στην είσοδο και νά μετρηθεί τό πλάτος της μέ βολτόμετρο έναλλασσόμενου.



Σχ. 16.2a.

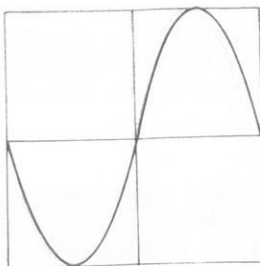
3) Από τό άποτέλεσμα της μετρήσεως νά ύπολογισθεί σε ποιά τάση θά φορτισθεί ο πυκνωτής C.

4) Μέ τούς διακόπτες S_6 άνοικτό και S_5 κλειστό, νά μετρηθεί ή τάση στά άκρα του C (βολτόμετρο συνεχοῦς) και νά συγκριθεί τό άποτέλεσμα μέ τήν τιμή τάσεως πού ύπολογίσθηκε.

5) Νά συνδέσετε τά σημεία A-B (σχ. 16.2a), στήν είσοδο τών πλακιδίων κατά κόρυφης άποκλίσεως του παλμογράφου (τό B στή γη του παλμογράφου και ο μεταγωγός σαρώσεως του παλμογράφου στή θέση Line Synchronization). "Ολοι οι διακόπτες του κυκλώματος της άσκήσεως νά είναι κλειστοί έκτος άπο τόν S_5 .

Νά ρυθμίσετε τή συχνότητα σαρώσεως του παλμογράφου, ώστε νά έμφανισθούν τρία κύματα της τάσεως V_{AB} στήν δύνη. Ρυθμίσετε τήν κατακόρυφη ένίσχυση και τήν κατακόρυφη τοποθέτηση, ώστε τό πλάτος τών κυμάτων νά πλη-

σιάζει, άνω καί κάτω, τό δρθογώνιο πλαίσιο της όθόνης. Μετά ρυθμίσετε τήν όρι-
ζόντια ένίσχυση περίπου στό μέγιστο καί τήν όριζόντια τοποθέτηση, ώστε τό με-
σαιο κύμα νά έχει μεγενθυσεί κατά πλάτος καί νά είναι συμμετρικό σέ σχέση μέ-
τον κεντρικό κατακόρυφο δξονα της όθόνης (σχ. 16.2β). Νά σχεδιασθεῖ τό παλμο-
γράφημα.



Σχ. 16.2β.

**Κανένα άπο τά κουμπά τοῦ παλμογράφου δέν πρέπει νά ξαναρυθμισθεῖ μέχρι
τό τέλος τῆς άσκήσεως.**

6) Νά συνδεθοῦν τώρα, τά σημεῖα Z - H στά πλακίδια κατακόρυφης άποκλίσεως
τοῦ παλμογράφου (τό H στή γῇ τοῦ παλμογράφου). Σχεδιάσετε τό 2ο παλμογρά-
φημα κάτω άπό τό προηγούμενο 1ο.

7) Άνοιξετε τούς διακόπτες S_2 καί S_4 . Οι λοιποί παραμένουν όπως έχουν. Σχε-
διάσετε τό 3ο παλμογράφημα.

8) Κλείσετε τούς διακόπτες S_2 καί S_4 καί άνοιξετε τούς S_1 , καί S_3 . Σχεδιάσετε τό
4ο παλμογράφημα.

"Όλα τά μέχρι τώρα παλμογραφήματα, καθώς καί άλα τά έπόμενα, πρέπει νά
σχεδιάζονται τό ένα κάτω άπό τό άλλο, ώστε νά φαίνεται ή φασική σχέση πού έχει
τό καθένα μέ τό άρχικό (1ο) παλμογράφημα.

9) Μέ τούς διακόπτες S_1 , S_3 , S_5 καί S_6 κλειστούς καί τούς S_2 , S_4 άνοικτούς, συν-
δέσετε βολτόμετρο συνεχοῦς στήν έξοδο (σημεῖα Z-H). Ρυθμίσετε τήν άντίσταση
έξοδου R_ϕ στό μέγιστο καί στό έλάχιστο. Τί παρατηρεῖτε στήν τάση έξόδου;
Σχεδιάσετε τά παλμογραφήματα.

10) Κλείσετε όλους τούς διακόπτες καί σχεδιάσετε παλμογραφήματα γιά τιμές
τῆς R_ϕ , μέγιστη καί έλάχιστη.

ΑΣΚΗΣΗ 17

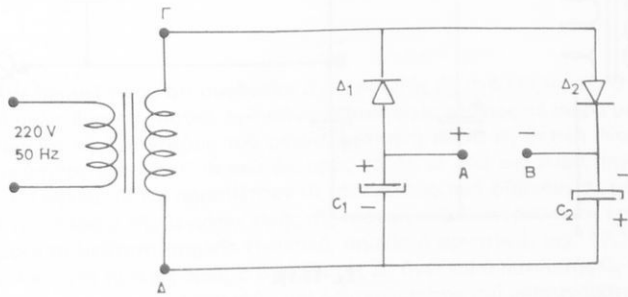
ΑΝΟΡΘΩΣΗ ΚΑΙ ΔΙΠΛΑΣΙΑΣΜΟΣ ΤΑΣΕΩΣ

17.1 Γενικά.

Στήν ασκηση αύτή θά μελετηθεί ή λειτουργία δύο άνορθωτικών κυκλωμάτων μέ διπλασιασμό τάσεως. Τό ένα κύκλωμα διπλασιασμού τάσεως είναι μέ πλήρη (διπλή) άνόρθωση καί τό άλλο μέ άπλήρη.

Τά κυκλώματα διπλασιασμού τάσεως (διπλασιαστές τάσεως) έχουν τό μεγάλο πλεονέκτημα διτι μποροῦν νά παρέχουν διπλάσια περίπου συνεχή τάση άπό ένα κύκλωμα άπλης άνορθωσεως, πού τροφοδοτεῖται άπό τήν ίδια πηγή έναλλασσόμενης τάσεως (άπό τό ίδιο δευτερεύον τύλιγμα ένός μετασχηματιστή τροφοδοτήσεως).

Στό σχήμα 17.1α φαίνεται τό κύκλωμα διπλασιαστή τάσεως μέ διπλή άνόρθωση. Οι άνορθωτές Δ_1 καί Δ_2 είναι δίοδοι πυριτίου. Ή τάση γιά άνόρθωση καί διπλασιασμό παρέχεται άπό ένα μόνο τύλιγμα δευτερεύοντος τού μετασχηματιστή. Η συνεχής, άνορθωμένη (διπλάσια) τάση έξόδου έμφανίζεται στά σημεία A καί B.



Σχ. 17.1α.

Τό κύκλωμα λειτουργεί ώς έξης: Στή Θετική έναλλαγή τής τάσεως στό δευτερεύον (σημείο Γ Θετικό σέ σχέση μέ τό Δ), (σχ.17.1α), ή άνοδος τού άνορθωτή Δ_1 , γίνεται Θετική ώς πρός τήν κάθοδο. Ό άνορθωτής Δ_1 άγει καί φορτίζει τόν πυκνωτή C_1 , στό μέγιστο τής τάσεως τού δευτερεύοντος καί μέ τήν πολικότητα πού σημειώνεται στό σχέδιο. Στή διάρκεια αύτής τής Θετικής έναλλαγῆς δέ Δ_2 δέν άγει,

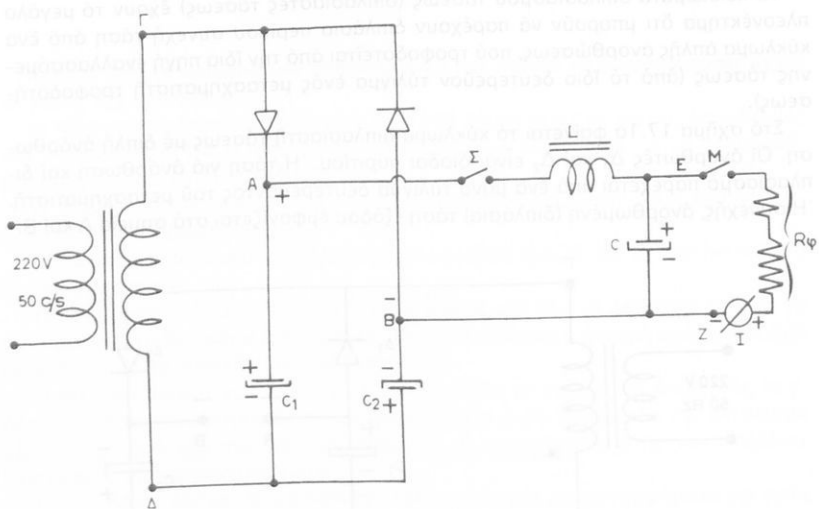
γιατί ή κάθοδός του είναι θετική σέ σχέση μέ τήν ανοδό. Στήν άρνητική έναλλαγή τής τάσεως στό δευτερεύον (σημείο Δ θετικό σέ σχέση μέ τό Γ), ό Δ_2 άγει καί φορτίζει έπισης τόν πυκνωτή C_2 στό μέγιστο τής τάσεως δευτερεύοντος καί μέ τή σημειούμενη πολικότητα. Τά δυναμικά τών δύο πυκνωτών προστίθενται έτσι, ώστε μεταξύ τών σημείων Α καί Β έπικρατεῖ τάση ίση μέ τό διπλάσιο τής μέγιστης τιμής τής τάσεως δευτερεύοντος τού μετασχηματιστή. Π.χ., όν μέ ένα βολτόμετρο τιμής τής τάσεως δευτερεύοντος τού μετασχηματιστή. Π.χ., όν μέ ένα βολτόμετρο έναλλασσόμενου μετρηθεί ή τάση στό δευτερεύον τού μετασχηματιστή καί βρεθεί ίση μέ 100 βόλτ (ένεργος τιμή), ή συνεχής τάση μεταξύ Α καί Β θά είναι:

$$100 \times 1,41 \times 2 = 282 \text{ βόλτ}$$

Η τάση αύτή έξόδου, γιά νά χρησιμοποιηθεί καί νά ξεπρετήσει σάν συνεχής τάση πρέπει νά έξομαλυνθεί, νά περάσει δηλαδή άπό φίλτρο πηνίου - πυκνωτή.

Στό σχήμα 17.1β φαίνεται τό κύκλωμα διπλασιαστή τάσεως μέ διπλή άνορθωση πού έχει φίλτρο έξομαλύνσεως τής τάσεως έξόδου (πηνίο L καί πυκνωτή C).

Οι πυκνωτές C_1 , C_2 καί C είναι ήλεκτρολυτικοί. Ο πυκνωτής C πρέπει νά άντεχει μεγαλύτερη (διπλασια) τάση άπό δση οι C_1 καί C_2 . Η άντισταση R_ϕ άντιπροσωπεύει τό φορτίο τού κυκλώματος.



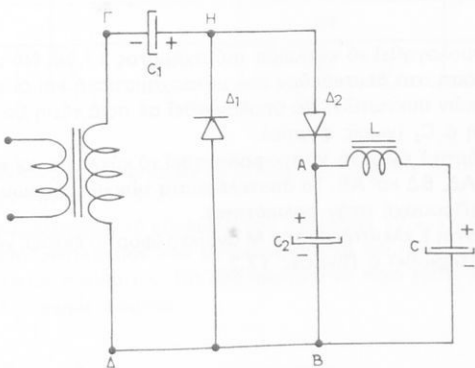
Σχ. 17.1β.

Στήν περίπτωση πού τό ρεύμα στό φορτίο είναι μεγάλης έντασεως, τό φίλτρο πρέπει νά περιλαμβάνει πηνίο, όπως στό σχήμα 17.1β. Αν όμως τό ρεύμα τού φορτίου είναι μικρής έντασεως, π.χ. λίγα μιλλιαμπέρ, μπορεί άντι γιά πηνίο, νά συνδεθεί άπλη άμικη άντισταση στό φίλτρο. Πάντως ή κυμάτωση τής τάσεως έξόδου έχει συχνότητα ίση μέ τό διπλάσιο τής συχνότητας τού δικτύου, δηλαδή 100 Hz. Τό έπισης μεγάλο πλεονέκτημα τού κυκλώματος αύτού είναι ότι χρησιμοποιεί ένα

μόνο τύλιγμα δευτερεύοντος του μετασχηματιστή, καί ὅχι δύο ἵσα τυλίγματα, ὅπως τὸ συνηθισμένο κύκλωμα διπλῆς ἀνορθώσεως.

Στὸ σχῆμα 17.1γ φαίνεται τὸ κύκλωμα ἐνός διπλασιαστῆ τάσεως ἀπλῆς ἀνορθώσεως.

Τὸ κύκλωμα λειτουργεῖ ὡς ἔξῆς: "Ας ὑποτεθεῖ ὅτι ὁ ἀνορθωτής Δ_2 δέν ἔχει συνδεθεῖ στὸ κύκλωμα. Κατὰ τὴν ἀρνητική ἐναλλαγὴ τῆς τάσεως δευτερεύοντος τοῦ μετασχηματιστῆ (σημεῖο Γ ἀρνητικό ὡς τὸ πρός τὸ Δ), ὁ ἀνορθωτής Δ_1 ἄγει καὶ φορτίζει τὸν C_1 στὸ μέγιστο τῆς τάσεως τοῦ δευτερεύοντος μὲ τὴ σημειούμενη πολικότητα.



Σχ. 17.1γ.

"Ας θεωρηθεῖ τώρα ὅτι συνδέεται ὁ ἀνορθωτής Δ_2 στὸ κύκλωμα. 'Ο πυκνωτής C_1 , πού μόλις ἔχει φορτισθεῖ, δρᾶ σάν μιά συστοιχία τάσεως σέ σειρά μὲ τὴν τάση πού παρέχει τὸ δευτερεύοντος τοῦ μετασχηματιστῆ. Κατὰ τὴν θετική ἐναλλαγὴ τοῦ δευτερεύοντος (σημεῖο Γ θετικό ὡς πρός τὸ Δ), οἱ δύο σέ σειρά πηγές (δευτερεύοντος καὶ πυκνωτής C_1) προσθέτουν τίς τάσεις τους, πού φθάνουν σέ μέγιστη τιμὴν μέ τὸ διπλάσιο τῆς μέγιστης τιμῆς τῆς τάσεως τοῦ δευτερεύοντος καὶ μέ τὴ σημειούμενη πολικότητα (σημεῖο Γ θετικό, σημεῖο Δ ἀρνητικό), (σχ. 17.1γ). Μέ τέτοια πολικότητα τάσεως ὅμως ὁ ἀνορθωτής Δ_2 ἄγει καὶ ὁ πυκνωτής C_2 φορτίζεται στὸ διπλάσιο τῆς τάσεως κορυφῆς τοῦ δευτερεύοντος τοῦ μετασχηματιστῆ. Συνεπῶς, ὁ ρόλος τοῦ ἀνορθωτῆ Δ_1 εἶναι νά φορτίσει τὸν C_1 στὸ μέγιστο τῆς τάσεως δευτερεύοντος (κατὰ τὴν ἐναλλαγὴ μέ ἀρνητικό Γ , θετικό Δ), σέ τρόπο ὥστε ὁ Δ_2 νά τροφοδοτηθεῖ μέ διπλάσια τάση κορυφῆς.

"Η διπλάσια τάση στὸν πυκνωτή C_2 προκύπτει ὅταν ἄγει ὁ ἀνορθωτής Δ_2 , πού ἄγει μόνο κατὰ τίς θετικές ἐναλλαγές τῆς τάσεως δευτερεύοντος (μόνο ὅταν τὸ Γ γίνεται θετικό ὡς πρός τὸ Δ). "Ἐτσι ἔχομε διπλασιαστῆ τάσεως ἀπλῆς ἀνορθώσεως καὶ ἡ κυμάτωση στὸ κύκλωμα αὐτό ἔχει συχνότητα 50 Hz.

Παράδειγμα. "Αν ή τάση δευτερεύοντος, μεταξύ Γ και Δ είναι 100 βόλτ, ό πυκνωτής C_1 , θά φορτίσθει στό μέγιστο της τάσεως αύτής, δηλαδή:

$$100 \times 1,41 = 141 \text{ βόλτ}$$

"Ο πυκνωτής C_2 θά φορτίσθει στό διπλάσιο τοῦ μέγιστου, δηλαδή:

$$2 \times 141 = 282 \text{ βόλτ}$$

Οι πυκνωτές C_2 και C πρέπει νά άντεχουν σέ τάση διπλάσια άπο έκείνη πού άντεχει ο C_1 .

17.2 Έργασία.

1) Νά συνδεσμολογηθεῖ τό κύκλωμα τοῦ σχήματος 17.1β. Νά σημειωθοῦν: 'Η άναγραφόμενη τάση στό δευτερεύον τοῦ μετασχηματιστή και οι τάσεις έργασίας τῶν ήλεκτρολυτικῶν πυκνωτῶν. Νά υπολογισθεῖ σέ ποιά τάση θά φορτίσθει ο C_1 , και σέ ποιά τάση ο C_2 (χωρίς φορτίο).

2) Μέ τό διακόπτη Σ άνοικτό, νά τροφοδοτηθεῖ τό κύκλωμα και νά μετρηθοῦν οι τάσεις στά ακρα $A\Delta$, $B\Delta$ και AB . Τά άποτελέσματα τῶν μετρήσεων νά γραφοῦν σέ σχετικό πίνακα. (Προσοχή στήν πολικότητα).

3) Μέ τό διακόπτη Σ κλειστό και τόν M άνοικτό (φορτίο έκτος), νά γίνουν μετρήσεις και νά συμπληρωθεῖ ο Πίνακας 17.2.1.

ΠΙΝΑΚΑΣ 17.2.1.

Μετρήσεις στό κύκλωμα τοῦ σχήματος 17.1β. Χωρίς φορτίο – Διακόπτης M άνοικτός

Διακόπτης Σ άνοικτός	Τάση (βόλτ)	Διακόπτης Σ κλειστός	Τάση (βόλτ)
Σημεία έλεγχου		Σημεία έλεγχου	
$\Gamma\Delta$		$\Gamma\Delta$	
$A\Delta (C_1)$		$A\Delta (C_1)$	
$B\Delta (C_2)$		$B\Delta (C_2)$	
AB		AB EZ	

4) Μέ τό διακόπτη Σ κλειστό και τόν M άνοικτό (ϊπως στήν προηγούμενη έρώτηση), νά συνδεθεῖ παλμογράφος (μέ σάρωμα) στά σημεία $A-B$ και $E-Z$ και νά σχεδιασθοῦν οι κυματομορφές.

5) Μέ τούς διακόπτες Σ και M κλειστούς (φορτίο έντος), νά ληφθοῦν και νά σχεδιασθοῦν τά παλμογραφήματα στά ίδια σημεία μέ μέγιστη και έλάχιστη άντίσταση

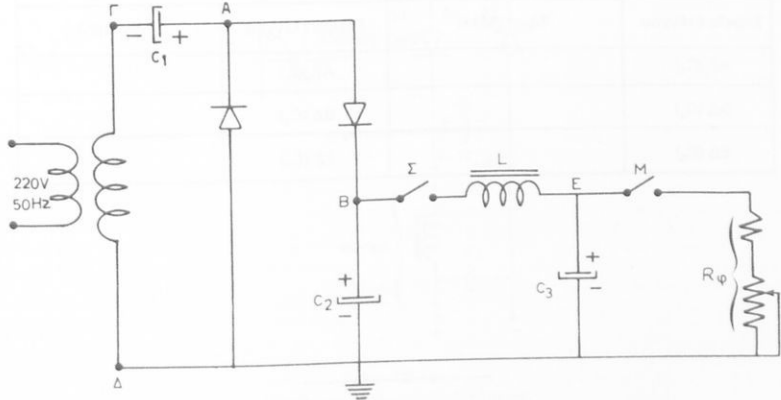
ΠΙΝΑΚΑΣ 17.2.2.

Μετρήσεις στό κύκλωμα τοῦ σχήματος 17.1β. Μέ φορτίο – Διακόπτες Μ και Σ κλειστοί

Μέγιστη αντίσταση R_ϕ	Έλαχιστη αντίσταση R_ϕ		
Σημεία έλεγχου	Τάση (βόλτ)	Σημεία έλεγχου	Τάση (βόλτ)
AΔ (C_1)		AΔ (C_1)	
BΔ (C_2)		BΔ (C_2)	
AB		AB	
EZ		EZ	

φορτίου R_ϕ . Έπίσης νά μετρηθοῦν οι τάσεις και γραφοῦν τά άποτελέσματα τῶν μετρήσεων στόν Πίνακα 17.2.2.

6) Νά συνδεσμολογηθεῖ τό κύκλωμα τοῦ σχήματος 17.2. Ποιά είναι ή άναγραφόμενη τάση στό δευτερεύον τοῦ μετασχηματιστῆ και ποιές οι τάσεις έργασίας τῶν ήλεκτρολυτικῶν πυκνωτῶν; Νά ύπολογισθεῖ σέ ποιά τάση θά φορτισθεῖ δC_1 και σέ ποιά ο C_2 (χωρίς φορτίο).



Σχ. 17.2.

7) Μέ το διακόπτη Σ άνοικτό, νά τροφοδοτηθεῖ τό κύκλωμα και νά μετρηθοῦν οι τάσεις στά δύο ΑΓ, και ΒΔ. Τά άποτελέσματα τῶν μετρήσεων νά γραφοῦν στόν Πίνακα 17.2.3.

ΠΙΝΑΚΑΣ 17.2.3.

Μετρήσεις στό κύκλωμα τοῦ σχήματος 17.2. Χωρίς φορτίο – Διακόπτης Μ άνοικτός

Σημεῖα έλέγχου	Τάση (βόλτ)
ΓΔ	
ΑΓ (C ₁)	
ΒΔ (C ₂)	
ΕΔ (C ₃)	

8) Μέ το διακόπτη Σ κλειστό καὶ τὸν Μ άνοικτό, νά συνδεθεῖ παλμογράφος (μέ σάρωμα) στά σημεῖα ΕΔ καὶ νά σχεδιασθεῖ ἡ κυματομορφή. Ἀκολούθως μέ κλειστό το διακόπτη Μ, νά σχεδιασθοῦν πάλι παλμογραφήματα γιά μέγιστη καὶ έλάχιστη άντισταση φορτίου. Ἐπίσης νά μετρηθοῦν οι τάσεις καὶ τά άποτελέσματα τῶν μετρήσεων νά γραφοῦν στόν Πίνακα 17.2.4.

ΠΙΝΑΚΑΣ 17.2.4.

Μετρήσεις στό κύκλωμα τοῦ σχήματος 17.2. Μέ φορτίο – Διακόπτες Σ καὶ Μ κλειστοί

Μέγιστη άντισταση R _Φ	Τάση (βόλτ)	Έλαχιστη άντισταση R _Φ	Τάση (βόλτ)
Σημεῖα έλέγχου		Σημεῖα έλέγχου	
ΑΓ (C ₁)		ΑΓ (C ₁)	
ΒΔ (C ₂)		ΒΔ (C ₂)	
ΕΔ (C ₃)		ΕΔ (C ₃)	

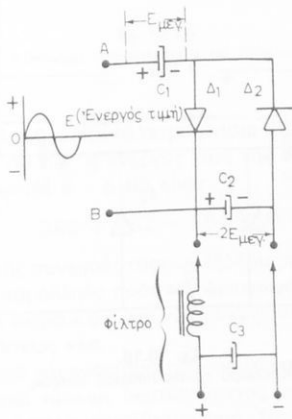
ΑΣΚΗΣΗ 18

ΚΥΚΛΩΜΑΤΑ ΠΟΛΛΑΠΛΑΣΙΑΣΜΟΥ ΤΑΣΕΩΣ

18.1 Γενικά.

Στήν ασκηση σαύτη έξετάζεται κύκλωμα άνορθώσεως, στό όποιο μέ κατάλληλη σύνδεση ήμιαγωγῶν καί πυκνωτῶν, έπιτυγχάνεται συνεχής τάση στήν έξοδο τριπλασία, τετραπλασία κλπ. ἀπό τή μέγιστη τιμή τῆς έναλλασσόμενης τάσεως πού έφαρμόζεται στήν είσοδο.

Στό σχήμα 18.1α φαίνεται ἔνα γνωστό ηδη ἀπό τήν προηγούμενη ασκηση (17) κύκλωμα άνορθώσεως μέ διπλασιασμό τάσεως.



Σχ. 18.1α.
Κύκλωμα διπλασιασμοῦ τάσεως.

Στό κύκλωμα αύτό ὁ πυκνωτής C_1 φορτίζεται στό μέγιστο ($E_{μεγ}$) τῆς έναλλασσόμενης τάσεως πού ἐπικρατεῖ στά σημεῖα A,B. Ο ἄλλος πυκνωτής (C_2) φορτίζεται στό διπλάσιο τοῦ μέγιστου ($2E_{μεγ}$) τῆς έναλλασσόμενης αὐτῆς τάσεως. Ἀν π.χ. ή έναλλασσόμενη τάση είσοδου πού ἐπικρατεῖ μεταξύ A καί B έχει ένεργο 100 βόλτ, ὁ C_1 θά φορτισθεῖ στήν τάση: $100 \times 1,41 = 141$ βόλτ, μέ τήν ποτιμή 100 βόλτ, ὁ C_1 θά φορτισθεῖ στήν τάση: $100 \times 1,41 = 141$ βόλτ, μέ τήν πο-

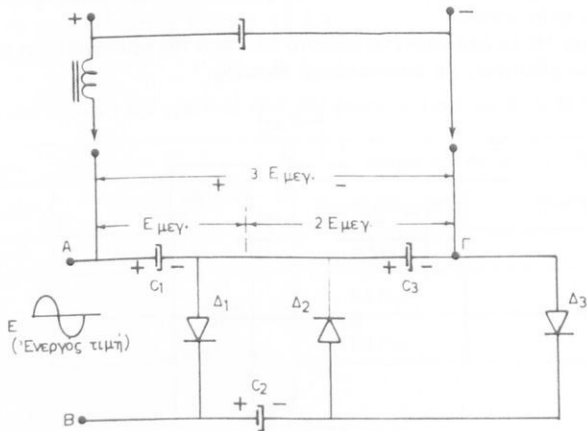
λικότητα πού φαίνεται στό σχήμα 18.1α. Ό C_2 θά φορτισθεί στήν τάση: $100 \times 1,41 \times 2 = 282$ βόλτ και μέ την πολικότητα πού φαίνεται στό ίδιο σχήμα.

Στό σχήμα 18.1β φαίνεται κύκλωμα τριπλασιασμού τάσεως, τό όποιο προκύπτει όταν στά άκρα του ήμιαγωγού Δ_2 τοῦ προηγούμενου κυκλώματος (σχ. 18.1α) συνδεθεῖ ἔνας άκρομη ήμιαγωγός (Δ_3) μέ πυκνωτή (C_3) σέ σειρά. Ό C_3 θά φορτισθεί έπισης στό διπλάσιο τοῦ μέγιστου ($2E_{μεγ}$) τῆς τάσεως είσόδου, μέ τήν πολικότητα τοῦ σχήματος. Μέ αύτό τόν τρόπο οι πυκνωτές C_1 και C_3 βρίσκονται σέ σειρά και οι τάσεις τους προστίθενται. Συνεπώς ή μεταξύ Α - Γ συνεχής τάση θά ισούται μέ:

$$E_{μεγ} + 2E_{μεγ} = 3E_{μεγ}$$

Δηλαδή μεταξύ Α - Γ λαμβάνεται τό τριπλάσιο τοῦ μέγιστου τῆς τάσεως είσόδου. Π.χ. γιά ένεργο τιμή τῆς τάσεως είσόδου 100 βόλτ, ή συνεχής τάση μεταξύ Α - Γ θά είναι:

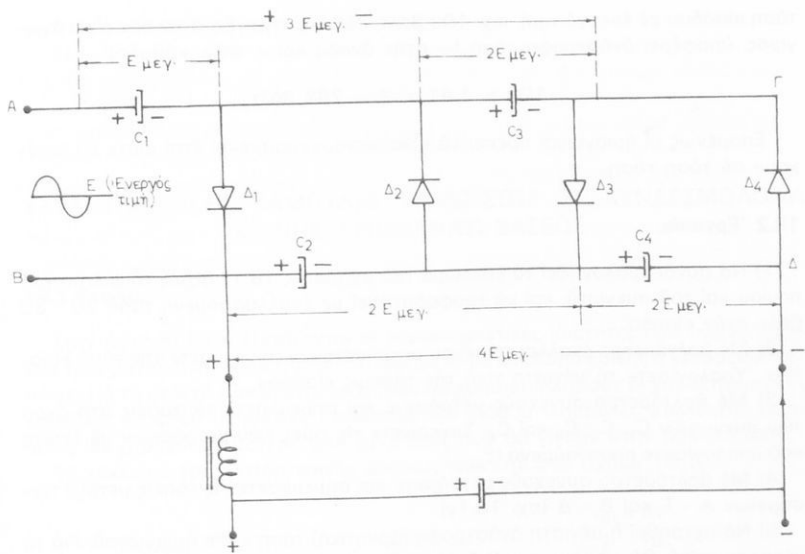
$$141 + 282 = 423 \text{ βόλτ}$$



Σχ. 18.1β.
Κύκλωμα τριπλασιασμού τάσεως.

Στό σχήμα 18.1γ φαίνεται κύκλωμα τετραπλασιασμού τάσεως, τό όποιο προκύπτει άπό τό προηγούμενο (σχ. 18.1β), ἀν παράλληλα πρός τόν ήμιαγωγό Δ_3 συνδεθεῖ ήμιαγωγός Δ_4 μέ πυκνωτή C_4 σέ σειρά. Ό C_4 θά φορτισθεί στό διπλάσιο τοῦ μέγιστου ($2E_{μεγ}$) τῆς έναλλασσόμενης τάσεως είσόδου μέ τήν πολικότητα πού φαίνεται στό σχήμα, σέ τρόπο ώστε οι συνεχεῖς τάσεις τῶν πυκνωτῶν C_2 και C_4 πού είναι σέ σειρά, νά προστίθενται. Συνεπώς ή μεταξύ Β - Δ συνεχής τάση θά ισούται μέ:

$$2E_{μεγ} + 2E_{μεγ} = 4E_{μεγ}$$



Σχ. 18.1γ.
Κύκλωμα τετραπλασιασμοῦ τάσεως.

Δηλαδή, μεταξύ Β - Δ λαμβάνεται τό τετραπλάσιο τοῦ μέγιστου τῆς έναλλασσόμενης τάσεως είσοδου. Ἐν π.χ. ἡ ἐνεργός τιμή τῆς τάσεως είσοδου είναι 100 βόλτ, ἡ συνεχής τάση μεταξύ Β - Δ θά εἶναι:

$$282 + 282 = 564 \text{ βόλτ}$$

Ο πολλαπλασιασμός τῆς συνεχοῦς τάσεως ἔξόδου μπορεῖ νά συνεχισθεῖ μέ τόν τρόπο αύτό, ἀν δηλαδή, παράλληλα πρός τόν ἡμιαγωγό Δ_4 συνδεθεῖ καί ἄλλος ἡμιαγωγός μέ πυκνωτή σέ σειρά κ.ο.κ. καί νά προκύψουν κυκλώματα πενταπλασιασμοῦ, ἔξαπλασιασμοῦ τάσεως κλπ.

Είναι φανερό τό βασικό πλεονέκτημα τοῦ κυκλώματος αύτοῦ, ἀφοῦ μέ μετασχηματιστή μικρῆς σχετικά τάσεως δευτερεύοντος μποροῦμε νά ἔξασφαλίσομε συνεχεῖς τάσεις ἔξόδου μέ πολὺ μεγαλύτερη τιμή. Τονίζεται δημοσίᾳ ότι οι συνεχεῖς αύτές τάσεις ἔξόδου ὑπολογίζονται ἔδω χωρίς φορτίο. Στήν πράξη, ὅταν τό κύκλωμα παρέχει ρεύμα σέ κάποιο φορτίο, ἡ συνεχής τάση ἔξόδου ἐλαττώνεται τόσο περισσότερο, δσο τό παρεχόμενο ρεύμα ἔχει μεγαλύτερη ἐνταση.

Οπως φαίνεται καί στά τρία προηγούμενα σχήματα (σχ. 18.1α, 18.1β καὶ 18.1γ), στήν ἔξοδο κάθε κυκλώματος μπορεῖ νά συνδεθεῖ ἔνα συνηθισμένο φίλτρο μέ πηνίο καί πυκνωτή γιά τήν ἔξομάλυνση τῆς συνεχοῦς τάσεως ἔξόδου.

Ολοι οι ἡμιαγωγοί τῶν κυκλωμάτων πολλαπλασιασμοῦ τάσεως ὑποφέρουν μεγιστηρία ἀνάστροφη τάση (ἀρνητική τάση) ἵση μέ 2E_{μεγ.} Δηλαδή, γιά έναλλασσόμενη

τάση εισόδου μέ ένεργο τιμή, π.χ. 100 βόλτ, κάθε ήμιαγωγός, όταν δέν είναι άγωγιμος, ύποφέρει άναστροφή τάση (- στήν άνοδο και + στήν κάθοδο):

$$100 \times 1,41 \times 2 = 282 \text{ βόλτ}$$

Έπομένως οι ήμιαγωγοί πρέπει νά είναι κατασκευασμένοι έτσι ώστε νά άντεχουν σέ τόση τάση.

18.2 Έργασία.

1) Νά συνδεσμολογηθεί τό κύκλωμα τοῦ σχήματος 18.1γ δίχως τό φίλτρο τοῦ πηνίου καί τοῦ πυκνωτῆ, καί νά τροφοδοτηθεί μέ έναλλασσόμενη τάση 20 - 30 βόλτ στήν είσοδο.

2) Μέ βολτόμετρο έναλλασσόμενου μετρήσετε καί σημειώσετε τήν τάση εισόδου. Υπολογίσετε τή μέγιστη τιμή τής τάσεως εισόδου.

3) Μέ βολτόμετρο συνεχούς μετρήσετε καί σημειώσετε τίς τάσεις στά άκρα τῶν πυκνωτῶν C_1 , C_2 , C_3 καί C_4 . Συγκρίνετε τίς τιμές τῶν μετρήσεων μέ έκεινη πού ύπολογίσατε προηγούμενα ($E_{μεγ}$).

4) Μέ βολτόμετρο συνεχούς μετρήσετε καί σημειώσετε τίς τάσεις μεταξύ τῶν σημείων A - Γ καί B - Δ (σχ. 18.1γ).

5) Νά μετρηθεῖ ή μέγιστη άναστροφή (άρνητική) τάση κάθε ήμιαγωγού. Γιά τή μέτρηση αυτή θά χρησιμοποιηθεῖ ήλεκτρονικό βολτόμετρο μέ ένδείξεις P - P (Peak to Peak = άπό κορυφή σέ κορυφή).

- Τοποθετήσετε τό μεταγωγό τοῦ ήλεκτρονικοῦ βολτομέτρου στή θέση AC.
- Στρίψετε τό μεταγωγό τῶν κλίμακων στήν κλίμακα 50 βόλτ (ένεργες τιμές).
- Παρατηρήσετε οτι στό «καντράν» τοῦ όργανου, κάτω άπό τήν κλίμακα τῶν 50 βόλτ, ύπάρχουν άντιστοιχες ένδείξεις P - P (κόκκινες ύποδιαιρέσεις).
- Παρατηρήσετε άκομη οτι στήν πλήρη άποκλιση τής κλίμακας τῶν 50 βόλτ (ένεργων) άντιστοιχεί τιμή τής κλίμακας P - P: $50 \times 1,41 \times 2 = 141$ βόλτ.
- Συνδέσετε τώρα τό ήλεκτρονικό βολτόμετρο διαδοχικά στά άκρα τῶν ήμιαγωγῶν Δ_1 , Δ_2 , Δ_3 καί Δ_4 (σχ. 18.1γ). Σέ κάθε περίπτωση τό οργανό θά μετρᾶ τή μέγιστη άναστροφή τάση πού έπικρατεῖ σέ κάθε ήμιαγωγό, όταν ή άναγνωστη γίνεται στήν κλίμακα P - P.
- Μετρήσετε καί σημειώσετε τίς τιμές τῶν τάσεων αύτῶν: V_{Δ_1} , V_{Δ_2} , V_{Δ_3} καί V_{Δ_4} .
- Ποιά σχέση έχουν οι μετρούμενες τιμές άναστρόφων τάσεων μέ τήν τιμή τής έναλλασσόμενης τάσεως εισόδου;

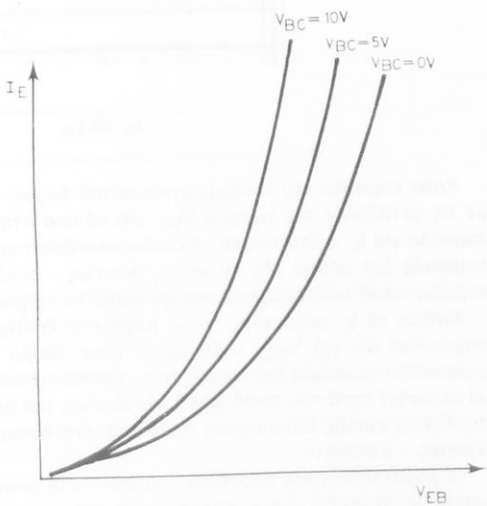
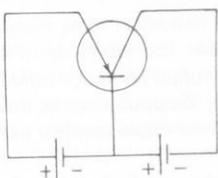
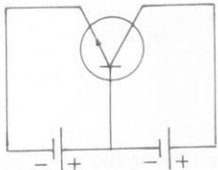
ΑΣΚΗΣΗ 19

ΧΑΡΑΚΤΗΡΙΣΤΙΚΕΣ ΚΑΜΠΥΛΕΣ ΤΡΑΝΖΙΣΤΟΡ ΣΕ ΣΥΝΔΕΣΜΟΛΟΓΙΑ ΚΟΙΝΗΣ (ΓΕΙΩΜΕΝΗΣ) ΒΑΣΕΩΣ

19.1 Γενικά.

Στήν αυτή έξετάζονται οι χαρακτηριστικές ιδιότητες που παρουσιάζει ένα τρανζίστορ όταν είναι συνδεσμολογημένο με κύκλωμα κοινής ή γειωμένης βάσεως. Για τή μελέτη των ιδιοτήτων αυτών θά χρησιμοποιηθούν οι χαρακτηριστικές καμπύλες είσοδου (καμπύλες έκπομπού) και έξόδου (καμπύλες συλλέκτη), οι δοποίες θά χαραχθούν ύστερα άπό μετρήσεις που θά γίνουν στην ασκηση αυτή.

Τό κύκλωμα τρανζίστορ κοινής βάσεως φαίνεται στό σχήμα 19.1α.



Σχ. 19.1α.

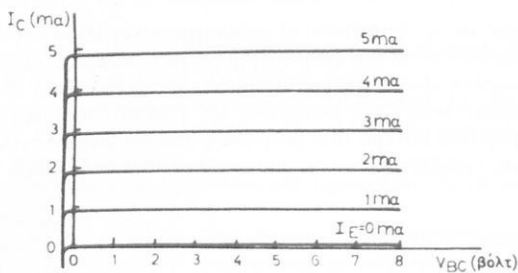
Σχ. 19.1β.

Οι χαρακτηριστικές είσοδου δείχνουν τίς μεταβολές τού ρεύματος έκπομπού I_E σε σχέση με τίς μεταβολές τής τάσεως έκπομπού - βάσεως V_{EB} και έχουν τή μορφή που φαίνεται στό διάγραμμα τού σχήματος 19.1β.

Γιά νά λειτουργήσει σέ γραμμική περιοχή, τό κύκλωμα τού διοδικού τμήματος

έκπομποϋ - βάσεως πρέπει νά είναι πολωμένο κατά τήν όρθη φορά καί οι χαρακτηριστικές είσόδου σέ αυτή τήν περίπτωση είναι ομοιες μέ έκεινες τής διόδου μέ πόλωση όρθης φορᾶς. Γιά τήν περίπτωση πού ή τάση V_{BC} είναι μηδέν (άνοικτό κύκλωμα συλλέκτη), ή χαρακτηριστική είσόδου είναι ίδια μέ τή χαρακτηριστική μιᾶς τυπικῆς διόδου από τό ίδιο ύλικό (καμπύλη τοῦ σχήματος 19.1β γιά $V_{BC} = 0$). "Όταν τό κύκλωμα βάσεως - συλλέκτη πολωθεῖ κατά τήν άναστροφή φορά, ή χαρακτηριστική καμπύλη είσόδου μετατοπίζεται πρός τά άριστερά, δημοσιεύεται στό διάγραμμα τοῦ σχήματος 19.1β (καμπύλες γιά $V_{BC} = 5 \text{ V}$ ή 10 V).

Γιά νά λειτουργήσει στή γραμμική περιοχή τό κύκλωμα βάσεως - συλλέκτη πρέπει νά πολωθεῖ κατά τήν άναστροφή φορά, δημοσιεύεται στό διάγραμμα τοῦ σχήματος 19.1γ.



Σχ. 19.1γ.

Κάθε καμπύλη τοῦ διαγράμματος αύτοῦ δείχνει τίς μεταβολές τοῦ I_C σέ σχέση μέ τίς μεταβολές τής τάσεως V_{BC} γιά κάποια σταθερή τιμή τοῦ ρεύματος I_E . Ή καμπύλη γιά $I_E = 0$ (άνοικτό τό κύκλωμα τοῦ έκπομποϋ) άντιπροσωπεύει τό ρεύμα διαρροής διά μέσου τής ένώσεως βάσεως - συλλέκτη, άφοῦ V_{BC} είναι ή άναστροφή τάση πού έφαρμόζεται σέ αύτό τό τμήμα.

Καθώς τό I_E αύξανεται, τό I_C αύξανεται έπισης καί πλησιάζει πρός τό I_E . "Άς σημειωθεῖ δητι γιά $V_{BC} = 0$, τό I_C είναι άκομη σχεδόν ίσο μέ τό I_E . Γιά νά μηδενισθεῖ τό ρεύμα τοῦ συλλέκτη I_C , πρέπει τό διοδικό τμῆμα βάσεως - συλλέκτη νά πολωθεῖ κατά τήν όρθη φορά. Αύτό είναι μιά άπό τίς ιδιορρυθμίες τής συνδεσμολογίας κοινῆς βάσεως καί διερεύνεται στό δυναμικό πού δημιουργείται μεταξύ βάσεως - συλλέκτη.

Οι χαρακτηριστικές καμπύλες τοῦ συλλέκτη μπορεῖ νά χωρισθοῦν σέ τρεῖς περιοχές λειτουργίας, δημοσιεύεται στό διάγραμμα τοῦ σχήματος 19.1δ.

"Η περιοχή 1 είναι ή περιοχή κόρου, γιατί τό I_C γίνεται μέγιστο, ένω ή V_{BC} είναι έλαχιστη. Ή περιοχή 2 είναι ή γραμμική καί σέ αυτήν έργαζεται τό τρανζίστορ. Ή περιοχή 3 είναι περιοχή άποκοπῆς, άφοῦ τό I_C είναι σχεδόν μηδέν γιά διποιαδή ποτε τάση V_{BC} .

Οι χαρακτηριστικές καμπύλες μπορεῖ νά χρησιμοποιηθοῦν γιά ύπολογισμό τῶν σταθερῶν λειτουργίας τοῦ τρανζίστορ. Π.χ. ή στατική του άντισταση σέ κάποιο σημείο λειτουργίας ύπολογίζεται άπό τή σχέση:

$$R_\sigma = \frac{V_{BE}}{I_E}$$

Η δυναμική του άντίσταση ύπολογίζεται από τή σχέση:

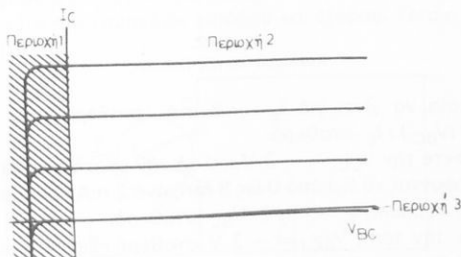
$$R_\delta = \frac{\Delta V_{BE}}{\Delta I_E}$$

Η άπολαβή έναλλασσόμενου ρεύματος τοῦ τρανζίστορ (πάντοτε γιά κάποιο σημείο λειτουργίας του) δίνεται από τή σχέση:

$$A_i = \frac{\Delta I_C}{\Delta I_E} = a$$

Τέλος ή άντίσταση έξόδου τοῦ τρανζίστορ ύπολογίζεται από τίς χαρακτηριστικές του καμπύλες σύμφωνα μέ τή σχέση:

$$R_{e\xi} = \frac{\Delta V_{BC}}{\Delta I_C}$$



Σχ. 19.16.

Τά χαρακτηριστικά γνωρίσματα τοῦ κυκλώματος ένισχυτή κοινῆς βάσεως είναι:

Μικρή άντίσταση είσοδου: $10 - 150 \Omega$.

Μεγάλη άντίσταση έξόδου: $10 \text{ k}\Omega - 1 \text{ M}\Omega$.

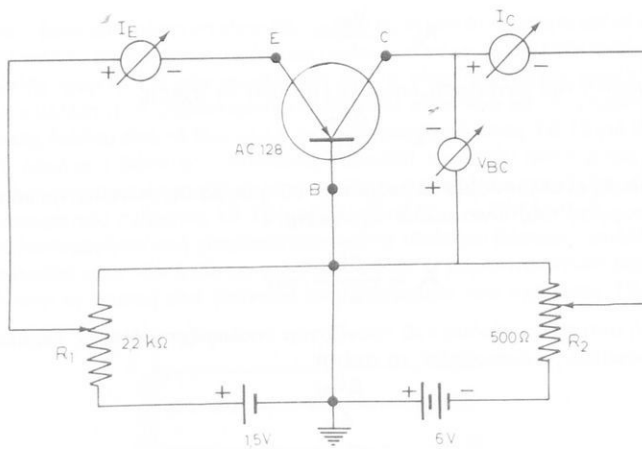
Ένισχυση ρεύματος μικρότερη από τή μονάδα: $0,95 - 0,98$.

Ένισχυση ισχύος: $20 - 30 \text{ db}$.

Δέν ύπάρχει διαφορά φάσεως μεταξύ σήματος είσοδου καί ένισχυμένου σήματος στήν έξοδο (διαφορά φάσεως 0°).

19.2 Έργασία.

- 1) Συνδέσετε τό κύκλωμα τοῦ σχήματος 19.2. Σέ αύτό τό ποτανσιόμετρο R_1 , ρυθμίζει τήν τάση έκπομπού - βάσεως (καί έπομένως τό ρεύμα έκπομπού I_E), ένω τό R_2 ρυθμίζει τήν τάση βάσεως - συλλέκτη V_{BC} . Μέ τό ποτανσιόμετρο R_1 , νά ρυθμίσετε τό ρεύμα $I_E = 2 \text{ mA}$ καί νά τό κρατάτε σταθερό. Μέ τό R_2 νά μεταβάλλετε τήν τάση V_{BC} από 0 V ώς $- 5 \text{ V}$ (άνα 1 V) καί νά πάρετε μετρήσεις τοῦ ρεύματος I_C .



Σχ. 19.2.
Κύκλωμα κοινής βάσεως.

ΤΗ ίδια έργασία νά γίνει γιά $I_E = 3 \text{ mA}$ (σταθερό). Νά χαράξετε τίς δύο καμπύλες $I_C = f(V_{BC}) / I_E$ σταθερό.

2) Νά ρυθμίσετε τήν $V_{BC} = -3 \text{ V}$ καί νά τήν κρατήσετε σταθερή. Μεταβάλλετε τό I_E (στρέφοντας τό R_1) από 0 ώς 8 mA, άνα 2 mA καί πάρετε μετρήσεις τού I_C . Χαράξετε τήν καμπύλη $I_C = f(I_E) / V_{BC}$ σταθερό.

3) Κρατήσετε τήν τάση $V_{BC} = -3 \text{ V}$ σταθερή. Συνδέσετε μιλλιβολτόμετρο συνεχοῦς μεταξύ βάσεως καί έκπομποῦ. Στρέφοντας τό R_1 , μεταβάλλετε τήν τάση V_{BE} από 0 ώς -0,15 V, άνα 0,03 V καί πάρετε μετρήσεις τού I_E . Χαράξετε τήν καμπύλη $I_E = f(V_{BE}) / V_{BC}$ σταθερό.

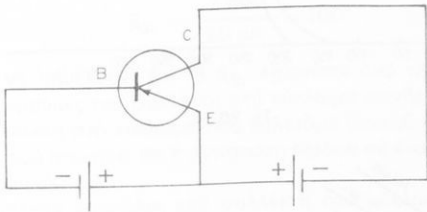
4) Νά ρυθμίσετε τό $I_E = 3 \text{ mA}$ καί νά τό κρατήσετε σταθερό. Μεταβάλλετε τήν τάση V_{BC} από 0 V ώς -5 V, άνα 1 V, καί πάρετε μετρήσεις τής τάσεως V_{BE} . Χαράξετε τήν καμπύλη $V_{BE} = f(V_{BC}) / I_E$ σταθερό.

ΑΣΚΗΣΗ 20

ΧΑΡΑΚΤΗΡΙΣΤΙΚΕΣ ΚΑΜΠΥΛΕΣ ΤΡΑΝΖΙΣΤΟΡ ΣΕ ΣΥΝΔΕΣΜΟΛΟΓΙΑ ΚΟΙΝΟΥ (ΓΕΙΩΜΕΝΟΥ) ΕΚΠΟΜΠΟΥ

20.1 Γενικά.

Στήν ασκηση αυτή θά έξετασθούν τά χαρακτηριστικά πού παρουσιάζει ένα κύκλωμα τρανζίστορ σέ συνδεσμολογία κοινού έκπομπού μέ τή χάραξη και μελέτη τών χαρακτηριστικών του καμπυλών εισόδου και έξόδου. Τέτοιο κύκλωμα φαίνεται στό σχήμα 20.1a.



Σχ. 20.1a.

Η χαρακτηριστική καμπύλη εισόδου αύτοῦ τοῦ κυκλώματος δείχνει τίς μεταβολές τοῦ ρεύματος βάσεως I_B σέ σχέση μέ τίς μεταβολές τῆς τάσεως V_{EB} πού έφαρμόζεται μεταξύ έκπομπού και βάσεως. Η μορφή τῆς καμπύλης αύτῆς φαίνεται στό σχήμα 20.1β.

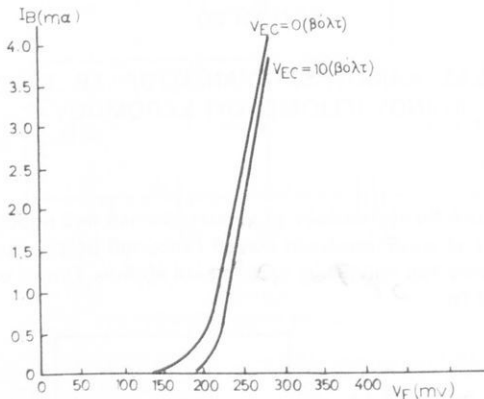
Γιά νά λειτουργήσει στήν περιοχή τοῦ εύθυγραμμου τμήματος τῆς χαρακτηριστικῆς, τό διοδικό τμήμα έκπομπός - βάση τοῦ τρανζίστορ πρέπει νά πολωθεῖ κατά τήν όρθη φορά. (Γιά τό τρανζίστορ PNP τοῦ σχήματος 20.1a, ή βάση πρέπει νά είτην όρθη φορά). Γία αύτό οι χαρακτηριστικές εισόδου τοῦ αρνητική σέ σχέση μέ τόν έκπομπό). Γί' αύτό οι χαρακτηριστικές εισόδου τοῦ τρανζίστορ είναι δημοιες μέ έκεινες μιάς κρυσταλλοδιόδου μέ πόλωση όρθης φράξ.

Στό κύκλωμα κοινοῦ έκπομποῦ τοῦ σχήματος 20.1a τό διοδικό τμῆμα έκπομπός - βάση λειτουργεῖ μέ πολύ μικρή ένταση ρεύματος βάσεως και ή δυναμική άνπος - βάση λειτουργεῖ μέ πολύ μεγαλύτερη άπο έκεινη τοῦ κυκλώματος κοινῆς βάσεως πού έξετάσθηκε στήν προηγούμενη ασκηση.

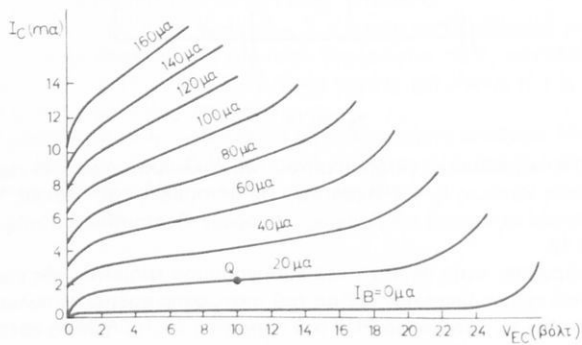
Τό διοδικό τμῆμα συλλέκτης - βάση πρέπει νά πολώνεται κατά τήν άναστροφή

φορά, όπότε οι χαρακτηριστικές πού προκύπτουν έχουν τή μορφή τῶν χαρακτηριστικῶν πού φαίνονται στά σχήματα 20.1γ και 20.1δ.

Κάθε καμπύλη έκφραζε τίς μεταβολές τοῦ I_C (ρεῦμα συλλέκτη) σέ σχέση μέ τίς μεταβολές V_{EC} (τάση μεταξύ έκπομποῦ - συλλέκτη) γιά κάποια σταθερή τιμή τοῦ I_B (ρεύματος βάσεως). Ή καμπύλη γιά ρεῦμα $I_B = 0$ (διακοπή στή βάση), άντιπροσωπεύει τό ρεῦμα διαρροῆς I_{CEO} μεταξύ συλλέκτη - έκπομποῦ. "Όταν τό I_B αύξανεται, τό I_C αύξανεται έπισης και γίνεται πολύ μεγαλύτερο άπο τό I_B .



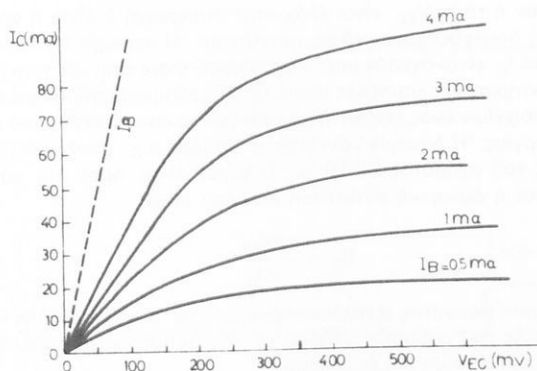
Σχ. 20.1β.



Σχ. 20.1γ.

Η ένισχυση (άπολαβή) συνεχοῦς β_{dc} , είναι ό λόγος τοῦ ρεύματος έξοδου I_C πρός τό ρεῦμα εισόδου I_B σέ κάποιο σημείο λειτουργίας. "Ετσι:

$$\beta_{dc} = \frac{I_C}{I_B}$$



Σχ. 20.1δ.

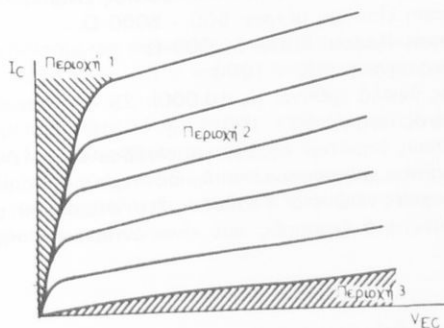
Γιά παράδειγμα, ή ένισχυση ρεύματος στό σημείο Q του σχήματος 20.1γ είναι:

$$\beta_{dc} = \frac{2 \text{ mA}}{20 \mu\text{A}} = 100$$

Έδω πρέπει νά σημειωθεῖ ότι τό β_{dc} έξαρτάται από τήν τάση V_{EC} . Συγκρινόμενες μέ τίς καμπύλες τοῦ συλλέκτη στό κύκλωμα κοινῆς βάσεως, οι χαρακτηριστικές τοῦ συλλέκτη στό κύκλωμα πού μελετάμε (κοινοῦ έκπομποῦ), έχουν μεγαλύτερη κλίση, πού σημαίνει ότι ή άντισταση έξόδου σέ έναν ένισχυτή κοινοῦ έκπομποῦ είναι χαμηλή.

Οι χαρακτηριστικές καμπύλες τοῦ συλλέκτη στό κύκλωμα κοινοῦ έκπομποῦ μπορεῖ νά χωρισθοῦν σέ τρεῖς περιοχές λειτουργίας, δημοσιεύοντας καί στήν περίπτωση τοῦ κυκλώματος μέ κοινή βάση.

Στό σχήμα 20.1ε, ή περιοχή 1 είναι περιοχή κόρου, άφού τό ρεύμα I_C είναι



Σχ. 20.1ε.

ΑΣΚΗΣΗ 21

ΜΕΤΑΒΑΛΛΟΜΕΝΕΣ ΑΝΤΙΣΤΑΣΕΙΣ ΜΕ ΤΗΝ ΤΑΣΗ (V.D.R. - Voltage Dependent Resistors)

21.1 Γενικά.

Μεταβαλλόμενες άντιστάσεις μέ την τάση ή άντιστάσεις V.D.R., όπως λέγονται περισσότερο (άπό τα άρχικα τῶν ἀγγλικῶν λέξεων Voltage Dependent Resistors), είναι οι ειδικές έκεινες άντιστάσεις τῶν διοιών ή τιμή μεταβάλλεται όταν μεταβληθεῖ ή τάση πού έπικρατεῖ στά άκρα τους.

Φυσικά ή μεταβολή τῆς τιμῆς τους δέν γίνεται άπεριόριστα· κυμαίνεται σέ προκαθορισμένες τιμές για κάθε κατασκευή. Μεταβολή τῆς τιμῆς μᾶς τέτοιας άντιστάσεως σέ δρια π.χ. μεταξύ 1000 Ω και 10.000 Ω είναι συνηθισμένη.

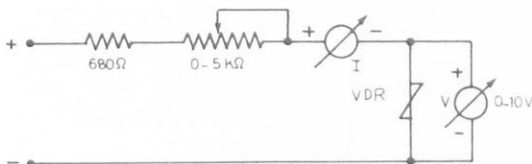
Όταν μία άντισταση σύρματος (γραμμική) είναι συνδεμένη σέ ένα κύκλωμα καί ή τάση στά άκρα της διπλασιασθεῖ, τότε, σύμφωνα μέ τό νόμο τοῦ "Ωμ, θά διπλασιασθεῖ καί τό ρεῦμα. Στίς άντιστάσεις V.D.R. πού δέν είναι γραμμικές, όταν ή τάση στά άκρα τους διπλασιασθεῖ τό ρεῦμα σέ αύτές αύξανεται περισσότερο από τό διπλάσιο, πράγμα πού σημαίνει ότι έλαπτώθηκε ή τιμή τους. Ή V.D.R. 68B π.χ., μέ τάση 250 βόλτ στά άκρα της διαρρέεται από ρεῦμα 4 μιλλιαμπέρ. Όταν ή τάση άπο 250 βόλτ αύξηθει στά 300 βόλτ, τό ρεῦμα μέσα από τήν άντισταση αύξανεται στά 10 μιλλιαμπέρ. Δηλαδή, στό παράδειγμα αύτό, ένω ή τάση στά άκρα της V.D.R. 68B αύξηθηκε σέ ποσοστό 20%, τό ρεῦμα γιά τή μεταβολή αύτή τῆς τάσεως αύξηθηκε σέ ποσοστό 150%.

Οι άντιστάσεις V.D.R. χρησιμοποιούνται ώς σταθεροποιήτριες σέ κυκλώματα πού άπαιτείται δρισμένη σταθερή τάση, όπως κυκλώματα ηλεκτρονόμων, όργανων άκριβείας, τροφοτήσεως νημάτων λυχνιῶν σέ δέκτες τηλεοράσεως κλπ.

21.2 Έργασία.

1) Νά συνδεσμολογηθεῖ τό κύκλωμα τοῦ σχήματος 21.2.

2) Ή τάση τῆς πηγῆς νά αύξανεται μέ τή ρυθμιστική άντισταση, ώστε ή τάση στά άκρα της V.D.R. νά πάρει διαδοχικά τίς τιμές πού είναι σημειωμένες στόν Πίνακα 21.2.1. Γιά κάθε τιμή τῆς τάσεως στά άκρα της V.D.R. νά μετρηθεῖ τό ρεῦμα στό κύκλωμα καί οι τιμές νά γραφούν στή σχετική στήλη τοῦ ίδιου πίνακα.



Σχ. 21.2.

ΠΙΝΑΚΑΣ 21.2.1.

V (V.D.R.) (βόλτ)	I (μικροαμπέρ ή μιλλιαμπέρ)	R (ώμ)
1		
2		
3		
4		
5		
6		
7		
8		
9		
10		

3) Γιά κάθε ζεῦγος τιμῶν τάσεως - ρεύματος νά ύπολογισθεῖ ή τιμή τῆς άντιστάσεως V.D.R. καί νά συμπληρωθεῖ ή τρίτη στήλη τοῦ πίνακα.

4) Άπο τίς παραπάνω τιμές νά χαραχθεῖ σέ σχετικό διάγραμμα ή καμπύλη μεταβολής τῆς άντιστάσεως, όταν μεταβάλλεται ή τάση στά ἄκρα της. Οι τιμές τῆς τάσεως νά είναι στόν δριζόντιο ἄξονα καί τῆς άντιστάσεως στόν κατακόρυφο.

ΑΣΚΗΣΗ 22

Η ΔΙΟΔΟΣ ZENER

22.1 Γενικά.

Στήν ασκηση 13 έξετάσθηκαν τά χαρακτηριστικά τῶν κρυσταλλοδιόδων. Ἡ δίοδος Zener εἶναι καί αὐτή κρυσταλλοδιόδος μέ βασικές ομως διαφορές στά χαρακτηριστικά της άπο τίς κοινές κρυσταλλοδιόδους. Τό σύμβολο της φαίνεται στό σχήμα 22.1a.



Σχ. 22.1a.

Όταν εἶναι πολωμένη κατά τήν όρθη φορά, ἡ δίοδος Zener εἶναι σάν κλειστός διακόπτης καί τό ρεῦμα της αύξανεται ὅταν αύξανεται ἡ τάση στά ἄκρα της. Όταν πολωθεῖ κατά τήν ἀνάστροφη φορά, παρουσιάζει ἔνα μικρό ἀντίθετο ρεῦμα (λίγα μΑ) πού παραμένει σταθερό παρά τήν αύξηση τῆς πολώσεως. Τό φαινόμενο αὐτό συνεχίζεται μέχρι ἡ πόλωση κατά τήν ἀνάστροφη φορά νά φθάσει κάποια τιμή, πού τή λέμε τάση Zener, δόποτε γιά μία μικρή μεταβολή αὐτῆς τῆς τάσεως ἔχομε μεγάλη μεταβολή στό ρεῦμα.

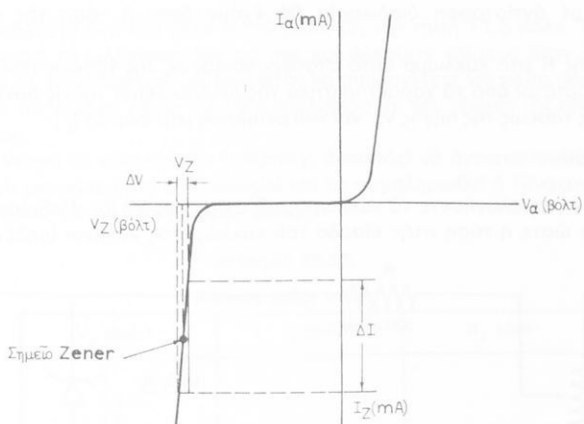
Οσο τό ρεῦμα περιορίζεται στά ὄρια κανονικῆς λειτουργίας ἀπό τά στοιχεῖα τοῦ κυκλώματος, ἡ Zener ἐργάζεται κανονικά. Ἀν ἐλαττωθεῖ ἡ ἀνάστροφη τάση πολώσεως, τότε ἡ δίοδος Zener ἐπανέρχεται στά ἀρχικά χαρακτηριστικά καί διαρρέεται ἀπό τό μικρό, σχεδόν σταθερό ρεῦμα, πού σέ μερικά βιβλία ἀναφέρεται ως «ρεῦμα κόρου». Τό φαινόμενο αὐτό μπορεῖ νά ἐπαναλαμβάνεται συνέχεια γιά νά ἔξυπηρετήσει τή λειτουργία ειδικῶν κυκλωμάτων. Ἡ χαρακτηριστική καμπύλη τῆς διόδου Zener φαίνεται στό σχήμα 22.1b.

Ἡ δίοδος Zener χρησιμοποιεῖται κυρίως σέ κυκλώματα σταθεροποιήσεως τάσεως. Ἐνα τέτοιο κύκλωμα φαίνεται στό σχήμα 22.1g.

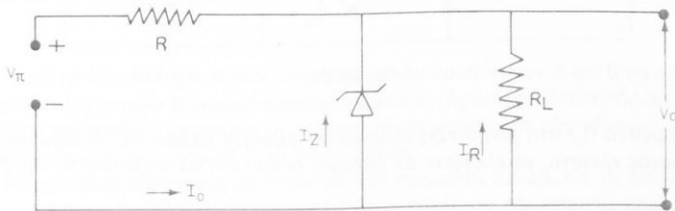
Στό κύκλωμα αὐτό ἡ Zener συνδέεται παράλληλα μέ τό φορτίο R_L καί διατηρεῖ σταθερή τήν τάση V_σ στήν έξοδο μέ τήν έξης διαδικασία:

a) "Όταν ἡ τάση τῆς πηγῆς V_π εἶναι σταθερή καί μεταβάλλεται τό ρεῦμα στό φορτίο ἔξι αἵτιας μεταβολῆς τῆς ἀντιστάσεως τοῦ φορτίου, τά ρεύματα στό κύκλωμα δίνονται ἀπό τίς σχέσεις:

$$I_Z = \frac{V_\sigma}{R_Z}, \quad I_L = \frac{V_\sigma}{R_L} \quad \text{καί} \quad I_0 = I_Z + I_L$$



Σχ. 22.1β.



Σχ. 22.1γ.

Η τάση στά άκρα της R είναι ίση με $V_R = I_0 \cdot R$ και ή τάση της πηγής $V_\pi = V_R + V_\sigma$.

Άν τώρα ή V_π παραμένει σταθερή, και θέλομε νά έχομε σταθερή V_σ στήν έξοδο, πρέπει καί ή V_R νά παραμένει σταθερή. Αύτό δημως έξαρτάται από τά ρεύματα I_Z και I_L . Άρα μία δίοδος Zener μέ τάση Zener $V_Z = V_\sigma$ παράλληλα στό φορτίο R_L . Θά άντιδρα στίς μεταβολές του όλικο ρεύματος, άφού γιά όποιαδήποτε μικρή μεταβολή της τάσεως στά άκρα της (άκρα και της R_L) θά έπιφέρει άποτομη μεταβολή στό I_Z , μέ άποτέλεσμα τό όλικο ρεύμα I_0 νά παραμένει σταθερό μέ άντιστοιχη σταθερότητα τής τάσεως στήν έξοδο.

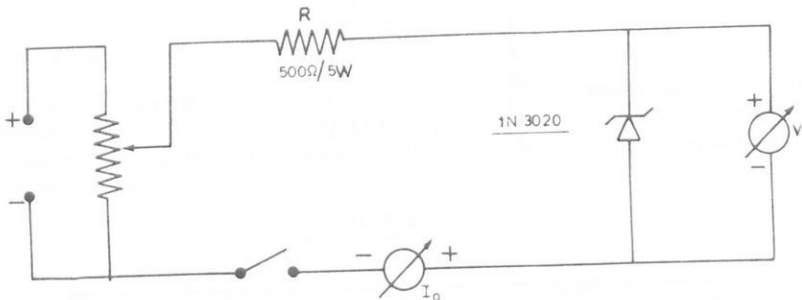
β) Στό ίδιο κύκλωμα (σχ. 22.1γ), μπορεῖ νά έχομε σταθερό φορτίο R_L άλλα νά μεταβάλλεται ή τάση της πηγής V_π . Τότε, σέ μία αύξηση π.χ. της V_π , παρουσιάζεται αύξηση της V_σ , άλλα τότε έχομε άμεσως αύξηση του ρεύματος I_Z στή δίοδο Zener και κατ' έπεκταση αύξηση τού δίοδου ρεύματος I_0 , μέ συνέπεια τήν αύξηση τής πτώσεως τάσεως στήν R και τή σταθεροποίηση τής V_σ στήν έξοδο. Άναλογο

φαινόμενο μέ αντίστροφη διαδικασία θά έχουμε όταν ή τάση της πηγής V_p έλαπτωθεί.

Η τιμή της R στό κύκλωμα αύτό σταθεροποιήσεως της τάσεως παίζει βασικό ρόλο καί έχαρτατάί από τά χαρακτηριστικά της διόδου Zener καί τίς συνθήκες μεταβολών της τάσεως της πηγής V_p καί τοῦ ρεύματος στό φορτίο I_L .

22.2 Έργασία.

- 1) Νά συνδεσμολογήσετε τό κύκλωμα τοῦ σχήματος 22.2a. Ρυθμίσετε τό ποτενσιόμετρο ώστε ή τάση στήν είσοδο τοῦ κυκλώματος νά είναι (μηδέν) 0 βόλτ.



Σχ. 22.2a.

Μέ τό δργανο (I_0) στή μικρότερη κλίμακα σέ **συνεχές ρεύμα** καί τό διακόπτη τοῦ κυκλώματος κλειστό, νά έλεγχετε ἀν ύπαρχει ρεύμα καί νά σημειώσετε τήν ένδειξη.

2) Μέ προσοχή αύξήσετε τήν τάση της πηγής, ώστε στά ἄκρα της Zener νά έχετε 1 βόλτ. Μετρήσετε τότε τό ρεύμα I_0 .

3) Αύξήσετε τήν τάση στά ἄκρα της Zener μέ τή σειρά πού είναι σημειωμένη στόν Πίνακα 22.2.1 καί λάβετε τίς ἀντίστοιχες τιμές ρεύματος.

ΠΙΝΑΚΑΣ 22.2.1.

Άναστροφη πόλωση

V_p (βόλτ)	I_Z (mA)	R_Z (ωμ)
0		
1		
4		
6		
7		
8		
8,5		
9		
9,1		
9,2		

Νά συνεχίσετε άνα ένα δέκατο τοῦ βόλτ, ώς τήν τάση 11,5 βόλτ. Έλέγχετε σέ κάθε μέτρηση τό μιλλιαμπερόμετρό σας και άλλάζετε κλίμακα όταν χρειάζεται.

4) Από τίς τιμές τάσεως και ρεύματος νά ύπολογίσετε για κάθε περίπτωση τήν τιμή τῆς R τῆς διόδου Zener και νά συμπληρώσετε τόν πίνακα τῆς προηγούμενης έρωτήσεως.

5) Μέ νεκρό τό κύκλωμα (διακόπητς άνοικτός) νά άντιστραφεῖ ή δίοδος. Νά γίνουν πάλι μετρήσεις και ύπολογισμοί και νά συμπληρωθεῖ διόδος. Πίνακας 22.2.2. (Τιμές μετρήσεις μέ πόλωση δρθῆς φοράς).

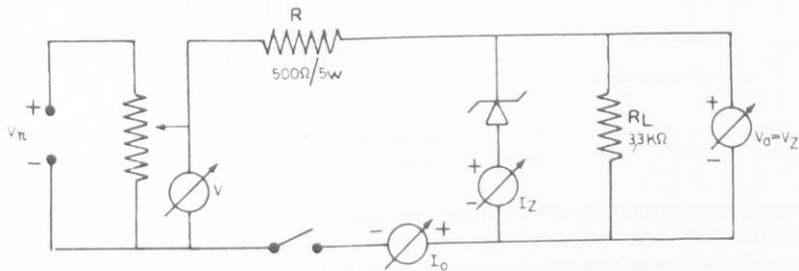
ΠΙΝΑΚΑΣ 22.2.2.

Πόλωση δρθῆς φοράς

V_{π} (βόλτ)	I_Z (mA)	R_Z (μ m)
0		
0,1		
0,2		
0,3		
0,4		
0,5		
0,52		
0,54		
0,56		

6) Άπο τά άποτελέσματα τῶν μετρήσεων τῶν έρωτήσεων 3 και 5 νά χαραχθεῖ σέ σχετικό διάγραμμα ή χαρακτηριστική καμπύλη τῆς διόδου Zener τῆς άσκησεως (καμπύλη μεταβολῶν ρεύματος σέ σχέση μέ τίς μεταβολές τῆς τάσεως). Νά σημειωθεῖ πάνω στήν καμπύλη ή περιοχή Zener.

7) Νά συνδεσμολογήσετε τό κύκλωμα τοῦ σχήματος 22.2β. Μέ τίς δόηγίες πού δόθηκαν γιά τίς μετρήσεις στό προηγούμενο κύκλωμα τῆς πρώτης έρωτήσεως, πραγματοποιήσετε μετρήσεις ώς έξης: "Όταν τό ρεύμα I_Z φθάσει τά 10 μιλλιαμπέρ, σημειώσετε τίς τάσεις V_{π} , V_Z και τό ρεύμα I_0 . Στή συνέχεια, παρακολουθήσετε και



Σχ. 22.2β.

σημειώσετε τήν περιοχή μεταβολῆς τῆς τάσεως τῆς πηγῆς, κατά τήν όποια ή τάση στά άκρα τοῦ φορτίου παραμένει σταθερή. Γιά τήν περίπτωση τῆς σταθεροποιή-

σεως λάβετε τίς τιμές I_Z και I_0 . Τά αποτελέσματα τῶν μετρήσεων νά γραφοῦν στόν Πίνακα 22.2.3.

ΠΙΝΑΚΑΣ 22.2.3.

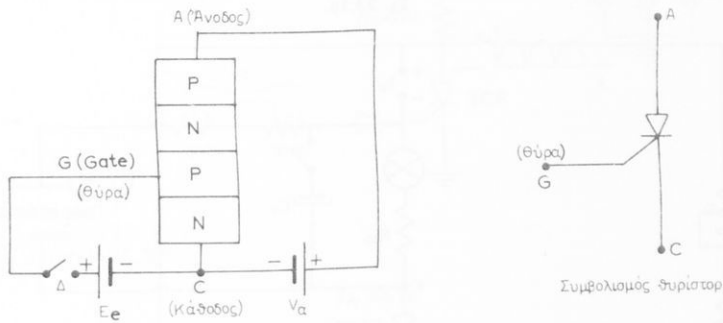
"Ορια σχετικής σταθερότητας	V_Z (βόλτ)	I_Z (mA)	I_0 (mA)	V_{π} (βόλτ)
		10		
V_{π} (μεγ.)				
V_{π} (έλαχ.)				

ΑΣΚΗΣΗ 23

ΘΥΡΙΣΤΟΡ «SCR» (SILICON CONTROLLED RECTIFIER)

23.1 Γενικά.

Τό Θυρίστορ (σχ. 23.1α) είναι ένας ήμιαγωγός μέ τέσσερεις ζῶνες P - N - P - N και συμπεριφέρεται όπως κάι ή λυχνία Θύρατρον. Ή Θύρατρον είναι μία τρίοδος ή τέτροδος λυχνία πού περιέχει άτμούς υδραργύρου ή άλλου άερίου. "Όταν ή τάση μεταξύ άνόδου - καθόδου, σέ μία τέτοια λυχνία, φθάσει σέ κάποια δρισμένη τιμή τό άεριο ιονίζει. Μετά τόν ιονισμό τό πλέγμα παύει νά δρᾶ όπως στίς λυχνίες κενού και ή λειτουργία τῆς Θύρατρον είναι έντελως διαφορετική. Οι λυχνίες Θύρατρον χρησιμοποιήθηκαν στό παρελθόν σέ ρυθμιζόμενες άνορθωτικές διατάξεις και στήν παραγωγή πριονωτών κυμάνσεων γιά τούς παλμογράφους και τήν τηλεόραση. Σήμερα έχουν άντικατασταθεῖ άπό τά Θυρίστορ.

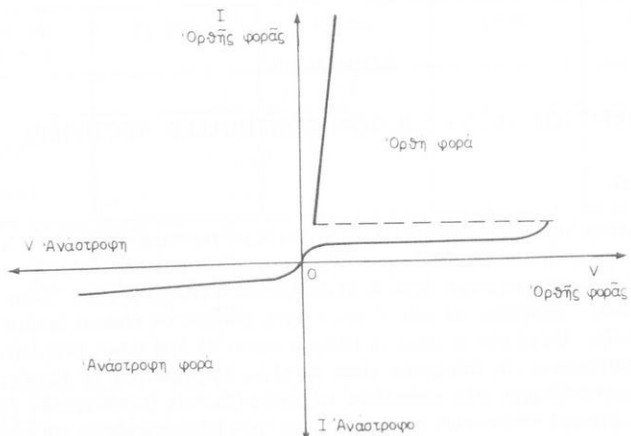


Σχ. 23.1α.
Κύκλωμα SCR με συνεχή δυναμικά.

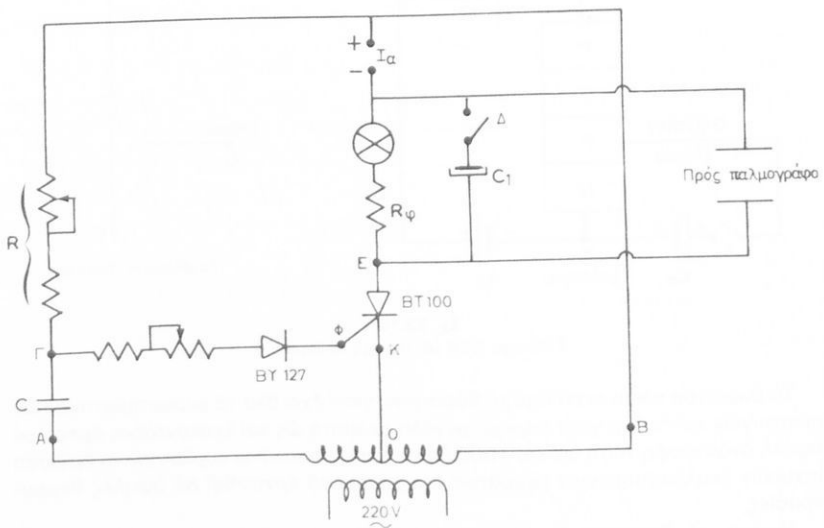
Τό Θυρίστορ πλεονεκτεῖ άπό τή Θύρατρον, γιατί έχει δλα τά χαρακτηριστικά τῶν ήμιαγωγῶν και άκόμα γιατί παρέχει μεγάλα ρεύματα ώς και έκατοντάδες άμπερ μέ ύψηλή άναστροφή τάση ώς και 1000 βόλτ. Χρησιμοποιεῖται κυρίως γιά άνόρθωση ίσχυρῶν έναλλασσομένων ρευμάτων και μπορεῖ νά έργασθεῖ σέ ύψηλές θερμοκρασίες.

Άκομη, τό Θυρίστορ διαφέρει άπό τή Θύρατρον στό ρεύμα πλέγματος I_G (ρεύμα άγωγιμότητας - μερικά μιλλιαμπέρ) πού άπαιτεῖται γιά τήν έναρξη λειτουργίας του (σχ. 23.1β).

Στό κύκλωμα τοῦ σχήματος 23.1γ ἐπιτυγχάνεται ρυθμιζόμενη ἀνόρθωση τῆς ἑναλλασσόμενης τάσεως μὲν θυρίστορ. Σέ αὐτό προκαλεῖται μεταβολή τῆς φάσεως στήν τάση ἀνόδου - καθόδου (V_{OB}) σέ σχέση μὲ τὴν τάση θύρας (Gate) - καθόδου (V_{OD}) ἀπό 0° - 180° ἀνάλογα μὲ τὴν τάση στήν ἀντίσταση R (σχ. 23.1δ).

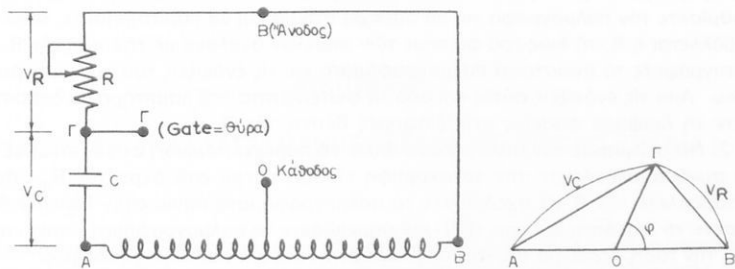


Σχ. 23.1β.

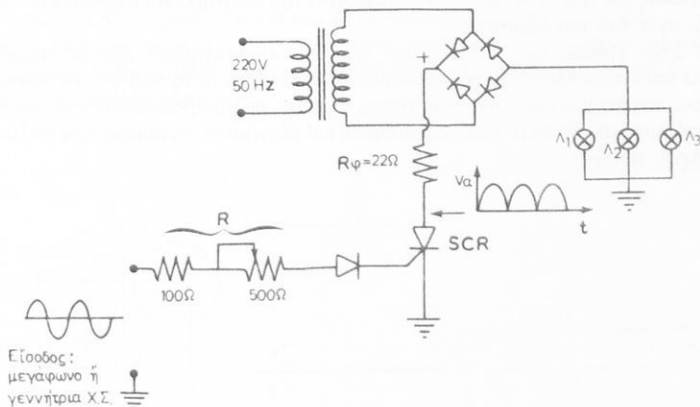


Σχ. 23.1γ.
Ἀνόρθωση μὲ θυρίστορ.

Στό κύκλωμα τοῦ σχήματος 23.1γ ἀν συνδεσμολογηθεῖ σέ σειρά μέ τήν ἀντί-
σταση R_ϕ ἔνας κινητήρας συνεχοῦς ἔχομε τή δυνατότητα νά ρυθμίζομε τήν
ταχύτητα περιστροφῆς του.



Σχ. 23.1δ.



Σχ. 23.1ε.

Mία ἀπλή ἐφαρμογή τοῦ Θυρίστορ (SCR) σέ κύκλωμα ἀνορθώσεως φαίνεται στό σχῆμα 23.1ε. Στό κύκλωμα αὐτό ρυθμίζεται ἡ ἔνταση τῶν λαμπτήρων Λ_1 , Λ_2 καὶ ἡ V_3 ἀνάλογα μέ τό πλάτος τῆς τάσεως εἰσόδου στή Θύρα τοῦ SCR. Λόγω τῆς γέφυρας ἀνορθώσεως στό Θυρίστορ μεταβάλλεται ἡ τάση ἀνόδου μέ συχνότητα 100 Hz. Ἀν ἡ τάση Χ.Σ. στήν εἰσοδο τοῦ Θυρίστορ εἶναι θετική καὶ ἔχει πλάτος ī-κανό νά προκαλέσει ρεῦμα ἀγωγιμότητας στό Θυρίστορ καὶ ταυτόχρονα ἡ στιγμιάτική τιμή τοῦ παλμοῦ τάσεως ἀνόδου εἶναι μεγαλύτερη ἀπό 5 βόλτ, τό Θυρίστορ ἄγει καὶ οἱ λαμπτήρες ἀνάβουν.

Τό Θυρίστορ σταματᾶ τήν ἀγωγιμότητα καὶ οἱ λαμπτήρες σβήνουν, δταν ἡ τιμή τῆς τάσεως ἀνόδου ἐλαττώνεται λόγω παλμοῦ τάσεως τῆς γέφυρας (φωτορυθμικά κυκλώματα).

23.2 Έργασία.

1) Στό κύκλωμα τοῦ σχήματος 23.1γ νά συνδέσετε σέ σειρά μέ τήν R_Φ μιλλι-
αμπερόμετρο στήν κλίμακα τῶν 50 μιλλιαμπέρ, διακόπτης Δ ἐκτός (OFF). Νά
ρυθμίσετε τόν παλμογράφο γιά νά παρέχει στίγμα καί νά παρατηρήσετε, ὅταν με-
ταβάλλεται ἡ R , τή διαφορά φάσεως τῶν σημείων ἀνάλογα μέ τήν τιμή τῆς R . Νά
καταγράψετε τά ἀντίστοιχα παλμογραφήματα καί τίς ἐνδείξεις τοῦ μιλλιαμπερομέ-
τρου. Ἀπό τίς ἐνδείξεις αὐτές καί ἀπό τή φωτεινότητα τοῦ λαμπτήρα νά διαπιστώ-
σετε τή διαφορά φάσεως στίς διάφορες θέσεις τῆς R .

2) Νά ρυθμίσετε τόν παλμογράφο ὥστε νά παρέχει σάρωση στή θέση LINE καί
νά συνδεσμολογήσετε τήν κατακόρυφη εἰσόδο αὐτοῦ στά ἄκρα τῆς R_Φ . Ἀφοῦ
μεταβάλλεται τήν R νά σχεδιάσετε τά παλμογραφήματα πάνω στήν R_Φ . Τοποθε-
τήσετε τό διακόπτη Δ ἐντός (ON) καί σημειώσετε τά παλμογραφήματα πάνω στήν
 R_Φ , τήν τάση στά ἄκρα της καί τό I_a καί ἔξηγήσετε ὅλες αὐτές τίς ἐνδείξεις.

3) Στή διάταξη μέ τόν κινητήρα συνδεσμολογήσετε σέ σειρά μιλλιαμπερόμετρο
συνεχοῦς καί τροφοδοτήσετε τή διάταξη (διακόπτης Δ ἐκτός). Μεταβάλλοντες τήν
 R σημειώσετε τό ἐλάχιστο ρεῦμα λειτουργίας του. Σημειώσετε τήν ἐπίδραση τῆς
μεταβολῆς τῆς R στό ρεῦμα καί τήν ταχύτητα τοῦ κινητήρα καί σχολιάσετε τήν ὅλη
λειτουργία τοῦ κυκλώματος.

4) Στήν εἰσόδο τοῦ ρυθμιστικοῦ (σχ. 23.1ε) ὀδηγήσετε χαμηλή συχνότητα
20 Hz καί τροφοδοτήσετε τό κύκλωμα. Ἀφοῦ αύξησετε τό πλάτος τῆς τάσεως εί-
σοδου, παρατηρήσετε τούς λαμπτήρες. Λάβετε παλμογραφήματα στά ἄκρα τῶν
λαμπτήρων καί τοῦ θυρίστορ. Σχεδιάσετε καί ἔξηγήσετε τή μορφή τῶν παλμογρα-
φημάτων αὐτῶν.

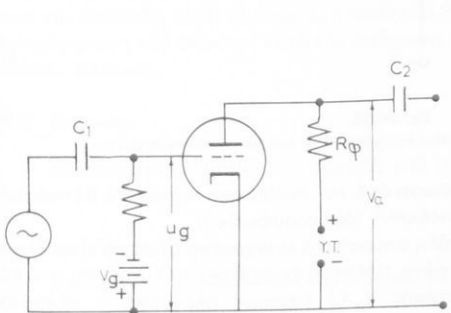
ΑΣΚΗΣΗ 24

ΕΝΙΣΧΥΣΗ ΕΝΑΛΛΑΣΣΟΜΕΝΗΣ ΤΑΣΕΩΣ ΜΕ ΤΡΙΟΔΟ ΛΥΧΝΙΑ

24.1 Γενικά.

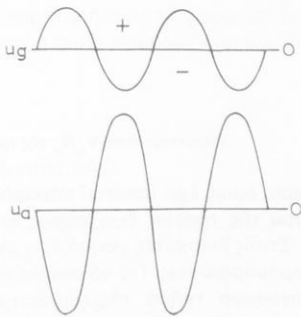
Στούς ένισχυτές έναλλασσόμενης τάσεως μέ τρίοδο λυχνία, ёνα σήμα μεταβαλλόμενης τάσεως είσαγεται στό πλέγμα τής ένισχυτρίας λυχνίας. Τό σήμα αύτό ένισχύεται και έμφανιζεται μέ μεγαλύτερο πλάτος στήν ανόδο τής λυχνίας.

Στό σχήμα 24.1α παριστάνεται τό κύκλωμα μιᾶς τριόδου πού έχει συνδεσμολογηθεῖ σάν ένισχυτρία. Μία έναλλασσόμενη τάση U_g οδηγεῖται άπό τόν πυκνωτή C_1 , στό πλέγμα τής λυχνίας. Τό πλέγμα είναι πολωμένο, δηλαδή έχει ένα συνεχές δυναμικό, άπό τήν πηγή V_g μέ τέτοια πολικότητα, ώστε νά είναι άρνητικό σέ σχέση μέ τήν κάθοδο. Μία άντισταση φόρτου έχει συνδεθεῖ μεταξύ άνόδου και τοῦ σύν τής ύψηλῆς τάσεως (Y.T.).



Σχ. 24.1α.

Τρίοδος ένισχυτρία έναλλασσόμενης τάσεως.



Σχ. 24.1β.

Κυματομορφές τάσεων πλέγματος και άνόδου τής ένισχυτρίας λυχνίας.

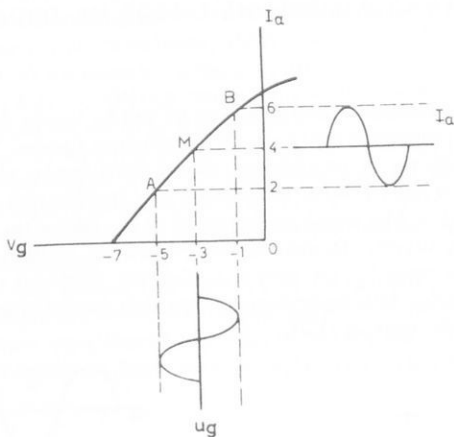
Οι μεταβολές τής τάσεως άνόδου U_a (ώς πρός τήν κάθοδο) είναι άποτέλεσμα τῶν μεταβολῶν τής τάσεως πλέγματος U_g . Στό σχήμα 24.1β φαίνεται τό ήμιτονικό σήμα είσόδου U_g πού δρᾶ στό πλέγμα καί ή κυματομορφή τοῦ σήματος U_a πού έμφανιζεται στήν ανόδο. Ή τάση αύτή U_a είναι ένισχυμένη καί, χωρίς καμιά παραμόρφωση, άναπαραγωγή τοῦ σήματος είσόδου U_g . Δηλαδή ή λυχνία ένισχυσε τό σήμα είσόδου (μεγάλωσε τό πλάτος του) χωρίς νά τό παραμορφώσει.

Άντιθετα στό σχήμα 24.1γ φαίνεται ή κυματομορφή μιᾶς άνοδικής τάσεως. ή



Σχ. 24.1γ.

Κυματομορφή παραμορφωμένου σήματος άνόδου.



Σχ. 24.1δ.

Χαρακτηριστική V_g/I_a τῆς τριόδου ένισχυτρίας μέ άνοδική άντισταση φόρτου.

όποια όμως έχει ύποστει παραμόρφωση άπο τήν ένισχυτρία λυχνία. Τό θετικό ήμίκυμα τῆς τάσεως έχει κάπως ίσοπεδωθεῖ (άποκορυφωθεῖ).

Στούς ένισχυτές γενικά έχει μεγάλη σημασία τό ένισχυμένο σήμα νά είναι δίχως παραμορφώσεις. Γιά νά συμβαίνει αύτό, πρέπει ή ένισχυτρία νά έργαζεται στό εύθυγραμμο τμήμα τῆς χαρακτηριστικής V_g/I_a (τάσεως πλέγματος - ρεύματος άνόδου). Στό σχήμα 24.1δ τό εύθυγραμμο τμήμα τῆς χαρακτηριστικής V_g/I_a είναι τό AB. Τό σημείο M είναι τό μέσον του. "Ας ύποθέσουμε όπι ή τάση V_g παίρνει τίς τιμές $V_g = -5, -3, -1$ βόλτ και όπι οι άντιστοιχεις τιμές τοῦ άνοδικοῦ ρεύματος είναι $I_a = 2, 4, 6$ μιλλιαμπέρ. (Οι τιμές αύτές άντιστοιχούν στά σημεῖα A, M και B).

Γιά νά έχομε ένισχυση χωρίς παραμορφώσεις, ή λυχνία έχει πολωθεῖ στά -3 βόλτ, δηλαδή στό μέσον τοῦ εύθυγραμμου τμήματος. Τό σημείο αύτό πολώσεως άνομάζεται **σημείο λειτουργίας** τῆς λυχνίας. Τό μέγιστο πλάτος U_g πού μπορεῖ νά είσαχθεῖ στό πλέγμα τῆς λυχνίας, και τό όποιο μπορεῖ νά ένισχυθεῖ δίχως νά παραμορφωθεῖ, είναι ένα σήμα 4 βόλτ από κορυφή σέ κορυφή (P.P. - Peak to Peak). "Ετσι, ἀν τό σημείο λειτουργίας είναι στά -3 βόλτ, τό δυναμικό τοῦ πλέγματος τῆς λυχνίας θά μεταβάλλεται μεταξύ τῶν δρίων -5 και -1 βόλτ. Τότε τό ρεύμα άνόδου I_a θά μεταβάλλεται άκολουθώντας πιστά τίς μεταβολές τοῦ σήματος πού

έφαρμόζεται στό πλέγμα. Τό ίδιο θά μεταβάλλεται και ή άνοδική τάση που προκύπτει από τίς μεταβολές τοῦ άνοδικοῦ ρεύματος.

Άν το σήμα είσοδου U_g έχει πλάτος μεγαλύτερο από 4 βόλτ (άπο κορυφή σε κορυφή), π.χ. άν είναι 10 βόλτ P - P, τότε θά έχομε παραμόρφωση τόσο στή θετική όσο και στήν άρνητική έναλλαγή τοῦ σήματος είσοδου. Κατά τήν άρνητική έναλλαγή ή λυχνία θά δόδηγηθεῖ σέ αποκοπή (στό σχήμα 24.1δ φαίνεται οτι ή τάση αποκοπῆς τής λυχνίας είναι — 7 βόλτ). Κατά δέ τή θετική έναλλαγή τό ρεῦμα άνόδου θά ύποστει παραμόρφωση πρός τά δεξιά τοῦ σημείου B.

Έπομένως είναι φανερό οτι οι συνθήκες λειτουργίας μιᾶς ένισχυτρίας λυχνίας πρέπει νά έχουν ρυθμισθεῖ κατάλληλα, ώστε νά ένισχύονται χωρίς παραμορφώσεις τά σήματα είσοδου.

Ή άπολαβή A (Amplification) μιᾶς βαθμίδας ένισχύσεως έναλλασσόμενης τάσεως μπορεῖ νά ύπολογισθεῖ πειραματικά, άν συγκρίνομε τήν έναλλασσόμενη τάση έξόδου U_a μέ τήν έναλλασσόμενη τάση U_g .

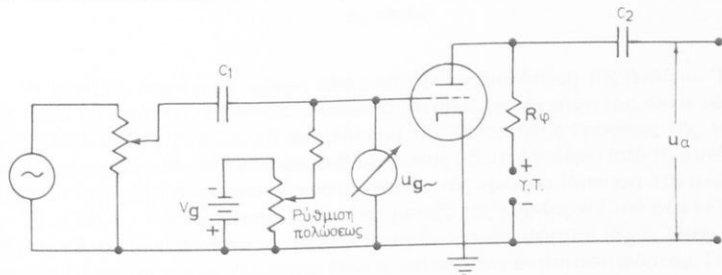
$$\text{Ή άπολαβή δίνεται από τή σχέση: } A = \frac{U_a}{U_g}$$

Συνεπώς ή άπολαβή βρίσκεται, οταν μετρήσομε τίς έναλλασσόμενες τάσεις είσοδου και έξόδου και άντικαταστήσομε τίς τιμές που θά προκύψουν από τίς μετρήσεις στήν παραπάνω σχέση.

Στήν έργασία πού άκολουθει θά παρατηρήσομε πρώτα στόν παλμογράφο τά άποτελέσματα τής ένισχύσεως ένός σήματος από μία τρίοδο λυχνία και θά μετρήσομε τήν άπολαβή τής βαθμίδας. Στή συνέχεια θά παρατηρήσομε πώς προκαλεῖται παραμόρφωση τοῦ σήματος κατά τήν ένισχυση, γιατί ή ένισχυτρία δέν έχει τήν κατάλληλη πόλωση.

24.2 Έργασία.

- Nά συνδεσμολογηθεῖ τό κύκλωμα τοῦ σχήματος 24.2.



Σχ. 24.2.

- Τροφοδοτήσετε τό νήμα τής λυχνίας (6,3 βόλτ), τό πλέγμα της (- 4 βόλτ) και τήν άνοδο της (+ 200 βόλτ).
- Ρυθμίσετε τήν τάση τοῦ έναλλασσόμενου (ήμιτονικοῦ) σήματος είσοδου U_g

ώστε νά είναι 3 βόλτ από κορυφή σέ κορυφή μεταξύ πλέγματος - καθόδου (περίπου 1,1 βόλτ ένεργα). Όδηγήσετε αύτό τό σήμα εισόδου σέ παλμογράφο και άφου τό παρατηρήσετε σχεδιάσετε τή μορφή του.

4) Μετρήσετε τήν έναλλασσόμενη τάση U_a . Όδηγήσετέ την στόν παλμογράφο και σχεδιάσετε τήν κυματομορφή της (άπό κορυφή σέ κορυφή).

5) Νά κρατήσετε συνέχεια τήν τάση εισόδου στά 3 βόλτ $P - P$ και νά μεταβάλλετε τήν πόλωση τής λυχνίας σέ τιμές γύρω από τά – 4 βόλτ. Γιά κάθε τιμή πολώσεως παρατηρείτε στόν παλμογράφο και μετρήστε τήν τάση έξόδου U_a σημειώνοντας τήν τιμή της άπό κορυφή σέ κορυφή. Σημειώσετε ἄν ή τάση έξόδου είναι ή δέν είναι παραμορφωμένη.

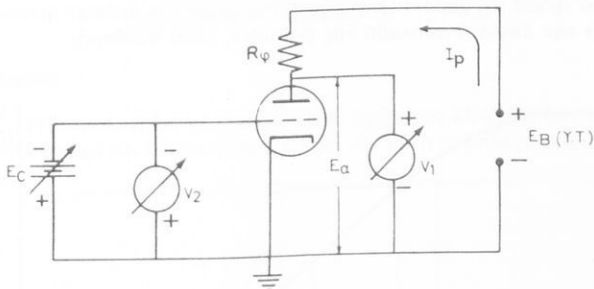
6) Νά ύπολογίσετε τήν άπολαβή τής βαθμίδας.

ΑΣΚΗΣΗ 25

ΕΝΙΣΧΥΣΗ ΣΥΝΕΧΟΥΣ ΤΑΣΕΩΣ ΜΕ ΤΡΙΟΔΟ ΛΥΧΝΙΑ (Ένισχυτρια άμέσου συζεύξεως)

25.1 Γενικά.

Ένισχυτής συνεχούς τάσεως (ή ένισχυτής άμέσου συζεύξεως) όνομάζεται ή ένισχυτική βαθμίδα, ή όποια μετατρέπει μικρές μεταβολές συνεχούς τάσεως σε μεταβολές συνεχούς τάσεως μέ μεγαλύτερο πλάτος. Τό κύκλωμα τού σχήματος 25.1a δείχνει ένα τέτοιο ένισχυτή.



Σχ. 25.1a.

Η πηγή E_B παρέχει σταθερή τάση γιά τήν τροφοδότηση τής άνόδου. Η πηγή E_C , πού τροφοδοτεῖ τό πλέγμα, μπορεῖ νά μεταβάλλει τήν τάση της, ώστε νά φανεῖ στό κύκλωμα τής άνόδου τό άποτέλεσμα τής ένισχυτικής δράσεως τής λυχνίας. "Όπως είναι φανερό, τό κύκλωμα τού σχήματος 25.1a διαφέρει άπο τή συνδεσμολογία γιά τή λήψη στατικών χαρακτηριστικών τής τριόδου (άσκηση 10) στό έξης:

Τό κύκλωμα τού σχήματος 25.1a έχει μεταξύ τής λυχνίας καί τού σύν (+) τής ύψηλής τάσεως μιά άντισταση, τή λεγόμενη άντισταση φόρτου (R_ϕ). "Όταν άπο τή λυχνία διέρχεται ρεύμα, διέρχεται έπισης καί άπο τήν άντισταση φόρτου. Γιά κάθε τιμή τής τάσεως πλέγματος, άντιστοιχεῖ μιά τιμή τής έντάσεως τού ρεύματος άνόδου τής λυχνίας, τό όποιο δημιουργεῖ μεταξύ άνόδου - καθόδου μία πτώση τάσεως, έστω τήν E_a .

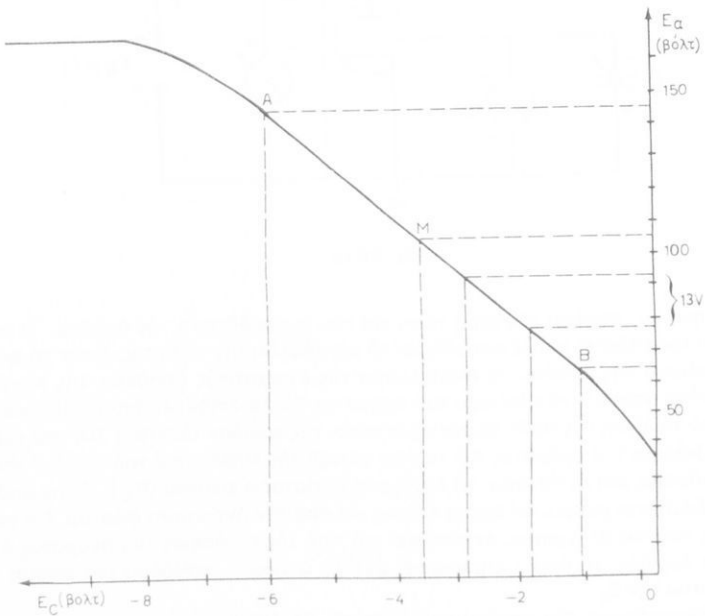
"Άν έφαρμόσουμε τόν κανόνα τού Κίρκωφ, θά έχομε:

$$E_B = E_a + R_\phi \cdot I_a \quad \text{Άρα:} \quad E_a = E_B - R_\phi \cdot I_a$$

Δηλαδή, ή μεταξύ άνόδου - καθόδου τάσης είναι ίση μέ τήν τάση της πηγῆς μείον τήν πτώση τάσεως στήν αντίσταση φόρτου.

"Αν ή τάση πλέγματος E_C γίνει περισσότερο άρνητική, τό ρεῦμα διά μέσου τής λυχνίας θά έλαπτωθεί καί ή πτώση τάσεως στήν αντίσταση φόρτου (R_F , I_a) θά έλαπτωθεί έπίσης." Αρα ή τάση E_a θά αύξηθεί (ή τάση της πηγῆς E_B θεωρεῖται σταθερή). Έπισης, άν ή τάση E_C γίνει λιγότερο άρνητική, τό I_a θά αύξηθεί καί ή E_a θά έλαπτωθεί. Τό πόσο μεταβληθεί ή E_a , για μιά δρισμένη μεταβολή τής τάσεως πλέγματος E_C , έξαρται από τίς χαρακτηριστικές τής λυχνίας, από τό μέγεθος τής R_F καί από τήν τάση της πηγῆς E_B . Πάντως ένας ένισχυτής μέ συνεχή τάση πρέπει νά έχει **σταθερή άπολαβή σε δόλη τήν περιοχή τής λειτουργίας του**. Δηλαδή, μία μεταβολή τής τάσεως πλέγματος κατά 1 βόλτα θά πρέπει νά προκαλεῖ τήν ίδια μεταβολή τής άνοδικής τάσεως, είτε ή μεταβολή τάσεως πλέγματος γίνεται μεταξύ -3 ώς -4 βόλτα, είτε γίνεται μεταξύ -1 ώς -2 βόλτα.

Αύτή ή περιοχή τής λυχνίας πού λειτουργεί γραμμικά, μπορεῖ νά καθορισθεῖ πειραματικά γιά μιά δρισμένη ένισχυτική βαθμίδα, άν χαράξομε τή χαρακτηριστική καμπύλη πού δείχνει τίς μεταβολές τής άνοδικής τάσεως E_a όταν έχομε μεταβολές τού πλέγματος E_C μέ τήν αντίσταση φόρτου R_F συνδεμένη στό κύκλωμα. Τό εύθυγραμμο τμήμα τής χαρακτηριστικής αύτης δριζει τήν περιοχή λειτουργίας τής λυχνίας, γιά τήν όποια ή άπολαβή τής βαθμίδας είναι **σταθερή**.



Σχ. 25.1β.

Στό σχήμα 25.1β φαίνεται ή καμπύλη E_a/E_C μιᾶς ένισχυτικῆς βαθμίδας μέσυνεχή τάση καί μέ αντίσταση φόρτου R_ϕ . "Όπως φαίνεται, τό τμῆμα AB εἶναι άρκετά εύθυγραμμο καί ή λυχνία λειτουργεῖ σέ αὐτή τήν περιοχή. Ή άπολαβή τῆς βαθμίδας εἶναι σταθερή. Στήν περιοχή τοῦ τμήματος AB π.χ., παρατηροῦμε ότι μεταβολή τῆς τάσεως πλέγματος κατά 1 βόλτη προκαλεῖ μεταβολή τῆς τάσεως άνόδου κατά 13 βόλτη. Παρατηροῦμε άκομή ότι οι τάσεις πλέγματος στά σημεία A, M καί B εἶναι άντιστοιχα $-6,1, -3,7$ καί $-1,2$ βόλτη, οι δέ άντιστοιχες τάσεις άνόδου εἶναι $+145, +105$ καί $+65$ βόλτη. Ή άπολαβή ένός ένισχυτῆς μέ συνεχή τάση (όταν λειτουργεῖ στό εύθυγραμμο τμῆμα τῆς χαρακτηριστικῆς του δίνεται άπό τή σχέση:

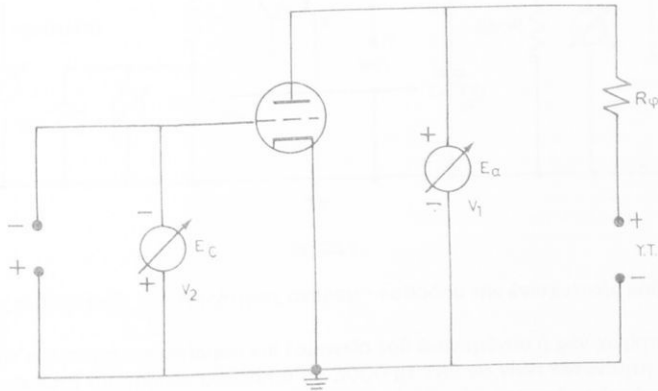
$$\text{Άπολαβή } A = \frac{\Delta E_a}{\Delta E_C}$$

οπου ΔE_a εἶναι ή μεταβολή τῆς άνοδικῆς τάσεως πού άντιστοιχεῖ στή μεταβολή τῆς τάσεως πλέγματος ΔE_C . Ή άπολαβή τῆς βαθμίδας στό παράδειγμά μας, σύμφωνα μέ τήν καμπύλη τοῦ σχήματος 25.1β εἶναι:

$$\text{Άπολαβή } A = \frac{13}{1} = 13$$

25.2 Έργασία.

1) Νά συνδεσμολογηθεῖ τό κύκλωμα τοῦ σχήματος 25.2. Τά όργανα V_1 καί V_2 μετράνε άντιστοιχα τήν άνοδική τάση E_a καί τήν τάση τοῦ πλέγματος E_C .



Σχ. 25.2.

2) Νά έφαρμοσθεῖ τάση θερμάνσεως ($6,3$ βόλτη) καί ύψηλή τάση στήν άνοδο. Ή τάση τῆς πηγῆς νά παραμένει σταθερή στά 200 βόλτη σέ ολη τή διάρκεια τῶν μετρήσεων.

3) Νά δοθοῦν στό πλέγμα οι τιμές τάσεως E_C τοῦ Πίνακα 25.2.1 καί νά μετρηθοῦν οι τιμές τάσεως άνόδου πού έχομε κάθε φορά.

ΠΙΝΑΚΑΣ 25.2.1.

E_C	0	-1	-2	-3	-4	-5	κ.ο.κ.	ως	-20 βόλτ.
E_a									

- 4) Νά χαραχθεῖ ἡ καμπύλη E_a / E_C , όπως στό σχῆμα 25.1β.
 5) Νά προσδιορισθοῦν τά σημεῖα A καί B πού όριζουν τό εύθυγραμμο τμῆμα τῆς καμπύλης, καθώς καί τό σημεῖο M (μέσον). Σημειώσετε στόν Πίνακα 25.2.2 τίς ἀντίστοιχες τιμές τῶν τάσεων E_a / E_C .

ΠΙΝΑΚΑΣ 25.2.2.

	Σημεῖο A	Σημεῖο B	Σημεῖο M
E_C			
E_a			

- 6) Νά ύπολογισθεῖ ἡ ἀπολαβή τῆς ἐνισχυτικῆς βαθμίδας.
-

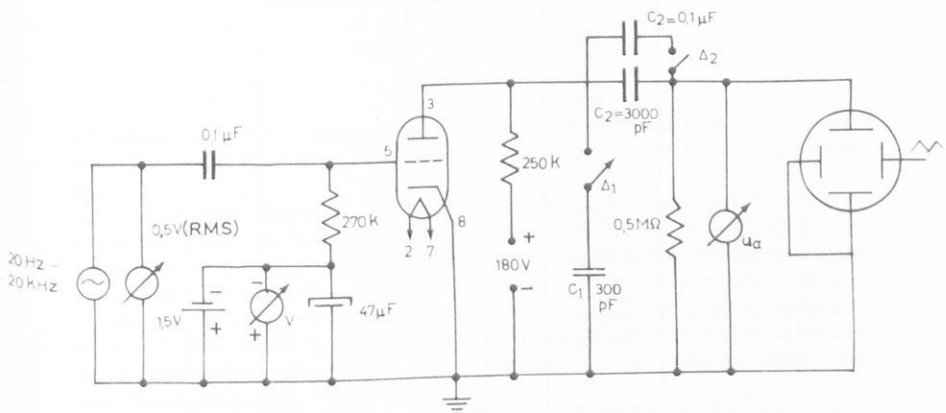
ΑΣΚΗΣΗ 26

ΚΑΜΠΥΛΗ ΑΠΟΚΡΙΣΕΩΣ ΕΝΙΣΧΥΤΗ ΧΑΜΗΛΩΝ ΣΥΧΝΟΤΗΤΩΝ
(Έπιδραση χωρητικοτήτων τής βαθμίδας)

26.1 Γενικά.

Στήν ασκηση αύτή μελετάται ή έπιδραση των χωρητικοτήτων μιᾶς βαθμίδας ένισχυσεως τάσεως χαμηλών συχνοτήτων (Χ.Σ.) στήν ένισχυτική ίκανότητα τής βαθμίδας.

Συγκεκριμένα έχετάξεται ή έπιδραση των έξης χωρητικοτήτων:
α) Τής χωρητικότητας του πυκνωτή συζεύξεως C_2 (σχ. 26.1).



Σχ. 26.1.

β) Τής παρασιτικής χωρητικότητας άνόδου - καθόδου τής ένισχυτικής βαθμίδας (λυχνίας).

Γιά τήν καλύτερη παρατήρηση και έρμηνεία τοῦ φαινομένου ή μέν χωρητικότητα τοῦ πυκνωτή συζεύξεως μειώνεται σέ 3000 pF (γιά νά γίνει κατανοητή ή έπιδρασή της στήν άποκοπή τῶν χαμηλών συχνοτήτων τής περιοχῆς τῶν άκουστικῶν), ή δέ παρασιτική χωρητικότητα έπαυξάνεται μέ τήν προσθήκη τοῦ πυκνωτή C_1 μέ χωρητικότητα 300 pF (γιά νά γίνει κατανοητή ή έπιδρασή της στήν άποκοπή τῶν ύψηλών συχνοτήτων τής περιοχῆς τῶν άκουστικῶν).

26.2 Έργασία.

- Nά πραγματοποιηθεῖ τό κύκλωμα τοῦ σχήματος 26.1. Nά τροφοδοτηθεῖ ή

βαθμίδα μέ τάση θερμάνσεως 6,3 βόλτ, ύψηλή τάση 180 βόλτ και τάση πολώσεως -1,5 βόλτ. „Ολες οι τάσεις αύτές νά κρατηθοῦν σταθερές σέ δλη τή διάρκεια τῶν μετρήσεων.

2) Μέ τόν διακόπτη Δ_1 άνοικτό και τόν Δ_2 κλειστό (κανονικές τιμές χωρητικοτήτων) νά διοθεῖ σήμα άπό γεννήτρια X.S. και νά διεγέρθει ή βαθμίδα μέ τίς συχνότητες πού είναι στόν Πίνακα 26.2.1. Ή τάση διεγέρσεως νά κρατηθεῖ σταθερή στίς άλλαγές τῶν συχνοτήτων περίου στήν τιμή τοῦ 0,5 βόλτ και νά μετρηθοῦν γιά κάθε συχνότητα οι τιμές τῆς τάσεως έξόδου. Νά συμπληρωθεῖ ή στήλη U_a τοῦ πίνακα. Από τίς τιμές τῆς U_a και τή σταθερή τάση διεγέρσεως νά υπολογισθεῖ, γιά κάθε συχνότητα, ή άπολαβή A και νά συμπληρωθεῖ ή τρίτη στήλη τοῦ πίνακα.

ΠΙΝΑΚΑΣ 26.2.1.

Σταθερή τάση διεγέρσεως = 0,5 βόλτ

F (Hz)	U_a (βόλτ)	$A = U_a/U_g$
20		
50		
100		
200		
500		
800		
1000		
1500		
2000		
3000		
4000		
5000		
8000		
10000		
15000		
20000		
.....		
.....		

3) Μέ τούς διακόπτες Δ_1 και Δ_2 άνοικτούς, νά έπαναληφθεῖ δλη ή προηγούμενη έργασία.

4) Μέ τούς διακόπτες Δ_1 και Δ_2 κλειστούς, νά έπαναληφθεῖ γιά τρίτη φορά ή δια έργασία.

5) Νά χαραχθοῦν σέ σχετικό διάγραμμα, μέ λογαριθμική κλίμακα συχνοτήτων, οι τρεῖς καμπύλες τῆς ένισχύσεως πού κάνει ή βαθμίδα στίς διάφορες συχνότητες.

6) Από τή μορφή πού παρουσιάζουν οι καμπύλες, νά γίνουν παρατηρήσεις γιά τήν έπιδραση τῶν χωρητικοτήτων στήν άπολαβή κατά τίς διάφορες συχνότητες.

ΕΥΘΕΙΑ ΦΟΡΤΟΥ

(Χάραξη και πειραματική έπαλγθευση των δεδομένων της)

27.1 Γενικά.

Ο συντελεστής ένισχυσεως (τό μ) μιᾶς λυχνίας όριζει τήν ίκανότητα τῆς λυχνίας νά ένισχύει μιά μεταβολή τάσεως πού δρᾶ στό πλέγμα της. Ο συντελεστής αύτός έχει μιά σταθερή τιμή, πού ύπολογίζεται από τίς στατικές χαρακτηριστικές τῆς λυχνίας:

$$\mu = \frac{\Delta V_a}{\Delta V_g}, \quad \text{γιά } I_a \text{ σταθερό}$$

καὶ δείχνει τά βόλτ, πού πρέπει νά μεταβληθεῖ ἡ τάση ἀνόδου, ὅταν ἡ τάση πλέγματος έχει μεταβληθεῖ κατά 1 βόλτ, ὥστε τό ἀνοδικό ρεῦμα νά παραμείνει σταθερό.

Ἄν π.χ. ἡ τάση πλέγματος μιᾶς λυχνίας γίνει ἀρνητικότερη κατά 1 βόλτ (ὅπότε τό ἀνοδικό ρεῦμα θά ἐλαττωθεῖ), γιά νά ἐπανέλθει ἡ ἔνταση τοῦ ρεύματος στήν προηγούμενη τιμή της, θά πρέπει νά μεταβληθεῖ (νά αὔξηθεῖ) ἡ τάση ἀνόδου μέ δρισμένα βόλτ. Ό ἀριθμός αύτός τῶν βόλτ ἰσοῦται μέ τό συντελεστή ένισχυσεως μ τῆς λυχνίας. Ἄν πάλι ἡ τάση πλέγματος γίνει θετικότερη (δηλαδή, λιγότερο ἀρνητική) κατά 1 βόλτ (ὅπότε τό ἀνοδικό ρεῦμα θά αὔξηθεῖ), γιά νά ἐπανέλθει ἡ ἔνταση τοῦ ρεύματος στήν προηγούμενη τιμή της, θά πρέπει νά ἐλαττωθεῖ ἡ ἀνοδική τάση στόν ίδιο ἀριθμό βόλτ.

Στόν ύπολογισμό αύτό τοῦ συντελεστῆ ένισχυσεως ή λυχνία εἶναι μόνη, χωρίς ἀντίσταση φόρτου. "Οταν δημοσιεύεται μιά τέτοια ἀντίσταση στήν ἀνοδό της, θά πρέπει νά χαράξομε τήν εύθεια φόρτου γιά νά διαπιστώσομε τήν **ένισχυτική ίκανότητα τῆς ὅλης βαθμίδας, τήν ἀπολαβή**.

Ἄν π.χ. μιά λυχνία έχει $\mu = 40$, ὅταν συνδεθεῖ μέ ἀντίσταση φόρτου, θά δώσει μιά ἀπολαβή τῆς ὅλης βαθμίδας μικρότερη ἀπό 40, περίπου 28 ὥς 30, μέ δημαλές συνθήκες λειτουργίας. Ή εύθεια φόρτου μιᾶς βαθμίδας χαράσσεται πάνω στό συνθήκης τῶν χαρακτηριστικῶν ρεύματος ἀνόδου - τάσεως ἀνόδου τῆς λυχνίας. Γιά σημῆνος τῶν χαρακτηριστικῶν ρεύματος ἀνόδου - τάσεως ἀνόδου τῆς λυχνίας. Γιά σημῆνος τῶν χαρακτηριστικῶν ρεύματος ἀνόδου - τάσεως ἀνόδου τῆς λυχνίας.

α) "Ἄν σέ μιά δημιένη ἀντίσταση φόρτου R καὶ μέ δημιένη τάση πηγῆς E ή λυχνία βρισκόταν σέ ἀποκοπή, τί ρεῦμα θά κυκλοφορούσε στό κύκλωμα; Ποιά ἡ λυχνία δημιούργησε τήν εύθεια φόρτου R στό κύκλωμα; Ποιά στά ἀκρα τῆς λυχνίας καὶ ποιά στά ἀκρα τῆς λυχνίας στό κύκλωμα;

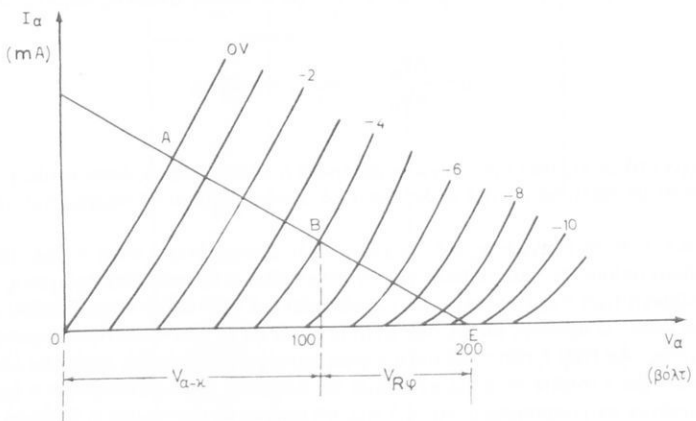
Αφοῦ ή λυχνία βρίσκεται σέ αποκοπή, ή ένταση τοῦ ρεύματος εἶναι μηδέν, ή τάση άνόδου - καθόδου ισοῦται μέ τήν τάση τῆς πηγῆς Ε καὶ ή τάση στά ἄκρα τῆς άντιστάσεως φόρτου εἶναι μηδέν.

β) Ποιά θά μπορούσε νά εἶναι ή μέγιστη ένταση τοῦ ρεύματος άνόδου;

Αφοῦ ή άντισταση φόρτου εἶναι σταθερή, ένω ή άντισταση τῆς λυχνίας εἶναι μεταβλητή, ή ἐλάχιστη δυνατή άντισταση τῆς λυχνίας εἶναι μηδέν καί συνεπῶς ή μέγιστη ένταση τοῦ άνοδικοῦ ρεύματος βρίσκεται ἀν διαιρεθεῖ ή τάση τῆς πηγῆς Ε μέ τήν άντισταση φόρτου R_Φ :

$$I_{\mu E Y} = \frac{E}{R_\Phi}$$

Η πτώση τάσεως μεταξύ άνόδου - καθόδου τῆς λυχνίας εἶναι σέ αὐτή τήν περίπτωση μηδέν. Τά ένδιαμεσα σημεία μεταξύ τῶν δύο αὐτῶν ἀκραίων περιπτώσεων ἀποτελοῦν τήν εύθεια φόρτου.



Σχ. 27.1.

V_{a-k} = τάση άνόδου - καθόδου. V_{R_Φ} = τάση στά ἄκρα τῆς άντιστάσεως φόρτου.

Στό σχῆμα 27.1 φαίνεται ἔνα σμήνος χαρακτηριστικῶν τριόδου λυχνίας, πάνω στίς οποίες ἔχει χαραχθεῖ μιά εύθεια φόρτου. Γιά τή χάραξή της ἀκολουθοῦμε τήν ἔξης πορεία:

1) Γιά κάθε τύπο λυχνίας ὁ κατασκευαστής παρέχει τό σμήνος τῶν χαρακτηριστικῶν τάσεως άνόδου - ρεύματος άνόδου. Πάνω στόν ἀξονα τάσεως τοῦ σμήνους αὐτοῦ ὅριζομε ἔνα σημεῖο πού άντιστοιχεῖ στήν τάση Ε τῆς πηγῆς τροφοδοτήσεως. Τό σημεῖο αὐτό άνταποκρίνεται στήν ἀκραία περίπτωση τῆς ἀποκοπῆς τῆς λυχνίας.

2) Στόν ἀξονα τοῦ ρεύματος ὅριζομε ἔνα ἄλλο σημεῖο, πού άντιστοιχεῖ στή μέγιστη ένταση τοῦ ρεύματος:

$$I_{\mu\gamma} = \frac{E}{R_\Phi}$$

3) Συνδέομε μέ εύθεια γραμμή τά δύο σημεία. Αύτή είναι ή εύθεια φόρτου. 'Από τήν εύθεια αύτή μποροῦν νά έξαχθοῦν τά άκολουθα χρήσιμα συμπεράσματα (σχ. 27.1):

Τό μέσον τῆς εύθειας είναι (περίπου) τό σημείο B, στό όποιο τέμνει τή χαρακτηριστική γιά τάση πλέγματος -4 βόλτ. (Θεωροῦμε τό σχήμα τῆς εύθειας από 0 βόλτ μέχρι τήν τάση άποκοπῆς, δηλαδή από A ώς E). 'Η κάθετος πού ἄγεται από τό B στόν δριζόντιο ξένονα, τόν τέμνει περίπου στά 108 βόλτ. Αύτό σημαίνει ότι, ὅταν τό πλέγμα έχει τάση -4 βόλτ, ή τάση μεταξύ άνόδου - καθόδου τῆς λυχνίας θά είναι 108 βόλτ. 'Η τάση πού ἀπομένει (200 - 108 = 92 βόλτ) θά είναι ή διαφορά δυναμικοῦ πού άναπτύσσεται στήν άντίσταση φόρτου.

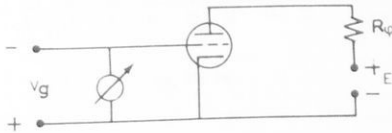
Παρατηροῦμε άκομη ότι ή καμπύλη πού άντιστοιχεῖ σέ τάση πλέγματος -10 βόλτ, συναντά τήν εύθεια φόρτου σέ σημείο πού άντιστοιχεῖ σέ μηδενικό άνοδικό ρεύμα. Δηλαδή, ή τάση άποκοπῆς τῆς λυχνίας, γιά τάση E = 200 βόλτ, είναι -10 βόλτ. 'Η άντίσταση φόρτου δέν μπορεῖ νά ρυθμίσει τήν τάση άποκοπῆς, γιατί αύτή έξαρτάται μόνο από τήν τάση E, ὅπως φαίνεται από τή γραφική κατασκευή (σχ. 27.1). "Αν ή τάση E γινόταν 100 βόλτ, ή τάση άποκοπῆς θά ήταν -4 βόλτ, ὅπως φαίνεται στό ίδιο σχήμα.

'Η άπολαβή A τῆς βαθμίδας μπορεῖ νά ύπολογισθεῖ ἀν θεωρήσομε μιά μεταβολή τῆς τάσεως πλέγματος U_g κατά μῆκος τῆς εύθειας φόρτου καί φέρομε άντιστοιχη μεταβολή τῆς τάσεως άνόδου - καθόδου U_a . 'Η άποβολή, τότε, θά ίσούται:

$$A = \frac{U_a}{U_g}$$

27.2 Έργασία.

1) Συνδεσμολογήσετε τό κύκλωμα τοῦ σχήματος 27.2. Δυναμικά καί R_Φ θά δοθοῦν από τό Έργαστήριο, γιατί θά είναι άνάλογα μέ τή λυχνία πού χρησιμοποιεῖται.



Σχ. 27.2.

2) Ρυθμίσετε τήν τάση τοῦ πλέγματος σέ 0 βόλτ (ἐνώσετε τό πλέγμα μέ τήν κάθοδο). Μετρήσετε μέ ήλεκτρονικό βολτόμετρο συνεχοῦς τήν τάση άνόδου - καθόδου. Σημειώσετε τό άποτέλεσμα καί τήν πολικότητα τοῦ όργανου. 'Επίσης μετρήσετε τήν τάση στά άκρα τῆς R_Φ . Σημειώσετε άποτέλεσμα καί πολικότητα.

3) Συνδέσετε τό ήλεκτρονικό βολτόμετρο στά άκρα τῆς λυχνίας. Ρυθμίσετε άρ-

γά τό δυναμικό τοῦ πλέγματος σέ τιμές συνεχῶς άρνητικότερες μέχρι πού τό ήλεκτρονικό βολτόμετρο δείξει τήν τάση τῆς πηγῆς (220 βόλτ). Πόση είναι, τότε, ή τάση άποκοπῆς καὶ ήδη ή πώση τάσεως στά ακρα τῆς R_F ;

4) Χαράξετε τήν εύθεια φόρτου στό σμήνος χαρακτηριστικών πού διαθέτει τό έργαστήριο γιά τίς ένδειξεις τής προηγούμενης έρωτήσεως. Συγκρίνετε τίς μετρήσεις τῶν έρωτήσεων 2 καὶ 3 μέ τά άποτελέσματα πού δίνει ή εύθεια φόρτου.

5) Συνδέσετε, τώρα, άντισταση φόρτου μεγαλύτερη άπό τήν προηγούμενη καὶ μεγαλύτερη τάση πηγῆς E. Ρυθμίσετε τήν τάση τοῦ πλέγματος $V_g = 0$ βόλτ. Μετρήσετε τήν τάση μεταξύ άνόδου - καθόδου καὶ τήν τάση στά ακρα τῆς R_F .

6) Αύξησετε άργα πρός τά άρνητικά τήν τάση τοῦ πλέγματος, μέχρι νά άποκοπεῖ ή λυχνία. Πόση είναι, τότε, ή τάση άνόδου - καθόδου; Πόση ή τάση στά ακρα τῆς R_F καὶ πόση ή τάση άποκοπῆς;

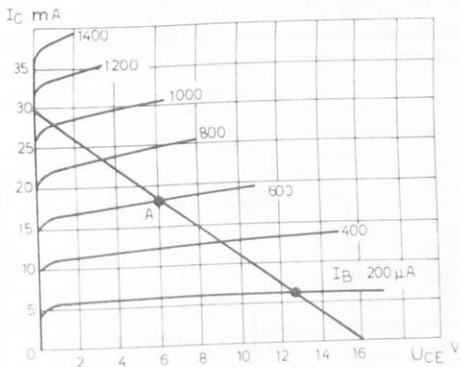
7) Χαράξετε νέα εύθεια φόρτου σέ άλλο διάγραμμα χαρακτηριστικών. Νά συγκρίνετε τίς μετρήσεις τῶν έρωτήσεων 5 καὶ 6 μέ τά άποτελέσματα πού δίνει ή εύθεια φόρτου.

ΑΣΚΗΣΗ 28

ΠΟΛΩΣΗ ΤΩΝ ΤΡΑΝΖΙΣΤΟΡ

28.1 Γενικά.

"Όπως στίς λυχνίες, έτσι και στά τρανζίστορ, γιά νά είναι σωστά ύπολογισμένη ή λειτουργία τους, πρέπει πρώτα νά χαράξομε τήν εύθεια φόρτου έπάνω στίς χαρακτηριστικές V_C / I_C (τάσεως συλλέκτη - ρεύματος συλλέκτη). Άφοῦ χαραχθεῖ ή εύθεια φόρτου, πρέπει έπάνω σέ αύτήν νά όρισθει τό σημείο λειτουργίας, πού μπορεῖ νά βρίσκεται στό μέσο περίπου τῶν γραμμικῶν τμημάτων τῶν χαρακτηριστικῶν (π.χ. σημείο A, σχ. 28.1a), ώστε νά μήν δημιουργεῖται παραμόρφωση κατά τήν ένισχυτική λειτουργία τοῦ τρανζίστορ.



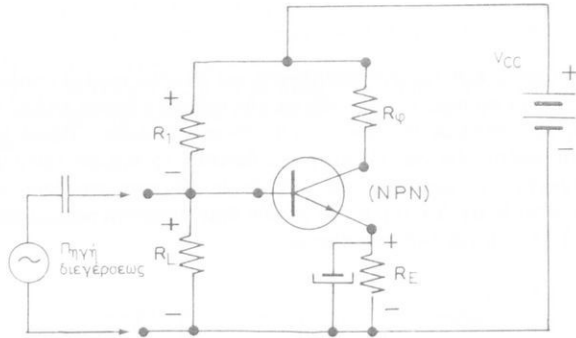
Σχ. 28.1a.

Γιά νά έξασφαλισθεῖ αύτό τό έπιθυμητό σημείο λειτουργίας, έφαρμόζεται μία κατάλληλη συνεχής τάση μεταξύ έκπομποῦ - βάσεως τοῦ τρανζίστορ πού όνομά-ζεται πόλωση.

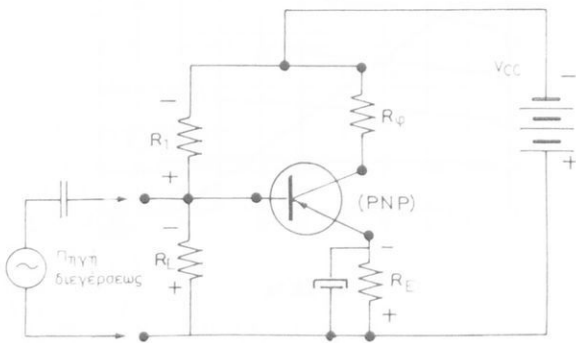
Πόλωση έπομένως είναι ή συνεχής τάση πού έφαρμόζεται μεταξύ τῆς βάσεως καὶ τοῦ έκπομποῦ ἐνός τρανζίστορ γιά νά έξασφαλισθοῦν οἱ κατάλληλες συνθῆκες λειτουργίας του.

Στίς βασικές συνδεσμολογίες τῶν τρανζίστορ ἔχομε πόλωση όρθης φορᾶς στό

κύκλωμα έκπομπού - βάσεως και πόλωση άναστροφής φοράς στό κύκλωμα συλλέκτη - βάσεως. Στά κυκλώματα τών προηγουμένων άσκήσεων στά δποια μελετή-σαμε τά τρανζίστορ, εϊδαμε ότι γιά τήν πόλωση χρησιμοποιούσαμε ξεχωριστές πηγές γιά τή βάση και τό συλλέκτη. Στήν πράξη όμως, στά κυκλώματα ένισχυτών, δεκτών και λοιπών ήλεκτρονικών συσκευών, προσπαθούμε ώστε ή τροφοδότηση τών τρανζίστορ μέ συνεχεῖς τάσεις νά έξασφαλίζεται από μόνο πηγή μέ κατάλληλα κυκλώματα κατανομῆς. Π.χ. στά κυκλώματα τών σχημάτων 28.1β και 28.1γ φαίνεται τό πώς μέ κατάλληλο διαιρέτη τάσεως (άντιστάσεις R_1 , R_2), σέ συνδυασμό και μέ τήν άντισταση έκπομπού R_E , έξασφαλίζεται ή πόλωση τοῦ τρανζίστορ από μόνο πηγή (V_{CC}).



Σχ. 28.1β.



Σχ. 28.1γ.

Στό σχήμα 28.1β τό κύκλωμα έκπομπού - βάσεως τοῦ τρανζίστορ τύπου NPN είναι πολωμένο κατά τήν όρθη φορά, δηλαδή ό βάση έχει θετικό δυναμικό σέ σχέση μέ τόν έκπομπό και τό κύκλωμα συλλέκτη - βάσεως είναι πολωμένο κατά τήν άναστροφή φορά, δηλαδή ό συλλέκτης έχει θετικό δυναμικό σέ σχέση μέ τή βάση.

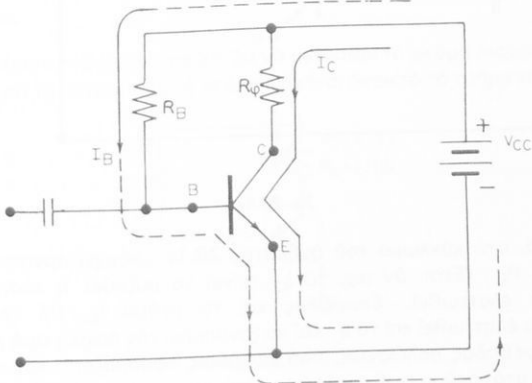
Στό σχήμα 28.1 γ τό τρανζίστορ είναι τύπου PNP καί, έπειδή ή πηγή είναι συνδεμένη με άντιθετη πολικότητα από ό,τι τό κύκλωμα τοῦ σχήματος 28.1β, οἱ πολώσεις είναι άντιθετες. Ή λειτουργία ομως τῶν δύο κυκλωμάτων καί τά άποτελέσματα είναι τά ίδια, όπως έξ αλλού ειδαμε στίς μετρήσεις στά κυκλώματα τῶν άσκήσεων 20 καὶ 21.

Στά κυκλώματα μέ τρανζίστορ παρουσιάζεται πρόβλημα σταθερότητας τῆς πολώσεως έξ αιτίας τῶν μεταβολῶν τῆς θερμοκρασίας. Λόγω μεταβολῆς τῆς θερμοκρασίας, παρουσιάζεται μεταβολή στό άντιθετο ρεῦμα διαρροής τοῦ συλλέκτη I_{CO} , πού έχει σάν συνέπεια μιά υπολογίσιμη μεταβολή στό ρεῦμα I_C τοῦ συλλέκτη. Στή θερμοκρασία δωματίου (περίπου 25° C) ή τιμή τοῦ ρεύματος I_{CO} είναι λίγα μικροαμπέρ γιά τρανζίστορ γερμανίου μικρῆς ισχύος, ένων γιά τά τρανζίστορ πυριτίου, πάλι μικρῆς ισχύος, είναι λίγα νανοαμπέρ. Έτσι, ένω στά τρανζίστορ γερμανίου τό ρεῦμα διαρροής άποτελεῖ κάποιο πρόβλημα, στά τρανζίστορ πυριτίου τό άμελοῦμε.

Ένας άλλος παράγοντας πού έπηρεάζει τή σταθερότητα στήν πόλωση τῶν τρανζίστορ είναι ή μεταβολή τῆς τάσεως μεταξύ βάσεως - έκπομπού V_{BE} έξ αιτίας πάλι τῶν μεταβολῶν τῆς θερμοκρασίας. Ή τάση V_{BE} έλαττώνεται περίπου 2,5 mV γιά κάθε βαθμό αύξησεως τῆς θερμοκρασίας, τόσο στά τρανζίστορ γερμανίου όσο καὶ στά τρανζίστορ πυριτίου (ή θερμοκρασία σέ βαθμούς Κελσίου).

Στά τρανζίστορ γερμανίου, ή έπιδραση τοῦ I_{CO} είναι πολύ μεγαλύτερη άπο έκεινη πού προκαλοῦν οἱ μεταβολές τῆς τάσεως V_{BE} , πάλι λόγω μεταβολῆς τῆς θερμοκρασίας. Γι' αὐτό σέ παρόμοια περίπτωση άγνοούμε τήν έπιδραση τῆς V_{BE} .

Στά τρανζίστορ πυριτίου ομως, τό ρεῦμα I_{CO} είναι τόσο μικρό, ώστε οἱ μεταβολές τῆς τάσεως V_{BE} , έξ αιτίας τῶν μεταβολῶν τῆς θερμοκρασίας, είναι έκεινες πού μᾶς άπασχολοῦν.



Σχ. 28.16.

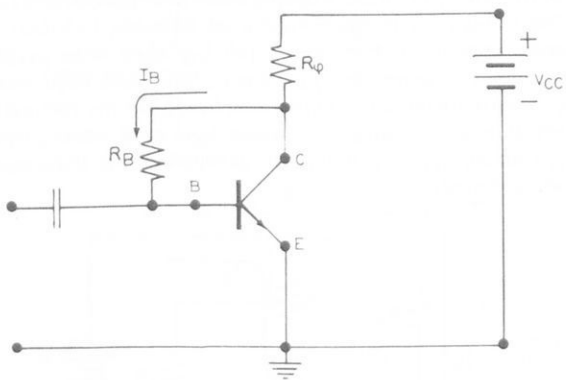
Μιά πολύ άπλή συνδεσμολογία πολώσεως φαίνεται στό κύκλωμα τοῦ σχήματος 28.1δ. Ή πηγή χρησιμεύει ή V_{CC} , ή όποια διαμέσου τῆς άντιστάσεως R_B (μεγάλης τιμῆς) καὶ τῆς άντιστάσεως έπαφής βάσεως - έκπομπού (πού έχει μικρή τιμή) παρέχει ένα μικρό ρεῦμα βάσεως I_B .

Είναι τώρα γνωστό ότι γιά τά τρανζίστορ γερμανίου ή τάση βάσεως - έκπομπού είναι περίπου: $V_{BE} = 0,15$ βόλτ, ένω γιά τά τρανζίστορ πυρίτιου: $V_{BE} = 0,65$ βόλτ. Έπομένως, (άν V_{CC} είναι π.χ. 9 βόλτ), θά έχουμε: $V_{CC} = I_B \cdot R_B + V_{BE}$ και $V_{CC} = I_B \cdot R_E$, αφού ηV_{BE} είναι τόσο μικρότερη από τήν V_{CC} ώστε μπορεῖ νά παραλειφθεῖ. Άρα καί

$$I_B = \frac{V_{CC}}{R_B}$$

Η τελευταία αύτή σχέση δείχνει ότι μέ αύτή τή μέθοδο πολώσεως τό ρεύμα βάσεως I_B είναι σταθερό, έπειδή ή πηγή V_{CC} παρέχει σταθερή τάση καί ή αντίσταση R_B είναι δχι μόνο σταθερή άλλα καί έχει καί πολύ μεγάλη τιμή.

Τό κύκλωμα τού σχήματος 28.1ε δείχνει μιά διαφορετική μέθοδο πολώσεως, στήν όποια ή αντίσταση R_B συνδέεται μεταξύ τού συλλέκτη καί τής βάσεως (καί δχι μεταξύ τού θετικού πόλου τής πηγής καί τής βάσεως, όπως στό κύκλωμα τού σχήματος 28.1δ). Μέ τή μέθοδο αύτή πολώσεως κρατεῖται σταθερό τό ρεύμα τού συλλέκτη I_C σέ κάθε μεταβολή, προερχόμενη από όποιαδήποτε αιτία.

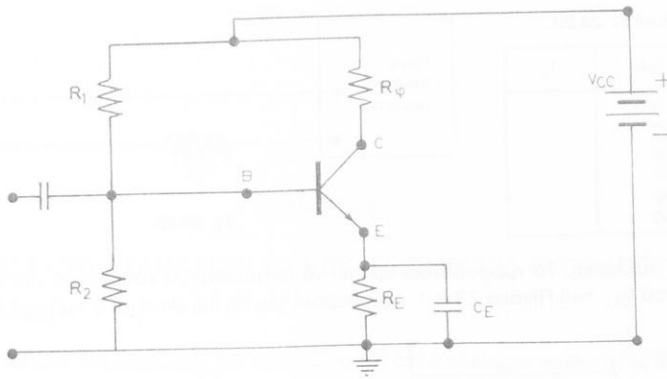


Σχ. 28.1ε.

Πραγματικά, στό κύκλωμα τού σχήματος 28.1ε ύπαρχει άρνητική άνάδραση διαμέσου τής R_B . Έτσι, άν π.χ. τό I_C τείνει νά αύξηθει, ή τάση συλλέκτη - έκπομπού θά έλαπτωθεῖ. Έπομένως καί τό ρεύμα I_B θά έλαπτωθεῖ, μέ αποτέλεσμα νά έλαπτωθεῖ καί τό I_C καί νά ξαναπάρει τήν άρχική τιμή του.

Μιά άλλη μέθοδος πολώσεως, πού συνήθως έφαρμόζεται καί παρέχει καλή σταθερότητα στό ρεύμα τού συλλέκτη φαίνεται στό κύκλωμα τού σχήματος 28.1στ.

Σέ αύτό οι άντιστάσεις R_1 , R_2 άποτελούν ένα διαιρέτη τάσεως, μέσα άπό τόν όποιο τό διερχόμενο ρεύμα έχει ένταση μεγάλη, συγκρινόμενη μέ τήν ένταση τού ρεύματος βάσεως. Έτσι τό συνεχές δυναμικό τής βάσεως κρατεῖται σταθερό. Η άντισταση έκπομπού R_E δημιουργεῖ άρνητική άνάδραση μέ συνεχές ρεύμα μέ τήν πτώση τάσεως στά άκρα της. Ή σταθερότητα τού ρεύματος τού συλλέκτη έξα-

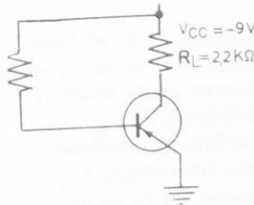


Σχ. 28.1στ.

σφαλίζεται μέ τόν άκόλουθο τρόπο: "Αν τό ρεῦμα ἐκπομποῦ I_E τείνει νά αύξηθεῖ, ή τάση τοῦ ἐκπομποῦ σέ σχέση μέ τή γῆ θά αύξηθεῖ. Καί ἐπειδή ή τάση τῆς βάσεως σέ σχέση μέ τή γῆ μένει σταθερή, ή τάση βάσεως - ἐκπομποῦ (δηλαδή ή πόλωση) θά ἐλαττωθεῖ, μέ ἀποτέλεσμα νά ἐπανέλθει στήν άρχική του τιμή τό ρεῦμα ἐκπομποῦ (καί ἐπομένως καί τό ρεῦμα τοῦ συλλέκτη)."

28.2 Έργασία.

- 1) Στό κύκλωμα τοῦ σχήματος 28.2α νά μετρηθεῖ τό ρεῦμα διαρροῆς τοῦ τρανζίστορ I_{CEO} (γιά τή μέτρηση αύτή πρέπει νά είναι άνοικτό τό τμῆμα τῆς βάσεως).

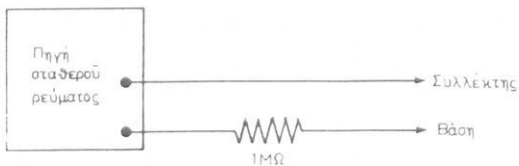


Σχ. 28.2α.

- 2) Στό ίδιο κύκλωμα νά μετρηθοῦν οι τιμές τοῦ I_C γιά μεταβολές τοῦ I_{CO} . Γιά τή μέτρηση αύτή νά συνδεθεῖ πηγή σταθεροῦ ρεύματος στά ἄκρα συλλέκτη - βάσεως (σχ. 28.2β) καί νά ἀντισταθμίζεται κάθε φορά τό I_{CO} . Τό I_{CO} κυκλοφορεῖ ἀντίθετα ἀπό τό I_B , ἀλλά τό ἀποτέλεσμα ἔξ αἰτίας τοῦ I_{CO} είναι αὔξηση τοῦ I_C . Ή συνδεσμολογία τῆς πηγῆς σταθεροῦ ρεύματος (τροφοδοτικό τοῦ ἐργαστηρίου) συμπληρώνεται μέ τήν πολικότητα τοῦ σχήματος 28.2α γιά νά ἔχομε αὔξηση στό πρέπει νά γίνει μέ τήν πολικότητα τοῦ σχήματος 28.2α γιά νά ἔχομε αὔξηση στό

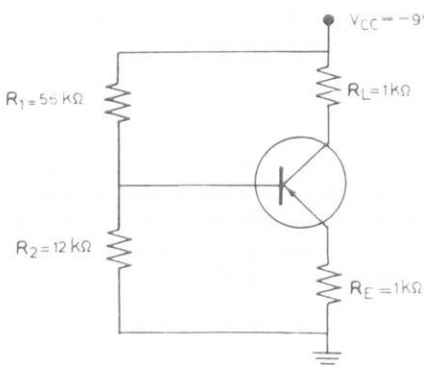
ΠΙΝΑΚΑΣ 28.2.1.

I_{CO} (μA)	βI_C
0	
10	
20	
30	
40	
50	

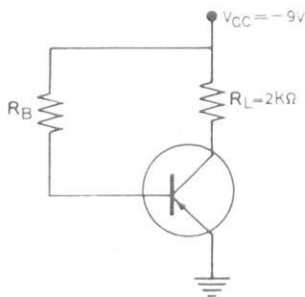


Σχ. 28.2β.

ρεύμα συλλέκτη. Τό τροφοδοτικό πρέπει νά άντισταθμίζει κάθε φορά μία από τις τιμές του I_{CO} του Πίνακα 28.2.1, ένω παράλληλα θά λαμβάνεται ή τιμή του I_{CO} .



Σχ. 28.2γ.



Σχ. 28.2δ.

3) Μέ το κύκλωμα τοῦ σχήματος 28.2γ νά έπαναληφθοῦν οἱ μετρήσεις πού έγιναν στήν προηγούμενη έρώτηση καὶ νά καταχωρηθοῦν σέ σχετικό πίνακα.

4) Στό κύκλωμα τοῦ σχήματος 28.2γ άλλάξετε τήν R_1 μὲ 3 kΩ καὶ τήν R_2 μέ 1 kΩ καὶ κάνετε τίς ίδιες μετρήσεις.

5) Σέ σχετικό διάγραμμα δείξετε τίς μεταβολές τοῦ I_C λόγω μεταβολών τοῦ I_{CO} γιά τίς πρῶτες μετρήσεις τῆς έρωτήσεως 2.

6) Στό κύκλωμα τοῦ σχήματος 28.2δ νά ύπολογισθεῖ ἡ τιμή τῆς R_B γιά $I_C = 1$ μιλλιαμπέρ καὶ $I_{CO} = 0$.

7) Τί τιμή θά λάβει τό I_C ὅταν βραχυκυκλωθεῖ ἡ R_L στό κύκλωμα τοῦ σχήματος 28.2δ;

ΑΣΚΗΣΗ 29

ΕΝΙΣΧΥΤΗΣ ΤΡΑΝΖΙΣΤΟΡ ΚΟΙΝΟΥ (ΓΕΙΩΜΕΝΟΥ) ΕΚΠΟΜΠΟΥ

29.1 Γενικά.

Τό κύκλωμα του σχήματος 29.1α είναι τό πιό άπλο κύκλωμα ένισχυτικής βαθμίδας τρανζίστορ μέ ρεύματος. Τά χαρακτηριστικά ένός τέτοιου κυκλώματος μελετήθηκαν στήν ασκηση 20 καί είναι:

Σύνθετη άντισταση είσοδου μέτρια: 500 - 5000 Ω .

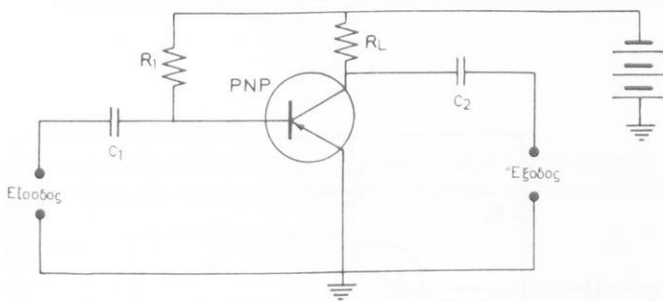
Σύνθετη άντισταση έξοδου: 500 - 50.000 Ω .

Μεγάλη άπολαβή τάσεως: 500 - 1000.

Μεγάλη άπολαβή ισχύος μέχρι και 10.000: 25 - 45 db.

Μεγάλη άπολαβή ρεύματος: 50 - 100.

180° διαφορά φάσεως μεταξύ σημάτων έξοδου - είσοδου.



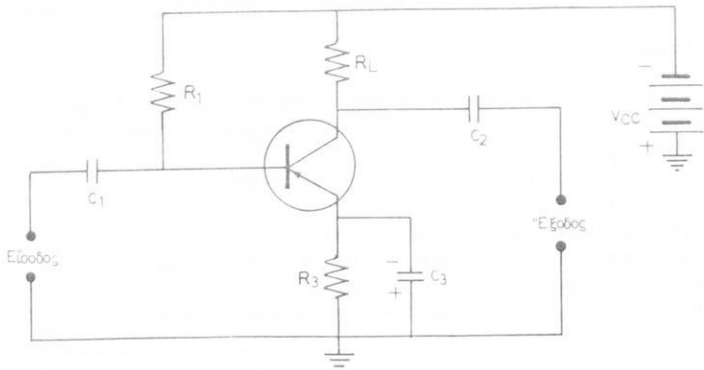
Σχ. 29.1α.

Χρησιμοποιεῖται περισσότερο γιατί, όπως σέ όλα σχέδια τά κυκλώματα μέ λυχνίες γειώνεται ή κάθοδος, στά πιο συνηθισμένα κυκλώματα μέ τρανζίστορ γειώνεται ό ύπομονός, πού είναι άντιστοιχος τής καθόδου.

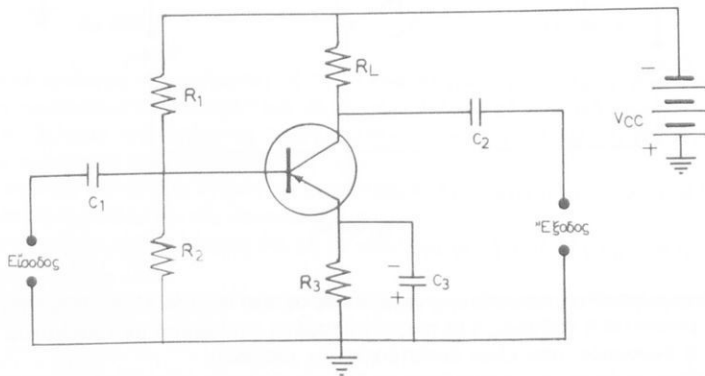
Έπισης, στήν προηγούμενη ασκηση 28, είδαμε ότι ένα τέτοιο κύκλωμα δέν παρουσιάζει σταθερότητα στήν πόλωση. Τό ύπομονο ομως κύκλωμα (σχ. 29.1β) πού γειώνει τόν ύπομονό μέσω τής άντιστάσεως R_3 , έχει σταθερότητα στήν πόλωση και χρησιμοποιεῖται στήν πράξη. Υπενθυμίζεται ότι ή άντισταση R_3 βοηθά τή σταθερότητα τής πολώσεως, πού μπορεῖ νά διαταραχθεῖ από μικρές διακυμάνσεις τού ρεύματος συλλέκτη λόγω αύξησεως τής θερμοκρασίας και άλλαγης τῶν χαρακτη-

ριστικών τού τρανζίστορ. Δηλαδή, μία αύξηση τού ρεύματος συλλέκτη προκαλεῖ πτώση τάσεως στήν R_3 . Ή τάση αύτή είναι άντιθετης πολικότητας μέ τήν πόλωση όρθης φοράς πουύ ύπαρχει στό κύκλωμα βάσεως - έκπομπού και έλαττώνει τό ρεύμα βάσεως. Στή συνέχεια, αύτό έλαττώνει τό ρεύμα συλλέκτη (τό ρεύμα συλλέκτη έλέγχεται από τό ρεύμα βάσεως και άντιστροφα). Ο πυκνωτής C_3 σταθεροποιεί τήν δήλη κατάσταση μέ τόν παραλληλισμό τής R_3 γιά τά έναλλασσόμενα ρεύματα.

Τό προηγούμενο κύκλωμα μπορεί νά βελτιωθεΐ και νά έξασφαλίσει καλύτερη σταθερότητα πολώσεως, και κατ' έπέκταση σταθερότητα στό σημείο λειτουργίας τής ένισχυτικής βαθμίδας, ἀν τροποποιηθεΐ ὡπως τό σχήμα 29.1γ.



Σχ. 29.1β.

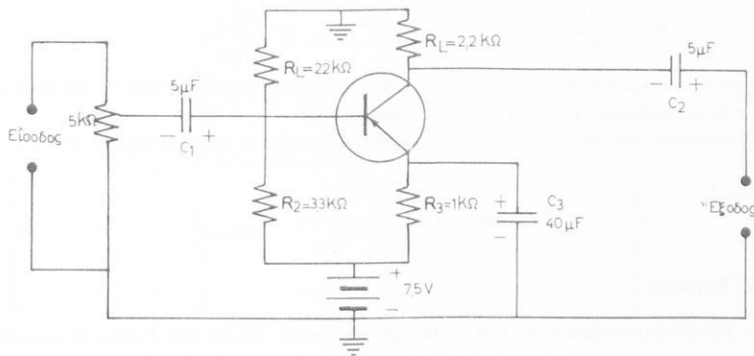


Σχ. 29.1γ.

Σέ αύτό οι άντιστάσεις R_1 και R_2 , μέ κατάλληλες τιμές, ἀποτελοῦν ένα διαιρέτη τάσεως μέ τόν όποιο (σέ συνδυασμό και μέ τήν τάση στά σκρα τής R_3) μποροῦμε νά ρυθμίσομε τή θέση τού σημείου λειτουργίας.

"Ενα άκόμη κύκλωμα ένισχυτή τρανζίστορ μέ γειωμένο έκπομπό πού χρησιμοποιείται στήν πράξη γιά ένισχυση Χ.Σ. Φαίνεται στό σχήμα 29.1δ.

Σέ αύτό: α) 'Ο πυκνωτής C_1 , είναι μεγάλος, γιατί ή άντισταση είσοδου τού τρανζίστορ είναι μικρή. Μέ τίς τιμές αύτές έχομε μικρή άπωλεια ένέργειας στό κύκλωμα είσοδου. β) Και ή C_2 είναι μεγάλος, γιατί ή άντισταση είσοδου τής έπομπης βαθμίδας είναι μικρή. γ) Οι άντιστάσεις R_1 και R_2 έχασφαλίζουν τήν κατάληλη πόλωση. δ) Ή R_3 και ή C_3 έχασφαλίζουν τή σταθερότητα τής πολώσεως από έπιδράσεις λόγω μεταβολών στό ρεύμα συλλέκτη, έξ αιτίας μεταβολών τής θερμοκρασίας και τών χαρακτηριστικών τού τρανζίστορ.



Σχ. 29.1δ.

"Η άντισταση είσοδου ένός κυκλώματος ένισχυτή μέ γειωμένο έκπομπό ύπολογίζεται ώς ο λόγος τής τάσεως είσοδου πρός τό ρεύμα είσοδου. Δηλαδή:

$$Z_{\text{εισ}} = \frac{U_{\text{εισ}}}{I_{\text{εισ}}}$$

"Αρα μποροῦμε νά τήν προσδιορίσομε μέ μετρήσεις τών δύο αύτών μεγεθών.

"Η άντισταση έξοδου $Z_{\text{εε}}$ μπορεῖ έπίσης νά ύπολογισθεῖ ώς ο λόγος τής τάσεως έξοδου πρός τό ρεύμα έξοδου. "Ένας πρακτικός τρόπος γιά τόν προσδιορισμό αύτής είναι ο άκολουθος: Μετρᾶμε πρώτα τήν τάση έξοδου στά άκρα έξοδου τού ένισχυτή χωρίς φορτίο στή συνέχεια συνδέομε στήν έξοδο ένα ροοστάτη και μέ ήλεκτρονικό βολτόμετρο παράλληλα σέ αύτόν ρυθμίζομε, μέχρι νά έπιτύχομε τή μησή τιμή τής τάσεως έξοδου πού βρήκαμε χωρίς φορτίο. "Η άντισταση τού τμήματος τού ροοστάτη, γιά τήν όποια έχομε τή μισή τιμή, είναι ή σύνθετη άντισταση έξοδου τού ένισχυτή.

"Ο ένισχυτής κοινού (γειωμένου) έκπομπού είναι ένας ένισχυτής τάσεως, ρεύματος και ίσχυος. "Η ένισχυση πού μπορεῖ νά κάνει γιά τά μεγέθη αύτά προσδιορίζεται πειραματικά μέ τόν άκολουθο τρόπο:

$$\text{a) Απολαβή τάσεως: } A = \frac{U_a}{U_{eis}}$$

Μέ γεννήτρια Χ.Σ. στήν είσοδο δίνομε σήμα 1000 Hz και παρατηροῦμε μέ παλμογράφο τό σήμα έξόδου στό κύκλωμα τού συλλέκτη, ένω αύξανομε σιγά - σιγά τήν τάση τού σήματος είσόδου. Πρίν άρχισει ή παραμόρφωση τού σήματος έξόδου, μετράμε τά δύο μεγέθη και άπο τό λόγο τους ύπολογίζομε τήν άπολαβή τάσεως.

$$\text{β) Απολαβή ισχύος: } A_{isx.} = \frac{P_a}{P_{eis}}$$

$$\text{ή } P_a = \frac{U_a^2}{R_a} \quad \text{και} \quad \text{ή } P_{eis} = \frac{U_{eis}^2}{R_{eis}}$$

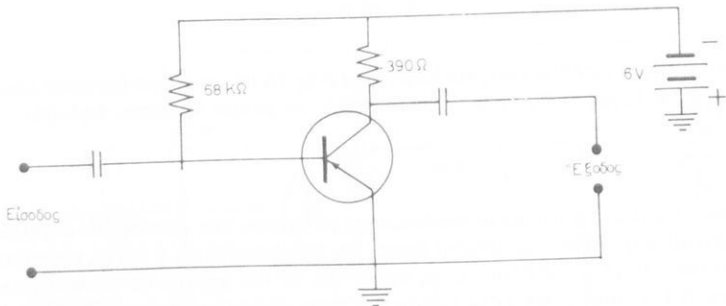
πράγμα πού σημαίνει ότι, έκτός άπο τίς τάσεις, πρέπει νά ξέρομε και τίς σύνθετες άντιστάσεις είσόδου και έξόδου τού κυκλώματος.

Τη άπολαβή ισχύος σέ db όπως συνήθως έκφραζεται, δίνεται άπο τή σχέση:

$$db = 10 \log_{10} \frac{P_a}{P_{eis}}$$

29.2 Έργασία.

- 1) Συνδεσμολογήσετε τό κύκλωμα τού σχήματος 29.2a τού ένισχυτή κοινού έκπομπού και άφού μετρήσετε τίς τάσεις στήν έξοδο και τήν είσοδο, ύπολογίσετε



Σχ. 29.2a.

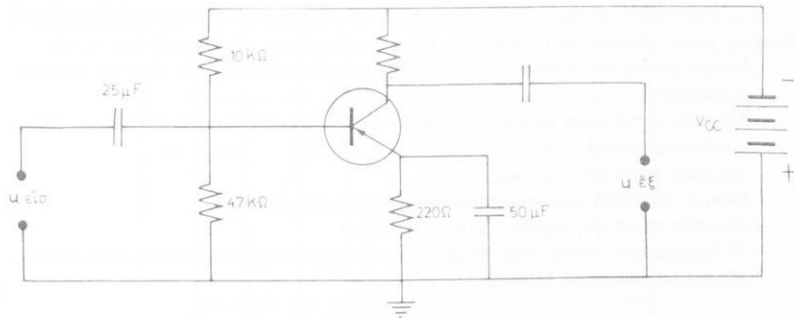
τήν ένίσχυση πού κάνει. Γιά νά πάρετε τίς μετρήσεις χρησιμοποιήσετε γεννήτρια Χ.Σ. στούς 1000 Hz και παλμογράφο στήν έξοδο. Τό σήμα τής γεννήτριας νά άρχισει άπο πολύ μικρό πλάτος και οι μετρήσεις νά γίνουν όταν ή τιμή του γίνει τέτοια, ώστε τό σήμα στήν έξοδο πού παρατηροῦμε στόν παλμογράφο, νά μήν περάσει τήν τιμή πού άρχισουν οι παραμορφώσεις.

2) Νά συνδεσμολογηθεῖ μιλλιαμπερόμετρο στό κύκλωμα τοῦ συλλέκτη (πάντοτε διακόπτομε τήν πηγή γιά τήν παρεμβολή όργάνων) καί νά μετρηθεῖ τό ρεῦμα τοῦ συλλέκτη I_C . Στό ίδιο κύκλωμα νά μετρηθοῦν άκόμη οι τάσεις V_{BE} μεταξύ βάσεως - έκπομποῦ καί V_{CE} μεταξύ συλλέκτη - έκπομποῦ.

3) Οι ίδιες μετρήσεις I_C καί V_{BE} , V_{CE} νά έπαναληφθοῦν άφοῦ πρώτα θερμανθεῖ λίγο τό τρανζίστορ. Η θέρμανση μπορεῖ νά γίνει μέ τήν προσέγγιση μιᾶς λάμπας 40 - 60 βάττη γιά λιγότερο άπό ένα λεπτό.

4) Ποῦ όφείλονται οἱ διαφορές στίς μετρήσεις τῶν ἐρωτήσεων 2 καὶ 3;

5) Νά βελτιωθεῖ τό προηγούμενο κύκλωμα καί νά πάρει τή μορφή τοῦ σχήματος 29.2β. Νά γίνουν σέ αὐτό τώρα οἱ μετρήσεις τῶν τάσεων V_{BE} , V_{CE} καί τοῦ ρεύματος I_C σέ κανονική λειτουργία καί υστερα άπό μικρή θέρμανση τοῦ τρανζίστορ.



Σχ. 29.2β.

6) Νά σχολιασθοῦν τά άποτελέσματα τῶν μετρήσεων αὐτῶν μεταξύ τους καί σέ σύγκριση μέ τίς μετρήσεις τῶν ἐρωτήσεων 2 καὶ 3.

7) Νά μετρηθεῖ ή άντίσταση έξοδου τοῦ κυκλώματος.

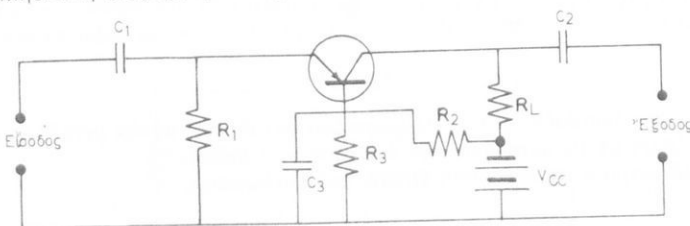
ΑΣΚΗΣΗ 30

ΕΝΙΣΧΥΤΗΣ ΤΡΑΝΖΙΣΤΟΡ ΚΟΙΝΗΣ (ΓΕΙΩΜΕΝΗΣ) ΒΑΣΕΩΣ

30.1 Γενικά.

Τά χαρακτηριστικά τοῦ κυκλώματος ἐνός τρανζίστορ σέ συνδεσμολογία κοινῆς βάσεως μελετήθηκαν στήν ασκηση 19. Ξαναθυμίζουμε τά βασικά ἀπό αύτά:

- Μικρή ἀντίσταση εισόδου $30 - 300 \Omega$ (μικρότερη ἀπό ὅλες τίς ἄλλες συνδεσμολογίες).
- Μεγάλη ἀντίσταση ἔξοδου $300 \text{ k}\Omega - 3 \text{ M}\Omega$ (μεγαλύτερη ἀπό ὅλες τίς ἄλλες συνδεσμολογίες).
- Μεγάλη ἀπολαβή τάσεως.
- Μικρή ἀπολαβή ρεύματος (μικρότερη ἀπό τή μονάδα).
- Μεγάλη ἀπολαβή ισχύος ($20 - 30 \text{ db}$).
- Η ἐνισχυμένη τάση στήν ἔξοδο είναι συμφασική μέ τήν τάσην στήν εισόδο (Μηδενική διαφορά φάσεως).



Σχ. 30.1a.

Στό κύκλωμα τοῦ σχήματος 30.1a φαίνεται συνδεσμολογία ἐνισχυτῆ τρανζίστορ μέ γειωμένη βάση, ἀπό τίς συνηθισμένες πού συναντάμε στήν πράξη.

Η πόλωση σέ αύτό τό κύκλωμα ἔχασφαλίζεται μέσω τῶν ἀντιστάσεων R_2 καὶ R_3 . Ο πυκνωτής C_3 παραλληλίζει τήν R_3 καὶ σταθεροποιεῖ τήν πόλωση. Ο C_1 δόηγει τό σήμα, πού θέλομε νά ἐνισχύσομε, στόν ἑκοποτό. Τό ἐνισχυμένο σήμα λαμβάνεται ἀπό τό συλλέκτη μετά τόν πυκνωτή C_2 .

Η ἀπολαβή τάσεως προσδιορίζεται ἀπό τά στοιχεία τοῦ κυκλώματος μέ τά χαρακτηριστικά τοῦ ἴδιου τοῦ τρανζίστορ πρώτα καὶ δίνεται ἀπό τή σχέση:

$$A_u = \frac{U_{\epsilon\xi}}{U_{\epsilon_{\text{ισ}}}}$$

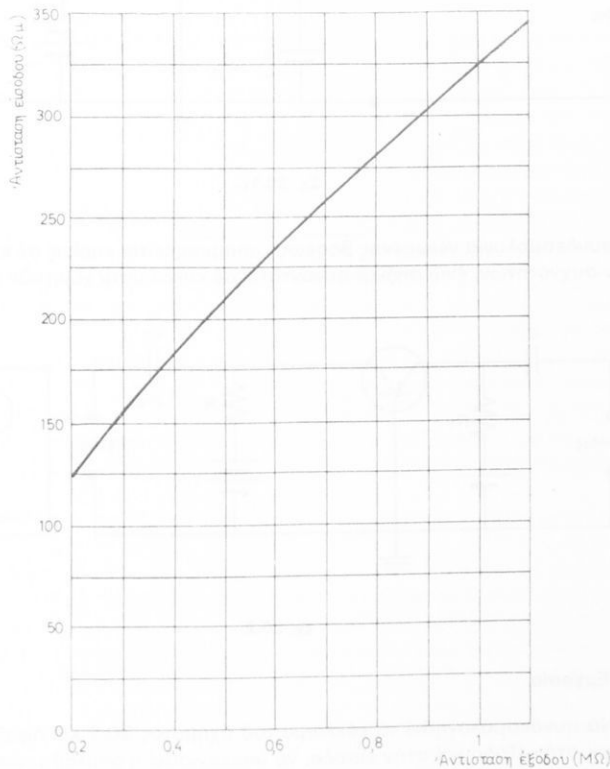
Γιά τή μέτρηση τών δύο τάσεων ίσχυουν όσα είπαμε στήν προηγούμενη ασκη-
ση γιά τόν ένισχυτή τρανζίστορ μέ κοινό έκπομπό (ασκηση 29).

Η άπολαβή ίσχυος δίνεται από τή σχέση:

$$A_{\text{ισχύος}} = 10 \log \frac{P_{\text{έξ}}}{P_{\text{ελ}}} \quad \text{σέ db}$$

Γενικά, ή σύνθετη άντισταση εισόδου στά τρανζίστορ είναι μικρή, ένω ή σύν-
θετη άντισταση έξόδου είναι μεγάλη. Οι τιμές τών άντιστάσεων εισόδου και έξό-
δου δέν είναι σταθερές, άλλα μεταβάλλονται μέ τά στοιχεία κάθε κυκλώματος.

Στό διάγραμμα τοῦ σχήματος 30.1β φαίνεται ή χαρακτηριστική τών μεταβολῶν
τῆς άντιστάσεως εισόδου πρός τήν άντισταση έξόδου σέ έναν ένισχυτή τρανζί-
στορ κοινής βάσεως.



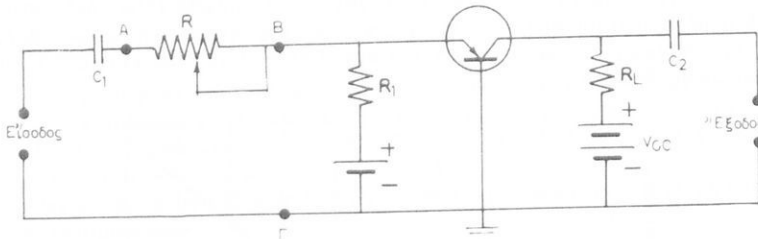
Σχ. 30.1β.

Μεταβολές άντιστάσεως εισόδου σέ σχέση μέ τήν άντισταση έξόδου φορτίου σέ τρανζίστορ 2N77
όπων δουλεύει σέ θερμοκρασία περιβάλλοντος μέ τάση συλλέκτη – 4 βόλτ και έχει ρεύμα συλλέκτη
0,7 mA.

Η καμπύλη αύτή δείχνει τίς μεταβολές της άντιστάσεως έξόδου (φορτίου) άπό 200 kΩ ώς 1,2 MΩ γιά μεταβολές της άντιστάσεως εισόδου από 100 ώς 350 Ωμ.

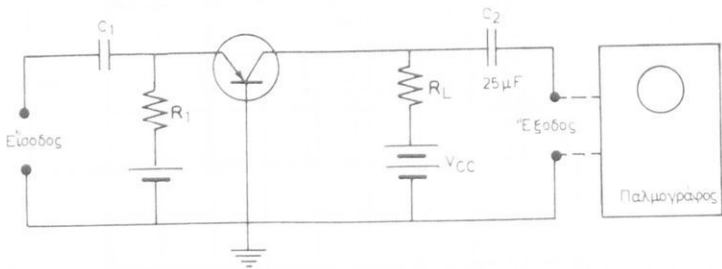
Η άντισταση εισόδου σέ κύκλωμα ένισχυτή κοινής βάσεως μπορεῖ νά προσδιορισθεί μέ τήν άκολουθη μέθοδο:

Στό κύκλωμα τοῦ σχήματος 30.1γ μάρτυρα δίνει σήμα στήν είσοδο. Ρυθμίζομε τή μεταβλητή άντισταση R , ώστε ή τάση στά σημεία B - Γ νά είναι τό μισό τής τάσεως στά σημεία A - Γ . Γιά τή συνθήκη αύτή μετράμε τήν R και ή τιμή της μάς δίνει τήν άντισταση εισόδου τοῦ κυκλώματος.



Σχ. 30.1γ.

Η συνδεσμολογία γειωμένης βάσεως χρησιμοποιείται κυρίως σέ κυκλώματα ύψηλῶν συχνοτήτων, ἐνῶ σπάνια συναντάται σέ κυκλώματα χαμηλῶν συχνοτήτων.



Σχ. 30.2.

30.2 Έργασία.

1) Νά συνδεσμολογηθεί τό κύκλωμα τοῦ σχήματος 30.2 και άφοῦ μετρηθοῦν οι τάσεις στήν ξέσοδο και στήν είσοδο, νά ύπολογισθεί ή άπολαβή τάσεως τοῦ ένισχυτή. Μέ τόν παλμογράφο έλεγχομε, πρίν άπο τίς μετρήσεις τῶν τάσεων, ώστε τό σήμα στήν ξέσοδο νά μή φθάνει τά σημεία τῶν παραμορφώσεων.

2) Νά παρεμβληθεί ροοστάτης στήν είσοδο (σχ. 30.1γ) και νά μετρηθεῖ ή άντισταση εισόδου.

3) Μέ τόν τρόπο πού περιγράφεται στήν προηγούμενη ἄσκηση (29), νά μετρηθεῖ ή άντίσταση ἔξοδου τοῦ κυκλώματος.

4) Ἀπό τά ἀποτελέσματα τῶν μετρήσεων καί τῶν ὑπολογισμῶν, πού ἔγιναν στίς τρεῖς προηγούμενες ἐρωτήσεις, νά ὑπολογισθεῖ ή ἀπολαβή ἰσχύος τοῦ ἐνισχυτῆ.

5) Μέ παλμογράφο στήν εἶσοδο καί τήν ἔξοδο τοῦ κυκλώματος νά ἐπαληθευθεῖ ή μηδενική διαφορά φάσεως μεταξύ τῶν τάσεων ἔξοδου καί είσοδου.

ΑΣΚΗΣΗ 31

ΕΝΙΣΧΥΤΗΣ ΤΡΑΝΖΙΣΤΟΡ ΚΟΙΝΟΥ (ΓΕΙΩΜΕΝΟΥ) ΣΥΛΛΕΚΤΗ

31.1 Γενικά.

Στό κύκλωμα - ένισχυτή τρανζίστορ μέ κοινό συλλέκτη, τό σήμα στήν είσοδο έ-φαρμόζεται μεταξύ βάσεως - συλλέκτη καί τό σήμα στήν έξοδο μετρεῖται μεταξύ έκπομπού - συλλέκτη. Δηλαδή, ό συλλέκτης είναι τό κοινό ήλεκτρόδιο γιά τήν εί-σοδο καί τήν έξοδο.

Τά χαρακτηριστικά ένός τέτοιου κυκλώματος είναι:

- Μεγάλη άντισταση είσοδου: 20 - 500 k Ω .
- Μικρή άντισταση έξοδου: 50 - 1000 Ω .
- Άπολαβή τάσεως μικρότερη άπό τή μονάδα.
- Άπολαβή ρεύματος σχετικά μεγάλη: 25 - 50 .
- Άπολαβή ισχύος σχετικά μικρή: 10 - 20 db, μικρότερη άπό τήν άπολαβή ι-σχύος πού δίνουν οι συνδεσμολογίες κοινής βάσεως καί κοινοῦ έκπομπού, πού έξετάσαμε στίς δύο προηγούμενες άσκησεις.
- Μηδενική διαφορά φάσεως μεταξύ τάσεως έξοδου καί τάσεως είσοδου (օπως καί στό κύκλωμα κοινής βάσεως).

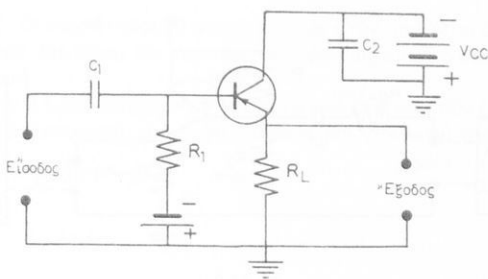
Άπο τά χαρακτηριστικά αύτά βλέπομε ότι: α) Ή συνδεσμολογία κοινοῦ συλλέκτη άντιστοιχεῖ στή συνδεσμολογία ένισχυτή καθόδου στά κυκλώματα μέ λυχνίες καί β) παρουσιάζει τά άντιθετα χαρακτηριστικά άπό τό κύκλωμα ένισχυτη μέ κοινή βάση.

Στό κύκλωμα τοῦ σχήματος 31.1α τό πρός ένίσχυση σήμα δόηγεῖται άπό τόν πυκνωτή C₁ στή βάση. Ή άντισταση φορτίου R_L συνδέεται στόν έκπομπό καί τό σήμα έξοδου τό παίρνομε στήν R_L, δηλαδή στόν έκπομπό. Ο πυκνωτής C₂ σταθεροποιεῖ τήν τάση τοῦ συλλέκτη γειώνοντας τά έναλλασσόμενα ρεύματα.

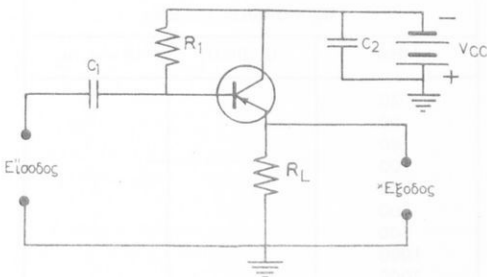
Τά κυκλώματα στά σχήματα 31.1α καί 31.1β είναι ίδια. Ή διαφορά τους είναι μόνο στήν πόλωση, δηλαδή στό σχήμα 31.1α έχομε ξεχωριστή πηγή πολώσεως, ένω στό σχήμα 31.1β ή πόλωση έχασφαλίζεται άπό τήν κοινή πηγή V_{CC} μέσω τῆς R₁.

Τά σήματα έξοδου καί είσοδου είναι συμφασικά καί τό γεγονός αύτό έξηγεῖται ώς έξης:

Κατά τήν άρνητική ήμιπερίοδο τοῦ σήματος είσοδου τό ρεύμα τῆς βάσεως τοῦ τρανζίστορ PNP αύξανεται, όπότε καί τά ρεύματα έκπομπού - συλλέκτη αύξανονται. Ή στιγμιαία τάση U_a τοῦ έκπομπού πού δίνεται άπό τό γινόμενο i_a R_L γίνεται άρνητικότερη άπό ό,τι ήταν πρίν. "Αρα ή τάση στήν έξοδο (στόν έκπομπό) άκολου-



Σχ. 31.1α.



Σχ. 31.1β.

Θεῖ τίς μεταβολές τῆς τάσεως βάσεως. Τό ίδιο φυσικά γίνεται καὶ στή θετική ήμιπερίοδο τοῦ σήματος εἰσόδου, όποτε ἡ τάση ἐκπομποῦ γίνεται θετικότερη.

Τό κύκλωμα ἔνισχυτῇ κοινοῦ συλλέκτη μὲ τή μεγάλῃ ἀντίσταση εἰσόδου καὶ τή μικρή ἀντίσταση ἔξοδου ἔξυπηρετεῖ, δταν ἀπαιτεῖται, προσαρμογή τέτοιων ἀντιστάσεων.

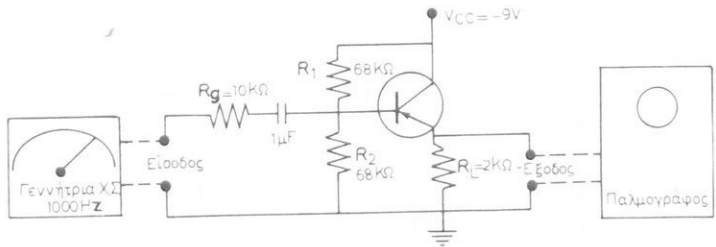
31.2 Ἐργασία.

1) Νά συνδεσμολογηθεῖ τό κύκλωμα τοῦ σχήματος 31.2 καὶ νά μετρηθοῦν οἱ τάσεις στήν ἔξοδο καὶ τήν εῖσοδο. Ἀπό τίς τιμές τους νά υπολογισθεῖ ἡ ἀπολαβή τάσεως τοῦ ἔνισχυτῆ. (Δίνομε πρώτα σήμα μὲ τή γεννήτρια, παρατηροῦμε στόν παλμογράφο γιά νά μή φτάσουμε σέ παραμόρφωση καὶ μετά κάνομε τίς μετρήσεις).

2) Κρατήσετε σταθερή τήν τάση εἰσόδου (σήμα ἀπό τή γεννήτρια), μεταβάλλετε τή συχνότητα γιά τίς τιμές τοῦ Πίνακα 31.2.1 καὶ λάβετε μετρήσεις τῆς ἔνισχυμένης τάσεως στήν ἔξοδο. Συμπληρώσετε τή στήλη U_a τοῦ πίνακα.

3) Ἀπό τίς τιμές τῆς U_a στίς διάφορες συχνότητες καὶ τή σταθερή U_g νά υπολογισθεῖ ἡ ἀπολαβή Ἀ τοῦ ἔνισχυτῆ καὶ νά συμπληρωθεῖ ἡ τρίτη στήλη τοῦ πίνακα.

4) Νά χαραχθεῖ ἡ καμπύλη ἀποκρίσεως τοῦ ἔνισχυτῆ ('Απολαβή Α στίς διάφο-



Σχ. 31.2.

ΠΙΝΑΚΑΣ 31.2.1.

$U_g = \text{σταθερή} = \dots \text{βόλτ}$		
$f (\text{Hz})$	$U_a (\text{βόλτ})$	$A = u_a/u_g$
20		
50		
80		
100		
150		
200		
500		
1000		
2000		
5000		
10.000		
15.000		
20.000		

ΠΙΝΑΚΑΣ 31.2.2.

Πίνακας τῶν χαρακτηριστικῶν πού παρουσιάζουν οἱ διάφορες συνδεσμολογίες τῶν τρανζιστορ

Μεγέθη	Συνδεσμολογίες		
	Κοινοῦ έκπομποῦ	Κοινοῦ συλλέκτη	Κοινῆς βάσεως
· Αντίσταση εισόδου			
· Αντίσταση έξόδου			
· Απολαβή τάσεως			
· Απολαβή ισχύος			
Φασική διαφορά σημάτων			

ρες συχνότητες). Οι συχνότητες νά αναγράφονται στόν όριζόντιο άξονα και σέ λογαριθμική κλίμακα. Μέ βάση τήν καμπύλη άποκρίσεως άποφανθεῖτε γιά τήν ποιότητα τοῦ ένισχυτῆ.

5) Στόν Πίνακα 31.2.2 καταχωρήσετε συγκριτικά στοιχεῖα τῶν ένισχυτῶν τρανζίστορ: α) Κοινοῦ έκπομποῦ, β) κοινῆς βάσεως καί γ) κοινοῦ συλλέκτη.

ΑΣΚΗΣΗ 32

ΕΝΙΣΧΥΤΕΣ ΙΣΧΥΟΣ

32.1 Γενικά.

Μέ τούς ένισχυτές ισχύος έπιδιώκομε τήν έξασφάλιση μιᾶς ίκανοποιητικῆς γιά κάθε περίπτωση ισχύος, γιά νά τήν έκμεταλλευτοῦμε στό φορτίο.

"Οταν πρόκειται γιά ένισχυτικά συγκροτήματα γιά χαμηλές συχνότητες και ραδιοφωνικούς δέκτες, ή τελική βαθμίδα είναι πάντοτε ένισχυτής ισχύος και τό φορτίο είναι τό μεγάφωνο.

'Ένισχυτές ισχύος συναντώνται καί στά κυκλώματα πομπῶν καθώς καί στά κυκλώματα βιομηχανικῶν ήλεκτρονικῶν κλπ. Στίς διάφορες αύτές περιπτώσεις έχομε καί τά κατάλληλα κυκλώματα. Τά κυκλώματα αύτά έχαρτωνται άπο τήν τάξη λειτουργίας τοῦ ένισχυτῆ.

Οι τάξεις λειτουργίας τῶν ένισχυτῶν βασικά είναι οι έξης τρεῖς: Α, Β, καί Γ. 'Η τάξη Γ συναντάται σέ κυκλώματα πομπῶν καί σέ ρυθμιστικά κυκλώματα βιομηχανικῶν ήλεκτρονικῶν. Στούς ένισχυτές χαμηλῶν συχνοτήτων, στούς όποίους μᾶς ένδιαφέρει ή πιστότητα στήν άπόδοσή τους, χρησιμοποιοῦμε τήν τάξη Α σέ άπλα κυκλώματα μέ μιά βαθμίδα καί τήν τάξη Β σέ κυκλώματα, στά όποια συνεργάζονται δύο βαθμίδες. Έπίσης συναντάται συχνά καί ή τάξη ΑΒ, πού είναι μιά ένδιάμεση κατάσταση λειτουργίας τῶν ένισχυτῶν μεταξύ τῶν τάξεων Α καί Β. Στά διαγράμματα τοῦ σχήματος 32.1α φαίνονται οι τάξεις Α, Β καί ΑΒ, πού χρησιμοποιοῦμε στούς ένισχυτές ισχύος γιά χαμηλές συχνότητες.

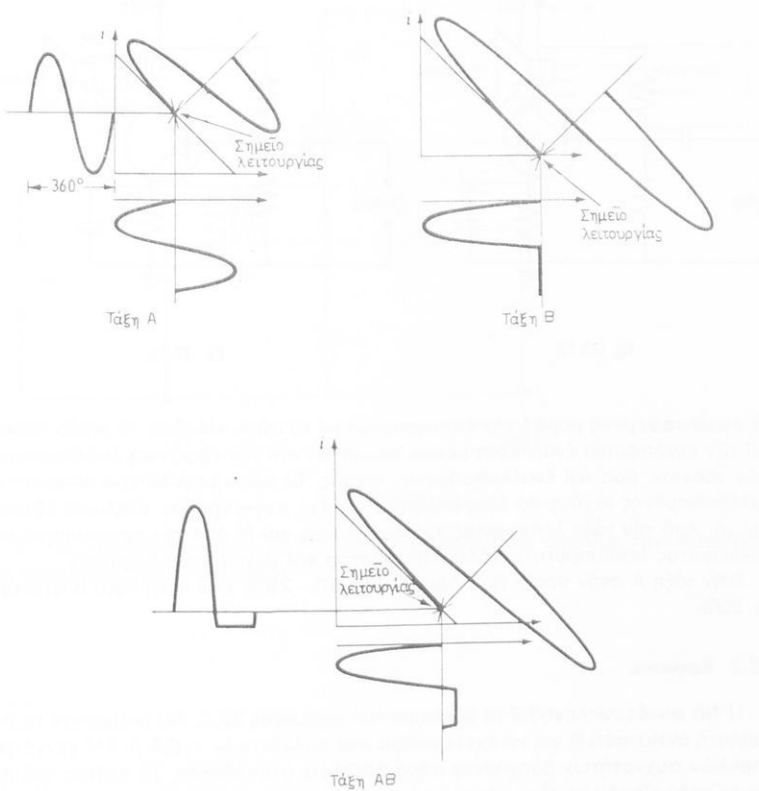
Στά διαγράμματα αύτά:

α) Στήν τάξη Α, τό σήμα είσοδου έμφανίζεται ένισχυμένο στήν έξοδο χωρίς καμιά άλλαγή στή μορφή του, γιατί δουλεύουμε στή μέση τής δυναμικῆς χαρακτηριστικῆς μέ κανονική πόλωση καί κανονική διέγερση.

β) Στήν τάξη Β έχομε στήν έξοδο μόνο τό μισό σήμα είσοδου, δηλαδή τό θετικό παλμό, γιατί ή βαθμίδα είναι πολωμένη σέ δυναμικό άποκοπῆς καί φυσικά αύτό σημαίνει παραμόρφωση.

γ) Στήν τάξη ΑΒ έχομε στήν έξοδο λίγο περισσότερο άπο τό μισό τής τάσεως είσοδου, δηλαδή καί έδω έμφανίζεται παραμόρφωση.

Οι τάξεις Β καί ΑΒ χρησιμοποιοῦνται πολύ στούς ένισχυτές ισχύος, γιατί παρέχουν μεγαλύτερο βαθμό άποδόσεως. Οι ένισχυτές πού δουλεύουν στίς τάξεις αύτές άποτελούνται άπο δύο βαθμίδες, οι όποιες συνεργάζονται μέ τέτοιο τρόπο, πού ή μία συμπληρώνει τήν άλλη καί οι δύο μαζί έξασφαλίζουν στήν έξοδο πιστή άναπαραγωγή τής διεγέρσεως. Κυκλώματα τέτοιων ένισχυτῶν έχετάζονται στίς δύο έπόμενες άσκήσεις.



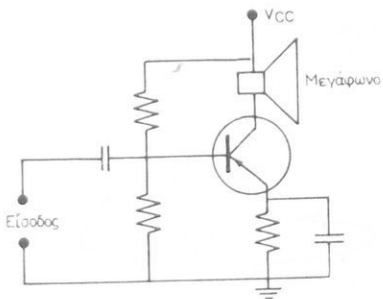
Σχ. 32.1α.

Σέ βαθμίδες ισχύος, άπο τίς όποιες ζητάμε μικρή ισχύ στήν έξοδο, δημοσ. π.χ. στά μικρά ραδιόφωνα μέ τρανζίστορ καί στούς μικρούς ένισχυτές στά ήλεκτρόφωνα, Χρησιμοποιούμε άπλα κυκλώματα μέ ένα τρανζίστορ πού δουλεύει σέ τάξη Α.

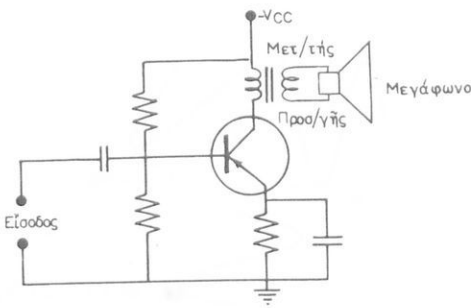
Στά κυκλώματα τών σχημάτων 32.1β καί 32.1γ φαίνονται δυό συνδεσμολογίες ένισχυτών ισχύος μέ μιά άπλη βαθμίδα.

Τό κύκλωμα τοῦ σχήματος 32.1β χρησιμοποιεῖται σέ ένισχυτές μέ μικρή ισχύ στήν έξοδο, π.χ. 50 - 100 mW (τόση ισχύ δίνουν δλα τά μικρά ραδιόφωνα). Έπι- σης σέ αύτό τό κύκλωμα τό μεγάφωνο έχει μεγάλη άντίσταση γι' αύτό καί συνδέεται άπ' εύθειας χωρίς μετασχηματιστή. Στό κύκλωμα τοῦ σχήματος 32.1γ τό μεγάφωνο έχει μικρή άντίσταση καί ό μετασχηματιστής έξασφαλίζει τήν προσαρμογή.

Βασικά σέ έναν ένισχυτή ισχύος έπιδιώκουμε νά πάρομε στήν έξοδο δσο τό δυνατό μεγαλύτερη ισχύ έναλλασσόμενης μορφῆς, σέ σχέση μέ τήν ισχύ πού καταναλώνομε καί πού τήν παρέχουν οι πηγές συνεχοῦς. Τή μετατροπή τής συνεχοῦς



Σχ. 32.1β.



Σχ. 32.1γ.

σέ έναλλασσόμενη μορφή τήν έπιτυχάνομε μέ το σήμα είσοδου, τό δόποιο προκαλεῖ τήν κυκλοφορία έναλλασσομένων ρευμάτων καί τήν έμφάνιση έναλλασσομένων τάσεων, άρα καί έναλλασσόμενης ίσχυός. Τό πόσο μεγαλύτερο ποσοστό έναλλασσόμενης ίσχυός θά έξασφαλίσομε σέ ένα συγκεκριμένο κύκλωμα έξαρταται: α) Άπο τήν τάξη λειτουργίας πού δουλεύουμε καί β) άπο τήν προσαρμογή τού κυκλώματος (προσαρμογή έξόδου τρανζίστορ καί μεγαφώνου-φορτίου).

Στήν τάξη Α στήν πράξη ή άποδοση έναι 20 - 25%, ένω στήν τάξη Β φτάνομε τό 50%.

32.2 Έργασία.

1) Νά συνδεσμολογηθεῖ τό κύκλωμα τού σχήματος 32.2. Νά ρυθμίσετε τή μεταβλητή άντισταση R γιά νά ξέχετε ρεύμα στό συλλέκτη $I_C = 0,5$ A. Μέ γεννήτρια χαμηλών συχνοτήτων δόηγήσετε σήμα 1000 Hz στήν είσοδο. Τό πλάτος τού σήματος στήν είσοδο νά έναι τέτοιο, ώστε νά μήν παραμορφώνεται τό σήμα στήν έξοδο. Τήν παραμόρφωση στό σήμα έξόδου τήν παρατηροῦμε μέ παλμογράφο στά σημεία A - B.

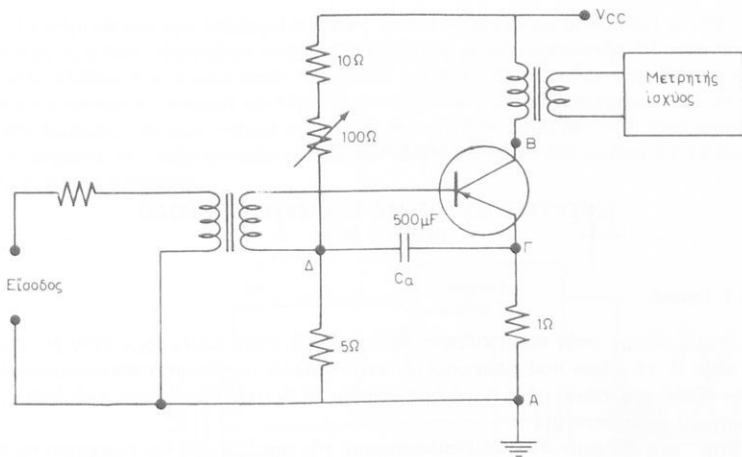
Μετρήσετε τήν τάση στήν έξοδο (μέγιστη τιμή πρίν άπο τήν παραμόρφωση) καί τήν άντιστοχή τάση στήν είσοδο. Υπολογίσετε τήν ένισχυση τάσεως τού ένισχυτή καί σχολιάσετε τήν τιμή της.

2) Στό ίδιο κύκλωμα: α) Μετρήσετε τήν τάση στά άκρα τού πυκνωτή C_a , σημεία Γ - Δ. β) Αποσυνδέσετε τόν C_a καί ρυθμίσετε τήν τάση έξόδου τής γεννήτριας, ώστε νά έπικρατεῖ ή ίδια τάση στά σημεία Γ - Δ. γ) Μετρήσετε τό ρεύμα (έναλλασσόμενο) στόν έκπομπό καί τή βάση. δ) Υπολογίσετε τήν άπολαβή ρεύματος τού ένισχυτή.

3) Μέ τόν πυκνωτή C_a στό κύκλωμα μετρήσετε τήν ίσχυ έισόδου καί τήν ίσχυ έξόδου καί ύπολογίσετε τήν άπολαβή ίσχυός.

4) Ποιός ο ρόλος τού πυκνωτή C_a στό κύκλωμα;

5) Υπολογίσετε τήν κατανάλωση ίσχυός στό τρανζίστορ ($V_{CC} \cdot I_C$) καί προσδιορίσετε τό βαθμό άποδόσεως τής βαθμίδας.



Σχ. 32.2.

- 6) Νά ύποδείξετε τρόπο μέ τόν όποιο μποροῦμε νά όρισομε τήν κατάσταση προσαρμογῆς τοῦ κυκλώματος.

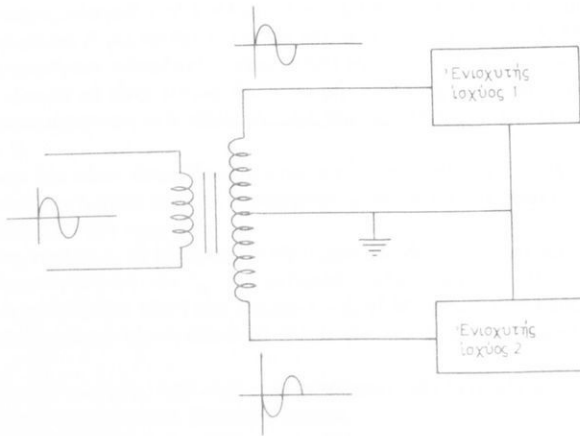
**ΕΝΙΣΧΥΤΕΣ ΙΣΧΥΟΣ ΜΕ ΣΥΜΜΕΤΡΙΚΗ ΕΞΟΔΟ
PUSH - PULL**

33.1 Γενικά.

“Οπως είδαμε στήν προηγούμενη άσκηση (32), όταν δουλεύομε έναν ένισχυτή σε τάξη Β, τό σήμα πού έφαρμόζεται στήν είσοδό του βγαίνει παραμορφωμένο στήν έξοδό του, άφού μόνο ή μιά ήμιπεριόδος (ή θετική) ένισχύεται, ένώ ή άλλη (ή άρνητική) άποκόπτεται.

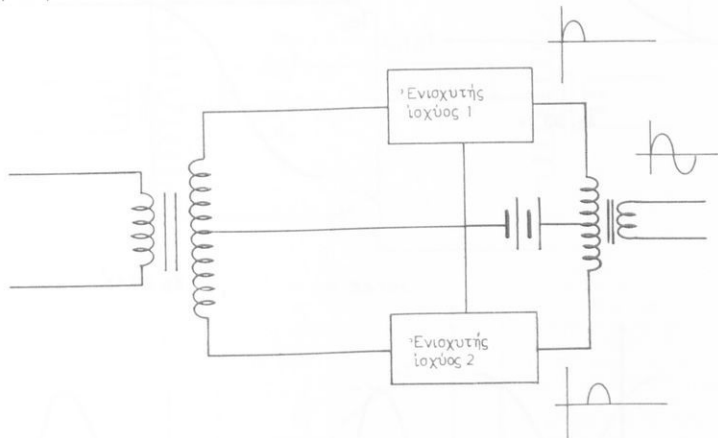
Στήν τάξη Β έχομε αυξηση (διπλασιασμό) τής άποδόσεως καί συμφέρει νά τήν χρησιμοποιούμε. Γιά νά άντιμετωπίσομε ίμως τό πρόβλημα τής παραμορφώσεως πού προκαλεῖται άπό τήν άποκοπή τής άρνητικής ήμιπεριόδου τού σήματος πού θέλομε νά ένισχύσομε, δουλεύομε μέ δύο βαθμίδες οι ήποιες τροφοδοτούνται μέ σήματα πού έχουν ίδιο πλάτος, άλλα μέ διαφορά φάσεως 180° .

Στό κύκλωμα τού σχήματος 33.1α ό μετασχηματιστής είσοδου έχει συμμετρικό δευτερεύον (δύο τυλίγματα μέ άντιθετη περιέλιξη, γειωμένη ή μέση τού όλου τυλίγματος) καί δύγει στίς είσοδους τών δύο βαθμίδων τού ένισχυτή ισχύος δύο σήματα μέ διαφορά φάσεως 180° . Τά τυλίγματα έχουν τόν τίδιο άριθμό σπειρών καί παρέχουν τάσεις μέ τό ίδιο πλάτος.



Σχ. 33.1α.

Τά σήματα αύτά μέ διαφορά φάσεως 180° ένισχυόμενα, άποδίδονται στήν εξόδο τών δύο βαθμίδων όπου ύπάρχει κατάλληλος μετασχηματιστής. Ο μετασχηματιστής έξόδου έχει συμμετρικό πρωτεύον και άπλο δευτερεύον (άντιθετα άπο το μετασχηματιστή είσοδου) και δίνει τό ένισχυμένο σήμα μέ δύο παλμούς, έναν άπο κάθε βαθμίδα. Οι δύο παλμοί βγαίνουν άπο τίς δύο βαθμίδες πουύ ένισχύουν τά δύο σήματα, τά όποια διαφέρουν μεταξύ τους κατά 180° . Στό σχήμα 33.1β φαίνεται ή δηλη διαδικασία.



Σχ. 33.1β.

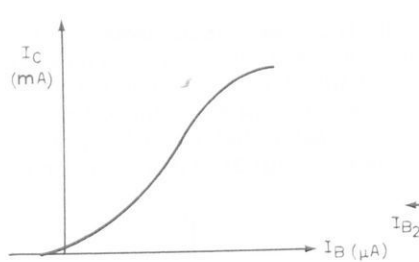
Στό κάθε μισό πρωτεύον τύλιγμα έχομε άπο ένα θετικό παλμό μέ διαφορά φάσεως μεταξύ τους 180° . Στό δευτερεύον, πού τροφοδοτεῖ τό μεγάφωνο, έχομε πλήρη άναπαραγωγή τοῦ σήματος είσοδου.

Τό κύκλωμα πού περιγράφαμε έίναι ένισχυτής ίσχυος μέ συμμετρική έξοδο και περισσότερο άναφέρεται σάν κύκλωμα Push - Pull (Push = σπρώχνω, Pull - τραβώ), γιατί οταν ή μιά βαθμίδα έργαζεται και δίνει τό θετικό παλμό, ή άλλη βρίσκεται σάέ άποκοπή (πόλωση σέ τάξη B). Όταν έρχεται δέ άρνητικός παλμός και προκαλεῖ άποκοπή στήν πρώτη βαθμίδα, έργαζεται ή δεύτερη.

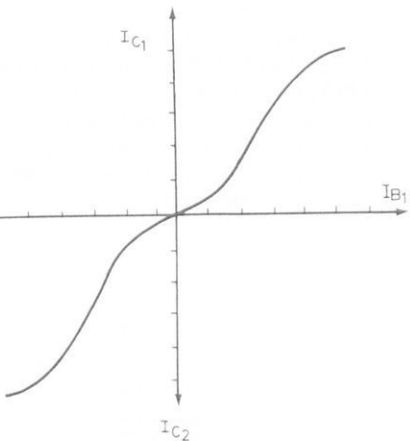
Γραφικά ή διαδικασία τής συνεργασίας τών δύο βαθμίδων φαίνεται στά σχήματα 33.1γ, 33.1δ και 33.1ε.

Στό σχήμα 33.1γ φαίνεται ή δυναμική χαρακτηριστική τής μιᾶς βαθμίδας. Η δυναμική χαρακτηριστική καμπύλη τών δύο βαθμίδων πού συνεργάζονται προκύπτει άπο τή συνένωση τών χαρακτηριστικών τών δύο βαθμίδων πού δουλεύουν μέ διαφορά φάσεως 180° (σχ. 33.1δ). Στό σχήμα 33.1ε φαίνεται ή κυματομορφή έξόδου τής διατάξεως τών δύο βαθμίδων, οταν στήν είσοδο τους έμφανίζεται ήμιτονικό σήμα (ύποτιθεται δη τά δύο τρανζίστορ έχουν άκριβώς τά ίδια χαρακτηριστικά).

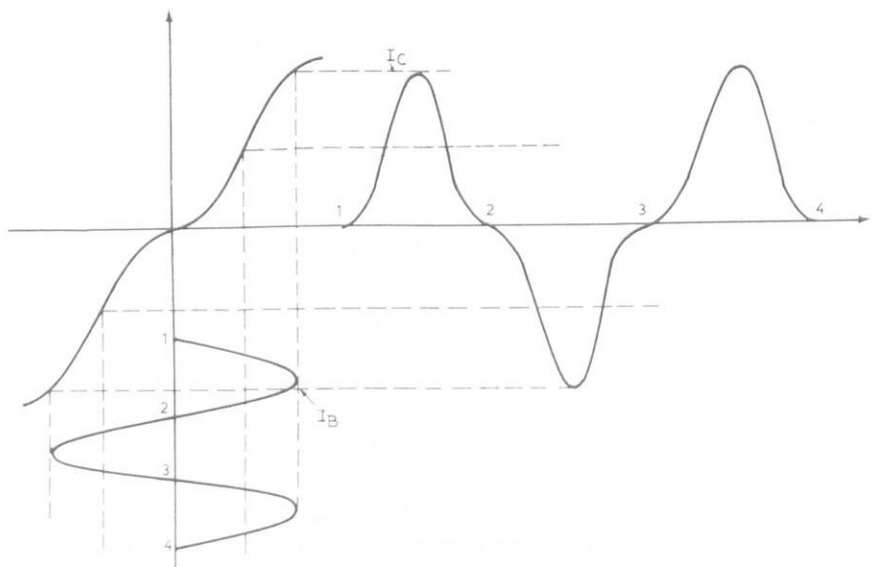
Από τά διαγράμματα (σχ. 33.1δ και 33.1ε) βλέπομε δη στά σημεία συνενώ-



Σχ. 33.1γ.



Σχ. 33.1δ.

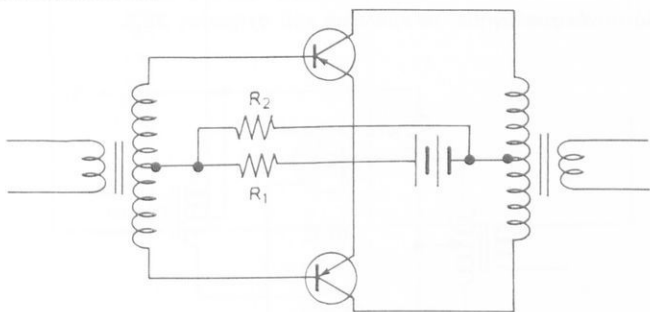


Σχ. 33.1ε.

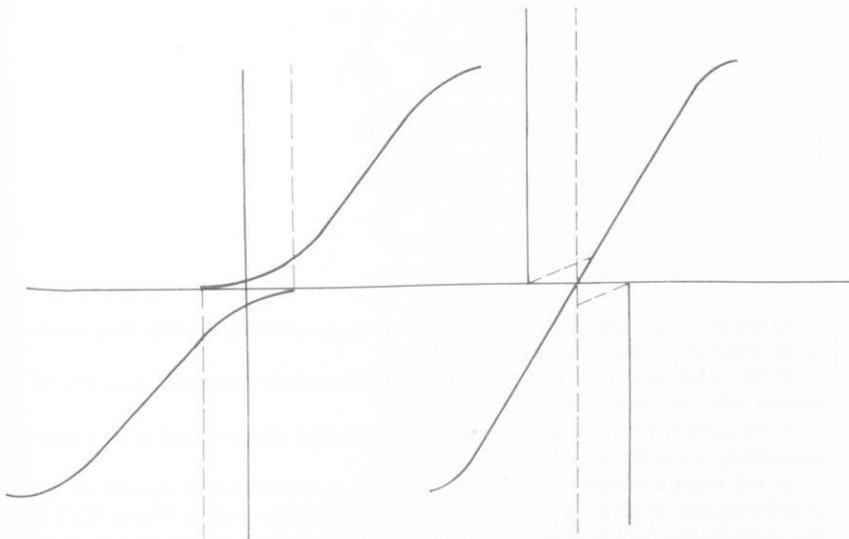
σεως των δύο χαρακτηριστικών παρουσιάζεται παραμόρφωση. Ή παραμόρφωση διασταυρώσεως, όπως λέγεται, περιορίζεται με την έφαρμογή μιας μικρής πολώσεως στά τρανζιστορ τού ένισχυτή Push - Pull.

"Ένα κύκλωμα ένισχυτή Push - Pull μέ μικρή πόλωση δρθῆς φορδς μεταξύ βάσεως - έκπομπού φαίνεται στό κύκλωμα τού σχήματος 33.1στ.

Οι άντιστάσεις R_1 , καί R_2 άποτελοῦν ένα διαιρέτη τάσεως. Ή τάση στά ακρα τῆς R_1 , είναι καί ή τάση πολώσεως τῶν δύο τρανζίστορ πού περιορίζει τήν παραμόρφωση διασταυρώσεως.



Σχ. 33.1στ.



Σχ. 33.1ζ.

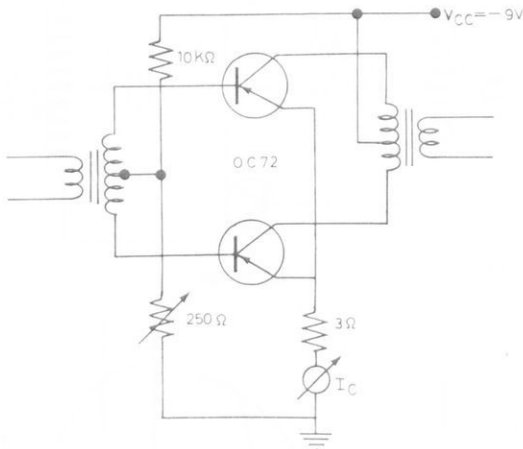
Σχ. 33.1η.

Στό σχήμα 33.1ζ φαίνεται ή δυναμική χαρακτηριστική τῶν δύο συνεργαζομένων τρανζίστορ γιά μηδενική πόλωση καί στό σχήμα 33.1η ή τελική δυναμική

χαρακτηριστική πού παρουσιάζουν οι δύο βαθμίδες, όταν έφαρμόζεται μικρή πόλωση καί άποκόπτονται τά καμπύλα τρήματα.

33.2 Έργασία.

- 1) Νά συνδεσμολογηθεῖ τό κύκλωμα τοῦ σχήματος 33.2.



Σχ. 33.2.

- 2) Μέ γεννήτρια χαμηλῶν συχνοτήτων νά έφαρμοσθεῖ σῆμα 1000 Hz στήν είσοδο (πρωτεύον μετασχηματιστή είσοδου).

- 3) Μέ παλμογράφο νά παρατηρηθεῖ ή φασική διαφορά στά σήματα είσοδου καί έξόδου στίς δύο βαθμίδες τοῦ κυκλώματος.

- 4) Νά μετρηθεῖ ή ίσχυς στήν έξοδο καί νά συγκριθεῖ μέ έκείνη πού δίνει δικασκευαστής γιά κάθε τρανζίστορ.

- 5) Μέ σῆμα σταθεροῦ πλάτους στήν είσοδο, μεταβάλλετε τή συχνότητα τῆς γεννήτριας καί μετράτε γιά κάθε συχνότητα, πού άναφέρεται στόν Πίνακα 33.2.1, τήν τάση έξόδου (στό δευτερεύον τοῦ μετασχηματιστή έξόδου). Συμπληρώσετε τή σχετική στήλη (U_a) τοῦ Πίνακα 33.2.1.

- 6) Νά ύπολογίσετε τήν ίσχυ έξόδου $P_a = \frac{U_a^2}{R_L}$ (λάβετε $R_L = 30 \Omega$), γιά κάθε U_a καί νά συμπληρώσετε τήν τρίτη στήλη τοῦ πίνακα.

- 7) Χαράξετε τήν καμπύλη P_a (βάττ)/f (Hz) καί σχολιάσετε τή μορφή της.

ΠΙΝΑΚΑΣ 33.2.1.

$u_g = \sigma \alpha \theta e \rho \bar{r} = \dots \text{βόλτ}$		
$f \text{ (Hz)}$	$u_g \text{ (βόλτ)}$	$P_o = \frac{u_g^2}{R_L} \text{ (} R_L = 30 \Omega \text{)}$
20		
50		
100		
200		
500		
1000		
2000		
5000		
10.000		
20.000		

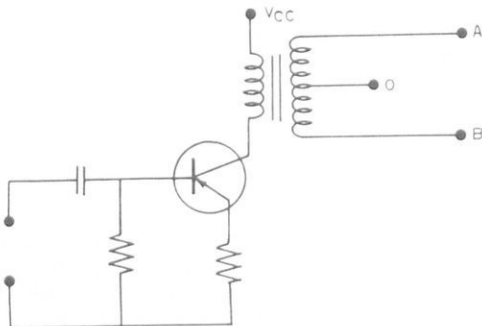
ΑΣΚΗΣΗ 34

ΚΥΚΛΩΜΑΤΑ ΑΝΑΣΤΡΟΦΗΣ ΦΑΣΕΩΣ

34.1 Γενικά.

Στούς ένισχυτές ισχύος μέ συμμετρική έξοδο (Push - Pull), πού έξετάσαμε στήν προηγούμενη άσκηση (33), είδαμε ότι άπαραίτητη προϋπόθεση λειτουργίας τους είναι ή διαφορά φάσεως πού πρέπει νά έχουν τά σήματα εισόδου στίς δύο συνεργαζόμενες βαθμίδες οι οποίες άποτελούν τό κύκλωμα Push - Pull. Τά σήματα εισόδου πρέπει άκομη νά έχουν και τό ίδιο πλάτος.

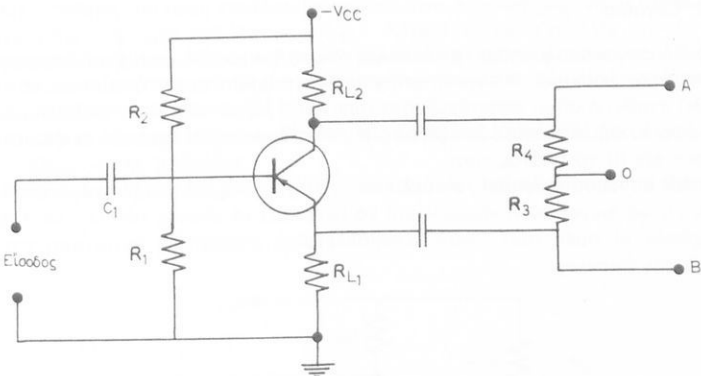
Η πόλ άπλη συνδεσμολογία γιά νά έχασφαλίσομε και τίς δύο αύτές προϋποθέσεις, δηλαδή ίδιο πλάτος και διαφορά φάσεως 180° , είναι αύτή πού φαίνεται στό σχήμα 34.1α.



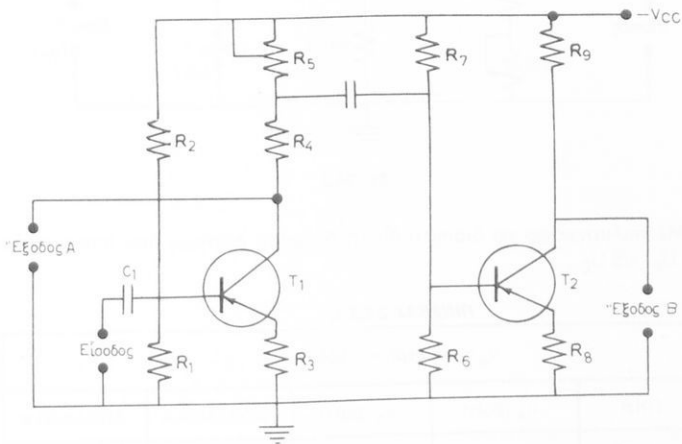
Σχ. 34.1α.

Τά μειονεκτήματα ομως πού παρουσιάζει δ μετασχηματιστής, όπως τό μεγάλο κόστος και κυρίως ή δχι καλή καμπύλη άποκρίσεως γιά τίς χαμηλές συχνότητες τής περιοχής τών άκουστικών πού θέλομε νά ένισχύσομε, δδήγησαν στή χρησιμοποίηση άλλων κυκλωμάτων (σχ. 34.1β και 34.1γ).

Μέ τή συνδεσμολογία αύτή (σχ. 34.1β) παίρνομε σήμα άπό τό συλλέκτη και άπό τόν έκπομπό πού διαφέρουν μεταξύ τους κατά 180° . Μέ κατάλληλες τιμές στής άντιστάσεις φορτίου R_{L_1} και R_{L_2} έχασφαλίζομε και τό ίδιο πλάτος. Οι τιμές τών R_{L_1} και R_{L_2} έξαρτωνται άπό τά ρεύματα συλλέκτη και έκπομπού.



Σχ. 34.1β.



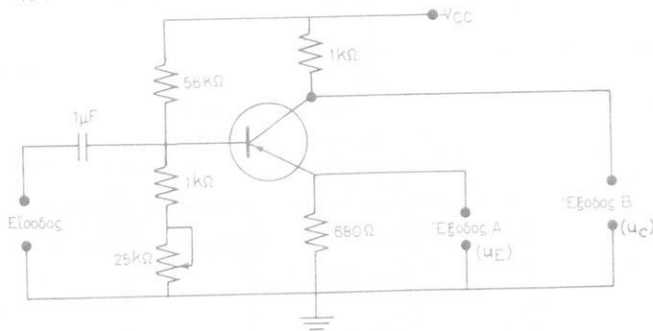
Σχ. 34.1γ.

Στό σχήμα 34.1γ χρησιμοποιούμε δύο βαθμίδες, άπό τίς έξόδους τών δποίων, Α και Β, παίρνομε τά δύο σήματα που θέλομε. Τό σήμα είσοδου έφαρμόζεται στή βάση τής πρώτης βαθμίδας (T_1), ένισχύεται καί τό παίρνομε στό συλλέκτη μέ διαφορά φάσεως 180° . Τό σήμα έξόδου αύτης τής βαθμίδας, διαμοιράζεται στίς άντι-στάσεις R_4 καί R_5 πού άποτελοῦν τό φορτίο. Μέ τή ρύθμιση τής R_5 δίνομε στή βάση τής δεύτερης βαθμίδας (T_2) τό κατάλληλο πλάτος (σήμα) γιά νά πάρομε στήν έξοδο πλάτος ίσο μέ έκεινο πού έχομε στήν έξοδο τής πρώτης βαθμίδας. Στήν πράξη συναντώνται πολλές παραλλαγές τών βασικών αύτών κυκλωμάτων.

34.2 Έργασία.

1) Νά συνδεσμολογηθεῖ τό κύκλωμα τοῦ σχήματος 34.1α (μέ μετασχηματιστή άναστροφής φάσεως). Μέ γεννήτρια χαμηλών συχνοτήτων στήν εϊσοδο, νά έφαρμοσθεῖ σταθερό σῆμα στή συχνότητα τῶν 1000 Hz καί νά παρατηρηθοῦν μέ παλμογράφο τά σήματα στίς δύο έξόδους. Νά έλεχθοῦν: α) Η διαφορά φάσεως μεταξύ τους καί β) τό πλάτος τους.

2) Νά συνδεσμολογηθεῖ τό κύκλωμα τοῦ σχήματος 34.2. Μέ γεννήτρια στούς 1000 Hz νά διεγερθεῖ ή εϊσοδος καί νά μετρηθεῖ τό πλάτος τῶν U_E καί U_C . Νά έλεγχθοῦν οἱ τιμές τους, δταν μεταβάλλεται ή ρυθμιστική άντισταση στό κύκλωμα τῆς βάσεως.



Σχ. 34.2.

3) Μέ παλμογράφο νά διαπιστωθεῖ ή διαφορά φάσεως πού παρουσιάζουν οἱ τάσεις U_E καί U_C .

ΠΙΝΑΚΑΣ 34.2.1.

f (Hz)	u_E (βόλτ)	u_C (βόλτ)	ΑΠΟΛΑΒΗ Α	ΑΠΟΛΑΒΗ Β
20				
50				
100				
200				
500				
1.000				
2.000				
5.000				
8.000				
10.000				
15.000				
18.000				
20.000				

4) Μέ σταθερή τήν τάση εισόδου (τάση πού δίνει ή γεννήτρια), νά μεταβάλλετε τή συχνότητα στίς τιμές τοῦ Πίνακα 34.2.1. Λάβετε τίς τιμές τῶν U_E καί U_C γιά κάθε μεταβολή τῆς συχνότητας καί συμπληρώσετε τίς σχετικές στήλες τοῦ πίνακα.

5) Ύπολογίσετε τήν άπολαβή γιά κάθε περίπτωση (γιά τίς δύο έξόδους A καί B) καί συμπληρώσετε τίς δύο τελευταῖες στήλες τοῦ πίνακα.

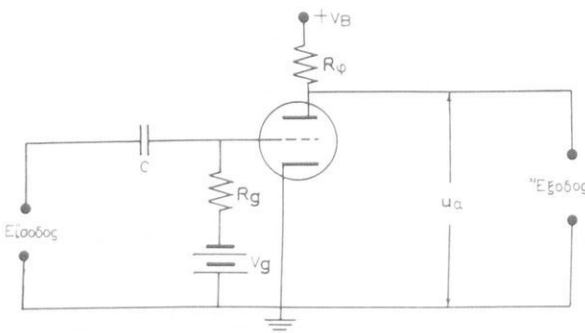
6) Χαράξετε τίς καμπύλες άποκρίσεως γιά τίς τάσεις (άπολαβή) πού έχετε άπό τίς δύο έξόδους τῆς βαθμίδας.

7) Ποιά σχέση πρέπει νά υπάρχει στίς δύο καμπύλες καί πῶς μπορεῖ νά έξασφαλισθεῖ:

ΕΝΙΣΧΥΤΗΣ ΣΕ ΤΑΞΗ Α

35.1 Γενικά.

Στό σχήμα 35.1α φαίνεται τό κύκλωμα μιᾶς λυχνίας ένισχυτριας τάσεως. Η λυχνία είναι τρίοδος καί τό φορτίο της είναι άντισταση R_ϕ , συνδεμένη μεταξύ άνόδου καί πηγής. Υπάρχει έπισης μιά άντισταση πλέγματος R_g , συνδεμένη σέ σειρά μέ τήν πηγή πολώσεως V_g . Ο πυκνωτής C δόηγει τό σήμα είσοδου U_g στό πλέγμα τής λυχνίας.



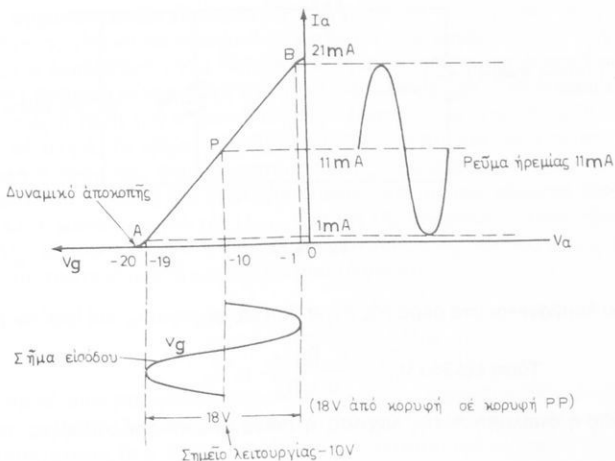
Σχ. 35.1α.

Η τάξη λειτουργίας τής ένισχυτικής βαθμίδας έξαρτάται άπό τήν πόλωση V_g . Ένας ένισχυτής λέμε ότι έργαζεται σέ τάξη Α όταν έχει τέτοια πόλωση στό πλέγμα, ώστε μέ τήν έπιβολή τής διεγέρσεως νά κυκλοφορεῖ ρεῦμα άνόδου χωρίς διακοπή σέ ολή τή διάρκεια τής διεγέρσεως.

Οι ένισχυτές τάσεως χαμηλής συχνότητας δουλεύουν πάντοτε σέ τάξη Α (βλέπε "Άσκηση 32, Ένισχυτές ισχύος").

Η πόλωση V_g τοῦ πλέγματος καθορίζει τό σημείο λειτουργίας τής ένισχυτριας λυχνίας. Εστω, π.χ. ή χαρακτηριστική V_g/I_a (τάσεως πλέγματος - ρεύματος άνόδου) τής λυχνίας (σχ. 35.1β).

Η καμπύλη αύτή δείχνει ότι ή πόλωση τής λυχνίας έχει ρυθμισθεῖ στά -10 βόλτ καί ότι τό πλάτος τοῦ σήματος είσοδου μεταβάλλεται γύρω από τό δυναμικό αύτό. Τό σημείο λειτουργίας άντιστοιχεῖ σέ πόλωση -10 βόλτ.



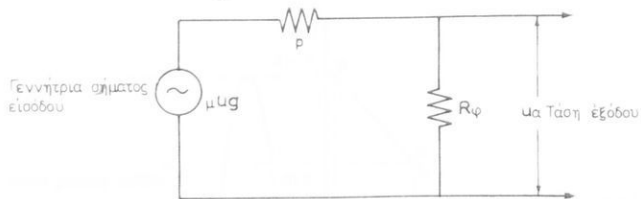
Σχ. 35.1β.

Τό εύθυγραμμο τμήμα της χαρακτηριστικής καμπύλης είναι μεταξύ Α καί Β. Στό σημείο Α ή τάση πλέγματος καθόδου είναι -19 βόλτα και τό ρεύμα άνόδου 1 mA . Στό σημείο Β ή τάση πλέγματος - καθόδου είναι -1 βόλτα και τό ρεύμα άνόδου 21 mA . Τό σημείο λειτουργίας Ρ της λυχνίας έχει έκλεγει στή μέση τού εύθυγράμμου τμήματος της χαρακτηριστικής V_g / I_a , στό σημείο αύτό άντιστοιχει ρεύμα άνόδου 11 mA .

"Αν δέν ύπαρχει σήμα στήν είσοδο, ή τάση πλέγματος - καθόδου (πόλωση) είναι -10 βόλτα και τό ρεύμα άνόδου 11 mA . Τό ρεύμα αύτό λέγεται «ρεύμα ήρεμίας» της λυχνίας. "Αν, δημος, έφαρμοσθεῖ στό πλέγμα ήμιτονικό σήμα πλάτους, π.χ. 18 βόλτα P-P (Peak to Peak = από κορυφή σε κορυφή), τό σήμα αύτό μεταβάλλει τό δυναμικό πλέγματος - καθόδου από -10 ώς -1 βόλτα στή θετική έναλλαγή και από -10 ώς -19 βόλτα στήν άρνητηκή. Τό άνοδικό ρεύμα της λυχνίας μεταβάλλεται τότε ήμιτονικά μεταξύ 1 καί 21 mA .

"Αν τό πλάτος τού σήματος είσοδου είναι μεγαλύτερο από 20 βόλτα (P-P), ή λυχνία θά βρίσκεται σε άποκοπή στό τμήμα έκεινο της άρνητηκής έναλλαγῆς τού σήματος είσοδου, στό διποίο τό δυναμικό πλέγματος - καθόδου γίνεται άρνητικότερο από -20 βόλτα. Καί έπειδή ή περίπτωση νά δουλεύει ή λυχνία σε άποκοπή **δέν πρέπει νά παρουσιάζεται σε ένισχυτή τάξεως Α**, γι' αύτό τό πλάτος τού σήματος είσοδου πρέπει νά περιορίζεται, τό πολύ, σε 20 βόλτα P-P. Άκομη γιά νά μή δημιουργεῖται παραμόρφωση στά καμπύλα τμήματα της χαρακτηριστικής V_g / I_a , τό πλάτος τού σήματος είσοδου περιορίζεται στά -18 βόλτα (P-P).

Τό ίσοδύναμο κύκλωμα μιᾶς τριόδου ένισχυτρίας (σχ. 35.1γ) περιλαμβάνει γεννήτρια μέ σήμα πλάτους μ . U_g , τήν έσωτερηκή άντισταση ρ της λυχνίας και τήν άντισταση φόρτου R_f σε σειρά μέ τήν ρ . U_g είναι ή τάση τού σήματος πού έφαρμόζεται στό πλέγμα της λυχνίας και μ είναι ή συντελεστής ένισχύσεως. Ή τά-



Σχ. 35.1γ.

ση έξοδου λαμβάνεται στά ακρα της άντιστάσεως φόρτου R_ϕ και ισούται μέ:

$$\text{Τάση έξοδου } U_a = \frac{R_\phi}{\rho + R_\phi} \mu \cdot U_g$$

Συνεπώς ή άπολαβή A της λυχνίας, ή όποια δίνεται από τό λόγο:

$$A = \frac{U_a}{U_g}$$

βρίσκεται αν στόν άριθμητή άντικατασταθεῖ τό U_a :

$$\text{Άπολαβή } A = \frac{\frac{R_\phi}{\rho + R_\phi} \mu \cdot u_g}{u_g} = \frac{\mu \cdot R_\phi}{\rho + R_\phi}$$

(Βασική σχέση ύπολογισμοῦ της άπολαβῆς σέ τρίοδο λυχνία).

Άν ό άριθμητής και ό παρονομαστής τοῦ δευτέρου μέλους διαιρεθοῦν μέ τήν R_ϕ θά ξημερεῖ:

$$A = \frac{\mu}{\frac{\rho}{R_\phi} + 1} \quad (1)$$

Εἶναι φανερό ότι τό κύκλωμα στό δεύτερο μέλος της (1) θά εἶναι τόσο μεγαλύτερο (και ή άπολαβή τόσο μεγαλύτερη), όσο ό παρονομαστής ($\frac{\rho}{R_\phi} + 1$) εἶναι μικρότερος, δηλαδή όσο μεγαλύτερη εἶναι ή άντισταση φόρτου R_ϕ σέ σύγκριση μέ τήν έσωτερική άντισταση ρ τής λυχνίας. Ή R_ϕ ομως δέν μπορεῖ νά αύξηθει σέ πολύ μεγάλες τιμές, γιατί τότε ή τάση άνόδου - καθόδου τής λυχνίας έλαττώνεται και δημιουργεῖται παραμόρφωση τοῦ σήματος έξοδου.

Ή σχέση (1) δείχνει έπισης ότι όσο μεγαλύτερος εἶναι ό συντελεστής ένισχύσεως μ , τόσο μεγαλύτερη εἶναι ή ένισχυση (άπολαβή) τής βαθμίδας.

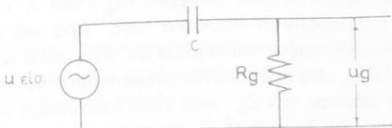
Τά ηχητικά κύματα μετατρέπονται σέ μεταβαλλόμενες ήλεκτρικές τάσεις (τάσεις σημάτων χαμηλής συχνότητας) μέ τή βοήθεια τοῦ μικροφώνου. Ή άκουστική πε-

ριοχή τῶν σημάτων αύτῶν εἶναι άπό 20 ώς 16.000 Hz. Ἡ ἐνίσχυση τάσεως χαμηλῆς συχνότητας γίνεται μέχρι ἐνισχυτικές διατάξεις πού ἐργάζονται σέ τάξη A.

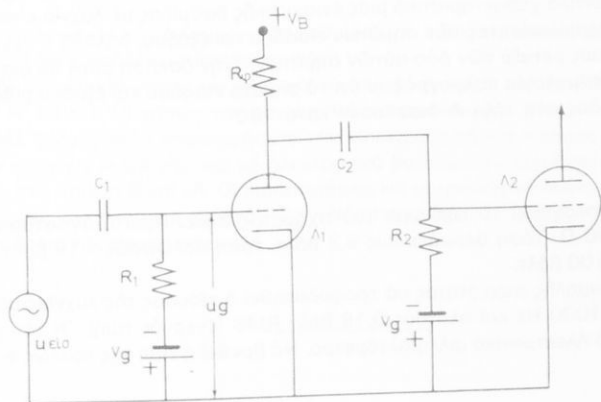
Τὰ σήματα ἐναλλασσόμενης τάσεως, τά όποια πρόκειται νά ἐνισχυθοῦν, ὀδηγοῦνται στὴ βαθμίδα ἐνισχύσεως συνήθως μέσω πυκνωτῆς. Στὸ ἀρχικό κύκλωμα τῆς ἀσκήσεως ή τάση τοῦ σήματος εἰσόδου ἐφαρμόζεται στὰ στοιχεῖα C καὶ R_g πού εἶναι σέ σειρά. Τὸ σῆμα, πού ἐφαρμόζεται στὸ πλέγμα τῆς λυχνίας, εἶναι τὸ U_g . Δηλαδὴ ή τάση πού ἀναπτύσσεται στὴν R_g . Εἶναι φανερό ὅτι ο C καὶ η R_g σχηματίζουν ἔνα διαιρέτη τῆς ἐναλλασσόμενης τάσεως τοῦ σήματος εἰσόδου καὶ ὅτι η U_g εἶναι μικρότερη ἀπό τὴν $U_{εισ}$, ἔξαιτις τῆς πτώσεως τάσεως πάνω στὸ C. Ἡ τάση U_g ἔξαρτᾶται ἀπό τὴν τιμὴ τῆς ἀντιστάσεως R_g καὶ τῆς χωρητικῆς ἀντιστάσεως X_C τοῦ πυκνωτῆς C καὶ δίνεται ἀπό τὴ σχέση:

$$u_g = \frac{R_g}{\sqrt{R_g^2 + X_C^2}} \cdot U_{εισ}$$

Ἡ χωρητική ἀντίσταση τοῦ πυκνωτῆς $X_C = 1/Cω$, ἔξαρτᾶται ἀπό τὴ συχνότητα τοῦ σήματος εἰσόδου καὶ ἀπό τὴ χωρητικότητα τοῦ C. Ὁταν τὸ σῆμα εἰσόδου εἶναι χαμηλῆς συχνότητας (π.χ. 100 Hz ή 40 Hz), ἡ ἀντίσταση τοῦ πυκνωτῆς εἶναι μεγάλη καὶ συνεπῶς ἀπομένει μικρό πλάτος σήματος U_g γιά νά δηγηθεῖ στὸ πλέγμα τῆς λυχνίας. Ἀντίθετα, ὥταν τὸ σῆμα εἰσόδου εἶναι ύψηλῆς σχετικά συχνότητας (π.χ. πλάτος ἀπό 1000 Hz καὶ ἀνω), ἡ ἀντίσταση τοῦ C εἶναι μικρή καὶ η πτώση τάσεως τοῦ σήματος εἰσόδου στὰ ἄκρα του εἶναι ἀσήμαντη. Συνεπῶς, σχεδόν ὀλόκληρο τὸ σῆμα εἰσόδου ὀδηγεῖται στὸ πλέγμα τῆς λυχνίας (σχ. 35.1δ).

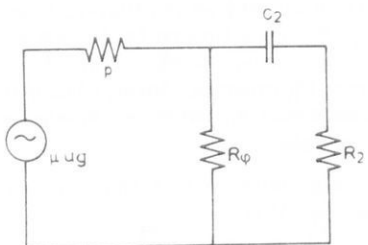


Σχ. 35.1δ.

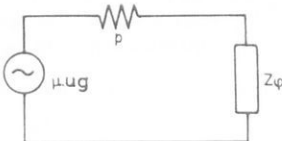


Σχ. 35.1ε.

Στό κύκλωμα τοῦ σχήματος 35.1ε ἡ λυχνία Λ_1 εἶναι ἐνισχύτρια τάσεως ἀκουστικῶν συχνοτήτων. Τό ἀκουστικό σῆμα δῦνεται πρώτα στήν εἰσοδο τῆς Λ_1 , μέσω τοῦ C_1 καὶ τῆς R_1 . Ἡ τάση U_g τοῦ σήματος αὐτοῦ πού δρᾶ στό πλέγμα τῆς Λ_1 , ἐνισχύεται καὶ ἐμφανίζεται στά ἄκρα τῆς ἀνοδικῆς ἀντιστάσεως R_ϕ . Ἀκολούθως δῦνεται μέσω τῶν C_2 καὶ R_2 στό πλέγμα τῆς ἐπόμενης λυχνίας Λ_2 .



Σχ. 35.1στ.



Σχ. 35.1ζ.

Τό ισοδύναμο, σέ σχέση μὲ τό ἐναλλασσόμενο ρεῦμα, κύκλωμα τῆς λυχνίας Λ_1 , πρέπει τώρα νά περιλαμβάνει τήν R_ϕ παράλληλα στά στοιχεῖα C_2 , R_2 (σχ. 35.1στ.). Ἡ R_ϕ εἶναι ἡ ἀντίσταση φόρτου τῆς Λ_1 , γιά τό συνεχές. Ἡ ὀλική ἀντίσταση φόρτου Z_ϕ γιά τό ἐναλλασσόμενο ρεῦμα ἀποτελεῖται ἀπό τήν R_ϕ παράλληλα στόν κλάδο C_2R_2 (σχ. 35.1ζ).

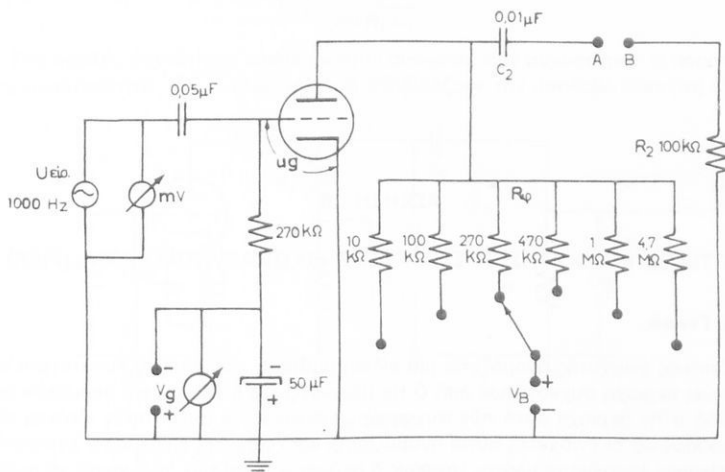
"Ἄν ὁ κλάδος C_2R_2 ἔχει ἀντίσταση $Z_2 = 10$ ἡ περισσότερες φορές μεγαλύτερη τῆς R_ϕ , ἡ ἀντίσταση φόρτου στό συνεχές (R_ϕ) καὶ ἡ ὀλική ἀντίσταση στό ἐναλλασσόμενο (Z_ϕ) θεωροῦνται πρακτικά ἴσες. Ἀρα γιά νά ὑπολογίσομε τήν ἐνίσχυση τῆς βαθμίδας, θά πρέπει νά λάβομε ὑπ' ὅψη μόνο τήν R_ϕ . "Ἄν ὅμως ἡ Z_2 εἶναι μικρότερη ἀπό $10R_\phi$, θά πρέπει στόν ὑπολογισμό τῆς ἐνισχύσεως νά λάβομε σάν ὀλική ἀντίσταση φόρτου τήν Z_ϕ , πού εἶναι ισοδύναμη μέ τίς R_ϕ καὶ Z_2 ὅταν συνδέονται παράλληλα. Ἡ Z_ϕ θά εἶναι τότε, μικρότερη καὶ ἀπό τήν R_ϕ καὶ ἡ ἐνίσχυση θά εἶναι μικρότερη ἀπό δ, τι θά ἦταν μέ ἀντίσταση φόρτου μόνον τήν R_ϕ .

Τέλος ἔνα σημαντικό χαρακτηριστικό μιᾶς ἐνισχυτικῆς βαθμίδας μέ λυχνία εἶναι ἡ σχέση μεταξύ τῆς πολικότητας τῶν σημάτων εἰσόδου καὶ ἔξόδου, δηλαδὴ ἡ σχετική διαφορά τάσεως μεταξύ τῶν δύο αὐτῶν σημάτων. Στήν ἀσκηση αὐτή θά διαπιστωθεῖ μέ συνδεσμολογία παλμογράφου ὅτι τά σήματα εἰσόδου καὶ ἔξόδου μιᾶς ἐνισχυτικῆς βαθμίδας στή τάξη Α διαφέρουν κατά 180° .

35.2 Ἐργασία.

1) Νά συνδεσμολογηθεῖ τό κύκλωμα τοῦ σχήματος 35.2. Πρώτη ἀντίσταση φόρτου $R_\phi = 10.000 \Omega$. Τάση θερμάνσεως $6,3$ βόλτ, τάση πολώσεως -16 βόλτ, τάση πηγῆς $V_B = 100$ βόλτ.

Μέ γεννήτρια χαμηλῆς συχνότητας νά τροφιδοτηθεῖ ἡ εἰσοδος τῆς λυχνίας μέ σήμα συχνότητας 1000 Hz καὶ πλάτους $0,18$ βόλτ RMS (ἐνεργός τιμή). Ἡ τάση αὐτή ἐλέγχεται ἀπό ἡλεκτρονικό μιλλιβιολτόμετρο. Νά βρεθεῖ ἡ τιμή τῆς τάσεως ἐξόδου (P-P).



Σχ. 35.2.

2) Όδηγήστε τά σημεία A - γη στά κατακόρυφα πλακίδια παλμογράφου καί παρατηρήστε καί σχεδιάστε τό παλμογράφημα τοῦ σήματος ἔξόδου.

3) Μετρήστε καί καταγράψετε τή συνεχή τάση μεταξύ ἀνόδου-καθόδου τῆς λυχνίας.

4) "Ολες οι προηγούμενες παρατηρήσεις καί μετρήσεις νά γίνουν γιά κάθε μιά ἀπό τίς ἀντιστάσεις φόρτου R_ϕ τοῦ κυκλώματος.

5) Άφοῦ χρησιμοποιήστε τή σχέση:

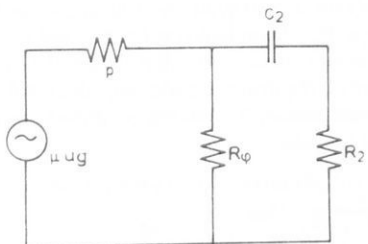
$$\text{Απολαβή } A = \frac{U_a}{U_g}$$

νά ύπολογίσετε τήν ἐνίσχυση τῆς βαθμίδας γιά κάθε ἀντίσταση φόρτου. Γράψετε ἔνα πλήρες ύπόδειγμα ύπολογισμοῦ.

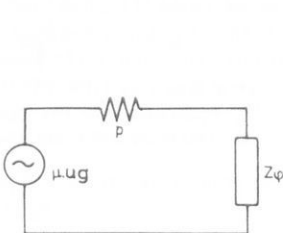
6) Βραχυκυκλώστε μεταξύ τους τά σημεία A καί B καί συνδέστε ἀντίσταση $R_\phi = 10 \text{ k}\Omega$. Οι τάσεις τῆς λυχνίας θά παραμείνουν οι ἴδιες.

Μέ παλμογράφο παρατηρήστε τήν κυματομορφή τῆς τάσεως ἔξόδου (μεταξύ τῶν σημείων A καί γῆς, καί μέ ήλεκτρονικό βολτόμετρο μετρήστε τήν τάση ἔξόδου, στά σημεῖα B καί γῆ). Οι παρατηρήσεις καί μετρήσεις νά συνεχισθοῦν γιά ὅλες τίς τιμές ἀντιστάσεως φόρτου R_ϕ . Νά συγκριθοῦν οι μετρήσεις αὐτές μέ τίς μετρήσεις τῆς περιπτώσεως 4.

Στό κύκλωμα τοῦ σχήματος 35.1ε ή λυχνία Λ_1 είναι ένισχυτρια τάσεως άκουστικών συχνοτήτων. Τό άκουστικό σήμα δόηγεται πρώτα στήν είσοδο τῆς Λ_1 , μέσω τοῦ C_1 καὶ τῆς R_1 . Ή τάση U_g τοῦ σήματος αύτοῦ πού δρᾶ στό πλέγμα τῆς Λ_1 , ένισχύεται καὶ έμφανίζεται στά ἄκρα τῆς άνοδικής άντιστάσεως R_ϕ . Ακολούθως δόηγεται μέσω τῶν C_2 καὶ R_2 στό πλέγμα τῆς ἐπόμενης λυχνίας Λ_2 .



Σχ. 35.1στ.



Σχ. 35.1ζ.

Τό ισοδύναμο, σέ σχέση μέ τό έναλλασσόμενο ρεῦμα, κύκλωμα τῆς λυχνίας Λ_1 , πρέπει τώρα νά περιλαμβάνει τήν R_ϕ παράλληλα στά στοιχεῖα C_2 , R_2 (σχ. 35.1στ.). Ή R_ϕ είναι ή άντισταση φόρτου τῆς Λ_1 , γιά τό συνεχές. Ή όλική άντισταση φόρτου Z_ϕ γιά τό έναλλασσόμενο ρεῦμα ἀποτελεῖται ἀπό τήν R_ϕ παράλληλα στόν κλάδο C_2R_2 (σχ. 35.1ζ).

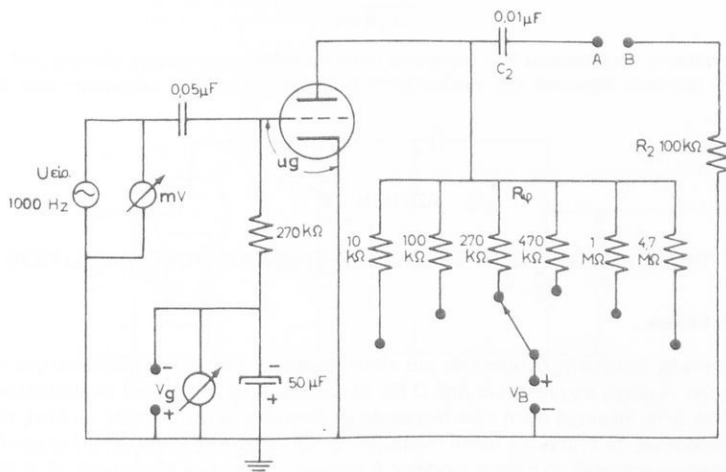
"Αν ὁ κλάδος C_2R_2 ἔχει άντισταση $Z_2 = 10$ η περισσότερες φορές μεγαλύτερη τῆς R_ϕ , ή άντισταση φόρτου στό συνεχές (R_ϕ) καὶ ή όλική άντισταση στό έναλλασσόμενο (Z_ϕ) θεωροῦνται πρακτικά ίσες. Άρα γιά νά ύπολογίσομε τήν ένισχυση τῆς βαθμίδας, θά πρέπει νά λάβομε ύπ' ὅψη μόνο τήν R_ϕ . "Αν όμως ή Z_2 είναι μικρότερη ἀπό $10R_\phi$, θά πρέπει στόν ύπολογισμό τῆς ένισχύσεως νά λάβομε σάν όλικη άντισταση φόρτου τήν Z_ϕ , πού είναι ίσοδύναμη μέ τίς R_ϕ καὶ Z_2 ὅταν συνδέονται παράλληλα. Ή Z_ϕ θά είναι τότε, μικρότερη καὶ ἀπό τήν R_ϕ καὶ ή ένισχυση θά είναι μικρότερη ἀπό δ, οτι θά ληταν μέ άντισταση φόρτου μόνον τήν R_ϕ .

Τέλος ένα σημαντικό χαρακτηριστικό μιᾶς ένισχυτικής βαθμίδας μέ λυχνία είναι ή σχέση μεταξύ τῆς πολικότητας τῶν σημάτων είσοδου καὶ έξόδου, δηλαδή ή σχετική διαφορά τάσεως μεταξύ τῶν δύο αὐτῶν σημάτων. Στήν άσκηση αὐτή θά διαπιστωθεῖ μέ συνδεσμολογία παλμογράφου ὅτι τά σήματα είσοδου καὶ έξόδου μιᾶς ένισχυτικής βαθμίδας στή τάξη Α διαφέρουν κατά 180° .

35.2 Έργασία.

1) Νά συνδεσμολογηθεῖ τό κύκλωμα τοῦ σχήματος 35.2. Πρώτη άντισταση φόρτου $R_\phi = 10.000 \Omega$. Τάση θερμάνσεως $6,3$ βόλτ, τάση πολώσεως -16 βόλτ, τάση πηγῆς $V_B = 100$ βόλτ.

Μέ γεννήτρια χαμηλής συχνότητας νά τροφοδοτηθεῖ ή είσοδος τῆς λυχνίας μέ σήμα συχνότητας 1000 Hz καὶ πλάτους $0,18$ βόλτ RMS (ένεργος τιμή). Ή τάση αύτή έλεγχεται ἀπό ήλεκτρονικό μιλλιβολτόμετρο. Νά βρεθεῖ ή τιμή τῆς τάσεως έξόδου (P-P).



Σχ. 35.2.

2) Όδηγήσετε τά σημεία A - γη στά κατακόρυφα πλακίδια παλμογράφου καί παρατηρήσετε καί σχεδιάσετε τό παλμογράφημα τοῦ σήματος ἔξόδου.

3) Μετρήσετε καί καταγράψετε τή συνεχή τάση μεταξύ ἀνόδου-καθόδου τῆς λυχνίας.

4) "Ολες οι προηγούμενες παρατηρήσεις καί μετρήσεις νά γίνουν γιά κάθε μιά ἀπό τίς ἀντιστάσεις φόρτου R_ϕ τοῦ κυκλώματος.

5) Άφοῦ χρησιμοποιήσετε τή σχέση:

$$\text{'Απολαβή } A = \frac{U_a}{U_g}$$

νά ύπολογίσετε τήν ἐνίσχυση τῆς βαθμίδας γιά κάθε ἀντίσταση φόρτου. Γράψετε ἔνα πλήρες ύποδειγμα ύπολογισμοῦ.

6) Βραχυκυκλώσετε μεταξύ τους τά σημεία A καί B καί συνδέσετε ἀντίσταση $R_\phi = 10 \text{ k}\Omega$. Οι τάσεις τῆς λυχνίας θά παραμείνουν οι τίδες.

Μέ παλμογράφο παρατηρήσετε τήν κυματομορφή τῆς τάσεως ἔξόδου (μεταξύ τῶν σημείων A καί γης, καί μέ ήλεκτρονικό βολτόμετρο μετρήσετε τήν τάση ἔξόδου, στά σημεῖα B καί γη). Οι παρατηρήσεις καί μετρήσεις νά συνεχισθοῦν γιά ὅλες τίς τιμές ἀντιστάσεως φόρτου R_ϕ . Νά συγκριθοῦν οι μετρήσεις αὐτές μέ τίς μετρήσεις τῆς περιπτώσεως 4.

ΟΠΤΙΚΟΣ ΕΝΙΣΧΥΤΗΣ "Η ΕΝΙΣΧΥΤΗΣ ΕΙΚΟΝΑΣ(VIDEO AMPLIFIER)

36.1 Γενικά.

Όπτικός ένισχυτής όνομάζεται μιά είδική βαθμίδα, πού έχει τή δυνατότητα νά ένισχυει περιοχή συχνοτήτων από 0 Hz (συνεχές) ώς 5 MHz ή καί περισσότερο. Έπειδή στήν περιοχή αύτή τών συχνοτήτων άνήκουν οι συχνότητες είκονας τής τηλεοράσεως, οι ένισχυτές αύτοι όνομάζονται καί ένισχυτές είκονας. Ο ένισχυτής τής είκονας ένισχύει τό πλάτος (τάσεως ή ρεύματος ή καί τών δύο) χωρίς νά παραμορφώνει τή μορφή τού σήματος. Τέτοιους ένισχυτές συναντάμε σέ πομπούς τηλεοράσεως (στό τμήμα τού διαμορφωτή) καθώς καί σέ όλους τούς δέκτες τηλεοράσεως, στούς όποιους ό ένισχυτής είκονας είναι μετά τό φωρατή τού σήματος τής είκονας.

Γιά νά έπιτύχομε ένίσχυση από 0 (μηδέν) Hz πρέπει νά χρησιμοποιήσομε ένισχυτές συνεχοῦς. Συναντάμε τέτοιου είδους ένισχυτές στά κυκλώματα τών πομπών καί στούς δέκτες καλής ποιότητας. Στούς κοινούς δέκτες χρησιμοποιούμε ένισχυτές είκονας μέ γραμμική ένίσχυση, ή όποια άρχιζει από 20 - 25 Hz, ση δηλαδή είναι καί ή μικρότερη συχνότητα διαμορφώσεως τού πομπού.

Άλλα καί γιά τή συχνότητα αύτή τών 20 ή 25 Hz είναι δύσκολο, νά έπιτύχομε γραμμική ένίσχυση καί νά άποφύγομε τίς παραμορφώσεις (μετατοπίσεις) φάσεως, τίς όποιες εισάγει ό πυκνωτής συζεύξεως C_g σέ συνδυασμό μέ τήν άντισταση πλέγματος R_g τής έπομβενς βαθμίδας (σχ. 36.1a).

Μιά λύση γιά τήν έπέκταση πρός τίς χαμηλές συχνότητες είναι νά χρησιμοποιήσομε μεγαλύτερες τιμές γιά τά R_g καί C_g . Άλλα καί πάλι φθάνομε σέ ένα οριο, όταν ή σταθερά χρόνου R_g . C_g περάσει τά 0,5s, πού άντιστοιχει σέ συχνότητα 3,2 Hz περίπου. Υπολογισμός μέ τή σχέση:

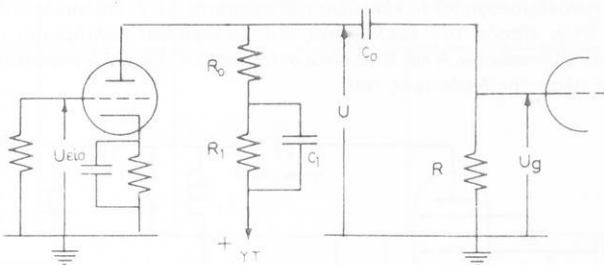
$$f_x = \frac{1}{2\pi R_g \cdot C_g}$$

Γιά τή βελτίωση τής καμπύλης άποκρίσεως πρός τίς πολύ χαμηλές αύτές συχνότητες ύπάρχει καί ή μέθοδος τής τοποθετήσεως σέ σειρά μέ τό άνοδικό κύκλωμα μιᾶς άντιστάσεως R_1 , καί ένός πυκνωτή C_1 , (σχ. 36.1a). Οι τιμές τών C_1 είναι από 10 ώς 20 μF καί τής R_1 από 1 - 10 $k\Omega$.

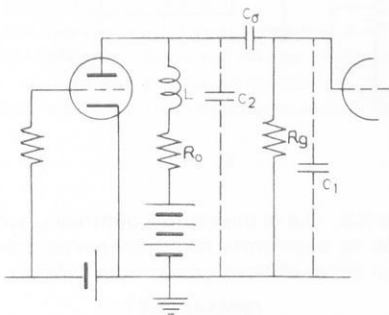
Έπειδή τά στοιχεία R_1 καί C_1 είναι έκεΐνα πού έπηρεάζουν τή μορφή τής καμπύλης στίς X.Σ., ή σχέση πού δίνει τή χαμηλότερη συχνότητα σέ ένα ένισχυτή μέ τέτοιο κύκλωμα, γίνεται:

$$f_x = \frac{1}{2\pi R_1 C_1}$$

Στίς ύψηλές συχνότητες έπιδρούν στήν άποκριση τῶν συχνοτήτων οι παρασιτικές χωρητικότητες τοῦ κυκλώματος καὶ ύποβιβάζουν τήν άπολαβή (λασκηση 26).



Σχ. 36.1α.



Σχ. 36.1β.

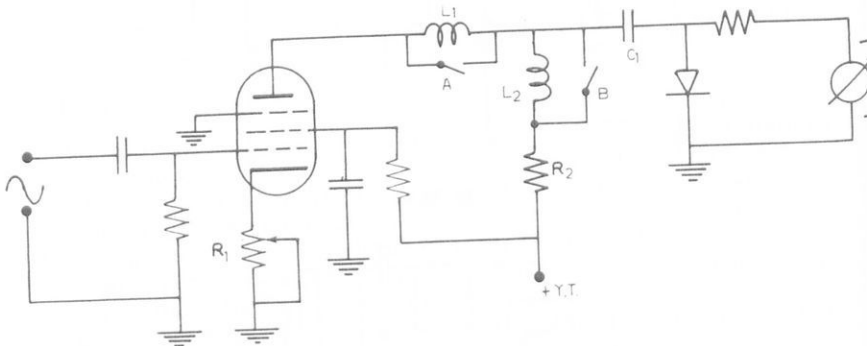
Γιά τή βελτίωση στίς Υ.Σ. τοποθετοῦνται πηνία μέ αύτεπαγωγή $100 - 1000 \mu H$, εἴτε σέ σειρά μέ τήν άντίσταση φόρτου, εἴτε σέ σειρά μέ τόν πυκνωτή συζεύξεως ή καὶ στίς δυό θέσεις. Οι αύτεπαγωγές αύτές συντονίζουν μέ τούς πυκνωτές C_2 καὶ C_0 (σχ. 36.1β) σέ μιά συχνότητα μεγαλύτερη από τήν άνωτερη συχνότητα τῆς περιοχῆς. Ἐτοι πετυχαίνομε ἐπέκταση τῆς καμπύλης ἀποκρίσεως πρός τίς Υ.Σ. καὶ γραμμικότητα τῆς ἑνισχύσεως σέ δόλοκληρο τό τμῆμα τῆς καμπύλης από τή μέση περιοχή καὶ πάνω.

Στό κύκλωμα τοῦ σχήματος 36.1β, ἡ άντίσταση R_g εἶναι τόσο μεγάλη σέ σχέση μέ τήν R_o , ώστε οὐσιαστικά ἡ R_{ol} νά ἔχει τήν τιμή τήν R_o . Ἡ τιμή τῆς αύτεπαγωγῆς L δίνεται από τή σχέση $L = \eta \cdot C_0 \cdot R_o$, δημο R_o ἡ άντίσταση φόρτου, C_0 τό

άθροισμα τῶν C_1 καὶ C_2 καὶ η εἶναι μιά κατασκευαστική σταθερά, πού κυμαίνεται ἀπό 0,2 ώς 0,7.

36.2 Έργασία.

1) Νά συνδεσμολογηθεῖ τό κύκλωμα τοῦ σχήματος 36.2. Νά συνδεθοῦν γεννήτρια Χ.Σ. στήν εἴσοδο τοῦ κυκλώματος καὶ ήλεκτρονικό βολτόμετρο συνεχοῦς πριά Χ.Σ. στήν εξόδο τοῦ κυκλώματος καὶ ήλεκτρονικό βολτόμετρο συνεχοῦς πριά Χ.Σ. στήν εξόδο. Οι διακόπτες Α καὶ Β νά εἶναι στή θέση ΕΝΤΟΣ καὶ ο ροοστάτης R_1 πε- στήν εξόδο. Οι διακόπτες Α καὶ Β νά εἶναι στή θέση ΕΝΤΟΣ καὶ ο ροοστάτης R_1 πε- πρίου στή μέση τῆς διαδρομῆς του.



Σχ. 36.2.

2) Μέ τή γεννήτρια Χ.Σ., πού οι συχνότητες φθάνουν μέχρι καὶ 200 kHz, νά ό- δηγήσετε στήν είσοδο τίς συχνότητες πού άναφέρονται στόν Πίνακα 36.2.1 μέ σταθερή τάση 0,1 βόλτ καὶ νά λάβετε τίς άντιστοιχες ένδείξεις στό οργανού έξόδου.

ΠΙΝΑΚΑΣ 36.2.1.

$u_g = \text{σταθερή} = 0,1 \text{ βόλτ}$	
$f \text{ (Hz)}$	$u_a \text{ (βόλτ)}$
20	
50	
100	
300	
1.000	
3.000	
10.000	
30.000	
100.000	

3) Άντικαταστήσετε τή γεννήτρια Χ.Σ. μέ γεννήτρια Υ.Σ. συντηρουμένων κυμά- των. Καί πάλι μέ τάση είσοδου 0,1 βόλτ νά λάβετε τίς ένδείξεις τοῦ βολτομέτρου έξόδου γιά τίς συχνότητες τοῦ Πίνακα 36.2.2.

ΠΙΝΑΚΑΣ 36.2.2.

$u_g = 0,1$ βόλτ σταθερό

f (kHz)	u_a (βόλτ)	u_a μέ διακόπτη Α ΕΚΤΟΣ	u_a μέ διακόπτες Α ΕΝΤΟΣ Β ΕΚΤΟΣ
300			
1.000			
2.000			
3.500			
4.000			
4.500			
5.000			
5.500			

4) Γιά τίς συχνότητες τής έρωτήσεως 3 λάβετε καί πάλι τίς τάσεις έξόδου άφοῦ τοποθετήσετε τό διακόπτη Α στή θέση ΕΚΤΟΣ. Καταχωρήσετε τίς μετρήσεις στή σχετική στήλη τοῦ προηγούμενου πίνακα.

5) Έπαναλάβετε τήν ίδια έργασία μέ τούς διακόπτες Α - ΕΝΤΟΣ καί Β - ΕΚΤΟΣ καί συμπληρώσετε τήν τελευταία στήλη τοῦ πίνακα. Ή έπιδραση τῶν πηνίων στίς Χ.Σ. είναι άμελητέα, γι' αύτό δέν κάνομε μετρήσεις γιά τίς Χ.Σ.

6) Χαράξετε τίς τρεῖς καμπύλες τῶν περιπτώσεων 2, 3 καί 4 στό ίδιο διάγραμμα.

ΑΣΚΗΣΗ 37

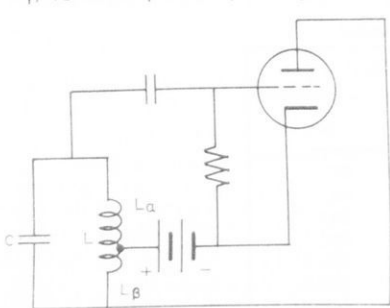
ΤΑΛΑΝΤΩΤΕΣ ΥΨΗΛΩΝ ΣΥΧΝΟΤΗΤΩΝ

37.1 Γενικά.

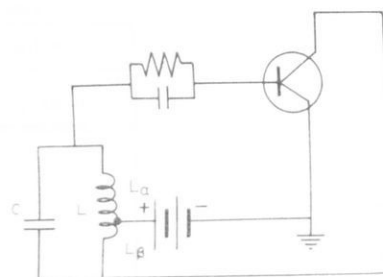
Όταν ταλαντωτής είναι μιά διάταξη παραγωγής κυμάνσεων ύψηλών συχνοτήτων. (Κύκλωμα ταλαντωτή χαμηλών συχνοτήτων έξετάζεται στήν ασκηση 38). Είναι ή πρώτη καί βασική βαθμίδα σέ ένα πομπό. Βαθμίδα ταλαντώτρια ύπαρχει καί σέ κάθε δέκτη. Ότοπικός ταλαντωτής σέ ένα δέκτη παράγει μιά ύψηλή συχνότητα, ή όποια συμβάλλει μέ τή συχνότητα πού έκπεμπει ο πομπός του σταθμού πού πιάνομε καί μᾶς δίνουν τή συχνότητα έκεινη στήν όποια είναι συντονισμένα νά δουλεύουν τά κυκλώματα Μέσης Συχνότητας τού δέκτη.

Τό κύκλωμα ένός ταλαντωτή είναι κύκλωμα ένισχυτή, στόν όποιο, μέ κατάλληλη συνδεσμολογία, έχομε έπιβάλλει θετική άναδραση γιά τήν έναρξη καί τή συντήρηση τών ταλαντώσεων. "Ένα κύκλωμα ταλαντωτή περιλαμβάνει:

- Μιά λυχνία ή ένα τρανζίστορ συνδεσμολογημένα σέ ένισχυτική διάταξη.
- Τά στοιχεία προσδιορισμού τών ταλαντώσεων πού είναι τό πηνίο L καί ή πυκνωτής C . Τά στοιχεία αύτά μπορεῖ νά είναι συνδεσμολογημένα στήν έξοδο τού ένισχυτή ώς φορτίο ή στήν εισοδό του καί
- τό κύκλωμα άναδράσεως.



Σχ. 37.1α.



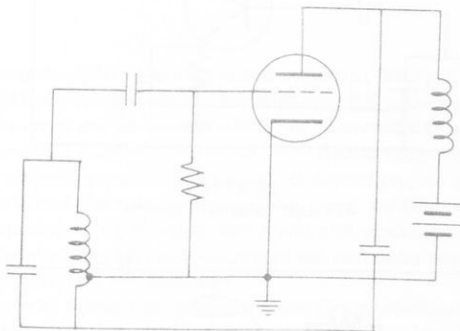
Σχ. 37.1β.

Κυκλώματα Hartley μέ τροφοδότηση σειράς.

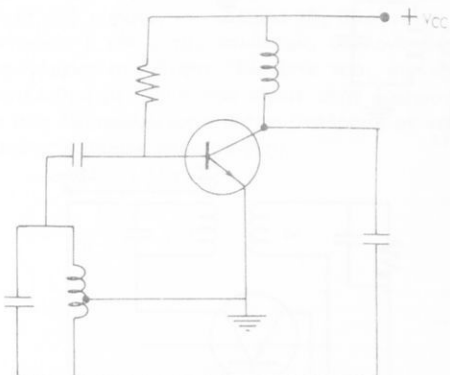
Στά σχήματα 37.1α καί 37.1β φαίνονται κυκλώματα ταλαντώσεων Hartley. Τό σχήμα 37.1α είναι μέ λυχνία καί τό σχήμα 37.1β μέ τρανζίστορ.

Τό τμήμα L_B τοῦ πηνίου L είναι τό στοιχεῖο μέ τό δύο έξασφαλίζομε τή θετική άνάδραση καί μέ αύτή τή συντήρηση τῶν ταλαντώσεων.

Τά ίδια κυκλώματα Hartley, ἀλλά μέ παράλληλη τροφοδότηση φαίνονται στά σχήματα 37.1γ καί 37.1δ.



Σχ. 37.1γ.

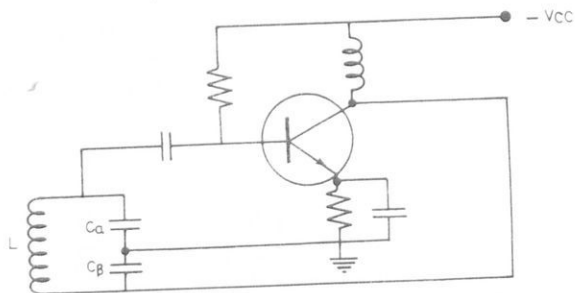


Σχ. 37.1δ.

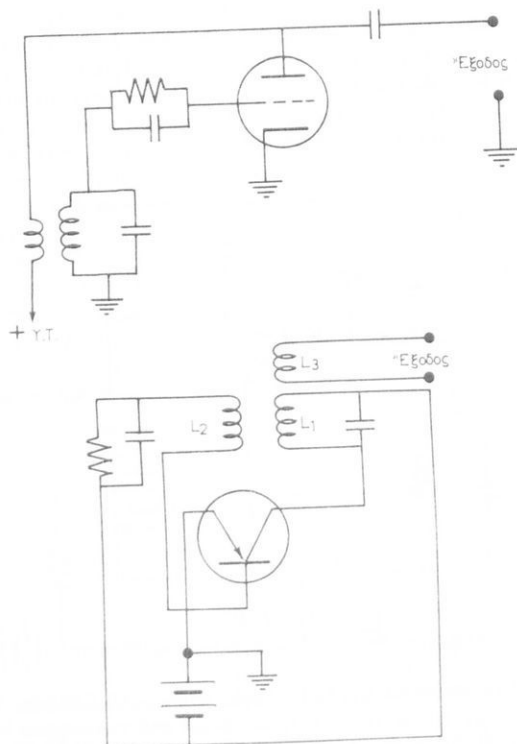
Κυκλώματα Hartley μέ παράλληλη τροφοδότηση.

Στό σχήμα 37.1ε φαίνεται συνδεσμολογία ταλαντωτῆ Colpitts. Ή άνάδραση στό κύκλωμα αύτό γίνεται μέ τόν ίδιο τρόπο όπως στά κυκλώματα Hartley ὅχι δύμας ἀπό τό πηνίο, ἀλλά ἀπό τόν πυκνωτή, ὁ δύοιος χωρίζεται σέ δύο τμήματα. Τό τμήμα C_B ἔχει τέτοια τιμή ώστε ἡ άνάδραση πού γίνεται ἀπό αύτό νά συντηρεῖ τίς ταλαντώσεις.

Μιά ἄλλη συνδεσμολογία πού χρησιμοποιεῖται στά κυκλώματα τοπικοῦ ταλαντωτῆ στούς δέκτες είναι τό κύκλωμα Meissner (σχ. 37.1στ). Σέ αύτό τό κύκλωμα ἡ



Σχ. 37.1ε.
Κύκλωμα ταλαντωτή Colpitts.



Σχ. 37.1στ.
Κυκλώματα Meissner.

άναδραση γίνεται μέ το πηνίο L_2 πού βρίσκεται σέ σύζευξη μέ τό L_1 . Τό ξεχωριστό πηνίο άναδράσεως L_2 παρέχει τή δυνατότητα μεταβλητής συζεύξεως, δηλαδή δυνατότητα έλεγχου καί ρυθμίσεως τοῦ ποσοστοῦ άναδράσεως μέ άποτέλεσμα τήν καλύτερη λειτουργία τοῦ κυκλώματος τῶν ταλαντώσεων.

37.2 Έργασία.

1) Νά συνδεσμολογηθεῖ τό κύκλωμα τοῦ σχήματος 37.1γ. Κύκλωμα Hartley μέ λυχνία σέ παράλληλη τροφοδότηση. Νά παρεμβληθεῖ μιλλιαμπερόμετρο στό κύκλωμα τοῦ πλέγματος καί νά διαπιστωθοῦν οἱ ταλαντώσεις ἀπό τό ρεῦμα πλέγματος. Οἱ ταλαντώσεις διαπιστώνονται καί μέ τό ἄναμα ἐνός μικροῦ λαμπτήρα ἀπό αὐτούς πού χρησιμοποιοῦμε στούς φακούς. 'Ο λαμπτήρας θά ἀνάβει, δταν ἔχομε ταλαντώσεις, ἃν στά ἄκρα του κολλήσομε ἔνα μικρό καλώδιο τυλιγμένο σέ 4 - 5 σπεῖρες καί πλησιάσομε τίς σπεῖρες στό πηνίο τοῦ κυκλώματος.

2) Νά γίνει διαπίστωση τῶν ταλαντώσεων καί στά ἄλλα κυκλώματα τῆς ἀσκήσεως μέ διάταξη Colpitts καί Meissner.

3) 'Οδηγήσετε τήν ἔξοδο τοῦ ταλαντωτῆ σας (δποιο κύκλωμα θέλετε) στά πλακίδια κατακόρυφης ἀποκλίσεως παλμογράφου. 'Ο παλμογράφος νά ρυμισθεῖ γιά νά παρέχει στίγμα. Στά πλακίδια ὄριζόντιας ἀποκλίσεως ὀδηγήσετε τό σῆμα ἀπό μάγεννήτρια ταλαντώσεων. "Αν μεταβάλλετε τή συχνότητα τῆς γεννήτριας θά ἔχετε στόν παλμογράφο διάφορα σχήματα Lissajous. 'Από τά σχήματα αύτά προσδιορίσετε τή συχνότητα πού παράγει τό κύκλωμα τῆς ἀσκήσεως.

4) 'Από τά στοιχεῖα L καί C τῆς ἀσκήσεως, ὑπολογίσετε μέ τή σχέση τοῦ Τόμσον τήν παραγόμενη συχνότητα. 'Ελεγχετε τούς ὑπολογισμούς σας συγκρίνοντας τό ἀποτέλεσμα μέ ἐκείνο πού είχατε στήν προηγούμενη ἐρώτηση.

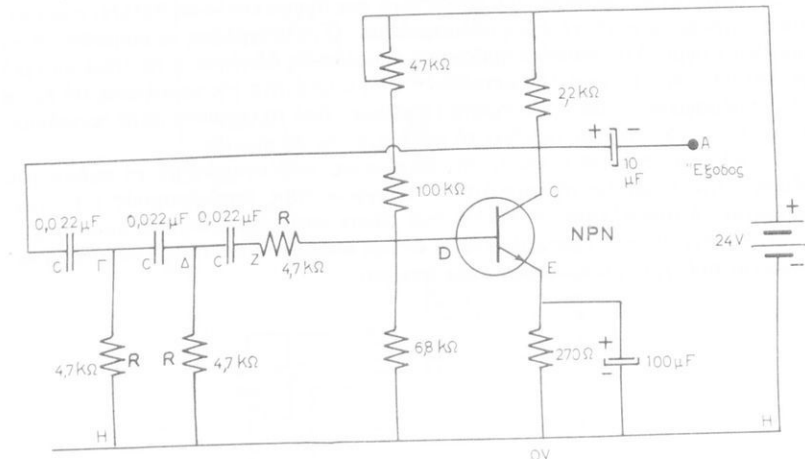
5) 'Εξηγήσετε πῶς ἔξασφαλίζεται ἡ θετική άναδραση σέ κάθε ἔνα ἀπό τά κυκλώματα πού χρησιμοποιήσατε στήν ἀσκηση.

ΑΣΚΗΣΗ 38

ΤΑΛΑΝΤΩΤΗΣ RC (ΜΕ ΜΕΤΑΘΕΣΗ ΦΑΣΕΩΣ)

38.1 Γενικά.

Τό κύκλωμα τοῦ σχήματος 38.1 είναι ἔνας ταλαντωτής μὲν μετάθεση φάσεως, που παράγει σήμα χαμηλῆς συχνότητας ήμιτονικῆς μορφῆς. Ἡ συχνότητα τῶν ταλαντώσεων πού παράγονται δρίζεται ἀπό τό δικτύωμα τῶν τριών πυκνωτῶν καὶ τῶν τριών ἀντιστάσεων C καὶ R.



Σχ. 38.1.

Τό κύκλωμα τοῦ ταλαντωτῆ μὲν μετάθεση φάσεως.

Ἡ ἀντίσταση 2200Ω είναι ἡ ἀντίσταση φόρτου τοῦ τρανζίστορ. Οἱ ἀντιστάσεις R 147.000Ω ($100.000 + 47.000\Omega$), 6800Ω καὶ 270Ω ἔξασφαλίζουν τὴν πόλωση τῆς βάσεως. Οἱ τρεῖς πυκνωτές C ($= 22.000\mu F$) καὶ οἱ τρεῖς ἀντιστάσεις R ($= 4700\Omega$) δημιουργοῦν συνολική μετάθεση φάσεως κατά 180° . Ἐπειδή καὶ στό τρανζίστορ ἔχομε ἀντιστροφή φάσεως 180° στίς τάσεις εἰσόδου - ἔξόδου (τρανζίστορ κοινοῦ ἐκπομποῦ), ἔξασφαλίζεται ἔτσι ἡ θετική («ἐν φάσει») ἀνάδραση καὶ συντηροῦνται οἱ ταλαντώσεις.

Ἡ συχνότητα τῶν ταλαντώσεων δίνεται μὲν καλή προσέγγιση ἀπό τόπο:

$$f = \frac{1}{2\pi\sqrt{6 R C}}$$

38.2 Έργασία.

- 1) Νά γίνει άναγνώριση τοῦ κυκλώματος (σχ. 38.1).
- 2) Νά ύπολογισθεῖ ἡ συχνότητα τῶν ταλαντώσεων μέ χρήση τοῦ τύπου πού ἔχει διοθεῖ ($R = 4700 \Omega$, $C = 22.000 \mu F$).
- 3) Νά συνδεθοῦν τά ἄκρα A καὶ H στήν κατακόρυφη εἶσοδο παλμογράφου. Νά παρατηρηθεῖ ἡ κύμανση πού παράγει ὁ ταλαντώτης μέ κατάλληλη ρύθμιση τῆς σαρώσεως τοῦ παλμογράφου.
- 4) Νά μετρηθεῖ μέ τὸν παλμογράφο (σχήματα Lissajous) ἡ συχνότητα τῶν ταλαντώσεων πού παράγονται. Γιά τό σκοπό αὐτό ὁ παλμογράφος νά ἐτοιμασθεῖ ὥστε νά βγάζει στίγμα στήν ὄθόνη του. Στίς δύο εἰσόδους του (κατακόρυφη, δριζόντια) νά ὀδηγηθοῦν:
 - a) Ἡ κύμανση τοῦ κυκλώματος.
 - β) Τό σῆμα ἀπό μιά γεννήτρια γνωστῆς χαμηλῆς συχνότητας.
- 5) Στά σημεῖα A - H μετρεῖται ἡ τάση ἔξόδου μέ ήλεκτρονικό βολτόμετρο AC. Στά σημεῖα Γ - H, Δ - H καὶ Z - H μετροῦνται οἱ ἑναλλασσόμενες τάσεις, καθώς ἔχασθενοῦν στό δικτύωμα R - C.

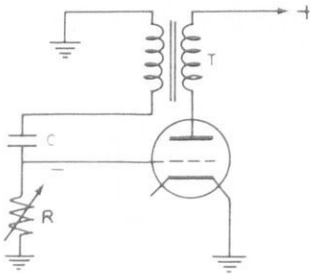
ΤΑΛΑΝΤΩΤΗΣ ΦΡΑΓΜΟΥ(BLOCKING OSCILLATOR)

39.1 Γενικά.

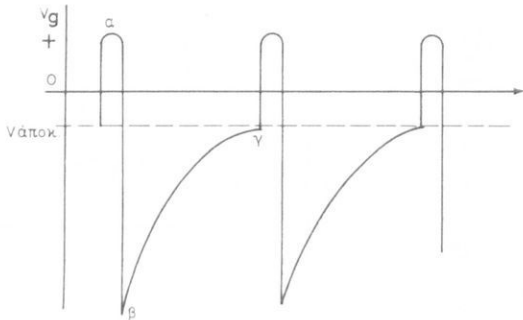
Ο ταλαντωτής φραγμού είναι ένας τύπος αύτοδιεγειρόμενου ταλαντωτή. Η θετική άναδραση γίνεται μέ τόν ίδιο τρόπο όπως και στόν ταλαντωτή Meissner (ασκηση 37).

Οι βασικές διαφορές μεταξύ τοῦ ταλαντωτή φραγμοῦ καί τοῦ ταλαντωτή Meissner είναι ότι ή κυματομορφή έξόδου τοῦ πρώτου δέν είναι ήμιτονική καί ότι ή συχνότητα λειτουργίας του δρίζεται άπο τίς τιμές τῶν R καί C (σχ. 39.1α).

"Όταν τροφοδοτηθεῖ τό κύκλωμα τοῦ σχήματος 39.1α ή άρχική άναπτυξη τοῦ άνοδικοῦ ρεύματος δημιουργεῖ ένα μεταβαλλόμενο μαγνητικό πεδίο στό πρωτεύον τοῦ μετασχηματιστῆ T , τό όποιο άναπτύσσει στό δευτερεύον τύλιγμα μιά τάση μεγάλου πλάτους.



Σχ. 39.1α.



Σχ. 39.1β.

"Άν συνδεσμολογήσομε τό δευτερεύον μέ τέτοιο τρόπο, ώστε ή τάση πού άναπτύσσεται νά όδηγει τό πλέγμα σέ θετικά δυναμικά σέ σχέση μέ τήν κάθοδο, τότε ή πυκνωτής C τείνει νά φορτισθεῖ στήν τάση αύτή (σημεῖο α, σχ. 39.1β).

"Όταν τό πλέγμα είναι σέ θετικά δυναμικά, έπιτρέπει μιά έπιπλέον αύξηση τοῦ άνοδικοῦ ρεύματος, μέχρι τό σημεῖο, πού έξαιτίας τής πτώσεως τάσεως στά άκρα τοῦ πρωτεύοντος, ή άνοδική τάση γίνεται τόσο μικρή, ώστε νά μη μπορεῖ νά μεγαλώσει άλλο τό άνοδικό ρεύμα. "Έτσι τό άνοδικό ρεύμα φθάνει μέχρι μιά σταθερή τιμή.

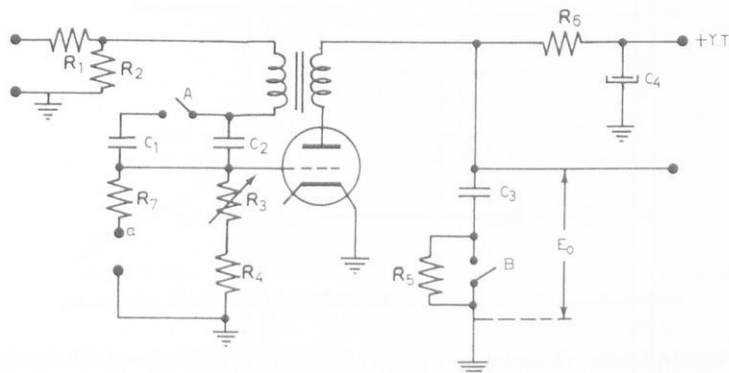
"Όταν δημιουργείται ένα άνοδικό ρεύμα πάρει σταθερή τιμή, τότε μαγνητικό πεδίο του πρωτεύοντος παύει νά μεταβάλλεται πλέον και έπομένως δέν έχουμε άναπτυξη τάσεως έξι έπαγγης στό δευτερεύον. Καί αφού δέν άναπτυσσεται τάση στό δευτερεύον και τό πλέγμα της λυχνίας δέν φθάνει σε θετικά δυναμικά, ο πυκνωτής C άρχιζει νά έκφορτιζεται άπο τήν άντισταση R, όποτε αυτή διαρρέεται άπο ρεύμα πού δημιουργεῖ στά δίκρα της μιά τάση μέ πολικότητα (σχ. 39.1α). Τό πλέγμα μέ τόν τρόπο αυτό γίνεται άρνητικό, και μάλιστα μέ δυναμικό πολύ πέρα άπο τήν άποκοπή, όποτε τό άνοδικό ρεύμα διακόπτεται (σημείο β, σχ. 39.1β).

Η έκφορτιση τού πυκνωτή (διαδρομή β - γ, σχ. 39.1β) διαρκεῖ μιά χρονική περίοδο πού όριζεται άπο τά στοιχεία C και R τού κυκλώματος. "Όταν ή τάση στά δίκρα της άντιστασεως φθάσει τήν τάση άποκοπής (σημείο γ), ή λυχνία άρχιζει νά άγει καί άπο αυτή τή στιγμή έπαναλαμβάνεται ή δηλη λειτουργία.

Τά κυκλώματα τού ταλαντωτή φραγμού περιλαμβάνουν μιά άντισταση ππώσεως τής τάσεως σέ σειρά μέ τό πρωτεύον, γιά τόν περιορισμό τού άνοδικού ρεύματος. Έπισης μιά άντισταση παράλληλα στό πρωτεύον τύλιγμα γιά τόν περιορισμό τών άποσβενυμένων ταλαντώσεων πού δημιουργούνται μέ μικρό πλάτος, άλλα μέ μεγαλύτερη συχνότητα (σχ. 39.1γ).



Σχ. 39.1γ.



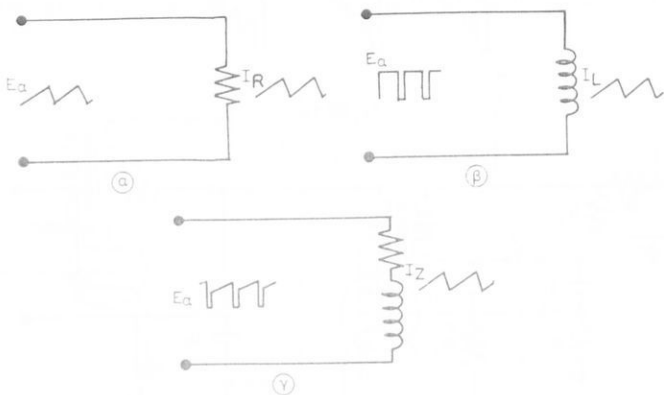
Σχ. 39.1δ.

Στό κύκλωμα ταλαντωτή φραγμού (σχ. 39.1δ), οι άντιστασεις R_3 και R_4 κατέχουν τή θέση της άντιστασεως R στό σχήμα 39.1α. Έπισης οι πυκνωτές C_1 και C_2 κατέχουν τή θέση του C στό σχήμα 39.1α. Η άντισταση R_6 τοποθετείται γιά τόν

περιορισμό του άνοδικού ρεύματος. Ο πυκνωτής C_2 φορτίζεται όταν ή λυχνία δέν είναι άγωγιμη καί έκφορτίζεται μόλις αύτή άρχισει νά άγει. Αύτό έχει ως άποτέλεσμα τη δημιουργία πριονωτής κυμάνσεως στά ακρα του. Η πριονωτή αύτή κύμανση είναι κατάλληλη για νά χρησιμοποιηθεί σάν τάση σαρώσεως στούς καθοδικούς σωλήνες ήλεκτροστατικής έκτροπής, όχι όμως καί στούς σωλήνες ήλεκτρομαγνητικής έκτροπής, πού είναι σέ γενική σχεδόν χρήση στούς δέκτες τηλεοράσεως καί στούς όποιους χρειάζεται πριονωτή κύμανση ρεύματος.

"Αν τά πηνία έκτροπής, πού χρησιμοποιούνται στούς καθοδικούς σωλήνες τῶν δεκτῶν τηλεοράσεως, δροῦσαν ως καθαρές ώμικες άντιστασεις, θά ήταν δυνατό νά παραχθεῖ σέ αύτά ένα ρεύμα πριονωτής μορφής, όταν θά έφαρμοζόταν στά ακρα τους πριονωτή τάση. Η διαδικασία αύτή φαίνεται στό σχήμα 39.1ε, όπου ή πριονωτή τάση E_0 πού έφαρμόζεται στά ακρα τής R προκαλεῖ τή δημιουργία ρεύματος I_R πριονωτής μορφής. "Ομως έξαιτίας τής αύτεπαγωγής τῶν πηνίων έκτροπής δέν έμφανίζεται ρεύμα πριονωτής μορφής όταν έφαρμόσουμε πριονωτή τάση. "Αν πάλι τά πηνία έκτροπής παρουσίαζαν μόνο καθαρή αύτεπαγωγή θά είχαμε σέ αύτά ρεύμα πριονωτής μορφής άν έφαρμόζαμε τάση όρθογωνών παλμῶν (σχ. 39.1ε).

Στήν πράξη όμως είναι άδύνατον νά κατασκευαστοῦν πηνία έκτροπής χωρίς ώμική άντισταση. "Όλα τά πηνία έχουν αύτεπαγωγή L καί ώμική άντισταση R_L , σί όποιες θεωρούνται οτι είναι συνδεμένες σέ σειρά (σχ. 39.1ε).



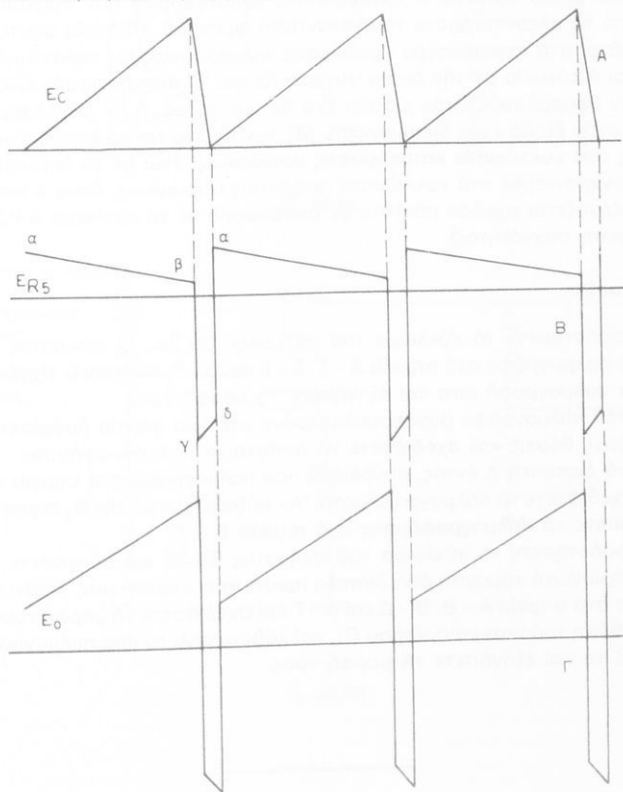
Σχ. 39.1ε.

"Επειδή λοιπόν, τό κύκλωμα περιέχει άναποφέυκτα αύτεπαγωγή καί ώμική άντισταση, ή τάση πού άπαιτείται γιά τήν παραγωγή ρεύματος πριονωτής μορφής δέν πρέπει νά είναι, ούτε πριονωτή, ούτε όρθογωνία, άλλα νά έχει μορφή τραπεζοειδή, πού περιέχει ταυτόχρονα στοιχεῖα τόσο άπο πριονωτή ίσο καί άπο όρθογωνία κυματομορφή.

"Ένα κύκλωμα γιά παραγωγή τάσεως μέ τραπεζοειδή μορφή είναι τού σχήματος 39.1δ. Σέ αύτό ο πυκνωτής C_3 φορτίζεται άπο τήν R_B . Μιά δεύτερη άντισταση R_5

είναι σέ σειρά μέ τόν C_3 καί ἀπό αύτή περνᾶνε τά ρεύματα φορτίσεως καί ἐκφορτίσεως τοῦ C_3 . Ή ἀντίσταση R_5 ἔχει σχετικά μικρή τιμή καί ἡ ἐπίδρασή της στό χρόνο φορτίσεως καί ἐκφορτίσεως τοῦ C_3 είναι ἀμελητέα.

“Οταν ἡ λυχνία είναι σέ ἀποκοπή καί ὁ C_3 φορτίζεται, κινοῦνται ἡλεκτρόνια ἀπό τό σασσί καί τήν R_5 πρός τόν ἀρνητικό ὄπλισμό τοῦ C_3 καί ἀπό τό θετικό ὄπλισμό καί τήν R_6 πρός τό + τῆς Y.T. “Οταν ἡ λυχνία ἄγει, ἡλεκτρόνια ἔγκαταλείπουν τόν ἀρνητικό ὄπλισμό τοῦ C_3 καί κινοῦνται μέσα ἀπό τήν R_5 πρός τό σασσί καί συνέχεια ἀπό τή λυχνία (κάθοδος - ἀνοδος) πρός τό θετικό ὄπλισμό τοῦ C_3 . Ή κίνηση αύτή ἀναπτύσσει μιά πριονωτή τάση E_C στά ἄκρα τοῦ C_3 , ὅπως φαίνεται στό σχῆμα 39.1στ. Τά ρεύματα φορτίσεως καί ἐκφορτίσεως τοῦ C_3 ὅπου περνοῦν ἀπό τήν R_5 ἀναπτύσσουν στά ἄκρα της μιά τάση ὥστε στό σχῆμα 39.1στ. Στή φόρτιση τοῦ C_3 ἡ διεύθυνση κινήσεως τῶν ἡλεκτρονίων είναι τέτοια, ὥστε τό ἄνω ἄκρο τῆς R_5 νά γίνεται θετικό ὡς πρός τό σασσί· ἀντίθετα στήν ἐκφόρτιση τοῦ C_3 τό ἴδιο σημεῖο γίνεται ἀρνητικό ὡς πρός τό σασσί (σχ. 39.1δ).



Σχ. 39.1στ.

Στήν άρχη κάθε κύκλου φορτίσεως - έκφορτίσεως, τό ρεῦμα φορτίσεως είναι μέγιστο καὶ ἡ τάση στά ἄκρα τῆς R_5 παίρνει μιά μέγιστη τιμή (σχ. 39.1στ, σημεῖο α). Καθώς ἡ φόρτιση τοῦ C_3 συνεχίζεται, τό ρεῦμα περιορίζεται καὶ ἡ τάση E_{R_5} ἐλαπτώνεται (σημεῖο β).

Ἐπίσης, στήν άρχη τοῦ χρόνου έκφορτίσεως, τό ρεῦμα είναι καὶ πάλι μέγιστο καὶ μιά μεγάλη ἀρνητική τάση ἀναπτύσσεται στά ἄκρα τῆς R_5 (σχ. 39.1στ, σημεῖο γ). Μέ τό χρόνο τό ρεῦμα έκφορτίσεως μικραίνει καὶ ἡ τάση E_R ἐλαπτώνεται (σημεῖο δ). "Οταν ἡ λυχνία παύει νά είναι ἀγώγιμη, δ C_3 ἀρχίζει πάλι νά φορτίζεται καὶ ἡ τάση στά ἄκρα τῆς R_5 φθάνει τή μέγιστη τιμή (σημεῖο α) καὶ ἔτσι συμπληρώνεται ἔνας κύκλος.

"Οπως φαίνεται στό σχῆμα 39.1δ, ἡ τάση ἔξοδου E_0 ἀναπτύσσεται στά ἄκρα τῶν C_3 καὶ R_5 πού είναι σέ σειρά. "Αρα σέ κάθε στιγμή ἡ E_0 ισοῦται μέ τό ἀλγεβρικό ἄθροισμα τῶν E_C καὶ E_{R_5} . Τό ἄθροισμα αὐτό δίνεται γραφικά στό σχῆμα 39.1στ, στό όποιο φαίνεται ἡ τραπεζοειδής κυματομορφή πού προκύπτει.

"Ἐνα ἀπό τά πλεονεκτήματα τοῦ ταλαντωτῆ φραγμοῦ, τό όποιο συντελεῖ ὥστε νά προτιμᾶται στά περισσότερα κυκλώματα τηλεοράσεως ώς ταλαντωτῆς σαρώσεως, είναι ἡ εύκολιά μέ τήν όποια συγχρονίζεται. "Ο συγχρονισμός είναι δυνατό νά γίνει ἀν ἑφαρμόσομε στήν εἰσοδο ἔνα θετικό παλμό, ἡ ἀν συνδέσομε τήν εἰσοδό του στήν ἔξοδο ἐνός διευκρινιστῆ. Μέ τόν πρώτο τρόπο ἐπιτυγχάνεται συγχρονισμός στά κυκλώματα κατακόρυφης σαρώσεως, ἐνώ μέ τό δεύτερο ἐπιτυγχάνεται συγχρονισμός στά κυκλώματα δριζόντιας σαρώσεως, δημο πό ταλαντωτῆς φραγμοῦ ἐργάζεται σχεδόν πάντοτε σέ συνδυασμό μέ τό κύκλωμα Α.Ρ.Σ. (Αὐτόματη ρύθμιση συχνότητας).

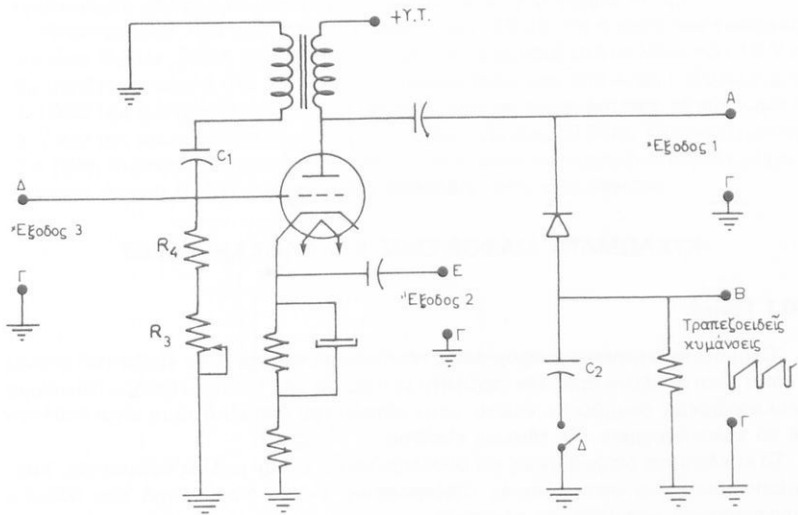
39.2 Ἐργασία.

1) Τροφοδοτήσετε τό κύκλωμα τοῦ σχήματος 39.2α. Ὁ διακόπτης Δ ἐντός. Συνδέσετε παλμογράφο στά σημεῖα A - Γ, E - Γ καὶ Δ - Γ, διαδοχικά, σχεδιάσετε τά ἀντίστοιχα παλμογραφήματα καὶ ἔξηγήσετε τή μορφή τους.

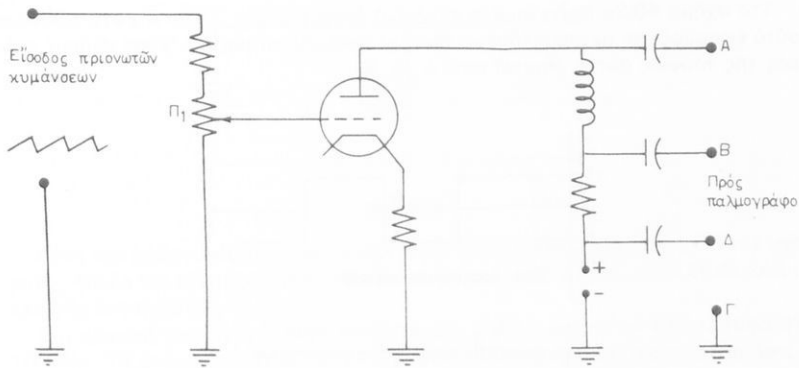
2) Μέ τόν παλμογράφο συνδεσμολογημένο στά ἴδια σημεῖα ρυθμίσετε τήν R_3 στίς διάφορες θέσεις καὶ σχεδιάσετε τά ἀντίστοιχα παλμογραφήματα.

3) Μέ τό διακόπτη Δ ἐντός, συνδέσετε τόν παλμογράφο στά σημεῖα A - Γ καὶ B - Γ καὶ σχεδιάσετε τά παλμογραφήματα. "Αν αὔξηθε ἡ τιμή τῆς R_3 παρατηρήσετε καὶ σχεδιάσετε τά παλμογραφήματα στά σημεῖα B - Γ.

4) Τροφοδοτήσετε τό κύκλωμα τοῦ σχήματος 39.2β καὶ ὀδηγήσετε στήν εἰσοδό του πριονωτή κύμανση ἀπό διάταξη πριονωτῶν κυμάνσεων. Λάβετε παλμογραφήματα στά σημεῖα A - B, B - Δ καὶ A - Γ καὶ σχεδιάσετε τή μορφή τους. Μεταβάλετε τή θέση τοῦ ποτενσιομέτρου Π₁, καὶ λάβετε πάλι τά ἴδια παλμογραφήματα, σχεδιάσετε τα καὶ ἔξηγήσετε τή μορφή τους.



Σχ. 39.2α.



Σχ. 39.2β.

ΑΣΚΗΣΗ 40

ΚΥΚΛΩΜΑΤΑ ΔΙΑΦΟΡΙΣΕΩΣ ΚΑΙ ΟΛΟΚΛΗΡΩΣΕΩΣ

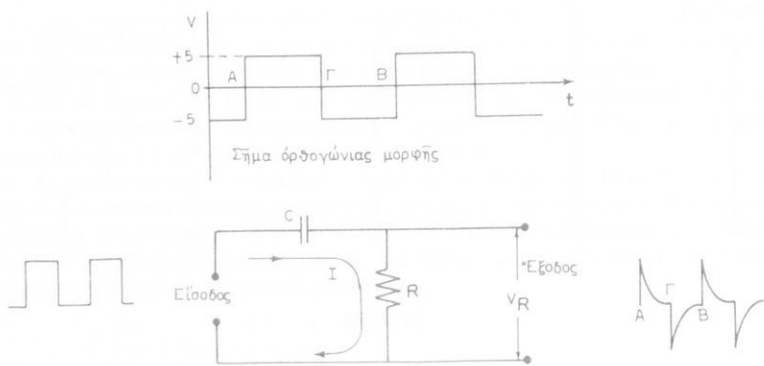
40.1 Γενικά.

Όνομάζεται κύκλωμα διαφορίσεως τό κύκλωμα έκεινο, στήν εξόδο τού όποιου ή τάση είναι άναλογη πρός τήν ταχύτητα μεταβολής τής τάσεως είσοδου. Κύκλωμα όλοκληρώσεως όνομάζεται έκεινο, στήν είσοδο τού όποιου ή τάση είναι άναλογη μέ το «όλοκλήρωμα» τής τάσεως είσοδου.

Τά κυκλώματα διαφορίσεως και όλοκληρώσεως έχουν πολλές έφαρμογές. Χρησιμοποιούνται καί στους δέκτες τηλεοράσεως, γιά τό διαχωρισμό τῶν παλμῶν συγχρονισμοῦ γραμμῶν καί πλαισίων.

40.2 Τό κύκλωμα διαφορίσεως.

Στό σχῆμα 40.2α φαίνεται ένα κύκλωμα διαφορίσεως. "Εστω ότι στό κύκλωμα αύτό έφαρμόζεται μεταβαλλόμενη τάση μέ όρθογώνια μορφής. "Ένας πλήρης παλμός τής τάσεως αύτής διαρκεῖ άπό Α ως Β.

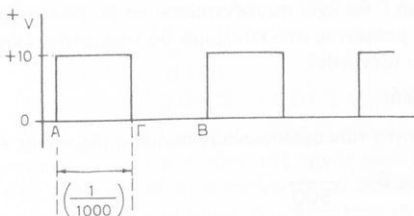


Σχ. 40.2α.

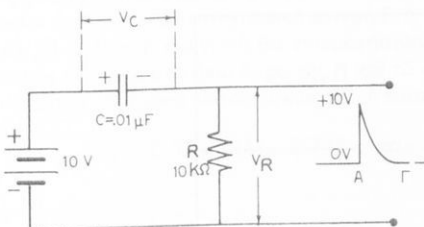
Γιά νά γίνουν οι συλλογισμοί πού άκολουθοιν άπλούστεροι, θά μεταθέσομε τή στάθμη άναφορᾶς 0 βόλτη κατά 5 βόλτη πρός τά κάτω. Μέ αύτό τόν τρόπο ή τάση

όρθογώνιας μορφής Θά είναι αύτή που φαίνεται στό σχήμα 40.2β.

Παρατηροῦμε λίγο πριν άπό τό σημείο Α (σχ. 40.2β) ότι ή τάση πού έφαρμόζεται είναι Ο βόλτ. Στό Α ύψωνεται άπότομα (κατακόρυφα) στή στάθμη τῶν 10 V καί διατηρεῖται σταθερή στά 10 βόλτ στό χρονικό διάστημα άπό Α ώς Γ (έστω π.χ. έπι 1/1000 τού δευτερολέπτου). Είναι, δηλαδή, σάν νά τροφοδοτεῖται τό κύκλωμα έπι 1/1000 τοῦ δευτερολέπτου μέ πηγή συνεχούς τάσεως 10 βόλτ. Τή χρονική στιγμή Γ ή τάση τῆς πηγῆς πέφτει πάλι άπότομα στά Ο βόλτ καί παραμένει Ο βόλτ μέχρι τή χρονική στιγμή Β. Καί στή συνέχεια ό κύκλος έπαναλαμβάνεται.



Σχ. 40.2β.



Σχ. 40.2γ.

Αύτή τήν όρθογώνια τάση δδηγούμε στήν είσοδο τοῦ κυκλώματος CR τοῦ σχήματος 40.2α καί έχετάζομε ποιά Θά είναι ή μορφή τῆς τάσεως στήν είσοδο στά άκρα τῆς άντιστάσεως R.

Στή χρονική στιγμή Α ή τάση είσοδου άπό Ο βόλτ ύψωνεται κατακόρυφα στά 10 βόλτ. Τή στιγμή αύτή που γίνεται άπότομη μεταβολή τῆς τάσεως είσοδου, ο πυκνωτής C προβάλλει άμελητέα άντισταση, τό ρεύμα I έχει τή μέγιστη τιμή του καί όλοκληρη ή τάση τῶν 10 βόλτ έμφανίζεται στά άκρα τῆς R. Άφού ή πηγή παρέχει 10 βόλτ, ο C θά φορτίζεται μέσω τῆς R καί μέσω τῆς πηγῆς, όπως άν είχαμε στήν είσοδο τοῦ κυκλώματος πηγή μέ συνεχή τάση 10 V. Ό πυκνωτής ζώμας φορτίζεται μέ τήν πολικότητα τοῦ σχήματος 40.2γ (άντιθετη άπό τήν πολικότητα τῆς πηγῆς). Έπομένως, ή τάση που συγκεντρώνεται στούς διπλισμούς του θά άφαιρεῖται άπό τά 10 βόλτ τῆς πηγῆς. "Οταν π.χ. ή τάση στά άκρα τοῦ C γίνει 1 βόλτ ή τάση που θά άπομείνει στά άκρα τῆς R θά είναι $10 - 1 = 9$ βόλτ. "Οταν ο C φορτισθεῖ στά 2 βόλτ, ή τάση V_R θά γίνει $10 - 2 = 8$ βόλτ κ.ο.κ.

"Όταν τελικά, ο πυκνωτής φορτισθεί στήν τάση της πηγής (όταν, δηλαδή, $V_C = 10 \text{ V}$), ή τάση στά ακρα της R θά είναι 0.

Η τάση όμως της πηγής κρατείται στά 10 βόλτ μόνο από Α ώς Γ. Τό έρώτημα είναι: Θά προφθάσει ή C νά φορτισθεί στά 10 βόλτ στό ίδιο χρονικό διάστημα;

Είναι γνωστό από τήν άσκηση «Σταθερά χρόνου» (άσκηση 6), ότι πυκνωτής C οταν φορτίζεται από πηγή συνεχούς τάσεως μέσω άντιστάσεως R χρειάζεται χρονικό διάστημα τ σε μέ 5 σταθερές χρόνου γιά νά συγκεντρώσει στούς όπλισμούς του τάση **πρακτικά** μέ τήν τάση της πηγής πού τόν φορτίζει.

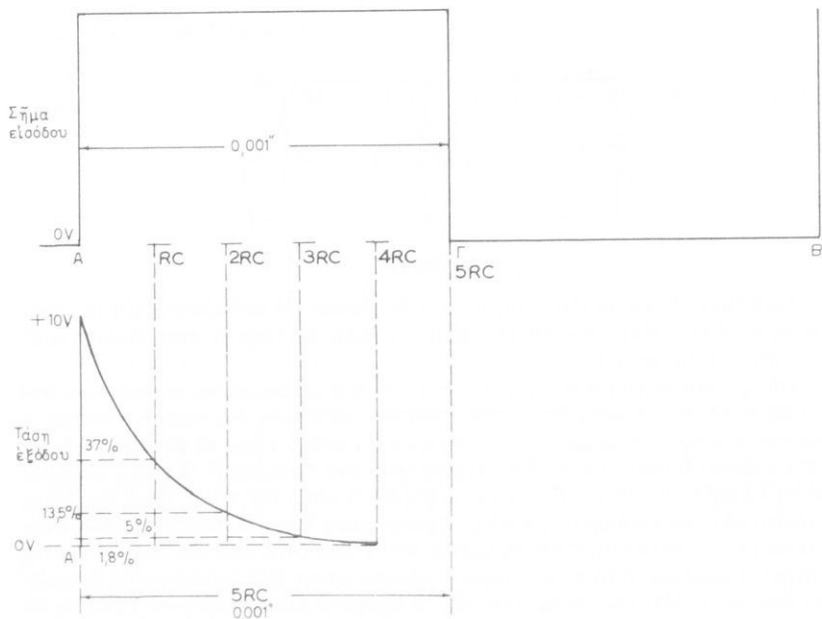
"Άρα, αν ο χρόνος από Α ώς Γ ισούται μέ 5 (τουλάχιστον) σταθερές χρόνου, ο C κατά τή χρονική στιγμή Γ θά έχει συγκεντρώσει τά 10 βόλτ της πηγής στούς όπλισμούς του, ή ροή τού ρεύματος στό κύκλωμα θά σταματήσει και έπομένως ή τάση στά ακρα της R θά μηδενισθεί.

Παράδειγμα (σχ. 40.2δ).

"Εστω ότι ή συχνότητα τῶν όρθιογωνίων παλμῶν της πηγῆς είναι 500 Hz . Συνεπώς ο χρόνος από Α ώς Β = $\frac{1}{500} \text{ "}$.

$$\text{Χρόνος από Α ώς Γ} = \frac{1}{1000} \text{ "} = 0,001 \text{ "}$$

"Εστω ότι $C = 10.000 \mu\text{F}$ καί $R = 20.000 \Omega$.



Σχ. 40.2δ.

Τάση πηγῆς (είσοδου) καί τάση έξοδου γιά τό χρονικό διάστημα από Α ώς Γ.

“Υπολογισμός: Μιά σταθερά χρόνου $RC = 10.000 \cdot 10^{-12} \cdot 20.000 = 2 \cdot 10^{-4} = 0,0002''$

$$5 \text{ σταθερές χρόνου} = 5 \cdot 0,0002 = 0,001''.$$

Δηλαδή, 5 σταθερές χρόνου διαρκούν όσο καί τό μισό της τάσεως είσοδου (άπο Α ώς Γ, σχ. 40.2δ).

Τώρα, όπως είναι γνωστό, σέ χρόνο $RC = 0,0002''$, θά είναι $V_C = 0,63 \cdot 10 = 6,3 \text{ V}$.

“Αρα ή τάση $V_R = 10 - 6,3 = 3,7 \text{ V}$.

Σέ χρόνο $2RC = 2 \cdot 0,0002''$, θά είναι $V_C = 8,65 \text{ V}$.

“Αρα $V_R = 10 - 8,65 = 1,35 \text{ V}$.

Μέ ίμιο τρόπο: Σέ $3RC$, $V_R = 0,5 \text{ V}$

Σέ $4RC$, $V_R = 0,18 \text{ V}$

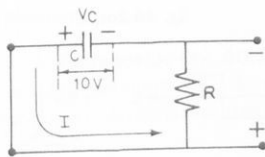
Σέ $5RC (= 5 \cdot 0,0002'' = 0,01'')$, $V_R = 0,07 \text{ V} \approx 0 \text{ V}$.

Δηλαδή, σέ 5 σταθερές χρόνου ή τάση V_R θά έχει πρακτικά μηδενισθεῖ.

Στό χρονικό διάστημα άπο Γ ώς Β, ή τάση της πηγής είναι 0 βόλτ. Ή μόνη πηγή που ύπαρχει τότε στό κύκλωμα είναι ο πυκνωτής, ό όποιος έχει τάση 10 βόλτ στούς όπλισμούς του, μέ πολικότητα δύμας, άντιθετη από τήν προηγούμενη πολικότητα της πηγής. Θά άρχισει λοιπόν ο C νά έκφορτίζεται μέσω της R καί μέσω της πηγής (θεωρούμε άμελητέα τήν έσωτερηκή άντισταση), μέ ρεύμα έκφορτίσεως άντιθετη καί έπομένως ή τάση V_R θά έχει άντιθετη πολικότητα από ο, τι στή φόρτιση.

Η έκφορτιση γίνεται ώς έξης: Μόλις τή χρονική στιγμή Γ, ή τάση της πηγής γίνει 0 βόλτ, όλοκληρα τά 10 βόλτ τού πυκνωτή θά έπικρατήσουν άποτομα στά άκρα της R. Τό σημείο «πλήν» θά είναι στό άνω άκρο της R καί τό «σύν» στό κάτω (σχ. 40.2ε). “Οπως είναι γνωστό, σέ χρόνο έκφορτίσεως RC, ή τάση V_C θά είναι:

$$V_C = 0,37 \cdot 10 \text{ V} = 3,7 \text{ V}$$



Σχ. 40.2ε.

Ισοδύναμο κύκλωμα γιά τό χρονικό διάστημα άπο Γ ώς Β.

“Αρα στά άκρα της R θά έπικρατεῖ ή ίδια τάση $V_R = -3,7 \text{ V}$.

Τό ίδιο θά είναι: Σέ $2RC$, $V_R = -1,35 \text{ V}$

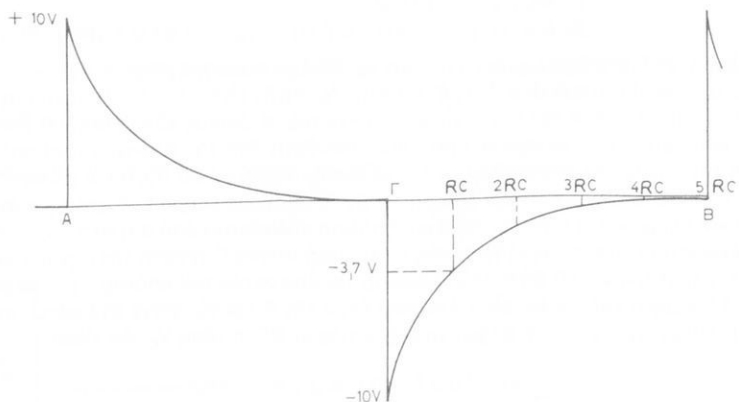
Σέ $3RC$, $V_R = -0,5 \text{ V}$

Σέ $4RC$, $V_R = -0,18 \text{ V}$

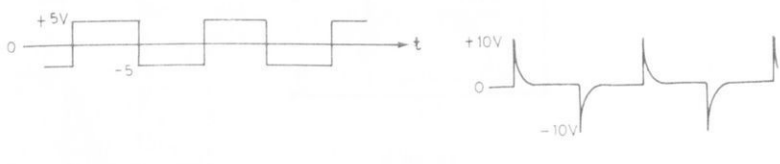
Σέ $5RC$, $V_R = -0,07 \text{ V} \approx 0 \text{ V}$.

Δηλαδή, σέ χρόνο $5RC$ ο πυκνωτής θά έχει έκφορτισθεῖ πλήρως (πρακτικά) μέσω της R καί της πηγής.

Στή συνέχεια ή τάση τῆς πηγῆς γίνεται πάλι άπότομα 10 βόλτ και ό κύκλος έπαναλαμβάνεται (σχ. 40.2στ). Σέ δηλα αύτή τή διαδικασία φορτίσεως και έκφορτίσεως ύποθέσαμε ότι ή πηγή έχει μηδενική (ή άμελητέα) έσωτερική άντίσταση. Γιατί, ούτε έχει έσωτερική άντίσταση, π.χ. $\rho = 2000 \Omega$, αύτή θά προστίθεται στην R, όπότε ή σταθερά χρόνου θά περιλαμβάνει άντίσταση ($\rho + R$) και συνεπώς ό χρόνος φορτίσεως και έκφορτίσεως θά είναι διαφορετικός από έκεινον πουύ ύπολογίσαμε μέ μόνη τήν R. Ό πυκνωτής, τότε, δέν θά φορτίζεται ούτε θά έκφορτίζεται πλήρως, δημιουργώντας έτσι έναν πολύ μεγάλο ρεύμα στην πλατφόρμα του κυκλώματος. Το πολύ μεγάλο ρεύμα πρέπει νά έχει άμελητέα έσωτερική άντίσταση (τουλάχιστον άμελητέα σε σύγκριση μέ τήν R, νά είναι δηλαδή $\rho << R$). Άρα: Στό κύκλωμα διαφορίσεως ή πηγή πρέπει νά είναι **πηγή σταθερής τάσεως**.



Σχ. 40.2στ.



Σχ. 40.2η.



Σχ. 40.2ζ.

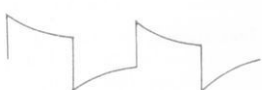
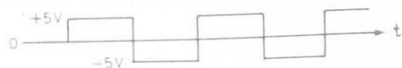


Σχ. 40.2θ.

Σταθερά χρόνου πολύ μικρή σε σχέση μέ τήν περίοδο του σήματος είσασδου. Τέλεια διαφορίση.

"Αν τά R καί C στό προηγούμενο παράδειγμα έλαττωθοῦν (μέ συχνότητα πηγής πάλι 500 Hz), πλήρης φόρτιση καί έκφραση τοῦ C θά γίνεται, σέ μικρότερο χρόνο, γιατί ή σταθερά χρόνου θά έχει έλαττωθεῖ, όπότε ή τάση V_R θά έχει τίς μορφές πού φαίνονται στά σχήματα 40.2ζ, 40.2η καί 40.2θ. Γιά πολύ μικρό RC, ή V_R θά έχει τή μορφή λεπτών αίχμων (σχ. 40.2θ). Λέμε τότε ότι ή διαφόριση είναι τέλεια.

"Αν πάλι τά R καί C αύξηθοῦν, ή σταθερά χρόνου θά αύξηθει έπισης, όπότε ούτε ή φόρτιση ούτε ή έκφραση θά είναι πλήρης. Τότε ή V_R θά έχει τή μορφή πού δείχνουν τά σχήματα 40.2ι καί 40.2ia καί ή διαφόριση θά είναι άτελης.



Σχ. 40.2i.



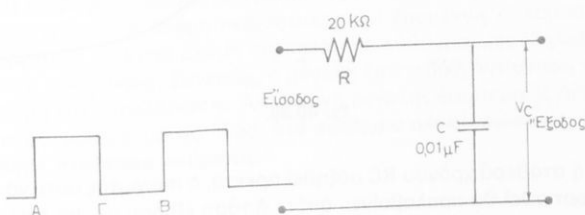
Σχ. 40.2ia.

"Οχι τέλεια διαφόριση.

"Ωστε μέ μικρή σταθερά χρόνου πετυχαίνομε τέλεια διαφόριση, μετατρέπομε, δηλαδή, τούς τετραγωνικούς παλμούς σέ παλμούς λεπτών αίχμων.

40.3 Τό κύκλωμα όλοκληρώσεως.

"Εστω τώρα τό κύκλωμα όλοκληρώσεως (σχ. 40.3α). Σέ αύτό πάλι μιά πηγή τετραγωνικών παλμών τροφοδοτεῖ κύκλωμα RC. "Εστω ότι $R = 20.000 \Omega$, $C = 10.000 \mu\text{F}$. Η τάση έξοδου V_C λαμβάνεται στά άκρα τοῦ C.



Σχ. 40.3α.

Πάλι τή χρονική στιγμή A, στήν όποια ή τάση τής πηγής δεχόμασθε ότι ύψωνεται κατακόρυφα, ή πυκνωτής άποτελεῖ σχεδόν βραχυκύκλωμα καί άρα $V_C = 0$

βόλτ. Ακολούθως, ό πυκνωτής φορτίζεται μέσω τής R καί της πηγής καί, ώς γνωστόν, σέ χρόνο = RC θά είναι: $V_C = 0.63 \cdot 10 = 6.3$ V.

Σέ 2RC θά είναι: $V_C = 8.65$ V

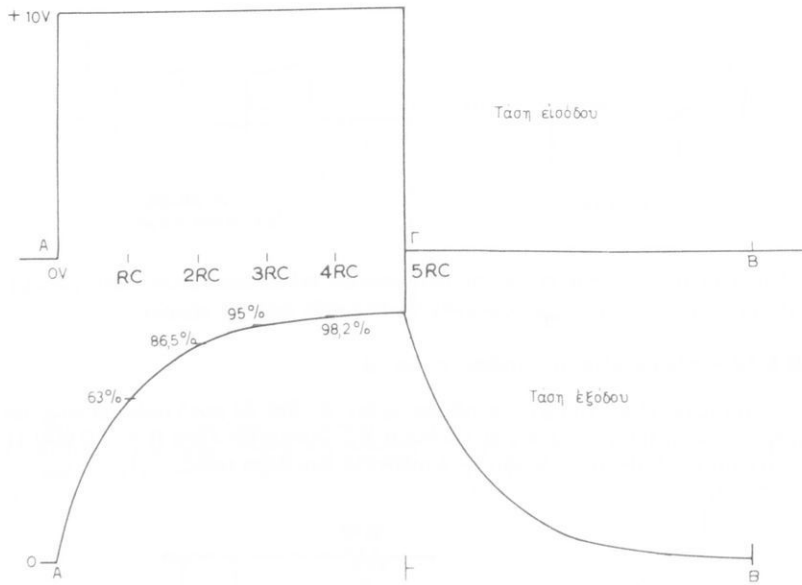
Σέ 3RC θά είναι: $V_C = 9.5$ V

Σέ 4RC θά είναι: $V_C = 9.82$ V

Σέ 5RC θά είναι: $V_C = 9.93 \approx 10$ V.

Δηλαδή, στο τέλος της ήμιπεριόδου (χρονική στιγμή Γ), ό πυκνωτής θά είναι (πρακτικά) φορτισμένος στήν τάση της πηγής (10 V).

Τή στιγμή Γ ή τάση της πηγής γίνεται άπότομα 0 βόλτ. Τότε ή μόνη πηγή που άπομενει στό κύκλωμα είναι ό φορτισμένος C, ό όποιος έκφορτίζεται μέσω τής R καί της πηγής καί, όπως φαίνεται στό σχήμα 40.3β, στή χρονική στιγμή Γ θά έχει έκφορτισθεῖ.



Σχ. 40.3β.

Άν τώρα ή σταθερά χρόνου RC αύξηθεί άρκετά, ό πυκνωτής ούτε νά φορτισθεῖ ούτε νά έκφορτισθεῖ θά προλαβαίνει, όπότε ή τάση έξοδου V_C θά έχει τίς μορφές που φαίνονται στά σχήματα 40.3γ, 40.3δ και 40.3ε. Παρατηρούμε τότε, ότι οι καμπύλες φορτίσεως και έκφορτίσεως γίνονται περισσότερο εύθυγραμμες, μέχρι νά γίνουν σχεδόν εύθειες, όταν ή σταθερά χρόνου RC γίνει άρκετά μεγάλη. Τότε λέμε ότι έχομε τέλεια διλοκλήρωση.



Σχ. 40.3γ.



Σχ. 40.3δ.



Σχ. 40.3ε.

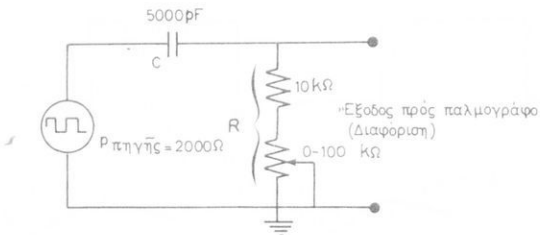
Σταθερά χρόνου πολύ μεγάλη σέ σχέση με τήν περίοδο τοῦ σήματος είσόδου. Τέλεια δλοκλήρωση.

Παρατηροῦμε ότι ή σταθερά χρόνου τοῦ κυκλώματος μπορεῖ νά αὐξηθεῖ, ὅταν αὐξηθεῖ ή R . "Ωστε, ὅταν ή R αὐξάνεται, τά τμήματα στίς καμπύλες φορτίσεως καί ἐκφορτίσεως γίνονται περισσότερο εύθυγραμμα. Σέ αύτή τήν περίπτωση, ἀν ή πηγή ἔχει ἑσωτερική ἀντίσταση r , αύτή προστίθεται στήν R (ἀφοῦ εἶναι σέ σειρά) καί γήγενται πραγματικά μέσω τῆς ἀντίστασεως ($r + R$). Δηλαδή, ή σταθερά χρόνου αὐξάνεται ἀκόμη περισσότερο καί ἐπομένως οἱ καμπύλες φορτίσεως - ἐκφορτίσεως γίνονται ἀκόμη περισσότερο εύθυγραμμες (δηλαδή, ή δλοκλήρωση γίνεται τελειότερη). Συνεπῶς, ή μεγάλη ἑσωτερική ἀντίσταση τῆς πηγῆς κάρωση γίνεται τελειότερη τήν δλοκλήρωση. Ἀλλά πηγή μεγάλης ἑσωτερικῆς ἀντίστασεως εἶναι τελειότερη τήν δλοκλήρωση. Ἀρα: στό κύκλωμα δλοκληρώσεως, ή πηγή πρέπει νά εἶναι πηγή σταθεροῦ ρεύματος.

40.4 Ἐργασία.

α) Κύκλωμα διαμορφώσεως.

- 1) Νά συνδεσμολογηθεῖ τό κύκλωμα τοῦ σχήματος 40.4a. Ἡ γεννήτρια χαμηλῶν συχνοτήτων παρέχει όρθογώνιους παλμούς. Ὁ παλμογράφος ρυθμίζεται κάλων



Σχ. 40.4a.

Θε φορά στήν κατάλληλη συχνότητα σαρώσεως, ώστε νά έμφανιζονται 2 ως 4 κύματα του σήματος έξόδου στήν θόρόνη του. (Ο καθηγητής του Έργαστηρίου θά σᾶς δώσει τήν ρ τής γεννήτριας).

'Οδηγήσετε τήν έξοδο τής γεννήτριας Χ.Σ. στόν παλμογράφο καί διαπιστώσετε όπι τό σήμα έξόδου της έχει όρθογώνια μορφή. Άκολούθως συνδέσετε τόν παλμογράφο στήν έξοδο του κυκλώματος διαφορίσεως.

2) Γιά συχνότητες του σήματος είσόδου: $f = 1000 \text{ Hz}$, $f = 5000 \text{ Hz}$ καί $f = 100 \text{ Hz}$, νά ληφθοῦν ποικίλα παλμογραφήματα γιά διάφορες τιμές τού ροοστάτη R .

- Γιά ποιά συχνότητα έχομε τελειότερη διαφόριση, δηλαδή λεπτές αίχμες τάσεως έξόδου;
- Στήν περίπτωση, κατά τήν όποια παρουσιάζονται λεπτές αίχμες, ποιά ή σταθερά χρόνου του κυκλώματος; $R_{ολ} = (\rho + R)$ καί $R_{ολ} \cdot C = \dots$ δευτερόλεπτα.
- Ποιά ή περίοδος του σήματος είσόδου;

$$\text{περίοδος} = \frac{1}{f} = \dots \text{ δευτερόλεπτα}$$

— Είναι ή σταθερά χρόνου **πολύ μικρότερη** άπό τήν περίοδο τού σήματος είσοδου;

3) Ρυθμίσετε τή συχνότητα τής γεννήτριας σέ 500 Hz. Ύπολογίσετε τό χρόνο μιᾶς ήμιπεριόδου:

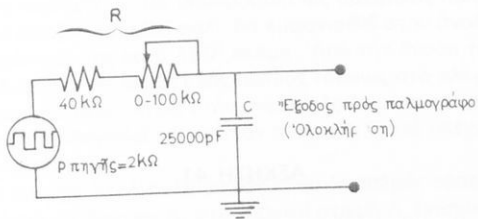
$$T/2 = \dots \text{ δευτερόλεπτα}$$

Άκολούθως, ρυθμίσετε τήν R , ώστε στό παλμογράφημα νά φαίνονται πλήρεις φορτίσεις καί έκφορτίσεις τού πυκνωτή, δηλαδή $5 \cdot RC = \dots$ δευτερόλεπτα (λάβετε $R_{ολ} = \rho + R$).

Ό χρόνος αύτός είναι ίσος μέ έκεινον τής μιᾶς ήμιπεριόδου πού ύπολογίσατε πρίν;

β) Κύκλωμα διαφορίσεως.

4) Νά συνδεσμολογηθεῖ τό κύκλωμα τού σχήματος 40.4β. Γιά συχνότητες 300, 1000 καί 2000 Hz, νά ληφθοῦν ποικίλα παλμογραφήματα γιά διάφορες τιμές τού ροοστάτη R .



Σχ. 40.4β.

Γιά ποιά συχνότητα έχετε τελειότερη διλοκλήρωση, δηλαδή σχεδόν εύθειες της τάσεως έξόδου; Σημειώσετε $f = \dots$ Hz. Στήν περίπτωση αυτή, ποιά είναι ή σταθερά χρόνου τοῦ κυκλώματος; Λάβετε $R_{\text{ολ}} = \rho + R$. Υπολογίσετε: $R_{\text{ολ}} \cdot C = \dots$ δευτερόλεπτα.

Ποιά ή περίοδος τοῦ σήματος είσόδου; Υπολογίσετε: περίοδος $= 1/f = \dots$ δευτερόλεπτα.

Είναι ή σταθερά χρόνου **πολύ μεγαλύτερη** από τήν περίοδο τοῦ σήματος είσόδου;

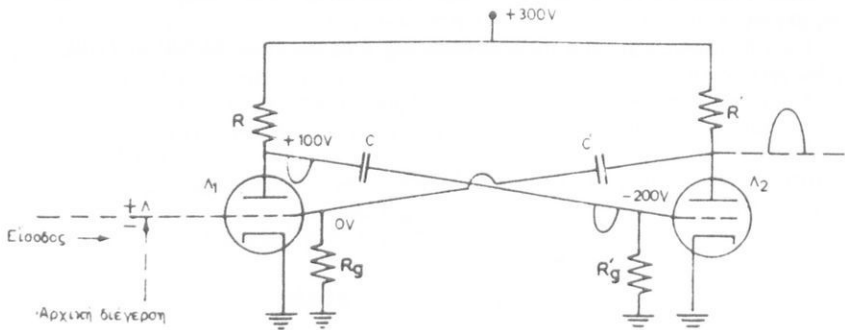
ΑΣΚΗΣΗ 41

ΑΥΤΟΔΙΕΓΕΙΡΟΜΕΝΟΣ ΠΟΛΥΔΟΝΗΤΗΣ

41.1 Γενικά.

Ο αύτοδιεγειρόμενος πολυδονητής είναι ένα συμμετρικό κύκλωμα μέ δύο ένισχυτικές βαθμίδες (μέ λυχνίες ή τρανζίστορ).

Έξετάζομε πρώτα έναν αύτοδιεγειρόμενο πολυδονητή μέ λυχνίες. Στό σχήμα 41.1α φαίνεται ένα τέτοιο κύκλωμα.



Σχ. 41.1α.

Οι δύο λυχνίες του είναι συνδεσμολογημένες σάν ένισχυτριες πού έχουν γιά άνοδικά φορτία ώμικές αντιστάσεις ($R - R'$). Η λυχνία Λ_2 είναι συζευγμένη μέ τήν Λ_1 , μέ τόν πυκνωτή C . Τό κύκλωμα αύτό παράγει ταλαντώσεις μόνο του (αύτοταλαντώνεται) και γι' αύτό έχει ονομασθεῖ αύτοδιεγειρόμενος πολυδονητής.

Η λειτουργία του είναι ή έξης:

"Όταν τό κύκλωμα τεθεῖ σέ λειτουργία, τά δυναμικά στά διάφορα ήλεκτρόδια τῶν δύο λυχνιών δέν παίρνουν άμεσως μιά σταθερή τιμή. Όπωσδήποτε θά ύπαρχουν μικρές μεταβολές τάσεως, τόσο στά πλέγμα σο και στίς άνόδους. Έστω π.χ. οτι σέ κάποια χρονική στιγμή Α έμφανιζεται στό πλέγμα τής Λ_1 μιά μικρή μεταβολή τής τάσεως, οπως δείχνει τό σχήμα 41.1α. Η μεταβολή αύτή μπορεῖ νά είναι μόνο μερικά μικροβόλτ, θά ένισχυθεῖ θμως άπο τήν Λ_1 και θά έμφανισθεῖ στήν ανοδό της ένισχυμένη και μέ άντιστροφή τής φάσεώς της κατά 180° . Από τήν ανο-

δο τῆς Λ₁, μέ τόν πυκνωτή C, θά διαβιβασθεῖ ὡς ἀρνητικός παλμός τάσεως στό πλέγμα τῆς Λ₂ καὶ ἀφοῦ ἐνισχυθεῖ πάλι, θά ἐμφανισθεῖ στήν ἄνοδο τῆς Λ₂ μέ νέα ἀναστροφή τῆς φάσεως της κατά 180° ἀκόμη. Ἀπό τήν ἄνοδο τῆς Λ₂, μέσω τοῦ πυκνωτή C', θά διαβιβασθεῖ ὡς θετικός παλμός τάσεως στό πλέγμα τῆς Λ₁, καὶ ἀφοῦ ἐνισχυθεῖ πάλι, θά ἐμφανισθεῖ στήν ἄνοδο τῆς Λ₁, μέ ἀναστροφή τῆς φάσεως της κατά 180°, για νά ὀδηγηθεῖ πάλι μέ τόν πυκνωτή C στό πλέγμα τῆς Λ₂ ὡς ἀρνητικός παλμός τάσεως Κ.Ο.Κ.

Παρατηροῦμε δηλαδὴ ὅτι ὁ πολύ μικρός ἀρχικός παλμός τάσεως, πού εἶχε ἐμφανισθεῖ στό πλέγμα τῆς λυχνίας Λ₁, στή χρονική στιγμή A, ἐνισχύεται διαδοχικά ἀπό τίς δύο λυχνίες καὶ ὀδηγεῖται στό πλέγμα τῆς καθεμιᾶς πάντοτε μέ τήν ἴδια πολικότητα. Δηλαδὴ στό πλέγμα τῆς Λ₁, ὀδηγεῖται πάντοτε θετικός παλμός καὶ στό πλέγμα τῆς Λ₂ ὀδηγεῖται πάντοτε ἀρνητικός παλμός μέ πλάτος πού διαρκῶς μεγαλώνει.

Μέ αὐτές τίς ἀλλεπάλληλες ἐνισχύσεις, ἔρχεται μιά χρονική στιγμή B, στήν δόποια τό πλέγμα τῆς Λ₂ (δηλαδὴ ὁ δεξιά ὀπλισμός τοῦ πυκνωτή C) γίνεται τόσο ἀρνητικό ὡς πρός τήν κάθοδό της, ὥστε ἡ λυχνία αὐτή νά βρεθεῖ σέ ἀποκοπή καὶ τό πλέγμα τῆς Λ₁, λαμβάνει πρός στιγμή θετική τιμή ὡς πρός τήν κάθοδό της για νά σταθεροποιηθεῖ σύντομα σέ δυναμικό μηδέν.

Ἐτσι, ἡ μέν λυχνία Λ₁, εἶναι σταθερά ἀγώγιμη μέ δυναμικό πλέγματος μηδέν, ἡ δέ Λ₂ εἶναι μή ἀγώγιμη (βρίσκεται σέ ἀποκοπή) μέ δυναμικό πλέγματος πολύ ἀρνητικό σέ σχέση μέ τήν κάθοδό της (καὶ συνεπώς σέ σχέση μέ τή γη).

“Ολες αὐτές οι διαδοχικές ἐνισχύσεις τῆς ἀρχικῆς μικρῆς μεταβολῆς τῆς τάσεως στό πλέγμα τῆς Λ₁, πού κατέληξαν στό νά καταστήσουν ἀγώγιμη τήν Λ₁, καὶ μή ἀγώγιμη τήν Λ₂, συμβαίνουν σέ πολύ μικρό χρονικό διάστημα. Δηλαδὴ ἡ διάρκεια ἀπό τή χρονική στιγμή A ὡς τή χρονική στιγμή B εἶναι πολύ μικρή, μερικά ἑκατομμυριστά τοῦ δευτερολέπτου (μικροδευτερόλεπτα).

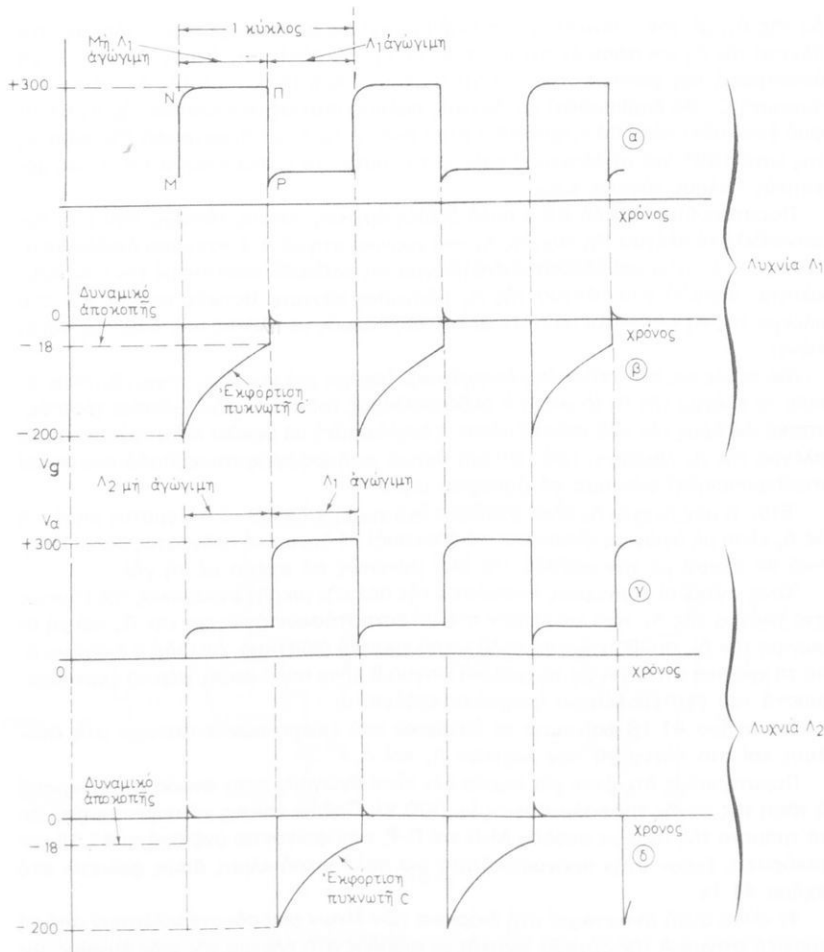
Στό σχήμα 41.1β φαίνονται τά δυναμικά πού ἐπικρατοῦν ἀντίστοιχα στίς ἀνόδους καὶ στά πλέγματα τῶν λυχνιῶν Λ₁, καὶ Λ₂.

Παρατηροῦμε δὴ, δταν μία λυχνία δέν εἶναι ἀγώγιμη, στήν ἄνοδό της ἐπικρατεῖ ἡ τάση τῆς πηγῆς τροφοδοτήσεως (+ 300 V). Πρέπει ἐπίσης νά παρατηρηθεῖ δηλαδὴ δτι οι παλμοί τῆς τάσεως ἀνόδου M-N καὶ P-R, πού φαίνονται στό σχήμα 41.1β κατακόρυφα, ἔχουν στήν πραγματικότητα μιά πολύ μικρή κλίση, ὅπως φαίνεται στό σχήμα 41.1γ.

Ἡ κλίση αὐτή ἀντιστοιχεῖ στή διάρκεια τῶν λίγων μικροδευτερολέπτων ἀπό τή χρονική στιγμή A τῆς ἀρχικῆς θετικῆς μεταβολῆς στό πλέγμα τῆς μᾶς λυχνίας, ὡς τή στιγμή B, στήν δόποια ἡ λυχνία αὐτή γίνεται σταθερά ἀγώγιμη. Παρατηροῦμε δηλαδὴ δτι οι παλμοί τῆς τάσεως ἀνόδου στούς αὐτοδιεγειρόμενους πολυδονητές δέν ἔχουν καθαρά δρθογύνια μορφή, ἀλλά τά ἀνερχόμενα καὶ κατερχόμενα τμήματά τους ἔχουν πάντα μιά ἀνεπαίσθητη κλίση.

Ἡ συχνότητα τῶν ταλαντώσεων σέ ἔνα αὐτοδιεγειρόμενο πολυδονητή ἔξαρτα ται κυρίως ἀπό τίς τιμές τῶν πυκνωτῶν C καὶ C' καὶ τῶν ἀντιστάσεων R_g καὶ R'_g. “Οσο οι πυκνωτές αὐτοί εἶναι μεγαλύτεροι (ἢ οι ἀντιστάσεις εἶναι μεγαλύτερες), τόσο ἡ συχνότητα τῶν ταλαντώσεων εἶναι χαμηλότερη. Συνήθως οι πυκνωτές εἶναι ἵσοι μεταξύ τους, τό ίδιο καὶ οι ἀντιστάσεις πλεγμάτων καὶ ἀνόδων.

Δηλαδὴ εἶναι: C = C', R = R', R_g = R'_g. ‘Ἐπίσης οι λυχνίες εἶναι ἴδιες.

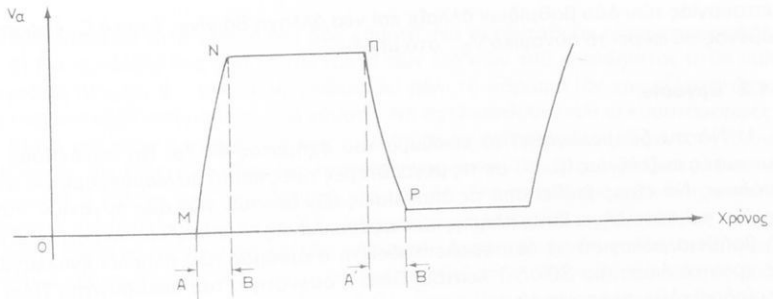


Σχ. 41.1β.

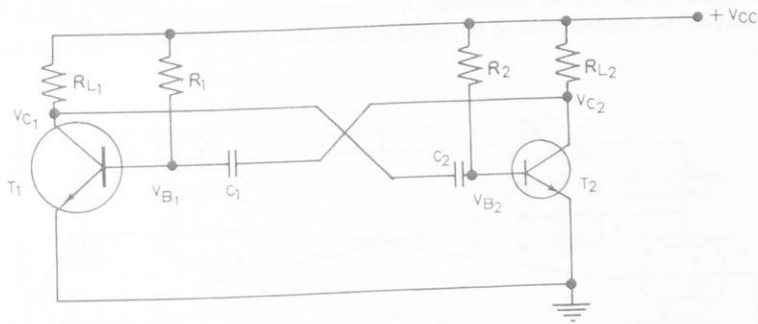
Μορφές τῶν τάσεων που έπικρατοῦν στίς άνόδους και στά πλέγματα τῶν λυχνιῶν Λ_1 και Λ_2 άντιστοιχα. Ἡ τάση (α) έπικρατεῖ μεταξύ άνόδου-γῆς τῆς λυχνίας Λ_1 . Ἡ τάση (β) έπικρατεῖ στά άντιστοιχα χρονικά διαστήματα μεταξύ πλέγματος-γῆς τῆς ίδιας λυχνίας. Τό διο, ἡ τάση (γ) έπικρατεῖ μεταξύ άνόδου-γῆς και ἡ τάση (δ) μεταξύ πλέγματος-γῆς τῆς λυχνίας Λ_2 .

Ἡ άγωγιμότητα ἡ μή άγωγιμότητα κάθε λυχνίας διαρκεῖ τόσο χρόνο, δύσος χρειάζεται για νά έκφορτισθεῖ ὁ πυκνωτής άνόδου τῆς άλλης λυχνίας ἀπό τὴν τάση τῶν -200 βόλτ ω τῆν τάση άποκοπῆς (-18 βόλτ).

Ἐτσι μέ πυκνωτές π.χ. $1 \mu F$ καὶ άντιστάσεις πλεγμάτων $1 M\Omega$, ἡ συχνότητα τῶν ταλαντώσεων εἶναι τόσο χαμηλή, ὥστε μποροῦμε νά τίς βλέπομε στίς διαδοχικές άποκλίσεις τῶν δεικτῶν δύο μιλλιαμπερομέτρων πού εἶναι συνδεμένα στίς άνόδους. Ἀν ὅμως εἶναι $C = C' = 1000 \mu F$ καὶ $R_g = R'_g = 100.000 \Omega$, ἡ συχνότητα



Σχ. 41.1γ.



Σχ. 41.1δ.

τῶν ταλαντώσεων εἶναι μεγάλη καί μποροῦμε τότε νά δοῦμε τίς ταλαντώσεις αύτές στήν όθόνη ἐνός παλμογράφου.

Ἐνα κύκλωμα αὐτοδιεγειρόμενου πολυδονητῆ μέ τρανζίστορ φαίνεται στό σχῆμα 41.1δ. Ἡ λειτουργία του εἶναι ἀκριβῶς ὅμοια μέ ἔκεινη πού ἔξετάσαμε στό κύκλωμα μέ λυχνίες.

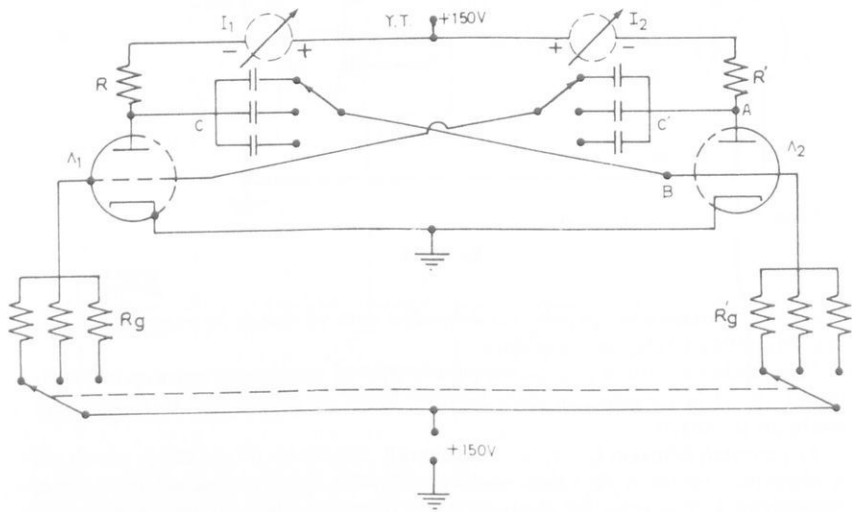
Στή χρονική διάρκεια $t_0 - t_1$ τό τρανζίστορ T_1 , ἐργάζεται μέ συνθῆκες κόρου καί ἡ τάση τοῦ συλλέκτη V_{C_1} εἶναι σχεδόν μηδενική. Τήν ίδια χρονική περίοδο τό δυναμικό V_{B_1} , στή βάση τῆς βαθμίδας T_1 , σέ ὅλη αὐτή τή χρονική πηγῆς. Τό δυναμικό V_{B_1} , στή βάση τῆς βαθμίδας T_2 , σέ ὅλη αὐτή τή χρονική πηγῆς. Τό δυάρκεια εἶναι λίγο μεγαλύτερο ἀπό τό μηδέν καί διατηρεῖ τήν T_1 ἀγώγιμη. Τό δυάρκεια εἶναι λίγο μεγαλύτερο ἀπό τό μηδέν καί διατηρεῖ τήν T_2 σε πολοπή. Η πολοπή τῆς T_2 σε πολοπή εἶναι C_2 , εἶναι ἀρνητικό καί διατηρεῖ τήν T_2 σε πολοπή. Η πολοπή τῆς T_2 σε πολοπή εἶναι V_{B_2} , στό μηδέν. Τή στιγμή αὐτή ἡ T_2 γίνεται ἀγώγιμη, ὁ πυκνωτής C_2 σεως V_{B_2} , στό μηδέν. Τή στιγμή αὐτή ἡ T_2 γίνεται ἀγώγιμη, ὁ πυκνωτής C_2 φορτίζεται μέσω τῆς R_{L_1} , στό δυναμικό τῆς πηγῆς, ἐνῶ ἀρχίζει ἡ ἐκφόρτιση τοῦ C_2 μέσω τῆς R_{L_1} , καί ἡ λειτουργία τῆς βαθμίδας T_2 ἀποκόπτεται. Δηλαδή, ἡ κατάσταση

λειτουργίας των δύο βαθμίδων άλλαξε καί νέα άλλαγή θά γίνει, όταν ο C_1 έκφορτιζόμενος θά φέρει τό δύναμικο V_B , στό μηδέν.

41.2 Έργασία.

1) Νά συνδεσμολογηθεῖ τό κύκλωμα τοῦ σχήματος 41.2a. Νά συνδεθοῦν οἱ πυκνωτές συζεύξεως (C, C') μέ τίς μεγαλύτερες τιμές καί τά μιλλιαμπερόμετρα στίς άνόδους. Νά έξακριβωθεῖ ἀπό τίς άποκλίσεις τῶν δεικτῶν τῶν δύο όργανων, πότε άρχιζει καί πότε λήγει κάθε πλήρης κύκλος ἐναλλαγῆς. Ἀκολούθως νά μετρηθεῖ μέ τή βοήθεια ρολογιού μέ δευτερολεπτοδείκτη ὁ άριθμός τῶν πλήρων ἐναλλαγῶν σε χρονικό διάστημα $30''$ ἡ 1 λεπτοῦ. Ποιά ἡ συχνότητα τοῦ πολυδονητῆ; Ποιά ἡ περίοδος κάθε πλήρους κύματος;

2) Νά συνδεθεῖ ἡλεκτρονικό βολτόμετρο συνεχοῦς πρώτα στά σημεῖα A - γῇ (σχ. 41.2a) καί μετά στά σημεῖα B - γῇ τοῦ κυκλώματος. Καί στίς δύο περιπτώσεις νά παρατηρηθεῖ καί νά περιγραφεῖ ἡ χαρακτηριστική ἀπόκλιση τῆς βελόνας τοῦ όργανου. Νά σημειωθοῦν τά δυναμικά άνόδου καί πλέγματος πού δείχνει τό δργανό.



Σχ. 41.2a.

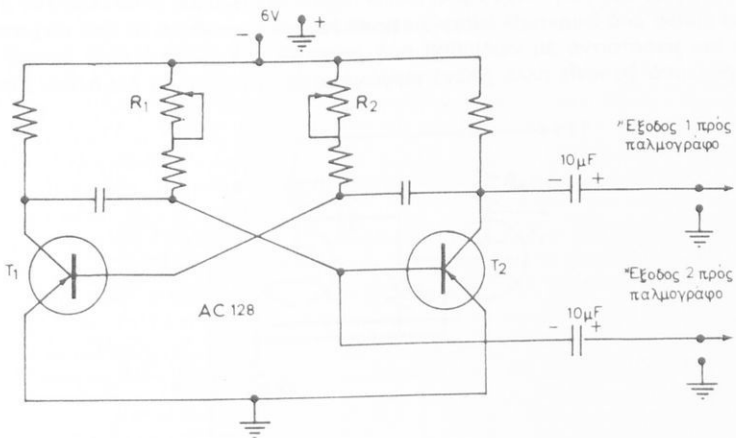
3) Ἀφοῦ διακοπεῖ ἡ Y.T., νά ἀποσυνδεθοῦν ἀπό τό κύκλωμα τά μιλλιαμπερόμετρα καί νά συνδεθοῦν οἱ πυκνωτές συζεύξεως μέ τίς μικρότερες τιμές. Νά ὀδηγηθεῖ πρός παλμογράφο ἡ ξειδος τοῦ κυκλώματος (σημεῖα A - γῇ, σχ. 41.2a). Ἀφοῦ συνδεθεῖ πάλι ἡ Y.T., νά ρυθμισθεῖ τό σάρωμα τοῦ παλμογράφου, ὥστε

νά έμφανισθούν στήν όθόνη του δύο κύματα. Νά σχεδιασθοῦν οι κυματομορφές.

4) Νά συνδεθεῖ ἔνα ἀπό τά πλέγματα τῶν λυχνιῶν τοῦ κυκλώματος στὸν πλαμογράφο (σημεῖα B - γῆ) καί νά ρυθμισθεῖ πάλι τὸ σάρωμα (ἄν χρειάζεται), ὥστε νά έμφανισθούν στήν όθόνη δύο κύματα. Νά σχεδιασθοῦν πάλι οι κυματομορφές.

5) Νά μετρηθεῖ ἡ συχνότητα τῶν ταλαντώσεων τοῦ πολυδονητῆ μὲ τοὺς ἴδιους πυκνωτές, ὡς ἔξης: Στά πλακίδια κατακόρυφης ἀποκλίσεως τοῦ παλμογράφου νά δόδηγηθεῖ ἡ ἔξοδος τοῦ πολυδονητῆ (σημεῖο A). Στά πλακίδια δριζόντιας ἀποκλίσεως νά συνδεθεῖ ταλαντωτής Χ.Σ. ἡμιτονικοῦ σήματος. Ὁ παλμογράφος νά ρυθμισθεῖ ὥστε νά παρέχει στίγμα (δχι σάρωμα). Ἀκολούθως νά μεταβάλλεται ἡ συχνότητα τῆς γεννήτριας Χ.Σ., μέχρι νά έμφανισθεῖ στήν όθόνη ἔνας κλειστός βρόχος. Τότε ἡ συχνότητα τοῦ πολυδονητῆ θά εἶναι ἡ ἴδια μὲ τή συχνότητα τῆς γεννήτριας.

6) Νά συνδεσμολογηθεῖ τό κύκλωμα τοῦ σχήματος 41.2β. **Προσοχή** στήν πολικότητα τῆς τάσεως.

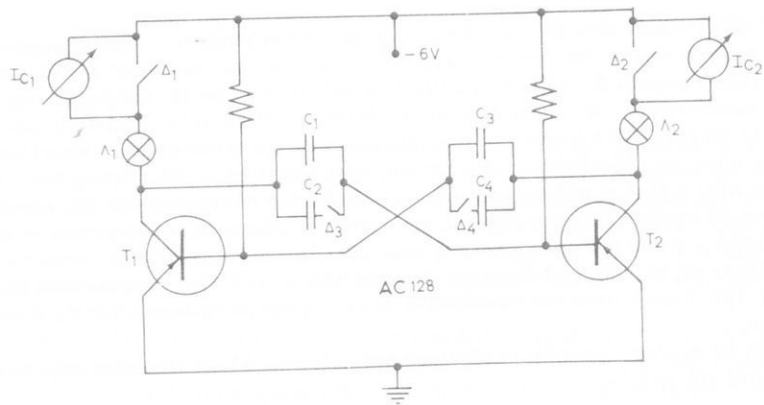


Σχ. 41.2β.

Οδηγήσετε τήν ἔξοδο 1 στὸν παλμογράφο καί ἀφοῦ ρυθμίσετε τό ροοστάτη R_1 , παρατηρήσετε καί σχεδιάσετε τά παλμογραφήματα. Ἐπαναλάβετε τήν ἴδια ἐργασία ὅταν μεταβάλλετε τήν R_2 .

7) Μεταφέρετε τήν ἔξοδο 2 στήν εῖσοδο τοῦ παλμογράφου καί ἐπαναλάβετε τήν ἴδια ἐργασία μέ τήν περίπτωση 6.

8) Τροφοδοτήσετε τό κύκλωμα τοῦ σχήματος 41.2γ. Ὁλοι οι διακόπτες Δ_1 , Δ_2 , Δ_3 καί Δ_4 στή θέση OFF. Τοποθετήσετε τά μιλλιαμπέρομετρα I_{C_1} , καί I_{C_2} στήν κλίμακα τῶν 50 A καί παρατηρήσετε τή συχνότητα μέ τήν ὅποια ἀνάβουν οἱ λαμπτῆρες Λ_1 καί Λ_2 . Κλείσετε τόν Δ_3 (ON), παρατηρήσετε καί σχολιάσετε τήν ἀλλαγή. Τό ἴδιο νά ἐπαναληφθεῖ καί μέ τό διακόπτη Δ_4 κλειστό (ON).



Σχ. 41.2γ.

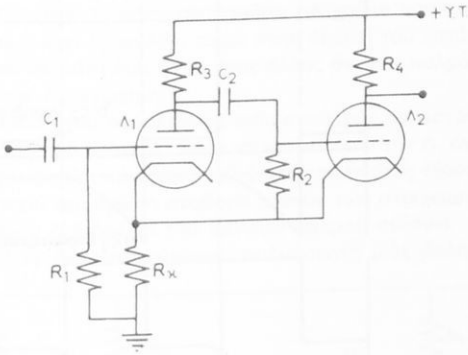
ΑΣΚΗΣΗ 42

ΠΟΛΥΔΟΝΗΤΗΣ ΜΙΑΣ ΒΟΛΗΣ "Η ΜΙΑΣ ΣΤΑΘΕΡΗΣ ΚΑΤΑΣΤΑΣΕΩΣ

42.1 Γενικά.

Τό κύκλωμα του σχήματος 42.1α δείχνει ένα πολυδονητή μιᾶς σταθερῆς καταστάσεως μέ λυχνίες.

Τό κύκλωμα αύτό παράγει ένα πλήρη κύκλο μιᾶς συχνότητας πού όριζεται από τά στοιχεῖα πού τό συνθέτουν καί ἐφ' ὅσον διεγερθεῖ έξωτερικά ἀπό θετικό παλμό. Βασικά πρόκειται γιά ένα ένισχυτή δύο βαθμίδων μέ άντιστάσεις καί πυκνωτές πού ἡ μιά βαθμίδα του είναι άγωγιμη ένω ἡ ἄλλη είναι σέ άποκοπή.



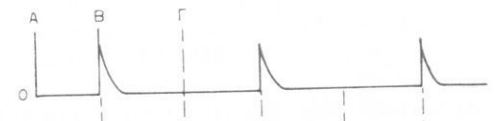
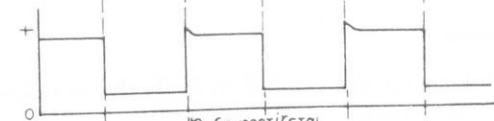
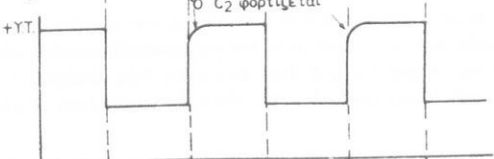
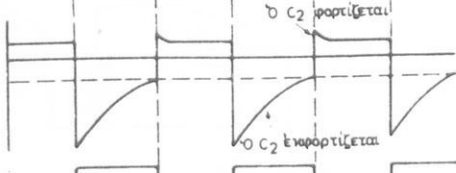
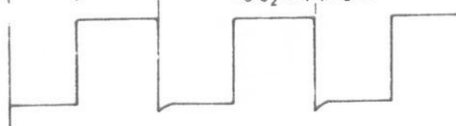
Σχ. 42.1α.

Η ίσορροπία τοῦ κυκλώματος έξασφαλίζεται μέ κατάλληλη πόλωση τῶν λυχνιῶν. "Ετσι ἡ πόλωση τῆς Λ_2 είναι 0 (μηδέν) βόλτ, γιατί τό πλέγμα τῆς είναι συνδεμένο στήν κάθοδό της μέσω τῆς R_2 καί ἀπό τήν R_2 δέν περνᾶ ρεῦμα μέ κανονικές συνθήκες. Τό ἀνοδικό ρεῦμα τῆς Λ_2 περνᾶ μέσα ἀπό τή κοινή ἀντίσταση καθόδου R_K . Η πτώση τάσεως στήν R_K είναι ἀρκετή γιά νά δύγησει τή βαθμίδα Λ_1 σέ άποκοπή. "Υπενθυμίζεται ὅτι είναι ἀδύνατο μιά λυχνία νά πολωθεῖ σέ δυναμικό άποκοπῆς, γιά δοπιαδήποτε τιμή τῆς ἀντίστασεως καθόδου τῆς. "Ετσι ἡ Λ_1 Θά γίνει άγωγιμη μόνο ἢ πόλωση τῆς γίνει μικρότερη ἀπό τήν τάση άποκοπῆς τῆς. Αύτό τό κατορθώνομε μέ τήν ἔφαρμογή θετικού παλμοῦ στό πλέγμα τῆς Λ_1 ἢ ἢ δύγηση σέ άποκοπή τήν Λ_2 .

Η öλη λειτουργία τοῦ κυκλώματος öξηγεῖται γραφικά στό σχῆμα 42.1β.

- α) Η Λ_1 βρίσκεται μόνιμα σέ αποκοπή öξαιτίας τῆς πτώσεως τάσεως στήν R πού ἀναπτύσσεται ἀπό τὸ ρεῦμα ἀνόδου τῆς Λ_2 [σχ. 42.1β(α) - χρόνος A].
- β) Ἀπό τήν Λ_2 περνᾶ μεγάλο ἀνόδικό ρεῦμα, γιατὶ εῖναι πολωμένη σέ δυναμικό O [σχ. 42.1β(δ) - χρόνος A].

(a) Παλμός

(β) Τάση στά δίκρα τῆς R_K .(γ) Τάση ἀνόδου τῆς Λ_1 (δ) Τάση ἀποκοπῆς Τάση στό πλέγμα τῆς Λ_2 (ε) Τάση στήν ἀνόδο τῆς Λ_2 

Σχ. 42.1β.

γ) Η ἀνοδος τῆς Λ_1 εἶναι στό δυναμικό τῆς πηγῆς. Ο C_2 φορτίζεται σέ τάση ἵση μέ έκεινη πού ἐπικρατεῖ μεταξύ ἀνόδου - καθόδου τῆς Λ_1 .

δ) Ἀν ἔνας θετικός παλμός μέ ἀρκετό πλάτος, πού νά μπορεῖ νά δηγήσει στό πλέγμα τῆς Λ_1 , σέ δυναμικό μικρότερο ἀπό τό δυναμικό ἀποκοπῆς, ἐφαρμοσθεῖ στό πλέγμα τῆς Λ_1 , ἡ βαθμίδα αὐτή ἀρχίζει νά ἀγει.

ε) Μόλις ἡ Λ_1 γίνει ἀγώγιμη ἡ ἀνόδική της τάση ύποβιβάζεται. Ο ύποβιβασμός αὐτός διά τοῦ C_2 ἐμφανίζεται στό πλέγμα τῆς Λ_2 σάν μιά τάση πού αὐξάνεται ἀρνητικά.

ζ) Ή τάση αύτή πού αύξανεται άρνητικά ύποβιβάζει τό I_{A_2} .

η) Ή πτώση τάσεως στήν R ύποβιβάζεται έπιτρέποντας έστι τήν αύξηση τού I_{A_1} .

θ) Τό πλέγμα τής Λ_2 γίνεται περισσότερο άρνητικό.

ι) Ή ολη έναλλαγή ($\epsilon - \theta$) έπαναλαμβάνεται έως ότου ή Λ_2 άποκοπει, ένω ή Λ_1 , θά είναι άγωγιμη μέ τό μέγιστο δυνατό ρεύμα. Ή μεταβίβαση τής άγωγιμότητας άπο τήν Λ_2 στήν Λ_1 γίνεται σχεδόν άκαριαία.

Τό κύκλωμα παραμένει μέ τήν Λ_1 , άγωγιμη και τήν Λ_2 σέ άποκοπή στή χρονική διάρκεια άπο B - G (σχ. 42.1β), ένω ο C_2 έκφορτίζεται μέσω τῶν R_2 , R_K , πηγῆς και R_3 , έως ότου ή τάση στά άκρα του φθάσει τήν άνοδική τάση τής Λ_1 .

"Οταν ίμως έκφορτίζεται ο C_2 ή άρνητική τάση στό πλέγμα τής Λ_2 ύποβιβάζεται και ή λυχνία γίνεται άγωγιμη μόλις ή τάση αύτή γίνει θετικότερη άπο τήν τάση άποκοπῆς [σχ. 42.1β(δ) - χρόνος Γ].

ια) Τό άνοδικό ρεύμα τής Λ_2 διαρρέει τήν R_K αύξανοντας έστι τήν τάση καθόδου τής Λ_1 , και ύποβιβάζοντας τό άνοδικό της ρεύμα.

ιβ) Ό ύποβιβασμός τού άνοδικού ρεύματος τής Λ_1 έπιτρέπει τήν αύξηση τής άνοδικής τάσεως τής Λ_1 .

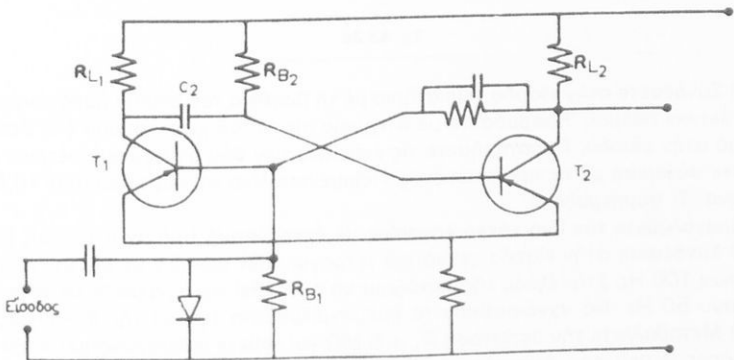
ιγ) Ή αύξηση αύτή τής άνοδικής τάσεως, μεταφέρεται μέ τόν C_2 στό πλέγμα τής Λ_2 αύξανοντας έστι τό άνοδικό της ρεύμα.

ιδ) Ή ολη έναλλαγή καταστάσεων (ια - ιγ) έπαναλαμβάνεται έως ότου ή Λ_1 άποκοπει και ή Λ_2 γίνει άγωγιμη μέ τό μέγιστο δυνατό ρεύμα. Ή μεταβίβαση άγωγιμότητας άπο τήν Λ_1 στήν Λ_2 πραγματοποιείται σέ χρόνο πρακτικά άμελητέο.

Τό δλο κύκλωμα έχει έπανέλθει τώρα στήν άρχική του κατάσταση ίσορροπίας και θά παραμείνει σέ αύτή έως ότου ένας άλλος θετικός παλμός φθάσει στήν είσοδο και κάνει τήν Λ_1 άγωγιμη.

"Οταν στήν είσοδο τού πολυδονητή μιᾶς σταθερής καταστάσεως έφαρμοσθεῖ θετικός παλμός άρκετού πλάτους, ώστε νά καταστήσει τήν Λ_1 άγωγιμη, άπο τήν άνοδο τής Λ_2 πάρνομε θετικό παλμό τού όποιου τό πλάτος έχαρται άπο τήν τιμή τής R_4 , ή δέ διάρκειά του άπο τή σταθερά χρόνου τῶν στοιχείων C_2R_2 . Άν οι τιμές τῶν C_2R_2 αύξηθοῦν ή διάρκεια τού θετικού παλμού αύξανει.

Στό σχήμα 42.1γ φαίνεται κύκλωμα πολυδονητή μιᾶς βολῆς μέ τρανζίστορ.



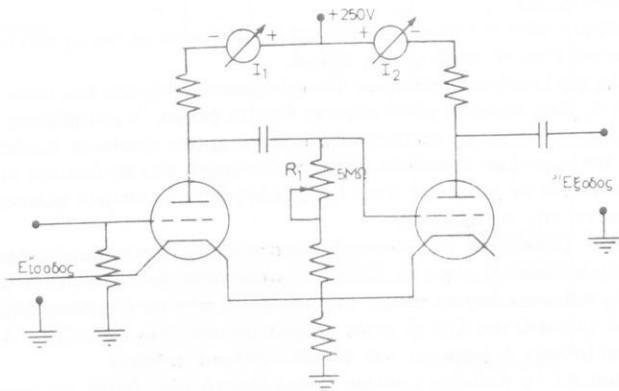
Σχ. 42.1γ.

‘Η λειτουργία του είναι ή ίδια μέ έκείνη πού περιγράψαμε μέ λυχνίες. ‘Οταν δέν ύπάρχει διέγερση ή βαθμίδα T_1 , είναι σέ άποκοπή, ένω ή T_2 σέ άγωγιμότητα. ‘Οταν δόπηγηθεί άρνητικός παλμός στήν είσοδο της T_1 , άνατρέπεται ή προηγούμενη κατάσταση καὶ ή βαθμίδα T_1 , γίνεται άγωγιμη ένω άποκόπτεται ή T_2 .

‘Η προσωρινή αυτή κατάσταση τοῦ κυκλώματος είναι ίση μέ χρόνο t , πού έξαρται από τή σταθερά χρόνου τῶν στοιχείων R_{B_2} , C_2 καὶ από τήν τάση V_{CC} . Μετά τότε κύκλωμα έπανέρχεται στήν άρχική κατάσταση καὶ στήν ξενόδο του έχομε ένα τετραγωνικό παλμό.

42.2 Έργασία.

1) Νά συνδεσμολογηθεῖ τό κύκλωμα τοῦ σχήματος 42.2a. Σημειώσετε τίς ένδειξεις τῶν δύο μιλλιαμπερομέτρων, τά όποια συνδέονται σέ σειρά μέ τίς άνοδους τῶν δύο λυχνιῶν. Ποιά από τίς δύο λυχνίες είναι άγωγιμη καὶ γιατί;



Σχ. 42.2a.

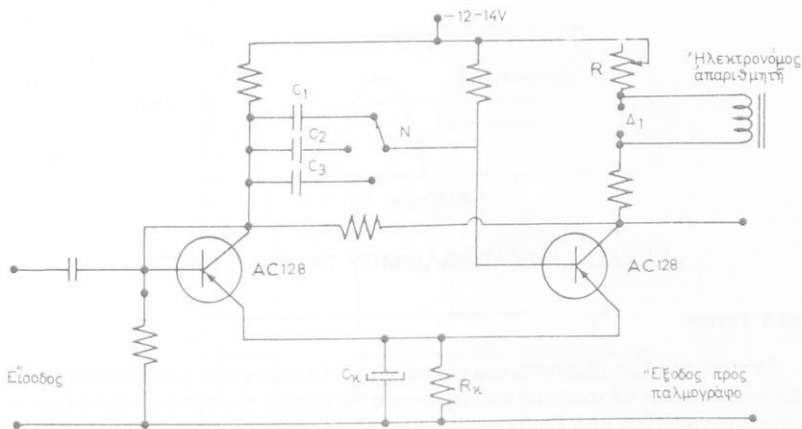
2) Συνδέσετε στήν είσοδο χειριστήριο μέ τή βοήθεια τοῦ όποιου παράγονται ίξεις θετικοί παλμοί. Έφαρμάσετε μέ στιγμιαία πίεση τοῦ χειριστηρίου ένα θετικό παλμό στήν είσοδο. Παρατηρήσετε τίς ένδειξεις τῶν δύο μιλλιαμπερομέτρων καὶ κάνετε σύγκριση μέ τίς προηγούμενες. Περιμένετε λίγο καὶ παρατηρήσετε τά δύο όργανα. Τί συμπεραίνετε;

‘Επαναλάβετε τόν ίδιο κύκλο έργασίας μέ διαφορετική τιμή άντιστάσεως R_1 .

3) Συνδέσετε στήν είσοδο γεννήτρια τετραγωνικῶν παλμῶν σέ μιά συχνότητα περίπου 100 Hz. Στήν ξενόδο τῆς διατάξεως νά συνδέθει παλμογράφος, μέ σάρωση περίπου 50 Hz. Νά σχεδιασθοῦν τά παλμογραφήματα έξόδου τῆς άσκήσεως.

4) Μεταβάλλετε τήν άντιστασή $R_1 = 5 \text{ M}\Omega$ καὶ λάβετε παλμογραφήματα γιά τίς διάφορες θέσεις τῆς. Δικαιολογήσετε τή μορφή τους.

5) Νά συνδεσμολογηθεῖ τό κύκλωμα (σχ. 42.2b) μέ τρανζίστορ. Συνδέσετε στή θέση Δ_1 μιλλιαμπερόμετρο καὶ στήν είσοδο χειριστήριο. Παρατηρήσετε τίς έναλ-



Σχ. 42.2β.

λαγές καταστάσεων τοῦ μονοδονητῆ γιά κάθε παλμό στήν εῖσοδο.

6) Συνδέστε στή θέση Δ_1 τηλεφωνικό καταμετρητή καί καταγράψετε τούς παλμούς εἰσόδου, ρυθμίζοντας ταυτόχρονα τήν άντιστασή R ώστε ὁ καταμετρητής νά είναι εύαίσθητος.

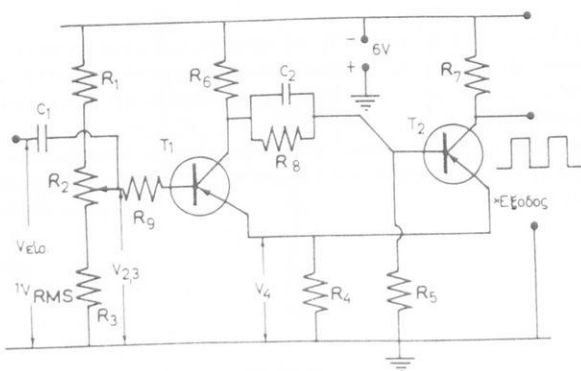
7) Συνδέστε στήν εῖσοδο γεννήτρια τετραγωνικῶν παλμῶν καί στήν ἔξοδο παλμογράφο. Γιά τίς διάφορες θέσεις τοῦ μεταγωγοῦ λάβετε καί σχεδιάστε παλμογραφήματα ἔξόδου.

ΑΣΚΗΣΗ 43

ΚΥΚΛΩΜΑ ΣΚΑΝΔΑΛΙΣΜΟΥ ΣΜΙΤ (SCHMITT)

43.1 Γενικά.

Τό κύκλωμα Σμίτ (Schmitt) τοῦ σχήματος 43.1α παρέχει στήν ̄ξοδό του όρθογώνιους παλμούς μέ σταθερό πλάτος, όταν στήν ε̄σοδό του έφαρμοσθεῖ διέγερση (σήμα) μεγαλύτερη από ̄να ορισμένο πλάτος. Τό κύκλωμα αύτό λειτουργεῖ περίπου όπως ḥ πολυδονητής μιᾶς βολῆς.



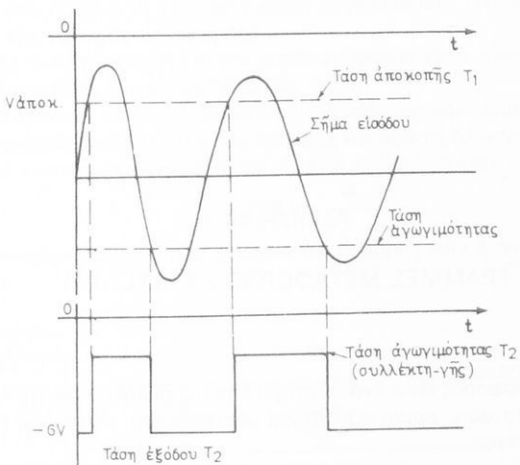
Σχ. 43.1α.
Κύκλωμα σκανδαλισμοῦ Σμίτ.

“Αν στήν ε̄σοδο τοῦ κυκλώματος δέν έφαρμόσομε σήμα, ἄγει τό τρανζίστορ T_2 , όποτε, ἔξαιτιάς τῆς ἀγωγιμότητάς του, δημιουργεῖται πιώση τάσεως (V_4) στήν R_4 καὶ γίνεται μῆ ἀγώγιμο τό τρανζίστορ T_1 .

“Αν στήν ε̄σοδο δόηγηθεῖ τάση διεγέρσεως μεγαλύτερη από τήν τάση ἀποκοπῆς τοῦ T_1 ($V_{\text{αποκ}} = V_4 - V_{2,3}$), τό τρανζίστορ T_1 ἄγει καὶ δόηγεῖται στόν κόρο, ὅσο ἡ τάση διεγέρσεως αὐξάνεται.

“Η ισχυρή ἀγωγιμότητα τοῦ T_1 προκαλεῖ πιώση τάσεως στήν R_4 (V_4), ἀρκετή γιά νά πολώσει στήν ἀποκοπῆ τό T_2 , όποτε ḥ τάση τοῦ συλλέκτη τοῦ T_2 θά ἀνέβει (πρός τά ἀρνητικά) στήν τάση τῆς πηγῆς -6 V (σχ. 43.1β).

“Οταν ḥ τάση διεγέρσεως τείνει πρός τά θετικά δυναμικά, τό τρανζίστορ T_1 γίνε-



Σχ. 43.1β.

ται λιγότερο άγωγιμο, όποτε ή πτώση τάσεως στήν R_4 (V_4) έλαπτώνεται και αύξανεται (γίνεται άρνητικότερο) τό δυναμικό τοῦ συλλέκτη τοῦ T_1 . Ήπομένως αύξάνεται (γίνεται άρνητικότερο) και τό δυναμικό τῆς βάσεως τοῦ T_2 .

Άν τό δυναμικό τῆς τάσεως διεγέρσεως γίνει άκομη θετικότερο, θά γίνει τότε άγωγιμό τό T_2 μέ ταυτόχρονη άπότομη άποκοπή τοῦ T_1 . Ή τάση έξόδου τοῦ T_2 θά γίνει φυσικά λιγότερη άπο -6 V.

Ή έπομενη διέγερση - σκανδαλισμός τοῦ σήματος είσόδου θά προκαλέσει μέ τόν ίδιο τρόπο νέο όρθογώνιο παλμό έξόδου κ.ο.κ. Οι παλμοί αύτοί έξόδου θά έχουν σταθερό πλάτος.

Μέ τό ποτενσιόμετρο R_2 ρυθμίζομε τήν τάση άγωγιμότητας τοῦ T_1 .

Τό κύκλωμα Σμίτ χρησιμοποιεῖται π.χ. στούς ήλεκτρονικούς ύπολογιστές, γιά τή μετατροπή μή περιοδικῶν παλμῶν σέ όρθογώνιους τῆς ίδιας συχνότητας και μέ σταθερό πλάτος.

43.2 Έργασία.

1) Νά συνδεσμολογηθεῖ τό κύκλωμα τοῦ σχήματος 43.1α. Προσοχή στήν πολικότητα τῆς τάσεως. Όδηγήσετε ήμιτονική τάση 1 βόλτ, 1000 Hz άπο γεννήτρια X.Σ. στήν είσοδο τοῦ κυκλώματος καί τήν έξοδό του δόπηγήσετε την σέ παλμογράφο. Παρατηρήσετε τά παλμογραφήματα έξόδου μεταβάλλοντας τό R_2 . Σχεδιάσετε τα καί έγιγήσετε τή μορφή τους.

2) Μεταβάλλετε τήν τάση έξόδου τῆς γεννήτριας X.Σ. καί ύπολογίσετε πόση είναι ή τάση σκανδαλισμοῦ τοῦ κυκλώματος. Τήν τάση είσόδου, νά τή μετρᾶτε μέ ήλεκτρονικό βολτόμετρο.

ΓΡΑΜΜΕΣ ΜΕΤΑΦΟΡΑΣ Υ.Σ. (LECHER)

44.1 Γενικά.

‘Η γραμμή μεταφορᾶς εἶναι ἔνα σύστημα δύο παραλλήλων ἀγωγῶν τῶν ὅποιων οἱ ιδιότητες (ἀντίσταση, χωρητικότητα καὶ αὐτεπαγωγῆ), εἶναι κατά μῆκος ὅμοιός μορφαὶ μοιρασμένες.

Στήν πράξη χρησιμοποιοῦνται οἱ ἀκόλουθοι δύο τύποι γραμμῶν μεταφορᾶς:

α) ‘Η γραμμή παραλλήλων ἀγωγῶν. Ἀποτελεῖται ἀπό δύο ὅμοιους παράλληλους ἀγωγούς.

β) ‘Η ὁμοαξονική γραμμή. Στήν ὁμοαξονική γραμμή δὲ ἐσωτερικός ἀγωγός εἶναι τοποθετημένος ὁμοαξονικά πρός τὸν ἐξωτερικό ἀγωγό. Ὁ ἐξωτερικός ἀγωγός ἀποτελεῖ ταυτόχρονα καὶ θωράκιση.

Οἱ γραμμές μεταφορᾶς χρησιμοποιοῦνται γιά τὴν μεταφορά ἐνέργειας ὑψηλῆς συχνότητας (H.F). Πρέπει νά μεταφέρουν τὴν ἐνέργεια χωρίς παραμορφώσεις καὶ μέ τῇ μικρότερῃ δυνατῇ ἀπώλειᾳ.

Γιά τὴν μεταφορά ἐνέργειας χωρίς παραμορφώσεις οἱ γραμμές δέν πρέπει νά ἐμφανίζουν ἀνακλάσεις, γι’ αὐτὸν ἔχει μεγάλη σημασία ἡ χαρακτηριστική σύνθετη ἀντίσταση πού παρουσιάζουν.

‘Η ἀπώλεια ἐνέργειας σὲ μιά γραμμή μεταφορᾶς ἐκφράζεται ἀπό τὸ συντελεστή ἔξασθενήσεώς της.

Χαρακτηριστική σύνθετη ἀντίσταση εἶναι ἑκείνη ἡ ἀντίσταση (ἐναλλασσόμενη) πού ἐμφανίζει ἡ γραμμή σὲ κάθε σημεῖο της ὅταν δέν παρουσιάζονται ἀνακλάσεις ἐνέργειας.



Σχ. 44.1α.

‘Η γραμμή δέν ἐμφανίζει ἀνακλάσεις ἀν τερματίζεται στή χαρακτηριστική της Z_0 (σχ. 44.1α).

‘Η χαρακτηριστική σύνθετη ἀντίσταση μπορεῖ νά μετρηθεῖ μέ τῇ διάταξη τοῦ σχήματος 44.1β. Στή διάταξη αὐτή ἡ μεταβλητή ἀντίσταση R ρυθμίζεται ἕως ὅτου

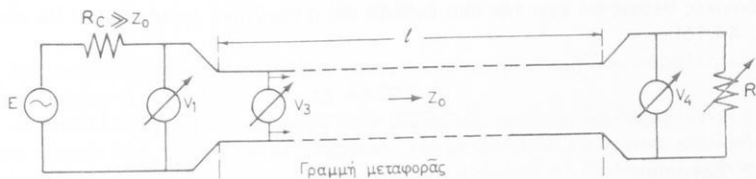
έμφανισθεί στό δργανο V_3 μία τάση χωρίς αύξομειώσεις. (Τό δργανο V_3 κινεῖται κατά μῆκος τῆς γραμμῆς μεταφορᾶς).

Η τιμή τῆς άντιστασεως R γιά τὴν ὅποια συμβαίνει αὐτό, εἶναι ἵση μὲ τῇ χαρακτηριστικῇ άντιστασῃ τῆς γραμμῆς Z_0 ($Z_0 = R$).

Η χαρακτηριστική σύνθετη άντισταση γιά κάθε γραμμή παρουσιάζει μία τιμή πού έχαρταί από τὶς διαστάσεις τῆς γραμμῆς καὶ από τὶς ήλεκτρικές μαγνητικές λιδιότητες τοῦ συστήματος ἀγωγῶν καὶ δίνεται από τῇ σχέση:

$$Z_0 = 276 \log \frac{D}{r}$$

ὅπου D ἡ ἀπόσταση μεταξύ τῶν ἀγωγῶν τῆς γραμμῆς καὶ r ἡ ἀκτίνα τῶν ἀγωγῶν τῆς γραμμῆς.



Σχ. 44.1β.

Στήν πράξη ἡ τιμή τῆς Z_0 κυμαίνεται ἀπό 50 ὥς 600 Ω .

Συντελεστής ἔξασθενήσεως καλεῖται ὁ λόγος τῆς τάσεως στὸ τέλος τῆς γραμμῆς μεταφορᾶς V_2 μὲ τὴν τάση στὴν εἰσοδό τῆς V_1 . Ο ἀνά μέτρο συντελεστής ἔξασθενήσεως α (σὲ decibels) παρέχεται ἀπό τῇ σχέση:

$$\alpha = \frac{1}{l} \cdot 20 \log \frac{V_2}{V_1}$$

ὅπου l τὸ μῆκος τῆς γραμμῆς μεταφορᾶς.

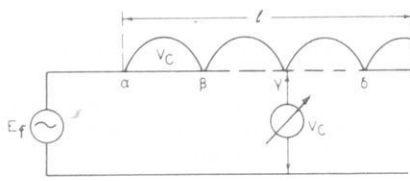
Ο συντελεστής ἔξασθενήσεως γραμμῆς ἔχαρταί από τὴν ὡμική άντισταση τῶν ἀγωγῶν, τὶς διηλεκτρικές ἀπώλειες μεταξύ αὐτῶν καὶ τὶς ἀπώλειες ἀπό ἀκτινοβολία. Οἱ ἀπώλειες αὐτές αὔξανουν μὲ τὴν αὔξηση τῆς συχνότητας.

Ταχύτητα διαδόσεως καλεῖται ἡ ταχύτητα μὲ τὴν ὅποια διαδίδεται ἡ ἡλεκτρομαγνητική ἐνέργεια μέσω γραμμῆς μεταφορᾶς. Η ταχύτητα διαδόσεως καθορίζεται από τὶς ποσότητες μ καὶ ε τοῦ μονωτικοῦ ύλικοῦ τὸ ὅποιο περιβάλλει τούς ἀγωγούς.

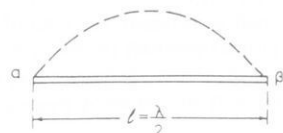
μ = μαγνητική διαπερατότητα, ϵ = διηλεκτρική σταθερά.

Η ἀπόσταση μεταξύ δύο διαδοχικῶν ἐλαχίστων (ἢ μεγίστων) ἐνός στάσιμου κύματος στῇ γραμμῇ πού δέν εἶναι τερματισμένη, εἶναι ἵση μὲ τὸ μισό τοῦ μῆκους κύματος τῆς τάσεως μετρήσεως. Σὲ αὐτό στηρίζεται ἡ ἀκόλουθη μέτρηση (σχ. 44.1γ).

Χρησιμοποιεῖται ὅπως καὶ προηγουμένως ἔνας ταλαντωτής E ἐναλλασσόμενης τάσεως V_C καὶ τὸ κινούμενο βολτόμετρο V_C . Τό κινούμενο δργανο σὲ δύο



Σχ. 44.1γ.



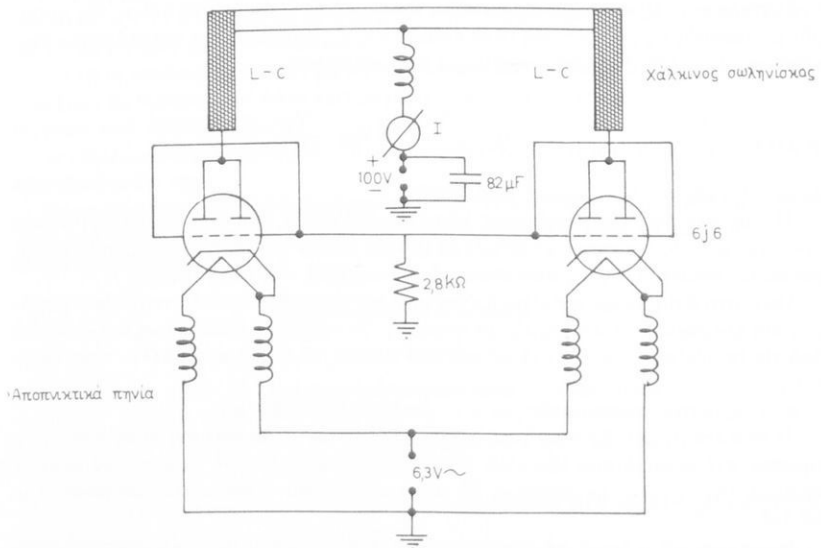
Σχ. 44.1δ.

διαδοχικές θέσεις θά ἔχει τήν ίδια ἔνδειξη καί ἡ ταχύτητα διαδόσεως U θά εἶναι (σχ. 44.1δ):

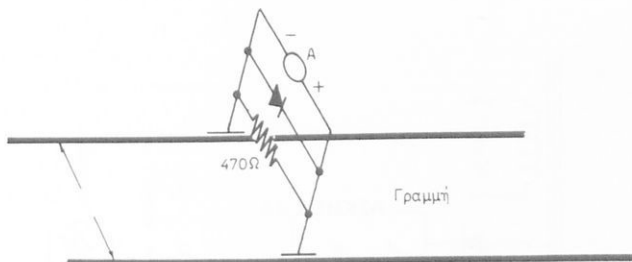
$$U = \frac{\lambda}{f} = \frac{2l}{f}$$

44.2 Έργασία.

1) Νά συνδεσμολογηθεῖ τό κύκλωμα τῆς ἀσκήσεως (σχ. 44.2α) γιά τήν παραγγή ταλαντώσεων U.H.F (300 - 350 MHz). Νά τροφοδοτηθεῖ μέ τά κατάλληλα δυναμικά, τό ρεῦμα I νά μήν ύπερβει τά 20 mA.



Σχ. 44.2α.



Σχ. 44.2β.

Νά τροφοδοτηθεῖ (έπαγωγικά) ή γραμμή Lecher. [Γραμμή δύο παραλλήλων άγωγών άνοικτή στό τέρμα της (σχ. 44.2β)].

2) Όταν δέν έχομε προσαρμογή κατά μήκος τής γραμμῆς δημιουργούνται στάσιμα κύματα από τήν άνακλαση ένέργειας. Νά μετακινηθεῖ τό δργανο κατά μήκος τής γραμμῆς καί νά σημειωθοῦν οι άποστασεις άναμεσα σέ διαδοχικές έλαχιστες ένδειξεις.

Τό δργανο άποτελεῖται από ένα μικροαμπερόμετρο Α συνεχοῦς (0 - 100 mA). Αύτό βρίσκεται σέ χωρητική σύζευξη μέ τή γραμμή, γιατί πραγματοποιεῖ μέτρηση ρεύματος. Ή δίοδος, πού είναι παράλληλα, πραγματοποιεῖ στοιχειώδη φώραση όποτε τό δργανο Α μετρά τή μέση τιμή τοῦ ήμιανορθωμένου ρεύματος.

3) Νά ύπολογισθεῖ τό μήκος κύματος λ τής κυμάνσεως πού παράγει ό ταλαντώτης. Τό μήκος κύματος θά είναι:

$$\lambda = 2 \times \text{άποσταση μεταξύ δύο έλαχίστων (m)}$$

Στή συνέχεια νά ύπολογισθεῖ ή συχνότητα τῶν ταλαντώσεως:

$$f = \frac{c}{\lambda} \text{ msec/m}$$

$c = 300.000 \text{ km/s} = 10^8 \text{ m/sec}$ = ταχύτητα τοῦ φωτός.

4) Τί άποτελέσματα μπορεῖ νά δώσουν τά στάσιμα κύματα κατά μήκος ένός καλαδίου τροφοδοτήσεως τής κεραίας δέκτη τηλεοράσεως;

5) Νά ύπολογισθεῖ ή χαρακτηριστική άντίσταση τής γραμμῆς από τή σχέση:

$$Z_0 = 276 \log \frac{D}{r}, \text{ έταν δίνεται: } D = 5,5 \text{ cm} \text{ καί } r = 0,2 \text{ cm.}$$

ΠΟΜΠΟΣ ΣΥΝΤΗΡΟΥΜΕΝΩΝ ΚΥΜΑΤΩΝ

45.1 Γενικά.

Στό σχήμα 45.1 φαίνεται τό κύκλωμα άπλοϋ μικροϋ πομποϋ συντηρουμένων κυμάτων. Στόν πομπό αύτό χρησιμοποιεῖται μιά μόνο λυχνία ίσχυος, ώς ταλαντώτρια μέ κρύσταλλο χαλαζίου. Ο κρύσταλλος έξασφαλίζει τή σταθερότητα τής συχνότητας τοῦ πομποῦ.

Ο συντονισμός έπιτυχάνεται μέ διαδοχικές ρυθμίσεις τῶν δύο μεταβλητῶν πυκνωτῶν (100 μμF), μέ τίς όποιες προσπαθοῦμε νά έπιτύχομε τή μικρότερη δυνατή άπόκλιση τής βελόνας τοῦ μιλλιαμπερομέτρου I.

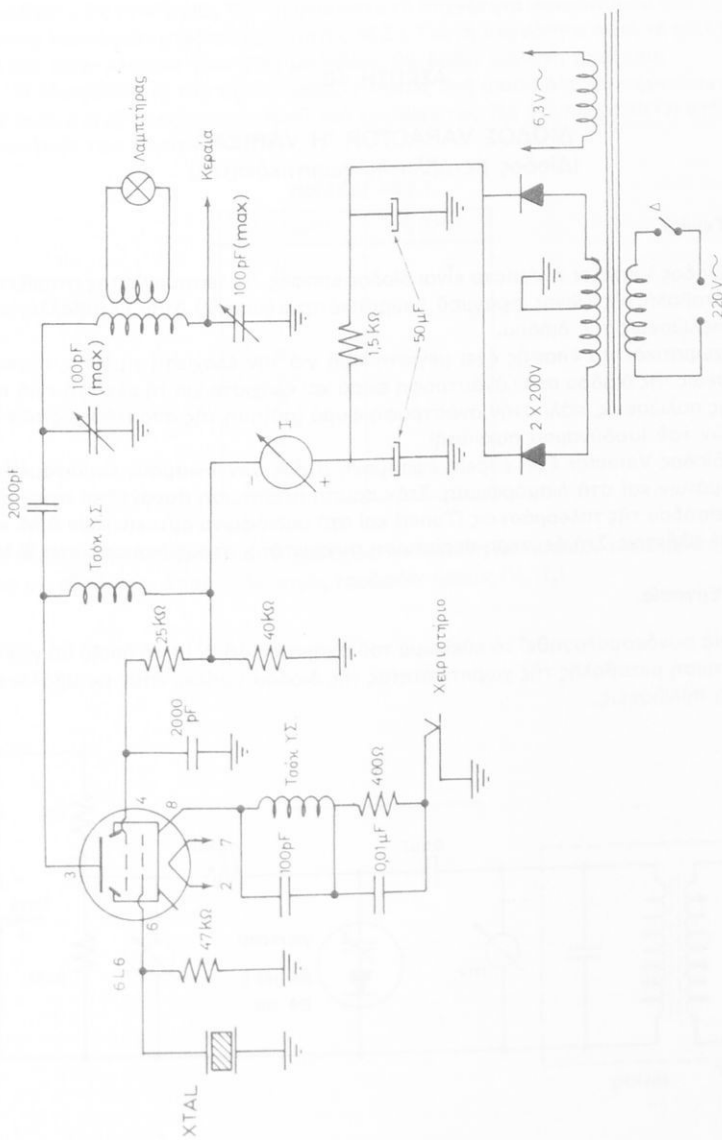
Σέ σειρά μέ τήν κάθοδο τής λυχνίας έχει συνδεθεῖ χειριστήριο. Όταν ή λαβήτο πιεστηρίου πιεσθεῖ, τό κύκλωμα τής λυχνίας άποκαθίσταται καί έχομε ταλαντώσεις, ένω, ζταν ή λαβή άπελευθερωθεῖ, τό κύκλωμα διακόπτεται καί οι ταλαντώσεις παύουν.

45.2 Έργασία.

1) Συνδέσετε τό μιλλιαμπερόμετρο καί τό χειριστήριο στό κύκλωμα τοῦ πομποῦ καί τροφοδοτήσετε τον μέ τήν τάση τοῦ δικτύου. Πιέσετε τό χειριστήριο. Τό κύκλωμα έχει άποκατασταθεῖ καί τό μιλιαμπερόμετρο I δείχνει κυκλοφορία ρεύματος (άνόδου καί προστατευτικού πλέγματος). Πιέζοντας συνέχεια τή λαβή τοῦ χειριστηρίου, στρέψετε διαδοχικά καί κατ' έπανάληψη τούς δύο μεταβλητούς πυκνωτές (100 μμF), ώστε ή άπόκλιση τής βελόνας τοῦ μιλλιαμπερομέτρου I νά γίνει ή μικρότερη δυνατή. Τότε ο πομπός έχει συντονισθεῖ. Σημειώσετε τήν ένδειξη τοῦ μιλλιαμπερομέτρου. Σημειώσετε τή συχνότητα τοῦ κρυστάλλου, ή όποια είναι καί συχνότητα ταλαντώσεως τοῦ πομποῦ.

2) Μέ διάταξη συμβολής καί βαθμονομημένη γεννήτρια ύψηλῶν συχνοτήτων μετρήσετε καί σημειώσετε τή συχνότητα τῶν παραγομένων ταλαντώσεων.

3) Συνδέσετε έπαγωγικά τήν έξοδο τοῦ πομποῦ μέ τά κατακόρυφα πλακίδια παλμογράφου, τοῦ όποιου έχετε ρυθμίσει τή συχνότητα σαρώσεως στή μεγαλύτερη περιοχή (15.000 - 200.000 kHz). Μέ αύτό τόν τρόπο πρέπει νά έμφανισθεῖ στήν θύρων τοῦ παλμογράφου ένας άριθμός κυμάτων τοῦ σήματος έξόδου τοῦ πομποῦ. Μπορεῖτε νά ρυθμίσετε τό συντονισμό τοῦ πομποῦ μεταβάλλοντας τούς δύο μεταβλητούς πυκνωτές καί νά παρατηρήσετε τό πλάτος τοῦ σήματος έξόδου στήν θύρων τοῦ παλμογράφου.



Σχ. 45.1.

Ψηφιοποιήθηκε από το Ινστιτούτο Εκπαιδευτικής Πολιτικής

ΑΣΚΗΣΗ 46

ΔΙΟΔΟΣ VARACTOR ή VARICAP (Δίοδος μεταβλητής χωρητικότητας)

46.1 Γενικά.

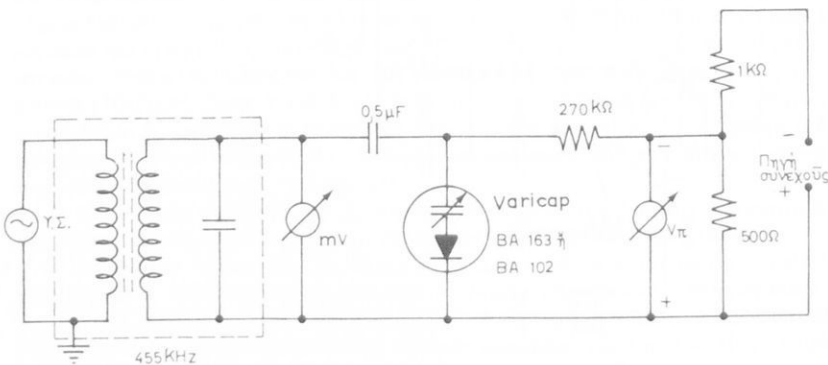
Η δίοδος Varactor ή Varicap είναι δίοδος έπαφης. Η λειτουργία της στηρίζεται στή μεταβολή της ζώνης φραγμού (χωρητικότητα έπαφης) όταν μεταβάλλεται η τάση πολώσεως της διόδου.

Η χωρητικότητα έπαφης έχει μέγιστη τιμή γιά την έλαχιστη τιμή της τάσεως πολώσεως της διόδου στήν άναστροφή φορά και έλαχιστη γιά τη μέγιστη τιμή της τάσεως πολώσεως, πάλι στήν άναστροφή φορά (αύξηση της άποστάσεως των διπλισμῶν τοῦ ισοδύναμου πυκνωτῆ).

Η δίοδος Varactor έχει εύρεια έφαρμογή στούς συντονισμούς κυμαινομένων κυκλωμάτων και στή διαμόρφωση. Στήν πρώτη περίπτωση συναντάται στή βαθύδεις είσόδου της τηλεοράσεως (Tuner) και στά ραδιόφωνα αύτοκινήτων A.M. και F.M. μέ πληκτρα. Στή δεύτερη περίπτωση συναντάται στούς διαμορφωτές F.M.

46.2 Έργασία.

1) Νά συνδεσμολογηθεῖ τό κύκλωμα τοῦ σχήματος 46.2, μέ τό όποιο θά γίνει ή διαπίστωση μεταβολής της χωρητικότητας της διόδου Varicap όταν μεταβάλλεται η τάση πολώσεως.



Σχ. 46.2.

2) Ρυθμίσετε τήν τάση τροφοδοτήσεως (συνεχής τάση) στό μηδέν καί μέ τή βοήθεια μιᾶς γεννήτριας Υ.Σ. σημειώσετε τή συχνότητα συντονισμοῦ τοῦ κυμαινόμενου κυκλώματος (μετασχηματιστής Μ.Σ.). Γιά τή συχνότητα αύτή τό μιλλιβολτόμετρο στήν κλίμακα τῶν 300 μιλλιβόλτ θά δείξει μέγιστη άποκλιση.

3) Μεταβάλλετε τήν τάση τροφοδοτήσεως άνά μισό βόλτ καί σημειώσετε πάλι τίς νέες συχνότητες συντονισμοῦ τοῦ κυκλώματος. Νά συμπληρωθεῖ ή στήλη συχνοτήτων τοῦ Πίνακα 46.2.1.

ΠΙΝΑΚΑΣ 46.2.1.

V_p (βόλτ)	f_0 (kHz)
0	
- 0,5	
- 1	
- 1,5	
- 2	
- 2,5	
- 3	
- 3,5	
- 4	
- 4,5	
- 5	

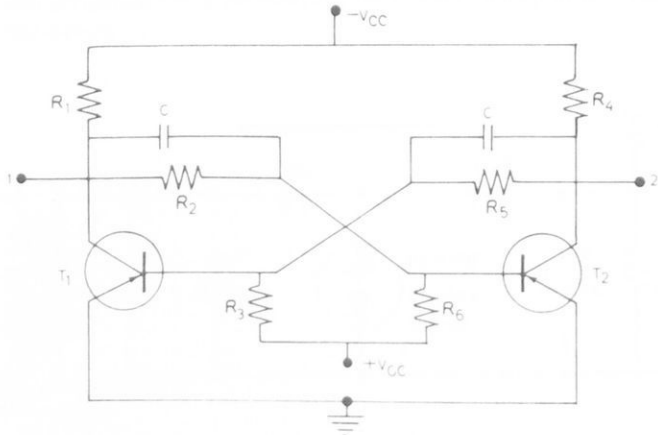
4) Σέ σχετικό διάγραμμα νά χαραχθεῖ ή καμπύλη μεταβολῶν τῆς συχνότητας, ὅταν μεταβάλλεται ή τάση τῆς πηγῆς τροφοδοτήσεως (V_p / f_0).

ΠΟΛΥΔΟΝΗΤΗΣ ΔΙΠΛΗΣ ΣΤΑΘΕΡΗΣ ΚΑΤΑΣΤΑΣΕΩΣ (FLIP - FLOP)

47.1 Γενικά.

Ο πολυδονητής διπλής σταθερής καταστάσεως ή, όπως συνηθίζεται περισσότερο νά λέγεται, πολυδονητής Flip - Flop, είναι ένα συμμετρικό κύκλωμα με δύο βαθμίδες (μέ λυχνίες ή τρανζιστορ), από τίς οποίες ή μία παραμένει άγωγιμη καί ή άλλη μή άγωγιμη. Η κατάσταση στήν οποία βρίσκεται τό κύκλωμα, δηλαδή με τή μιά βαθμίδα άγωγιμη καί τήν άλλη μή άγωγιμη, άνατρέπεται καί έχομε άλλαγή στήν άγωγιμότητα ή μή τών βαθμίδων μόνο μέ έξωτερικό παλμό διεγέρσεως. Από τή λειτουργία αύτή τού κυκλώματος βγαίνει καί τό σημα στού **πολυδονητή διπλής σταθερής καταστάσεως** (Bistable Multivibrator).

- Επίσης ένα τέτοιο κύκλωμα συναντάται μέ τίς όνομασίες:
 - a) Κύκλωμα σκανδάλης (Trigger Circuit).
 - β) Κύκλωμα Eccles - Jordan (άπο τά όνόματα τών δύο έρευνητών πού πρώτοι τό μελέτησαν).
 - γ) Κύκλωμα τής κλίμακας τών δύο (Scale of two Circuit), έπειδή ύποδιπλασιάζει στήν έξοδό του τή συχνότητα τών παλμῶν είσοδου.
 - δ) Διαδικό κύκλωμα (Binary Circuit).
- Στό σχήμα 47.1 φαίνεται ένα κύκλωμα πολυδονητή Flip - Flop. (Μέ τό σημα



Σχ. 47.1.

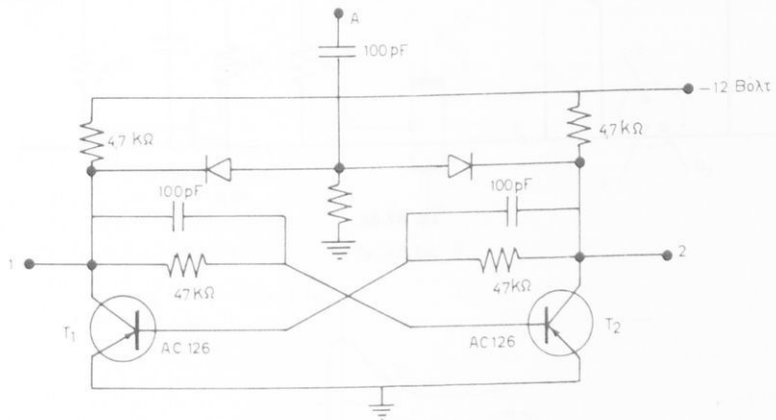
αύτό θά το άναφέρομε στή συνέχεια ή άπλα Flip - Flop, γιατί αύτό έχει έπικρατήσει περισσότερο.

Το κύκλωμα αυτό έχει δύο ένισχυτικές βαθμίδες μέ τρανζίστορ πού έχουν γειωμένο τόν έκπομπό. Η έξοδος της μιᾶς βαθμίδας είναι συνδεμένη με τήν είσοδο της άλλης. Όταν ή πρώτη βαθμίδα T_1 είναι άγωγιμη, ή άλλη, ή T_2 , βρίσκεται σέ άποκοπή. Σε αυτή τήν κατάσταση ή έξοδος 1 τού κυκλώματος είναι κοντά στό δυναμικό γειώσεως ένων ή έξοδος 2 είναι στό $-V_{CC}$. Η δεύτερη κατάσταση στήν όποια μπορεί νά βρεθεῖ τό κύκλωμα είναι νά άγει ή βαθμίδα T_2 και ή βαθμίδα T_1 νά είναι σέ άποκοπή. Γιά τή δεύτερη αύτή περίπτωση στής έξοδους 1 και 2 έχομε τά άντιθετα άποτελέσματα.

Τό Flip - Flop χρησιμοποιεῖται πολύ στά ψηφιακά συστήματα, γιατί μέ τίς δύο σταθερές καταστάσεις πού παρουσιάζει έξυπηρετεί στό δυαδικό άριθμητικό σύστημα.

47.2 Έργασία.

1) Νά συνδεσμολογηθεῖ τό κύκλωμα τού σχήματος 47.2a. Έλέγχετε τή λειτουργία τού κυκλώματος μέ γειώση τών βάσεων τών τρανζίστορ T_1 και T_2 . Μέ αύτό τόν τρόπο άλλάζετε τίς συνθήκες πολώσεως και προκαλεῖτε άλλαγή τής σταθερῆς καταστάσεως τού κυκλώματος.



Σχ. 47.2a.

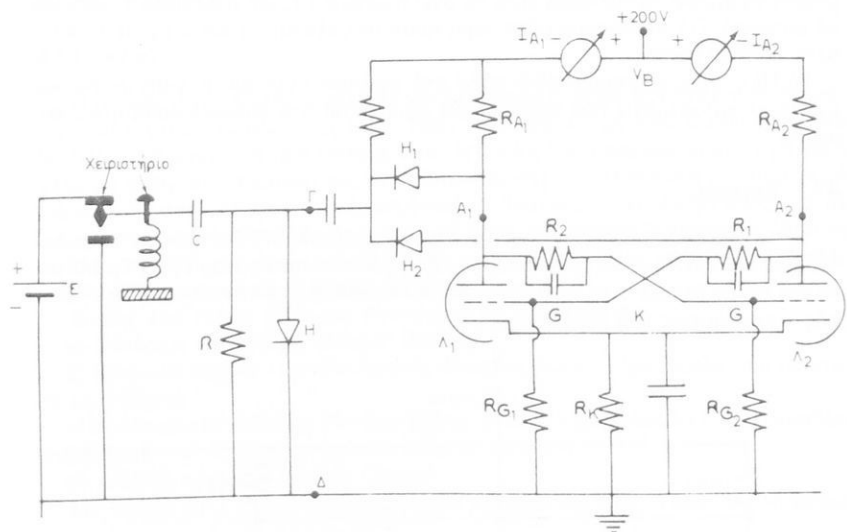
2) Νά μετρήσετε τά συνεχή δυναμικά στά διάφορα σημεία τού κυκλώματος διατάν αύτό βρίσκεται σέ μιά σταθερή κατάσταση.

3) Νά δόληγήσετε τετραγωνικό σήμα 1000 Hz στήν είσοδο A και νά παρατηρήσετε τίς κυματομορφές στής έξοδους.

4) Νά έλαπτώσετε τό σήμα είσοδου και νά προσδιορίσετε τό μικρότερο πλάτος μέ τό όποιο μπορεῖτε νά έχετε άλλαγή καταστάσεως στή λειτουργία τών βαθμίδων.

5) Νά συνδεσμολογηθεῖ τό κύκλωμα του σχήματος 47.2β καί νά γίνουν öλες οι μετρήσεις πού άναφέρονται στίς προηγούμενες ἐρωτήσεις.

Τό κύκλωμα αύτό, μέ λυχνίες, παρέχει τή δυνατότητα νά γίνουν ποι εύκολα öλες οι μετρήσεις καί νά παρατηρηθοῦν καλύτερα τά φαινόμενα. Ἐπίσης τό χειριστήριο διευκολύνει τή ρύθμιση του πλάτους καί τῆς συχνότητας τῶν παλμῶν διεγέρσεως.



Σχ. 47.2β.

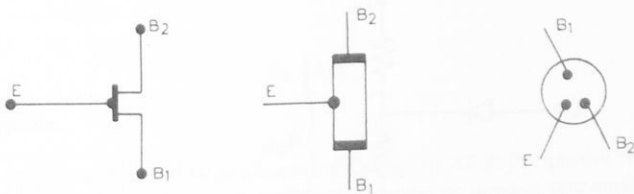
ΑΣΚΗΣΗ 48

TPANZISTOP UNIJUNCTION (Δίοδος έπαφης μέ διπλή βάση)

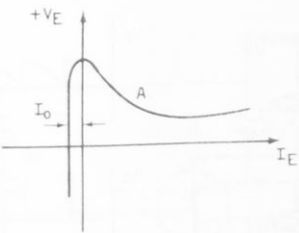
48.1 Γενικά.

Τό τρανζίστορ Unijunction πού άναφέρεται καί ώς δίοδος έπαφης μέ διπλή βάση είναι μιά κατασκευή άπο δύο ήμιαγωγούς έπαφης p - n καί έχει τρεῖς άκροδέκτες (σχ. 48.1α).

Ή χαρακτηριστική ρεύματος - τάσεως έχει μιά περιοχή άρνητικής άντιστάσεως καί ή άρχη λειτουργίας του βασίζεται στίς μεταβολές αύτης της άντιστάσεως (σχ. 48.1β).



Σχ. 48.1α.



Σχ. 48.1β.

Στή χαρακτηριστική αύτή παρατηροῦμε δτι ένα πολύ μικρό καί πρακτικά σταθερό άντιθετο ρεύμα I_0 κυκλοφορεῖ στήν ένωση p - n. Μιά σημαντική αύξηση τής τάσεως στήν ένωση p - n προκαλεῖ άγώγιμη κατάσταση σέ αύτη τήν περιοχή. Οι φορεῖς διαχύσεως στόν ήμιαγωγό μειώνουν τήν άντιστασή διασπορᾶς καί ή πτώση

τάσεως στήν ένωση έλαπτώνεται και φθάνομε επίσης σε άκομη μεγαλύτερο ύψος παλμού σκανδαλισμού στήν ένωση $p - n$. Αύτή ή σταδιακά έπιπταχυνόμενη έξέλιξη φαίνεται στό τμήμα Α της χαρακτηριστικής ρεύματος - τάσεως, που είναι περιοχή άρνητικής άντιστάσεως.

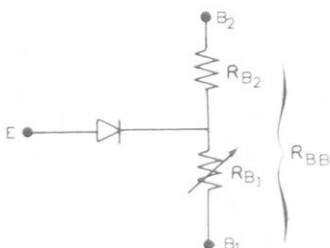
Η άντισταση διασποράς, που είναι ή άντισταση μεταξύ των βάσεων B_1 και B_2 , συμβολίζεται ως R_{BB} και μπορούμε νά τή μετρήσουμε μέ ένα Ωμόμετρο.

Δίοδοι μέ διπλή βάση (Unijunction) χρησιμοποιούνται σε κυκλώματα όπως: Πολυδονητές, μετρητές παλμών, θυρίστορ γιά τήν έκκινηση των κυκλωμάτων τους, άνορθώσεως και αύτοματισμού, παλμοδοτικά γιά τήν παραγωγή πριονωτών τάσεων κλπ.

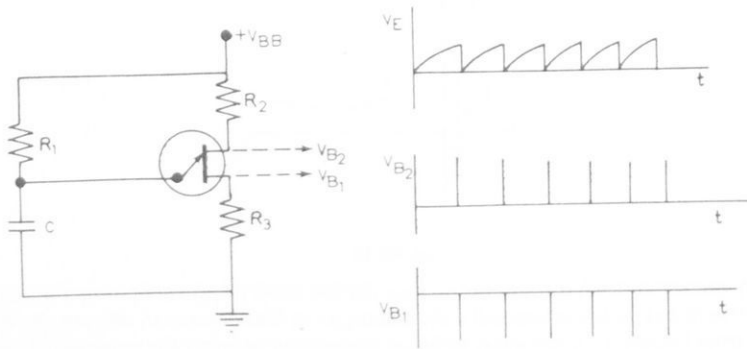
Παρουσιάζουν τά έξης χαρακτηριστικά:

- Μεγάλη άντισταση εισόδου.
- Μικρή άντισταση έξοδου.
- Μπορούν νά δώσουν παλμούς σε μεγάλη ποικιλία συχνοτήτων.
- Μειονεκτούν στό ότι ή ταχύτητα έναλλαγῆς είναι μικρή.
- Καταναλώνουν μεγάλη ένέργεια.

Τά δύο τελευταία χαρακτηριστικά (μειονεκτήματα) περιορίζουν και τή χρησιμοποίησή τους. Τό συνηθισμένο λάθος στή συνδεσμολογία τρανζίστορ Unijunction σε κύκλωμα γίνεται στήν πολικότητα. **Πρέπει νά θυμόμασθε ότι ο άκροδέκτης B_2 συνδέεται πάντοτε στό +.**



Σχ. 48.1γ.

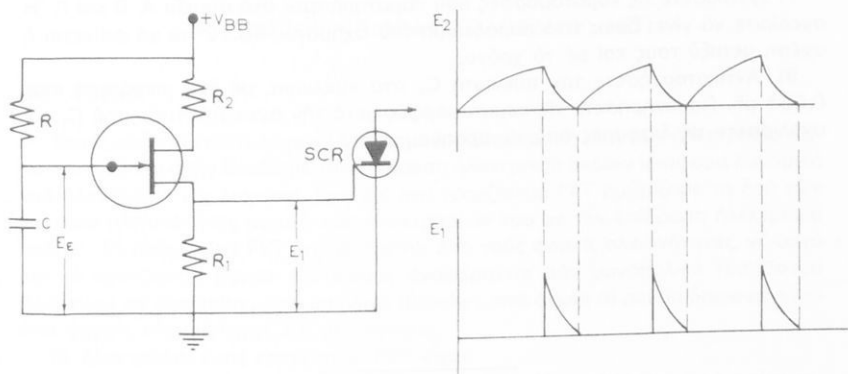


Σχ. 48.1δ.

Στό σχήμα 48.1γ φαίνεται τό ίσοδύναμο κύκλωμα ένός τρανζίστορ Unijunction. Ή R_1 είναι μεταβλητή. "Όταν δέν αριθμείται η Unijunction, ή R_1 έχει μεγάλη ώμικη τιμή (2 - 4 k Ω) καὶ διατίθεται πολύ καὶ παίρνει τιμές κάτω από 50 Ω .

Στό σχήμα 48.1δ φαίνεται μιά συνδεσμολογία Unijunction καὶ ή μορφή τών τάσεων στούς άκροδέκτες της.

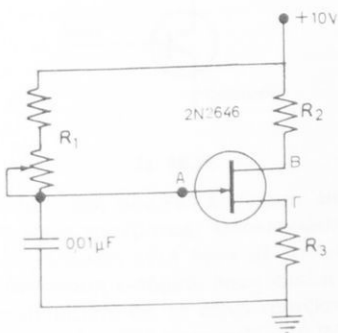
Στό σχήμα 48.1ε φαίνεται ένα κύκλωμα μέν Unijunction πού τροφοδοτεῖ θυρίστορ (κύκλωμα σκανδάλης) καὶ οι μορφές τών τάσεων σέ αύτό.



Σχ. 48.1ε.

48.2 Έργασία.

1) Νά συνδεσμολογηθεῖ τό κύκλωμα τοῦ σχήματος 48.2. Ρυθμίσετε τήν R_1 , περίου στή μέση καὶ παρατηρήσετε στόν παλμογράφο τίς μορφές τών κυμάτων στό σημείο A. Ρυθμίσετε τόν παλμογράφο γιά δύο κύκλους τών κυμάτων πού παρατηρούνται.



Σχ. 48.2.

2) Προσδιορίσετε τήν περιοχή τών συχνοτήτων σκανδαλισμού του κυκλώματος, όταν μεταβάλλεται ή R_1 . Γι' αύτό χρησιμοποιήσετε βαθμονομημένο παλμογράφο ή γεννήτρια σημάτων Χ.Σ. γιά σύγκριση.

3) Ποιό στοιχείο του κυκλώματος άποφασίζει τήν τιμή της χαμηλότερης συχνότητας;

4) Ποιά είναι ή μεγαλύτερη συχνότητα πού μπορεῖ νά δώσει τό κύκλωμα;

5) Μέ την R_1 , στή θέση πού τό κύκλωμα δίνει τήν ύψηλότερη συχνότητα, παρατηρήσετε και σχεδιάσετε τήν κυματομορφή στά σημείο B.

6) Τό ίδιο νά γίνει και γιά τό σημείο Γ.

7) Σχεδιάσετε τίς κυματομορφές πού παρατηρήσατε στά σημεῖα A, B και Γ. Ή σχεδίαση νά γίνει όπως στό παράδειγμα του σχήματος 48.1δ γιά νά φαίνεται ή σχέση μεταξύ τους και μέ τό χρόνο.

8) Άντικαταστήσετε τόν πυκνωτή C_1 στό κύκλωμα, μέ ένα μικρότερο, π.χ. 0,001 μF. Παρατηρήσετε τίς κυματομορφές μετά τήν άντικατάσταση του C_1 , και σχολιάσετε τίς διαφορές άπό τίς προηγούμενες.

ΤΡΑΝΖΙΣΤΟΡ ΕΠΙΔΡΑΣΕΩΣ ΠΕΔΙΟΥ (FET)

49.1 Γενικά.

Όπως στήν πέντοδο λυχνία (άσκηση 12) έλέγχομε τή ροή τῶν ήλεκτρονίων ἀπό τήν κάθοδο στήν ανοδό μέ τήν έπιδραση ήλεκτρικού πεδίου (διάφορα δυναμικά στά ήλεκτρόδια τῆς λυχνίας), έτσι και στά τρανζίστορ FET ρυθμίζομε τή ροή τῶν φορέων πλειονότητας μεταξύ τῶν ήλεκτροδίων του μέ τήν έπιδραση ήλεκτρικού πεδίου. Τό ρεῦμα στά FET δημιουργεῖται ἀπό τούς φορεῖς πλειονότητας, γι' αὐτό και τά τρανζίστορ αὐτοῦ τοῦ εἶδους άναφέρονται σάν μονοπολικά τρανζίστορ (Unipolar) σέ άντιθεση μέ τά διπολικά (Bipolar), στά δποια τό ρεῦμα δημιουργεῖται ἀπό φορεῖς πλειονότητας και μειονότητας.

Τά ήλεκτρόδια ἐνός τρανζίστορ FET είναι:

α) Πηγή, σύμβολο S ἀπό τό Source. Παίζει τό ρόλο καθόδου μιᾶς λυχνίας κενοῦ.

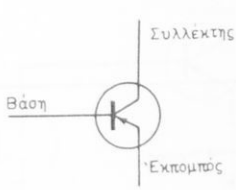
β) Ανοδός, σύμβολο D ἀπό τό Drain. Αντιστοιχεῖ στήν ανοδό μιᾶς λυχνίας.

γ) Πύλη, σύμβολο G ἀπό τό Gate. Αντιστοιχεῖ στό δόδηγο πλέγμα τῶν λυχνίων.

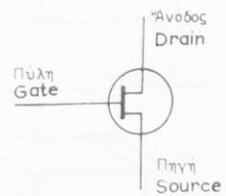
Στά σχήματα 49.1α, 49.1β και 49.1γ φαίνονται συγκριτικοί συμβολισμοί λυχνίας κενοῦ, ἀπλοῦ τρανζίστορ και τρανζίστορ FET.



Σχ. 49.1α.



Σχ. 49.1β.



Σχ. 49.1γ.

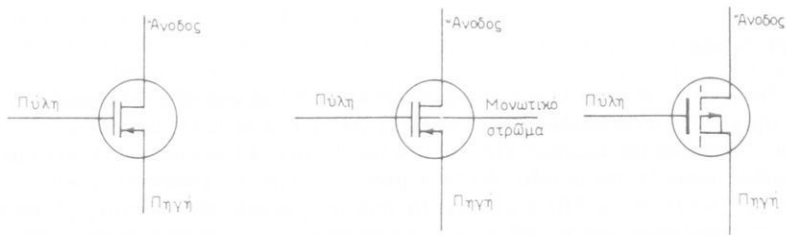
Οι ἔρευνες γιά τήν κατασκευή τῶν FET ξεκίνησαν ἀπό πολύ παλιά και ἔγιναν πρίν ἀπό ἑκείνες γιά τά κοινά τρανζίστορ. Όλοκληρώθηκαν δύμας ἀργότερα. Ή προσπάθεια πρός τήν κατεύθυνση αὐτή ἔγινε μέ βασικό σκοπό τήν κατασκευή τρανζίστορ μέ μεγάλη ἀντίσταση εἰσόδου, δημιουργώντας τά κοινά τρανζίστορ παρουσιάζοντας μικρής πεντόδους λυχνίες. Υπενθυμίζεται δητι τά κοινά τρανζίστορ παρουσιάζουν μικρής ἀντίσταση είσοδου. Πράγματι ἔνα FET παρουσιάζει τά ίδια χαρακτηριστικά μέ μιά πέντοδο λυχνία.

Συναντώνται δύο είδη τρανζίστορ ἐπιδράσεως πεδίου:

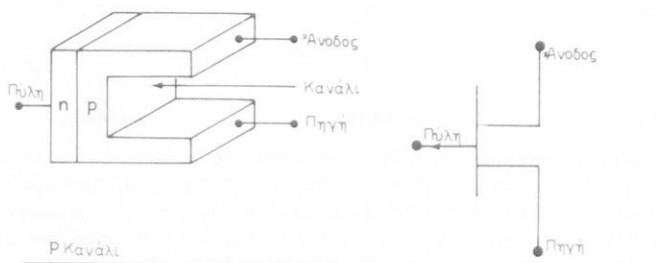
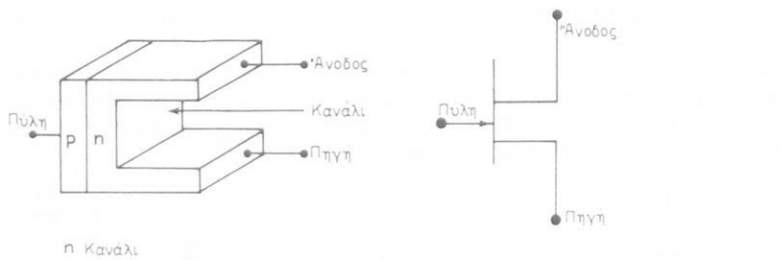
α) Τά Junction FET (JFET), ή άπλα FET, στά όποια ή πύλη ένεργει μέσα από μιά ένωση p - n.

β) Τά FET με πύλη πού ένεργει μέσα από μιά μονωτική στρώση (Insulated Gate). Αύτά είναι τά IGFET πού όνομαζονται ἐπίσης τρανζίστορ μετάλλου - οξειδίου ήμιαγωγού (Metal Oxide Semiconductor - Transistor) και συντετμημένα μέτα τά άρχικά τους MOS, MOST ή πιο συνηθισμένα MOSFET.

Ο συμβολισμός τῶν MOSFET φαίνεται στό σχήμα 49.18.



Σχ. 49.18.

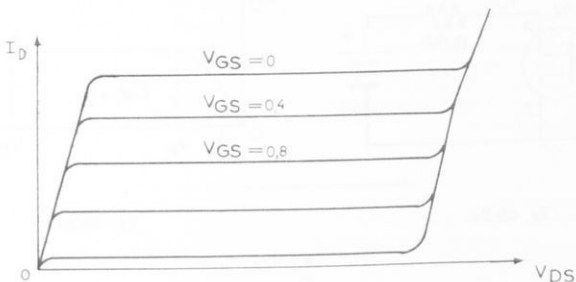


Σχ. 49.1e.

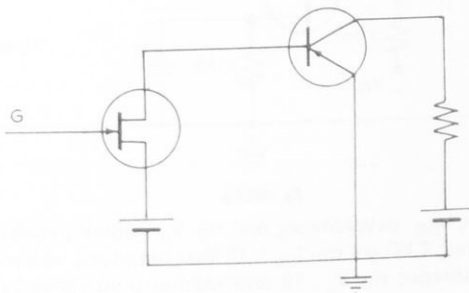
Καί τά τρία είδη είναι ρ καναλιοῦ. Μέ άντιστροφα βέλη θά είναι η καναλιοῦ. "Όταν ό ακροδέκτης τοῦ μονωτικοῦ στρώματος συνδέεται έξωτερικά έχομε τέτροδο. Στά περισσότερα MOSFET υπάρχει έσωτερική σύνδεση άπο τήν κατασκευή τοῦ τρανζίστορ καί συνδέονται ώς τρίοδοι.

Γενικά στά FET έχομε τούς τύπους ρ καναλιοῦ καί η καναλιοῦ (σχ. 49.1ε). Ή λειτουργία τῶν κυκλωμάτων μέ τούς δύο τύπους καί τά άποτελέσματα είναι τά ſ-δια, ή διαφορά τους είναι στήν πολικότητα τῶν τάσεων πού έφαρμόζομε καί έπομένως στά άντιθέτα ρεύματα.

Τά MOSFET κατασκευάζονται έγκολότερα στόν τύπο ρ καναλιοῦ. Ο τύπος αύτός έχει περισσότερες έφαρμογές. Ή άπολαβή σε ένα MOSFET μέ άπομονωμένη πύλη μπορεῖ νά είναι μεταξύ 100 - 600. Ή πόλωση έξασφαλίζεται μέ μιά άντισταση στό κύκλωμα τοῦ ήλεκτροδίου τῆς πηγῆς (Source), όπως στήν κάθοδο τῶν λυχνιῶν. Οι χαρακτηριστικές καμπύλες τῶν μεταβολῶν τοῦ ρεύματος I_D οταν μεταβάλλεται ή τάση τῆς άνόδου V_{DS} , μέ τήν τάση V_{GS} σταθερή, είναι ομοιες μέ τίς χαρακτηριστικές άνόδου τῶν πεντόδων λυχνιῶν (σχ. 49.1στ).



Σχ. 49.1στ.



Σχ. 49.1ζ.

Τά χαρακτηριστικά τῶν FET είναι:

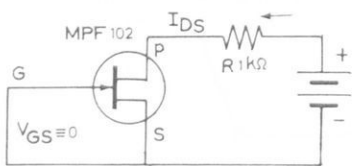
- Μεγάλη άντισταση είσοδου.
- Μικρότερος θόρυβος άπο τά κοινά (διπολικά) τρανζίστορ.

— Σχετικά μικρό γινόμενο άπολαβής και εύρους ζώνης.

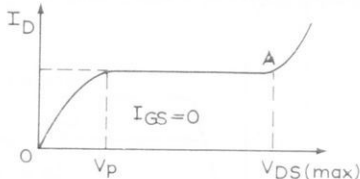
Χρησιμοποιούνται σέ βιομηχανικά ήλεκτρονικά, σέ ψηφιακές διατάξεις κλπ. Έπίσης συναντώνται σέ βολτόμετρα καλής ποιότητας και σέ συσκευές μετρήσεως ήλεκτροστατικών πεδίων. Συνδυασμός FET μέ κοινό τρανζίστορ δίνει κύκλωμα μέ μεγάλη άντισταση είσοδου που δέν δέχεται έπιδράσεις στό ρεῦμα, όταν μεταβάλλεται ή θερμοκρασία (σχ. 49.1ζ).

49.2 Έργασία.

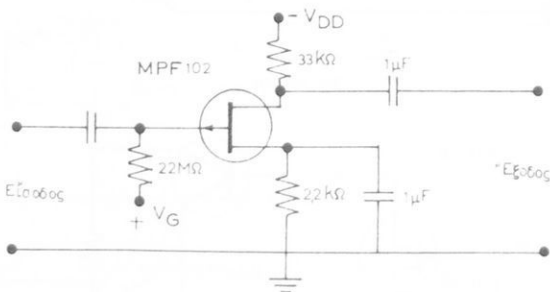
1) Νά συνδεσμολογηθεῖ τό κύκλωμα τοῦ σχήματος 49.2α. Τό I_{GS} σέ αύτό τό κύκλωμα είναι μηδέν. Ρυθμίσετε τήν τάση στά άκρα τῆς άντιστάσεως $1 \text{ k}\Omega$, ώστε άπο μηδέν νά αύξανεται μέχρι πού τό I_D θά άρχισει νά σταθεροποιεῖται. Τό σημείο γιά τό όποιο γίνεται αύτό μᾶς δίνει τό V_p (σχ. 49.2β, γόνατο τῆς καμπύλης).



Σχ. 49.2α.



Σχ. 49.2β.



Σχ. 49.2γ.

2) Γιά τρεῖς τιμές V_{DS} μεγαλύτερες άπο τήν V_p λάβετε μετρήσεις τῶν V_1 (στά άκρα τῆς άντιστάσεως $1 \text{ k}\Omega$ και τοῦ I_{DS}). Οι ίδιες μετρήσεις νά γίνουν και γιά τρεῖς τιμές τῆς V_{DS} μικρότερες τῆς V_p . Τά άποτελέσματα νά γραφοῦν σέ σχετικό πίνακα.

3) Μέ αύξηση τῆς V_{DS} μπορεῖτε νά φθάσετε στό σημείο πού τελειώνει ὁ κόρος (σημείο Α στήν καμπύλη, σχ. 49.2β). Αύτό είναι τό $V_{DS(\max)}$ πού δέν πρέπει νά τό ξεπερνάμε.

4) Νά συνδεσμολογηθεῖ τό κύκλωμα τοῦ σχήματος 49.2γ.

5) Έλεγξετε όλα τά δυναμικά τοῦ κυκλώματος. Προσοχή όταν κάνετε μετρήσεις στήν πύλη. Τό στρῶμα μονώσεως στήν πύλη είναι πάρα πολύ λεπτό καί καταστρέφεται εύκολα από ύπερβολική τάση. Ρυθμίσετε ώστε ή συνεχής τάση στήν άνοδο (Drain) νά είναι —6 βόλτ.

6) Μέ τό κύκλωμα σταθεροποιημένο έφαρμόσετε σήμα στήν είσοδο καί μετρήσετε τήν τάση στήν έξοδο. Υπολογίσετε τήν άπολαβή τοῦ κυκλώματος.

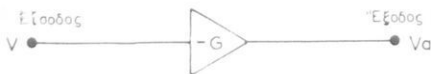
ΑΣΚΗΣΗ 50

ΤΕΛΕΣΤΙΚΟΣ ΕΝΙΣΧΥΤΗΣ (OPERATIONAL AMPLIFIER)

50.1 Γενικά.

Ο τελεστικός ένισχυτής είναι ένας ένισχυτής με άμεση σύζευξη, ό όποιος λόγω θετικής άνασυζέυξεως πού έφαρμόζεται στό κύκλωμά του κάνει μεγάλη άπολαβή.

Στό σχήμα 50.1α φαίνεται τό σύμβολο ένός τέτοιου ένισχυτή, όπου V είναι ή τάση εισόδου, V_a είναι ή τάση έξοδου και G είναι ή άπολαβή (άπο τό Gain). Τό σημείο — δηλώνει τό άντιθετο σημείο πού έχει ή τάση στήν έξοδο σέ σχέση με τήν τάση στήν εισόδο.



Σχ. 50.1α.



Σχ. 50.1β.

Όταν έχουμε τελεστικό ένισχυτή με δύο εισόδους, αύτός ένισχύει τή διαφορά τών τάσεων πού έφαρμόζονται στής εισόδους του (σχ. 50.1β).

Η τάση V_a στήν έξοδο γιά τό κύκλωμα αύτό είναι: $V_a = -G(V_1 - V_2)$.

Τά χαρακτηριστικά τών τελεστικών ένισχυτών είναι:

α) Πάρα πολύ μεγάλη άπολαβή (φθάνει τό 10^8).

β) Πολύ μεγάλη άντισταση εισόδου (πρακτικά θεωρεῖται άπειρη).

γ) Πολύ μικρή άντισταση έξοδου (πρακτικά θεωρεῖται μηδέν).

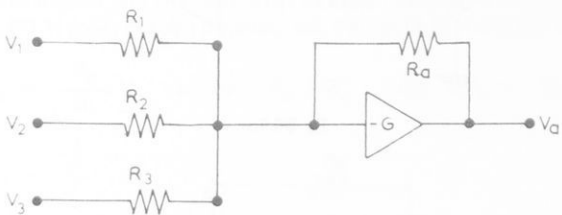
δ) Πολύ μικρό ρεύμα είσοδου (πρακτικά θεωρεῖται μηδέν).

ε) Μεγάλο εύρος συχνοτήτων πού ένισχύονται δμοιόμορφα.

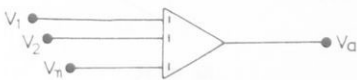
Ο τελεστικός ένισχυτής άποτελεί τό βασικότερο κύκλωμα τών άναλογικών ύπολογιστών. Μέ κατάλληλες συνδεσμολογίες τελεστικών ένισχυτών μποροῦμε νά

κάνομε τίς τέσσερεις βασικές άριθμητικές πράξεις ή άκόμη έξαγωγή τετραγωνικής ρίζας, παραγωγή συναρτήσεων, διαφόριση, όλοκλήρωση κλπ.

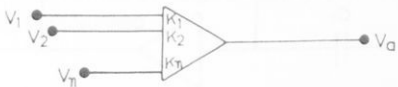
Π.χ. τό κύκλωμα του σχήματος 50.1γ θά μᾶς δώσει στήν εξόδο του μιά τάση ίση με τό άθροισμα τῶν τάσεων είσοδου.



Σχ. 50.1γ.



Σχ. 50.1δ.



Σχ. 50.1ε.

Μέ αῦξηση τῶν ἀντιστάσεων στό κύκλωμα είσοδου μποροῦμε νά κάνομε άθροιση περισσοτέρων τάσεων. Τό συμβολικό διάγραμμα γιά ένα άθροιστή φαίνεται στό σχῆμα 50.1δ.

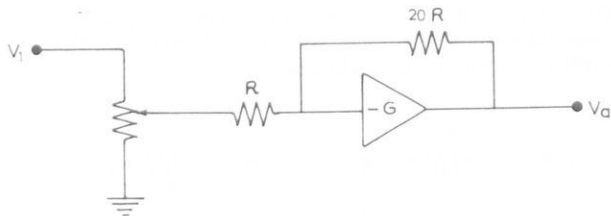
Όταν ένα τέτοιο κύκλωμα κάνει καί ένισχυση, διαθέτει συμβολισμός του είναι δημοφιλέστερος στό σχῆμα 50.1ε δημοφιλέστερος στό σχῆμα 50.1δ.

Στήν πρόσθεση βάλαμε διάφορες ἀντιστάσεις στήν είσοδο, πού οι τιμές τους καθορίζουν τίς τιμές τῶν τάσεων. Στό έμπόριο δημοφιλέστερος στό σχῆμα 50.1ε δημοφιλέστερος στό σχῆμα 50.1δ.

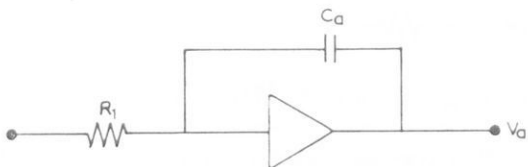
Όταν χρησιμοποιοῦμε τελεστικό ένισχυση μέ διάταξη ποτενσιόμετρο γιά νά κάνομε καί ένισχυση, τό συμβολικό του διάγραμμα γίνεται δημοφιλέστερο στό σχῆμα 50.1ε.

Άπό τό κύκλωμα αύτό έχομε $V_a = -20 V_1 = -K V_1$, δημοφιλέστερος στό σχῆμα 50.1ε δημοφιλέστερος στό σχῆμα 50.1δ.

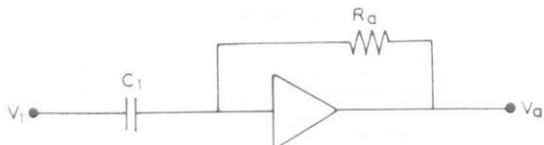
Στό σχῆμα 50.1ε έχομε τελεστικό ένισχυση μέ διάταξη ποτενσιόμετρο γιά νά κάνομε καί ένισχυση, τό συμβολικό του διάγραμμα γίνεται δημοφιλέστερο στό σχῆμα 50.1ε.



Σχ. 50.1στ.



Σχ. 50.1ζ.



Σχ. 50.1η.

C_a . Η τάση V_d στήν εξόδου αύτοῦ τοῦ κυκλώματος είναι ίση μέ τό διαφορικό

$$\text{της τάσεως εισόδου ύπερ μία σταθερά} = \frac{1}{R_1 C_a}.$$

Τό ίδιο κύκλωμα μέ περισσότερες άντιστάσεις στήν εισοδό του μᾶς δίνει ένα άθροιστικό διαφορικό. "Αν άντιστραφούν τά στοιχεῖα τοῦ κυκλώματος τοῦ σχήματος 50.1ζ καί στήν εισοδό βάλομε χωρητική άντισταση C_1 καί ἂν ή άναστζευξη γίνει μέσω ώμικῆς άντιστάσεως R_d τότε έχομε ένα κύκλωμα διαφορισμένων (σχ. 50.1η).

Στό κύκλωμα αύτό ή τάση εξόδου V_d είναι ίση μέ τήν παράγωγο της τάσεως εισόδου ύπερ μία σταθερά RC_1 , δηλαδή:

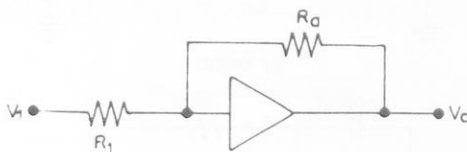
$$V_d = -RC_1 \frac{dV_1}{dt}$$

"Αν καί σέ αύτό τό κύκλωμα συνδέσομε στήν εισοδό περισσότερους πυκνωτές (χωρητικές άντιστάσεις), θά έχομε:

$$V_a = -R_1 C_1 \frac{dV_1}{dt} - R_2 C_2 \frac{dV_2}{dt} \dots R_v C_v \frac{dV_v}{dt}$$

Ο τελεστικός ένισχυτής χρησιμοποιείται έπισης σάν άναστροφέας (Invertor). Δηλαδή, τόν χρησιμοποιούμε σέ κυκλώματα στά όποια θέλουμε ή τάση στήν εξόδο νά έχει άντιθετο σημείο από τήν τάση στήν είσοδο. Πραγματικά τό απλό κύκλωμα του σχήματος 50.1 ι κάνει άλλαγή σημείου, καί, έτσι στήν εξόδο έχουμε (σχ. 50.1θ):

$$V_a = -\frac{R_a}{R_1} \cdot V_1 \quad \text{καί } \text{ } R_a = R_1, \quad \text{τότε } \text{ } V_a = -V_1$$



Σχ. 50.1θ.

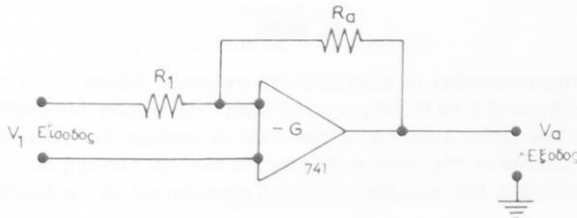
Ο τελεστικός ένισχυτής είναι ένα άπο τά πιό τέλεια ήλεκτρονικά κατασκευάσματα. Μέ τά χαρακτηριστικά λειτουργίας πού παρουσιάζει έξυπηρετεΐ πλήθος άπο έφαρμογές. Ή κατασκευή του σέ δολοκληρωμένα κυκλώματα πλησιάζει τόν ίδανικο ένισχυτή μέ μόνο μειονέκτημα ότι παρουσιάζει δυσκολίες στό εύρος τῶν συχνοτήτων πού ένισχύει δύοιμορφα.

50.2 Έργασία.

1) Νά πραγματοποιηθεί τό κύκλωμα του σχήματος 50.2a. Σέ αύτό ή τάση στήν εξόδο είναι:

$$V_a = -\frac{R_a}{R_1} \cdot V_1$$

Μέ $R_a = 10 R_1$, νά έπαληθευθεΐ πειραματικά ή σχέση.

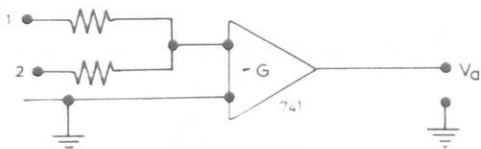


Σχ. 50.2a.

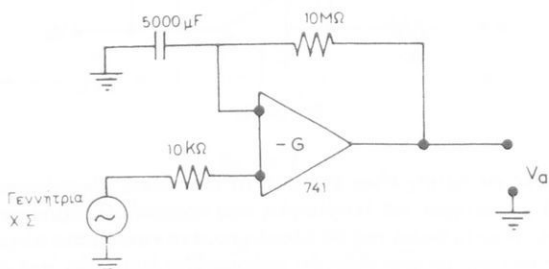
2) Στό κύκλωμα τής προηγούμενης έρωτήσεως μέ $R_a = R_i$, νά μετρηθούν οι τάσεις είσοδου καί έξόδου καί μέ παλμογράφο νά διαπιστωθεῖ ή διαφορά σημείου μεταξύ τους (κύκλωμα άναστροφέα).

3) Νά πραγματοποιηθεῖ τό κύκλωμα τοῦ σχήματος 50.2β.

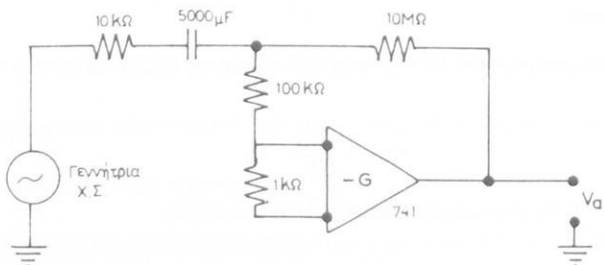
Νά' έφαρμόσετε στίς είσοδους 1 καί 2 δύο διαφορετικές τάσεις, π.χ. 1 καί 2 βόλτ. Νά έλεγχετε στήν έξοδο τό άθροισμά τους.



Σχ. 50.2β.



Σχ. 50.2γ.



Σχ. 50.2δ.

4) Νά πραγματοποιηθεῖ τό κύκλωμα τοῦ σχήματος 50.2γ.

Μέ τή γεννήτρια Χ.Σ. νά δοθεῖ μιά μικρή τάση στήν είσοδο. Μέ σταθερή τήν τάση είσοδου νά μετρηθεῖ ή τάση στήν έξοδο καί νά ύπολογισθεῖ ή άπολαβή. Έπίσης νά ληφθούν μετρήσεις τής τάσεως έξόδου γιά δλη τήν περιοχή συχνοτήτων πού παρέχει ή γεννήτρια. Νά χαραχθεῖ ή σχετική καμπύλη καί νά σχολιασθεῖ ή μορφή της.

5) Η ίδια έργασία νά γίνει καί μέ τό κύκλωμα τοῦ σχήματος 50.2δ καί νά συγκριθούν τά άποτελέσματα.

ΠΙΝΑΚΑΣ ΠΕΡΙΕΧΟΜΕΝΩΝ

ΑΣΚΗΣΗ 1

‘Ηλεκτρικές πηγές τοῦ ἐργαστηρίου – Μέτρα ἀσφαλείας

1.1 Γενικά	1
------------------	---

ΑΣΚΗΣΗ 2

Πολύμετρα

2.1 Κύκλωμα βολτομέτρου γιά τή μέτρηση ἐναλλασσομένων τάσεων	6
--	---

ΑΣΚΗΣΗ 3

‘Ηλεκτρονικά βολτόμετρα

(‘Ηλεκτρονικά Πολύμετρα)

3.1 Γενικά	10
3.2 Όδηγίες χρήσεως ήλεκτρονικών βολτομέτρων μέλι λυχνίες	11
3.3 Έργασία	12

ΑΣΚΗΣΗ 4

Παλμογράφος

4.1 Μετρήσεις τάσεως, συχνότητας και διαφορᾶς φάσεως	13
4.2 Βαθμονόμηση κατά τὸν κατακόρυφο ἄξονα	14
4.3 Βαθμονόμηση κατά τὸν ὄριζόντιο ἄξονα	14
4.4 Εύρεση διαφορᾶς φάσεως	15
4.5 Μέτρηση συχνότητας	16
4.6 Έργασία	16

ΑΣΚΗΣΗ 5

Γεννήτριες παραγωγῆς σημάτων

5.1 Περιγραφή – Χειρισμός	18
5.2 Γεννήτριες χαμηλῶν συχνοτήτων	19
5.3 Γεννήτριες ὑψηλῶν συχνοτήτων	21
5.4 Έργασία	23

ΑΣΚΗΣΗ 6

Σταθερά χρόνου

Κύκλωμα RC – Κύκλωμα RL

6.1 Κύκλωμα R - C. Φόρτιση - ἐκφόρτιση τοῦ πυκνωτῆ	24
6.2 B' Κύκλωμα R - L. Τὸ ρεῦμα στὸ πνίο	27
6.3 Έργασία	28

ΑΣΚΗΣΗ 7

Σύντονισμός σειρᾶς

7.1 Γενικά	30
7.2 Έργασία	34



ΑΣΚΗΣΗ 8**Παράλληλος συντονισμός**

8.1 Γενικά	36
8.2 'Ο συντελεστής ποιότητας Q και ή μορφή της καμπύλης συντονισμοῦ	37
8.3 Περιγραφή τοῦ κυκλώματος και τρόπος λήψεως τῶν μετρήσεων	38
8.4 Μέθοδος υποβιβασμοῦ τοῦ συντελεστῆς ποιότητας Q	40
8.5 'Εργασία	40

ΑΣΚΗΣΗ 9**Θερμιονική έκπομπή ήλεκτρονίων – 'Η διόδος λυχνία κενοῦ**

9.1 Γενικά	42
9.2 'Εργασία	45

ΑΣΚΗΣΗ 10**Τριόδος λυχνία**

10.1 Γενικά	47
10.2 'Εργασία	49

ΑΣΚΗΣΗ 11**Τέτροδος λυχνία και λυχνία ίσχυος κατευθυνόμενης δέσμης**

11.1 Γενικά	52
11.2 'Εργασία	55

ΑΣΚΗΣΗ 12**Πέντοδος λυχνία**

12.1 Γενικά	57
12.2 'Εργασία	60

ΑΣΚΗΣΗ 13**'Ημιαγωγοί – 'Η κρυσταλλοδιόδος**

13.1 Γενικά	62
13.2 'Εργασία	64

ΑΣΚΗΣΗ 14**Τρανςίστορ – Βασικά χαρακτηριστικά**

14.1 Γενικά	66
14.2 'Εργασία	69

ΑΣΚΗΣΗ 15**'Απλή και διπλή άνορθωση**

15.1 Γενικά	71
15.2 Κύκλωμα άπλης άνορθώσεως μέ δάντισταση	71
15.3 Πρακτικό κύκλωμα και ύπολογισμοί	72
15.4 'Η μέγιστη άνάστροφη τάση	75
15.5 Παλμογραφική παρατήρηση κυματομορφῶν	75
15.6 Κύκλωμα άπλης άνορθώσεως μέ πυκνωτή	75
15.6.1 Σέ ποιά τάση φορτίζεται δ πυκνωτής	76
15.6.2 'Η μέγιστη άνάστροφη τάση	76
15.6.3 'Αντίσταση παράλληλα στόν πυκνωτή	77

15.7 Τό κύκλωμα διπλής άνορθώσεως μέ αντίσταση	77
15.7.1 'Η μέγιστη άνάστροφη τάση	78
15.7.2 Διπλή άνορθώση μέ πυκνωτή	79
15.7.3 'Η μέγιστη άνάστροφη τάση στό κύκλωμα τοῦ σχήματος 15.7ε (διπλή άνορθώση μέ πυκνωτή)	79
15.7.4 'Αντίσταση παράλληλα πρός τὸν πυκνωτή	79
15.8 'Εργασία	80

ΑΣΚΗΣΗ 16

Κύκλωμα άνορθώσεως μέ γέφυρα

16.1 Γενικά	82
16.2 'Εργασία	85

ΑΣΚΗΣΗ 17

'Ανόρθωση καὶ διπλασιασμός τάσεως

17.1 Γενικά	87
17.2 'Εργασία	90

ΑΣΚΗΣΗ 18

Κυκλώματα πολλαπλασιασμοῦ τάσεως

18.1 Γενικά	93
18.2 'Εργασία	96

ΑΣΚΗΣΗ 19

Χαρακτηριστικές καμπύλες τρανζίστορ σέ συνδεσμολογία κοινῆς (γειωμένης) βάσεως

19.1 Γενικά	97
19.2 'Εργασία	99

ΑΣΚΗΣΗ 20

Χαρακτηριστικές καμπύλες τρανζίστορ σέ συνδεσμολογία κοινοῦ (γειωμένου) έκπομποῦ

20.1 Γενικά	101
20.2 'Εργασία	104

ΑΣΚΗΣΗ 21

Μεταβαλλόμενες άντιστάσεις μέ τὴν τάση

(V.D.R. — Voltage Dependent Resistors)

21.1 Γενικά	106
21.2 'Εργασία	106

ΑΣΚΗΣΗ 22

'Η διόδος Zener

22.1 Γενικά	108
22.2 'Εργασία	110

ΑΣΚΗΣΗ 23

Θυρίστορ «SCR» (Silicon Controlled Rectifier)

23.1 Γενικά	113
23.2 'Εργασία	116

ΑΣΚΗΣΗ 24

'Ενισχυση έναλλασσόμενης τάσεως μέτριοδο λυχνία	117
24.1 Γενικά	117
24.2 Έργασία	119

ΑΣΚΗΣΗ 25

'Ενισχυση συνεχούς τάσεως μέτριοδο λυχνία (Ένισχυτρια άμεσου συζεύξεως)	
25.1 Γενικά	121
25.2 Έργασία	123

ΑΣΚΗΣΗ 26

Καμπύλη άποκρισεως ένισχυτή χαμηλών συχνοτήτων (Επιδραση χωρητικοτήτων της βαθμίδας)	
26.1 Γενικά	125
26.2 Έργασία	125

ΑΣΚΗΣΗ 27

Εύθεια φόρτου (Χάραξη και πειραματική έπαλήθευση τῶν δεδομένων της)	
27.1 Γενικά	127
27.2 Έργασία	129

ΑΣΚΗΣΗ 28

Πόλωση τῶν τρανζίστορ	
28.1 Γενικά	131
28.2 Έργασία	135

ΑΣΚΗΣΗ 29

'Ενισχυτής τρανζίστορ κοινοῦ (γειωμένου) έκπομποῦ	
29.1 Γενικά	137
29.2 Έργασία	140

ΑΣΚΗΣΗ 30

'Ενισχυτής τρανζίστορ κοινῆς (γειωμένης) βάσεως	
30.1 Γενικά	142
30.2 Έργασία	144

ΑΣΚΗΣΗ 31

'Ενισχυτής τρανζίστορ κοινοῦ (γειωμένου) συλλέκτη	
31.1 Γενικά	146
31.2 Έργασία	147

ΑΣΚΗΣΗ 32

'Ενισχυτές ίσχυος	
32.1 Γενικά	150
32.2 Έργασία	152

ΑΣΚΗΣΗ 33

Ένισχυτές ίσχυος μέ συμμετρική έξοδο
Push - Pull

33.1 Γενικά	154
33.2 Έργασία	158

ΑΣΚΗΣΗ 34

Κυκλώματα άναστροφής φάσεως

34.1 Γενικά	160
34.2 Έργασία	162

ΑΣΚΗΣΗ 35

Ένισχυτής σε τάξη Α

35.1 Γενικά	164
35.2 Έργασία	168

ΑΣΚΗΣΗ 36

Όπτικός ένισχυτής ή ένισχυτής εικόνας (Video Amplifier)

36.1 Γενικά	170
36.2 Έργασία	172

ΑΣΚΗΣΗ 37

Ταλαντώσεις ύψηλῶν συχνοτήτων

37.1 Γενικά	174
37.2 Έργασία	177

ΑΣΚΗΣΗ 38

Ταλαντωτής RC (Μέ μετάβεση φάσεως)

38.1 Γενικά	178
38.2 Έργασία	179

ΑΣΚΗΣΗ 39

Ταλαντωτής φραγμοῦ (Blocking Oscillator)

39.1 Γενικά	180
39.2 Έργασία	184

ΑΣΚΗΣΗ 40

Κυκλώματα διαφορίσεως και δλοκληρώσεως

40.1 Γενικά	186
40.2 Τό κύκλωμα διαφορίσεως	186
40.3 Τό κύκλωμα δλοκληρώσεως	191
40.4 Έργασία	193

ΑΣΚΗΣΗ 41

Αύτοδιεγερόμενος πολυδονητής

41.1 Γενικά	196
41.2 Έργασία	200

ΑΣΚΗΣΗ 42

Πολυδονητής μιᾶς βολῆς ή μιᾶς σταθερῆς καταστάσεως

42.1 Γενικά	203
42.2 Έργασία	206

ΑΣΚΗΣΗ 43

Κύκλωμα σκανδαλισμοῦ Σμίτ (Schmitt)

43.1 Γενικά	208
43.2 Έργασία	209

ΑΣΚΗΣΗ 44

Γραμμές μεταφορᾶς Υ.Σ. (Lecher)

44.1 Γενικά	210
44.2 Έργασία	212

ΑΣΚΗΣΗ 45

Πομπός συντηρουμένων κυμάτων

45.1 Γενικά	214
45.2 Έργασία	214

ΑΣΚΗΣΗ 46

Δίοδος Varactor ή Varicar

(Δίοδος μεταβλητής χωρητικότητας)

46.1 Γενικά	216
46.2 Έργασία	216

ΑΣΚΗΣΗ 47

Πολυδονητής διπλής σταθερῆς καταστάσεως (Flip - Flop)

47.1 Γενικά	218
47.2 Έργασία	219

ΑΣΚΗΣΗ 48

Τρανζίστορ Unijunction

(Δίοδος έπαφής με διπλή βάση)

48.1 Γενικά	221
48.2 Έργασία	223

ΑΣΚΗΣΗ 49

Τρανζίστορ έπιδράσεως πεδίου (FET)

49.1 Γενικά	225
49.2 Έργασία	228

ΑΣΚΗΣΗ 50

Τελεστικός ένισχυτής (Operational Amplifier)

50.1 Γενικά	230
50.2 Έργασία	233

COPYRIGHT ΙΑΡΥΜΑΤΟΣ ΕΥΓΕΝΙΔΟΥ

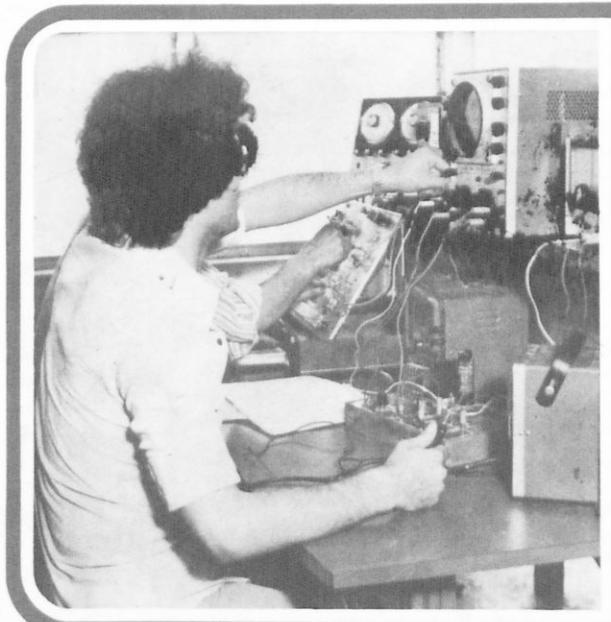


0020558262

Ψηφιοποιήθηκε από το Ινστιτούτο Εκπαιδευτικής Πολιτικής

ΒΙΒΛΙΟΘΗΚΗ ΒΟΥΛΑΖ

ΙΔΡΥΜΑ ΕΥΓΕΝΙΔΟΥ



Ψηφιοποιήθηκε από το Ινστιτούτο Εκπαιδευτικής Πολιτικής